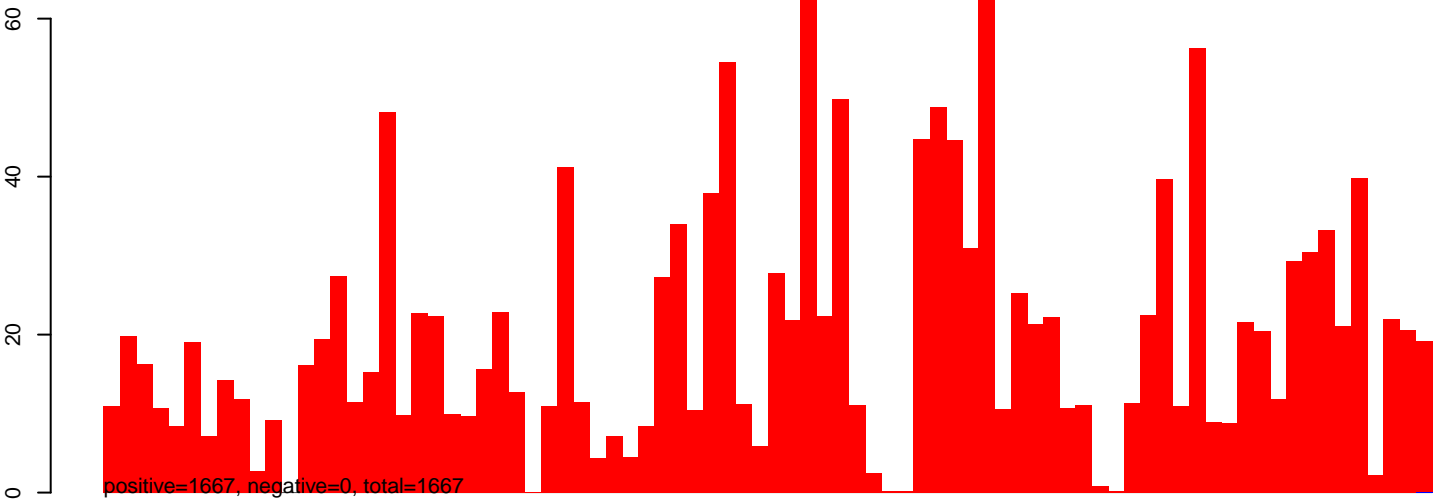
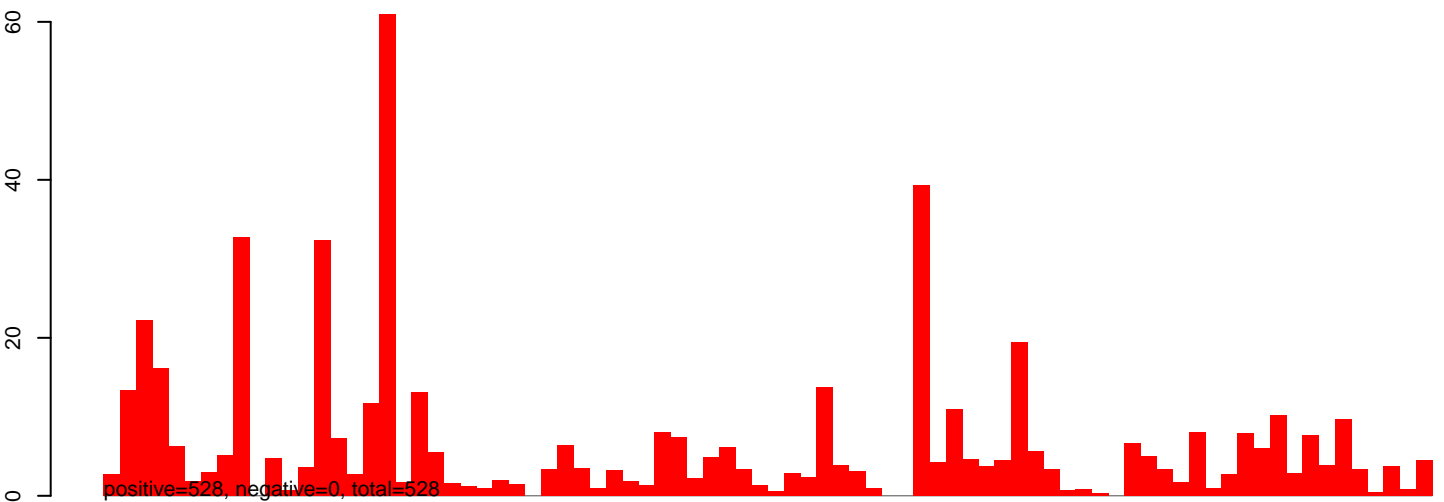


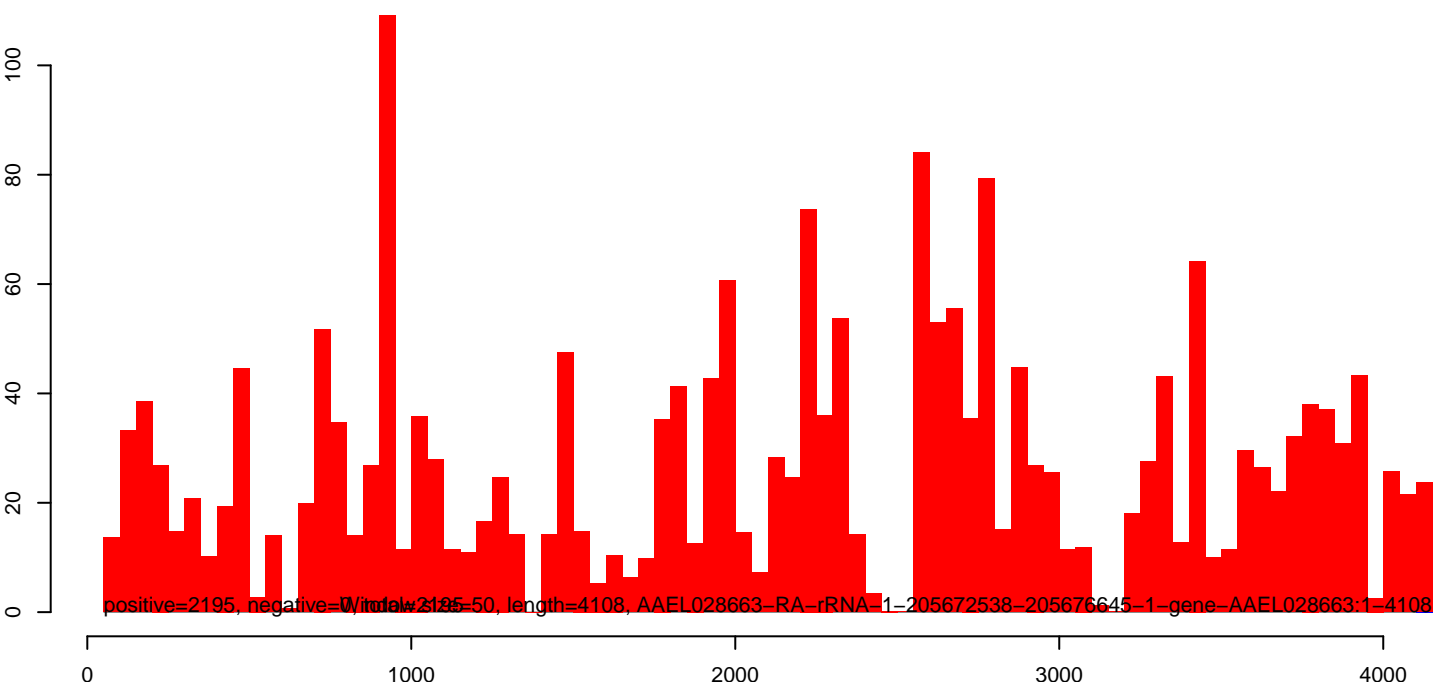
AeAlbo_C636_cells_rep_3.18_23.rep



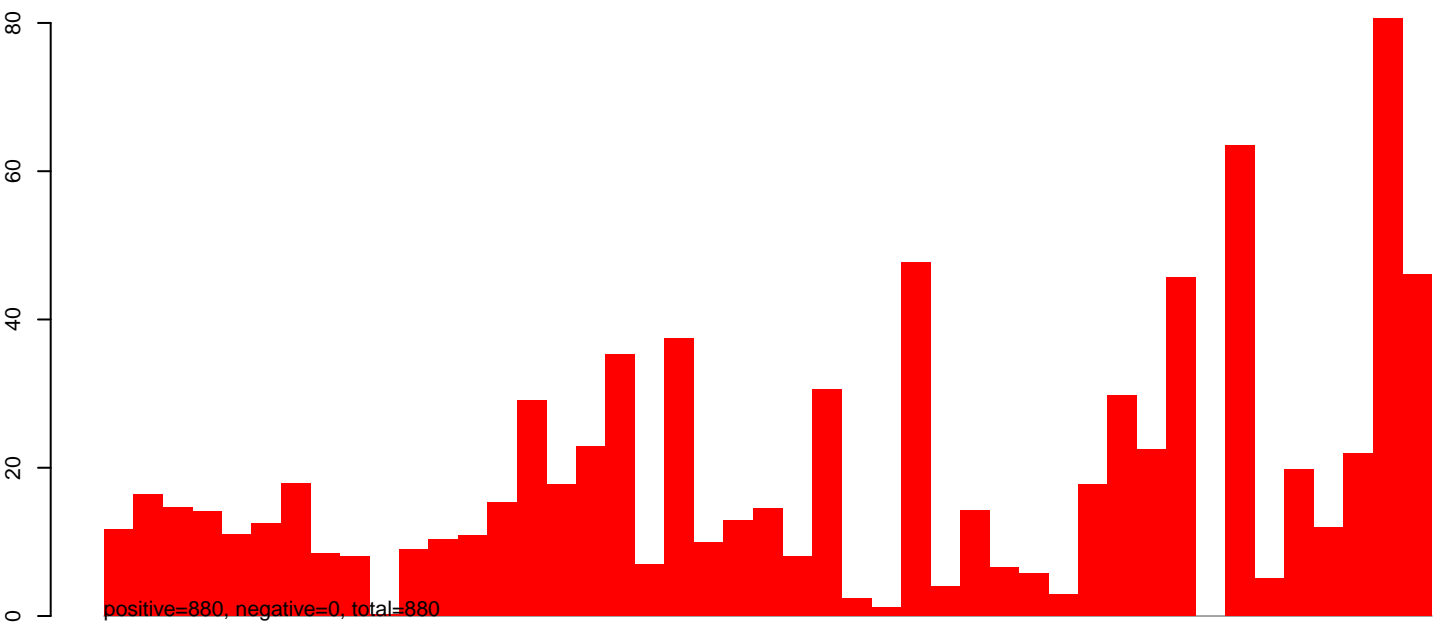
AeAlbo_C636_cells_rep_3.24_35.rep



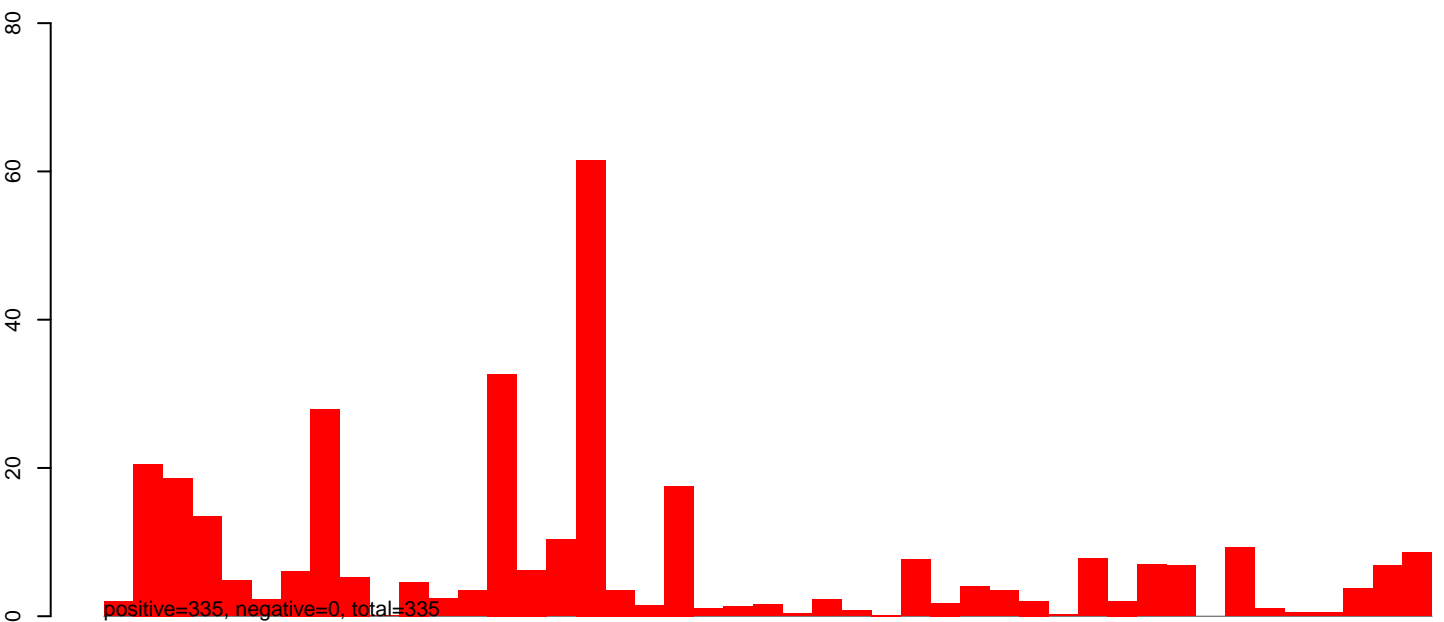
AeAlbo_C636_cells_rep_3.rep



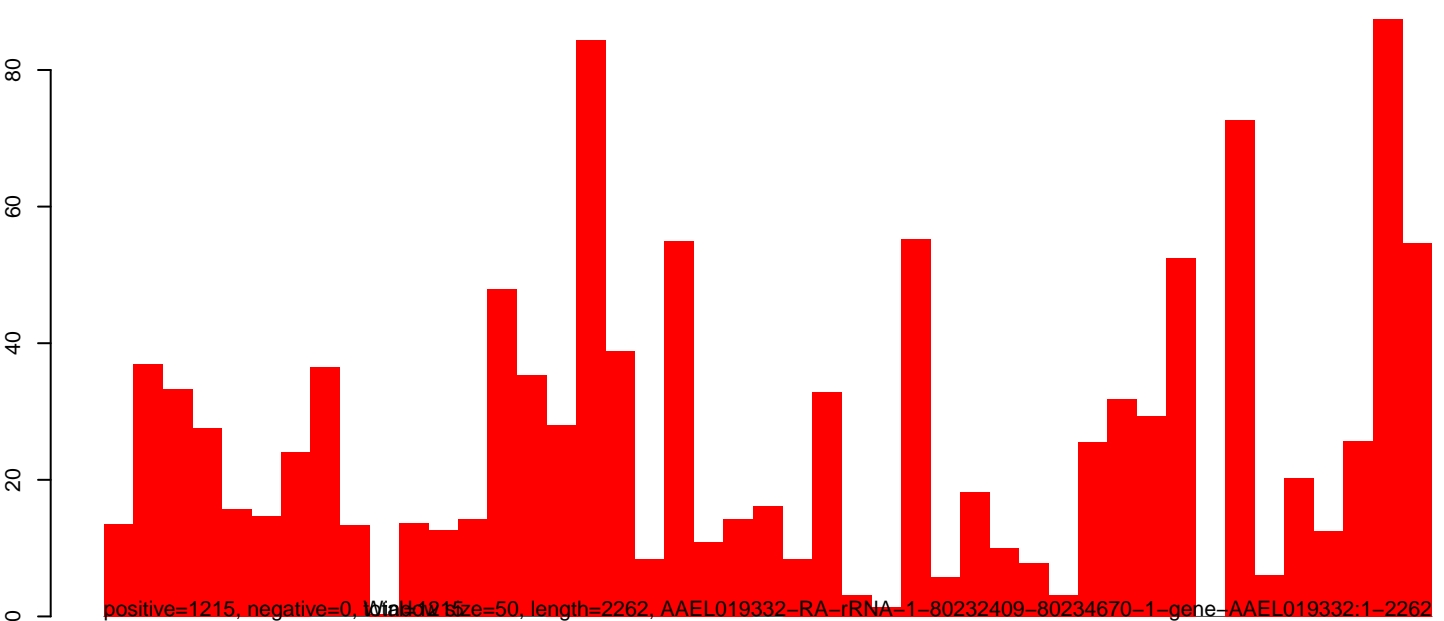
AeAlbo_C636_cells_rep_3.18_23.rep



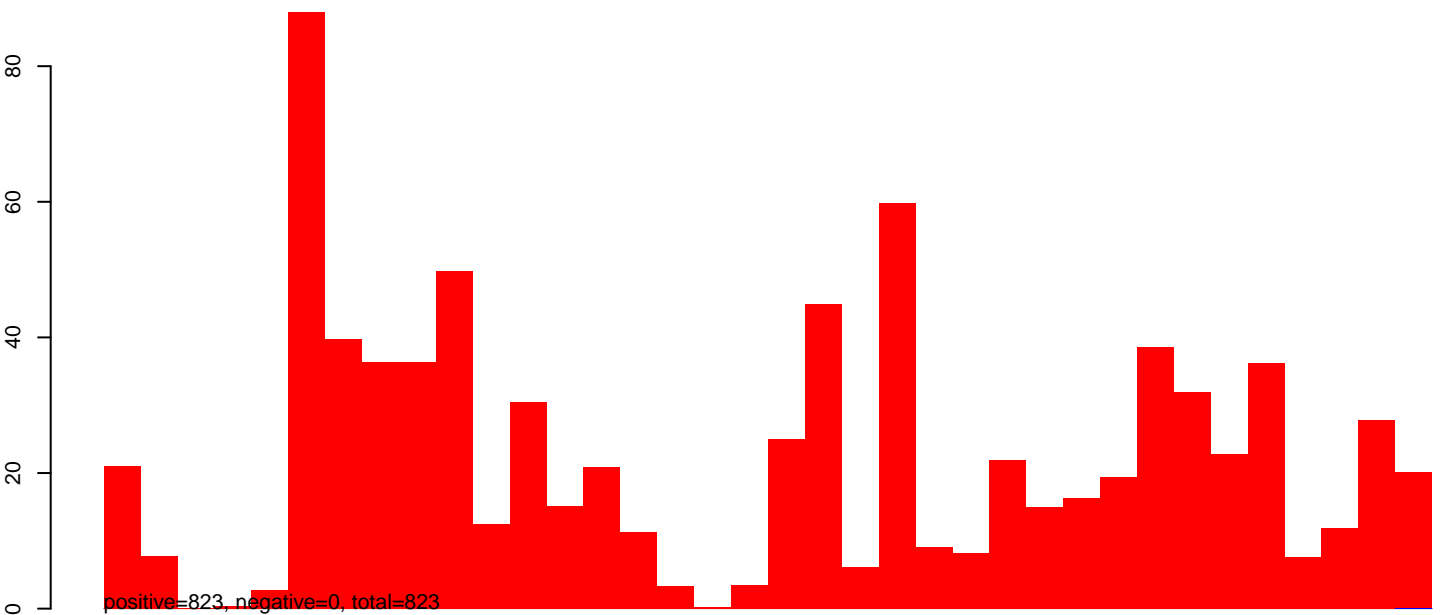
AeAlbo_C636_cells_rep_3.24_35.rep



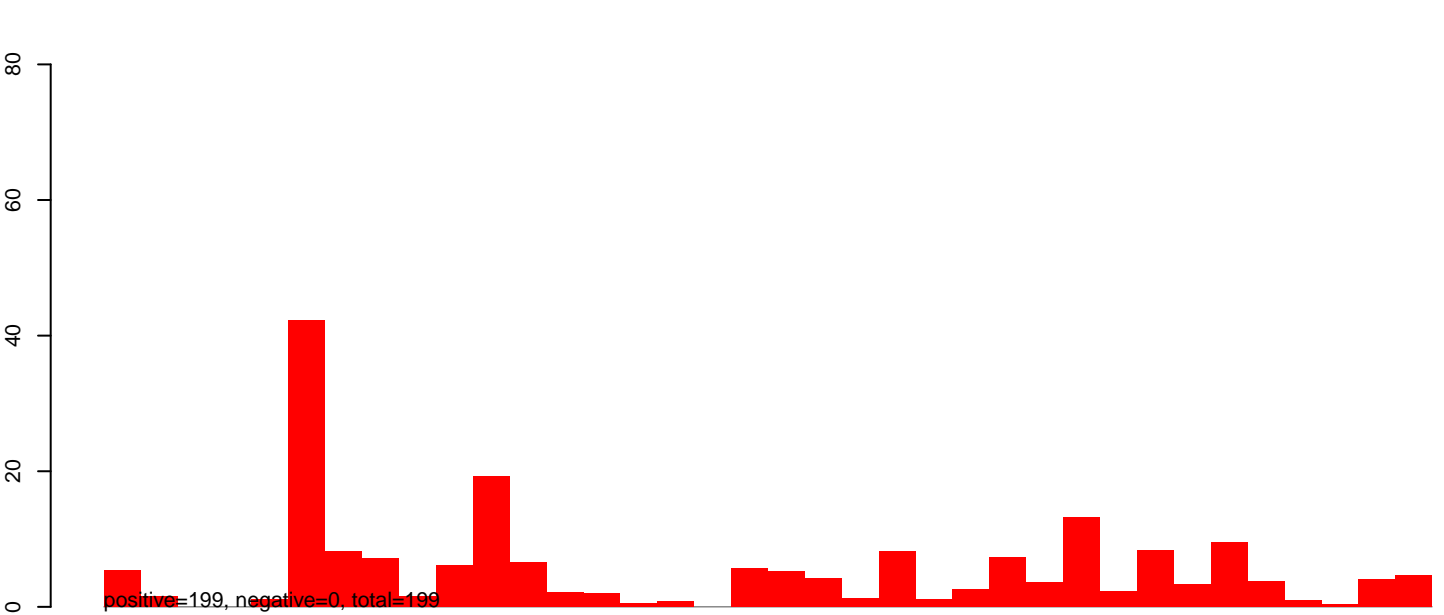
AeAlbo_C636_cells_rep_3.rep



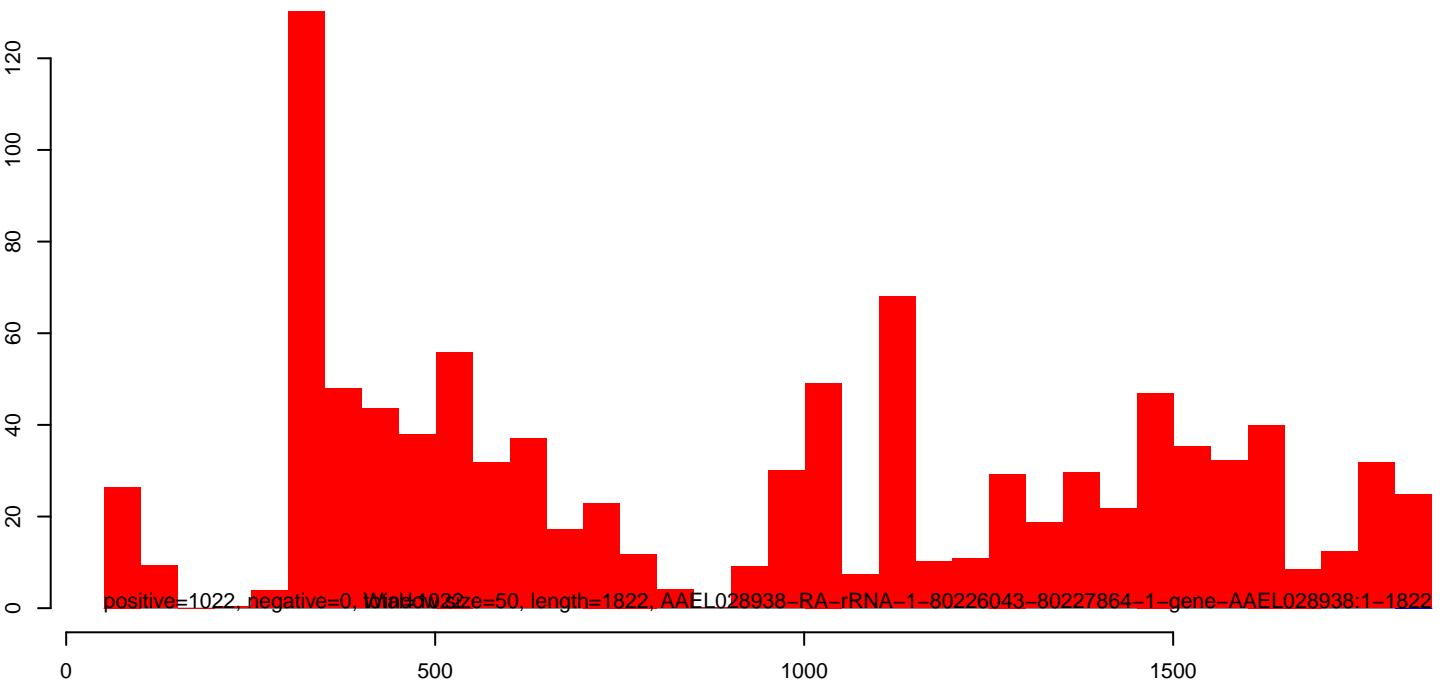
AeAlbo_C636_cells_rep_3.18_23.rep



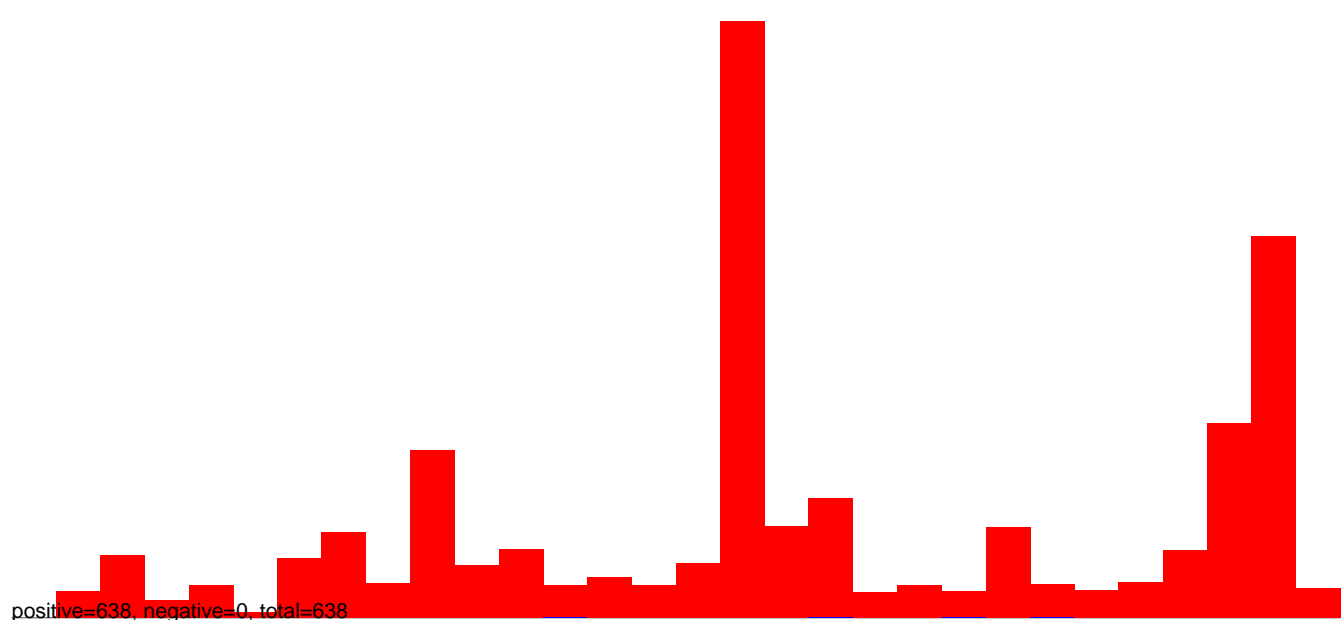
AeAlbo_C636_cells_rep_3.24_35.rep



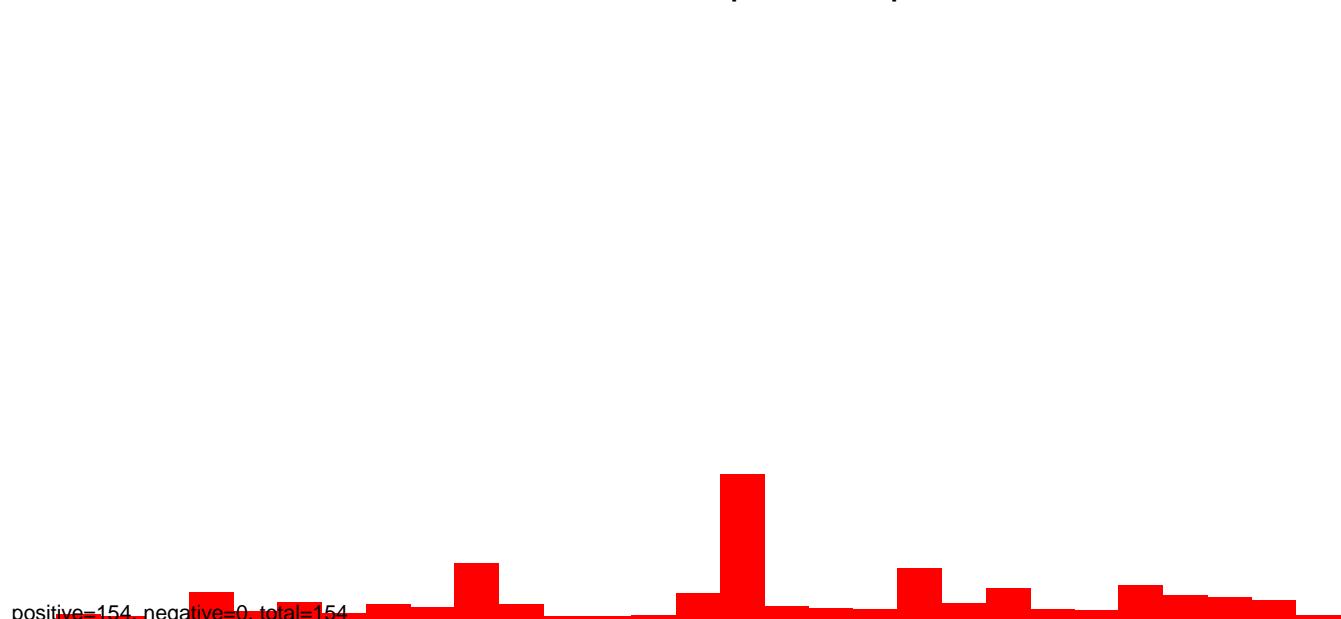
AeAlbo_C636_cells_rep_3.rep



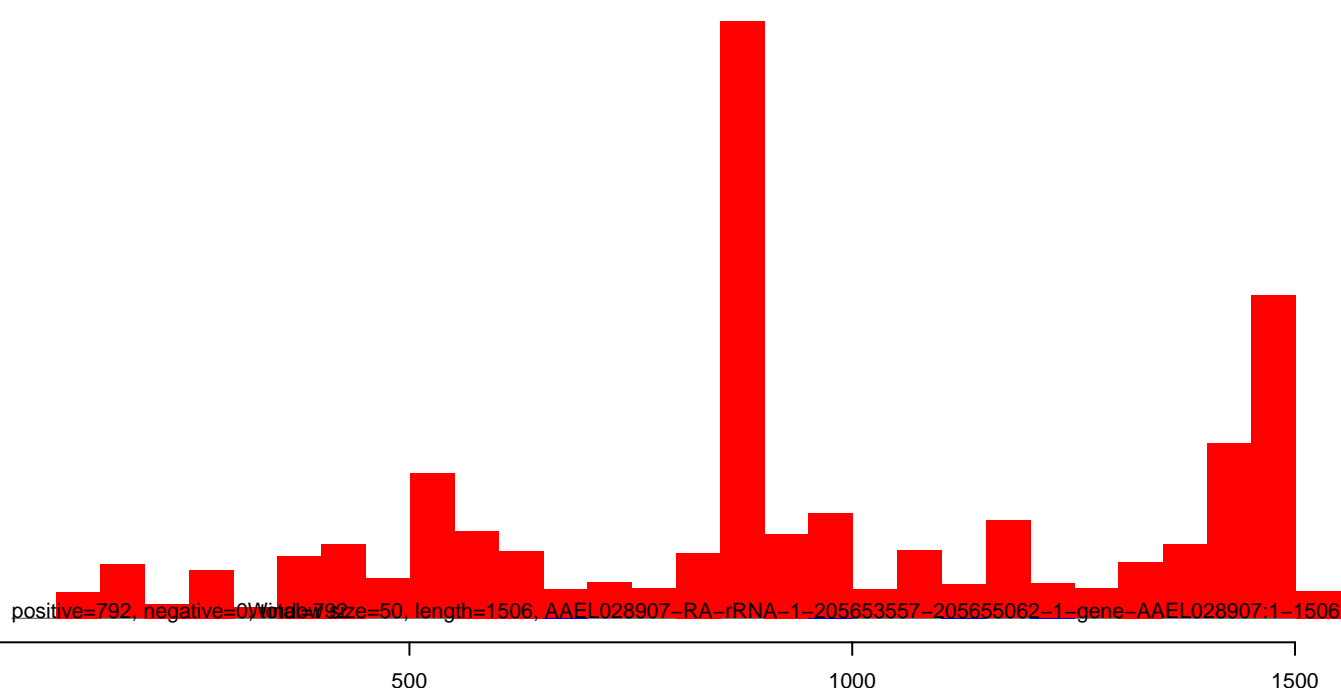
AeAlbo_C636_cells_rep_3.18_23.rep



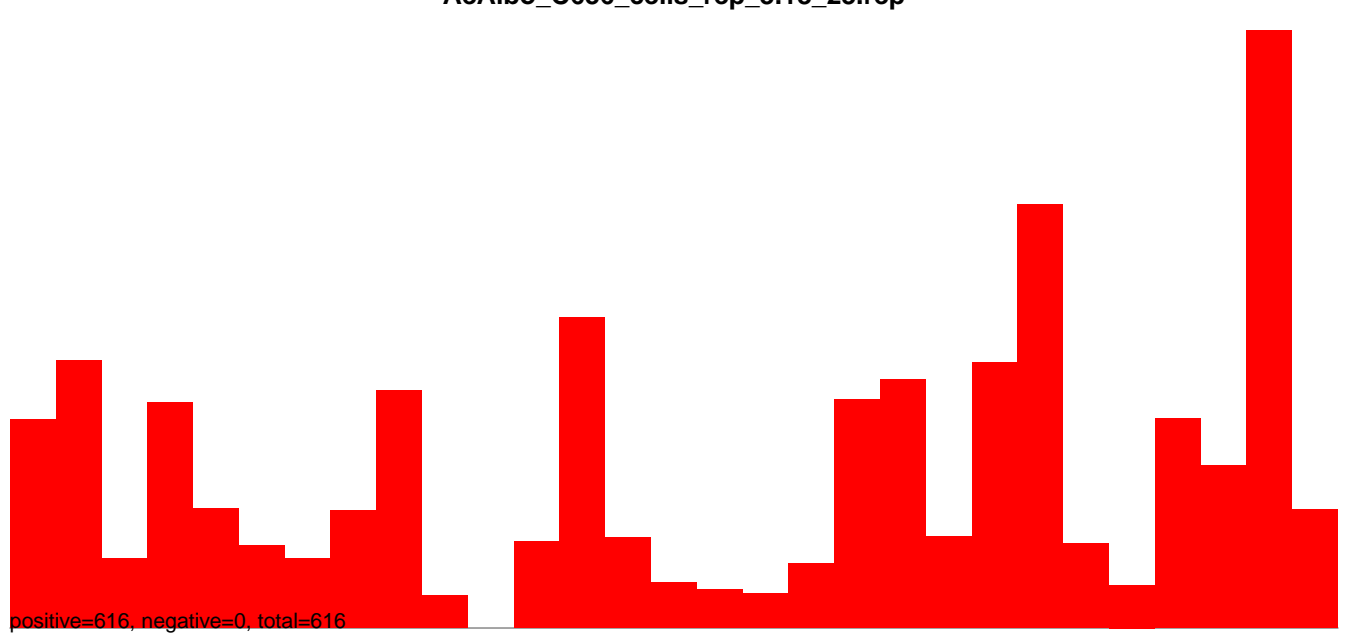
AeAlbo_C636_cells_rep_3.24_35.rep



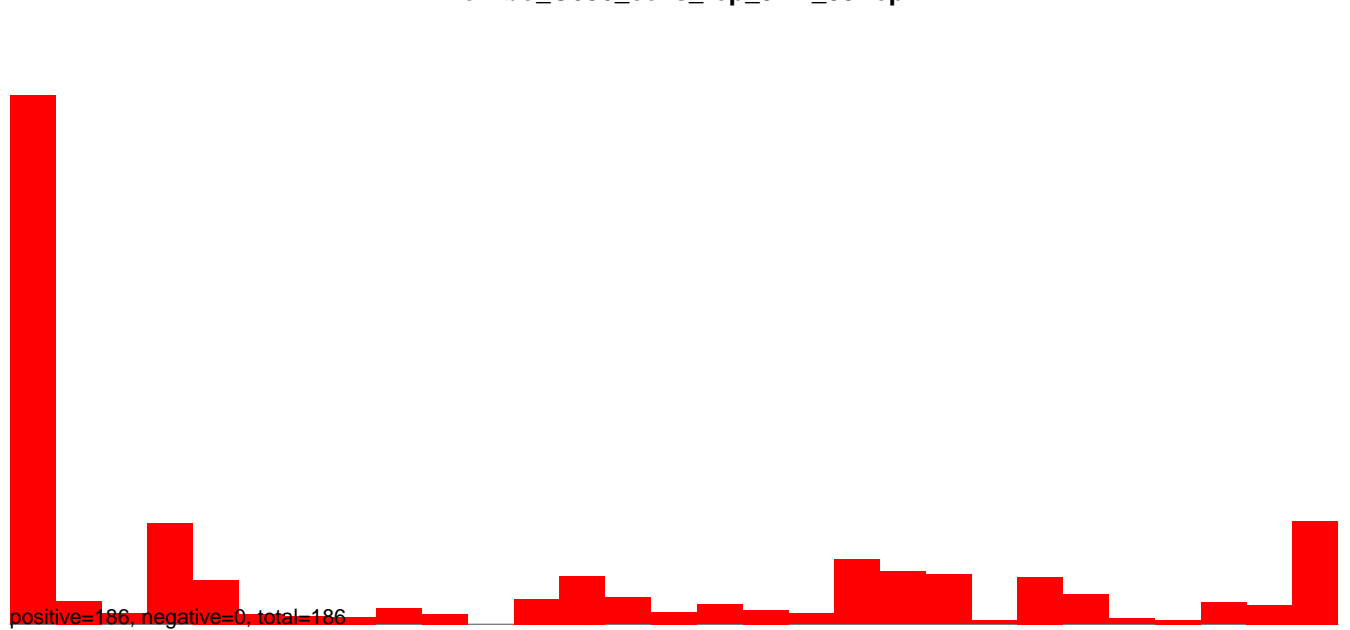
AeAlbo_C636_cells_rep_3.rep



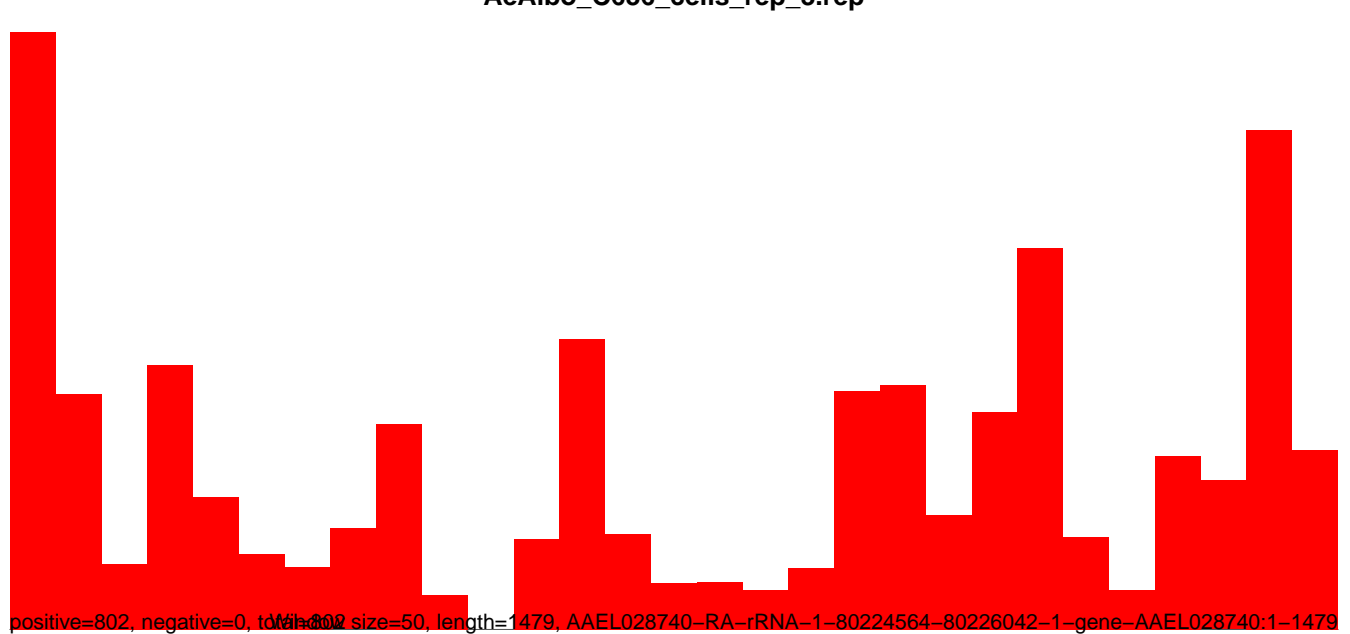
AeAlbo_C636_cells_rep_3.18_23.rep



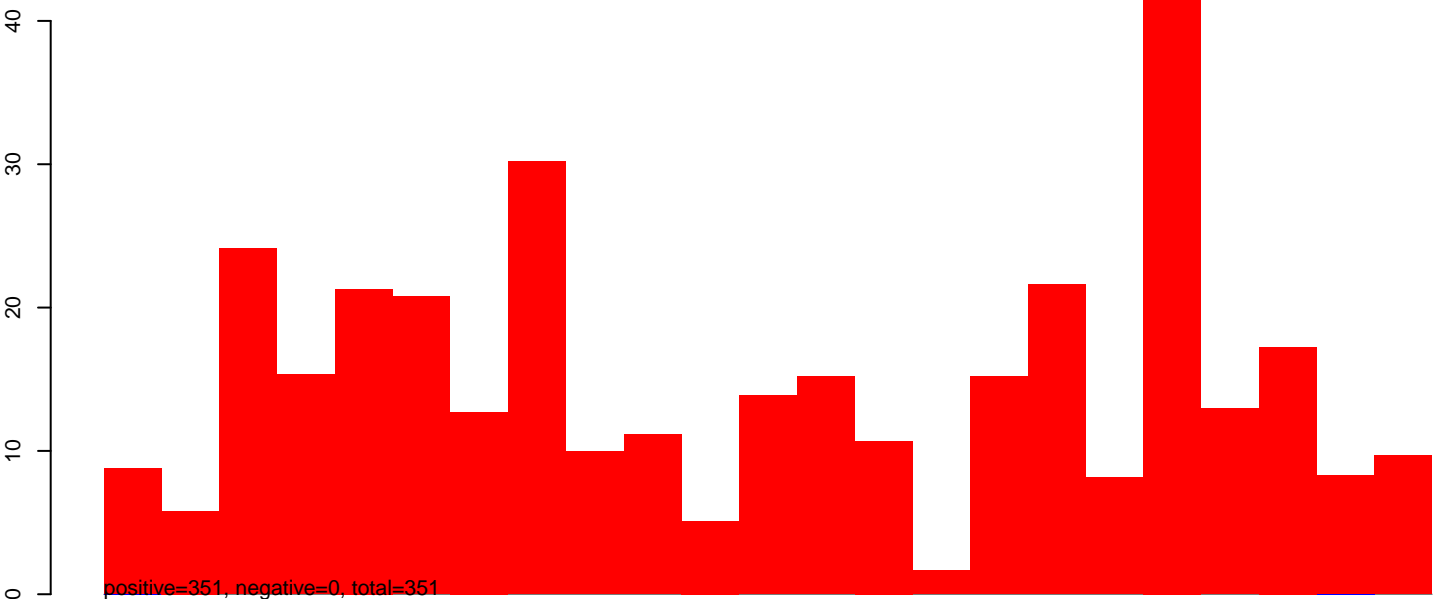
AeAlbo_C636_cells_rep_3.24_35.rep



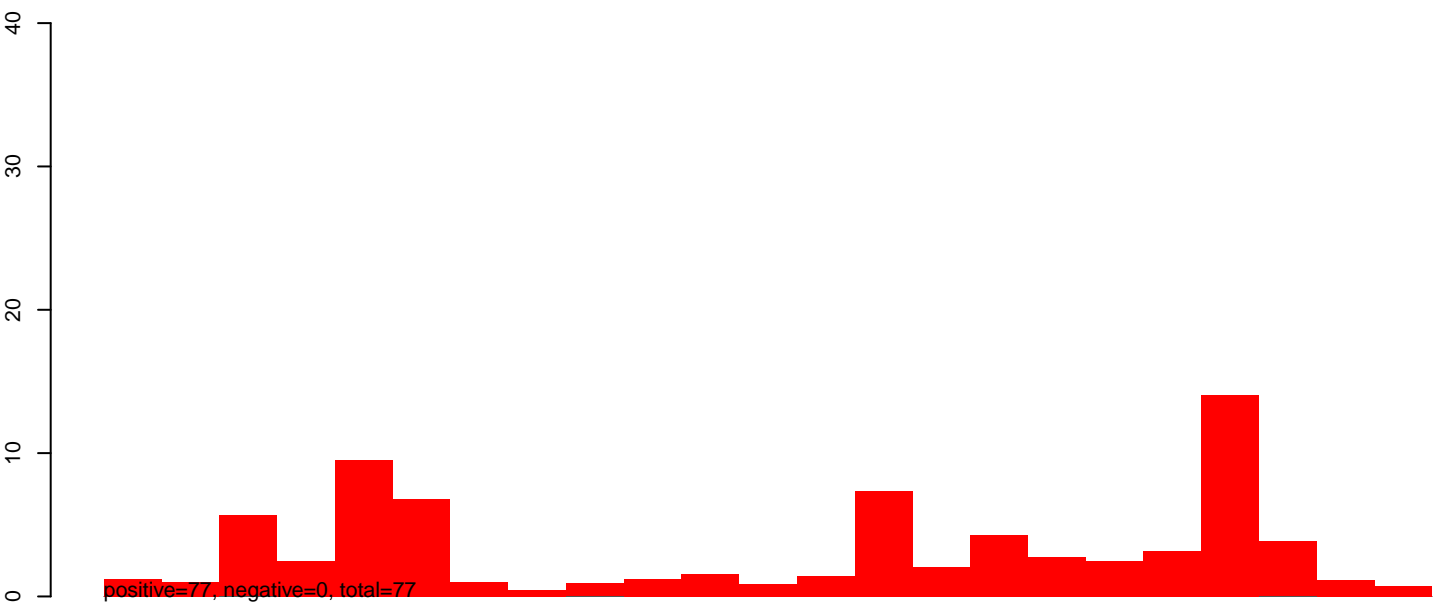
AeAlbo_C636_cells_rep_3.rep



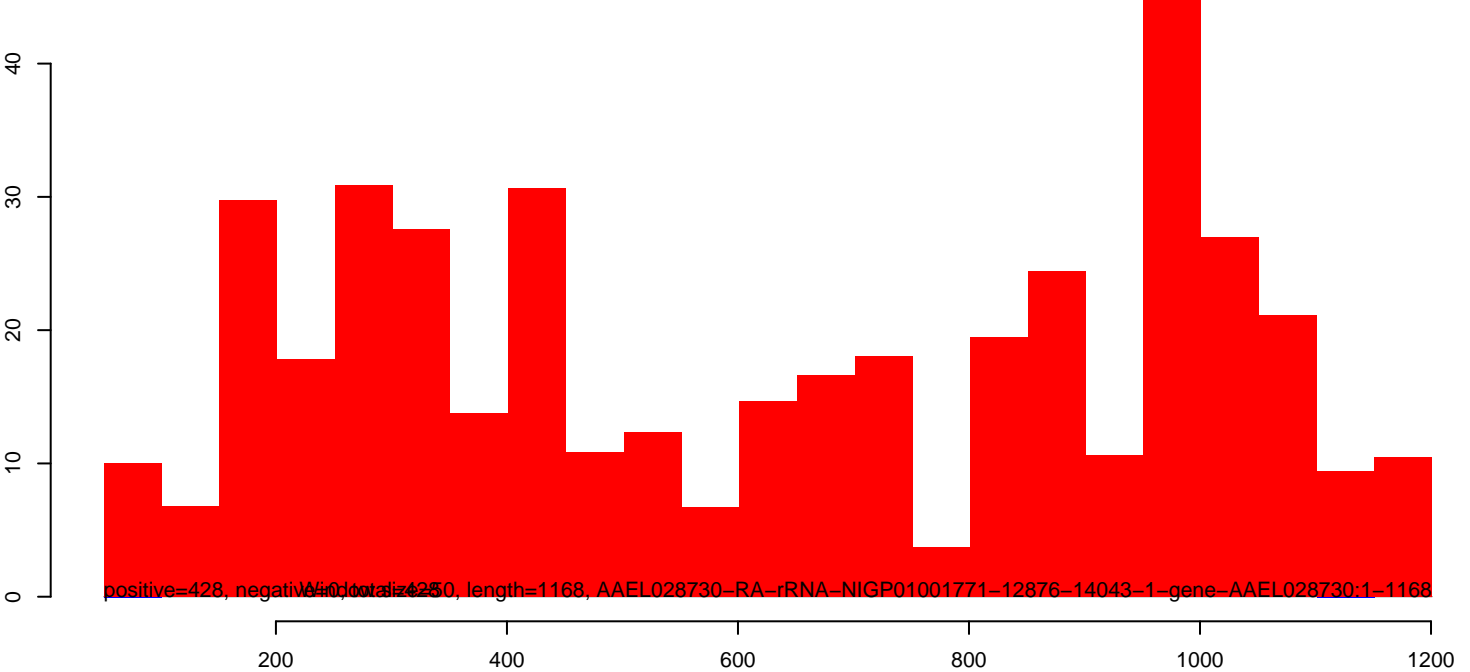
AeAlbo_C636_cells_rep_3.18_23.rep



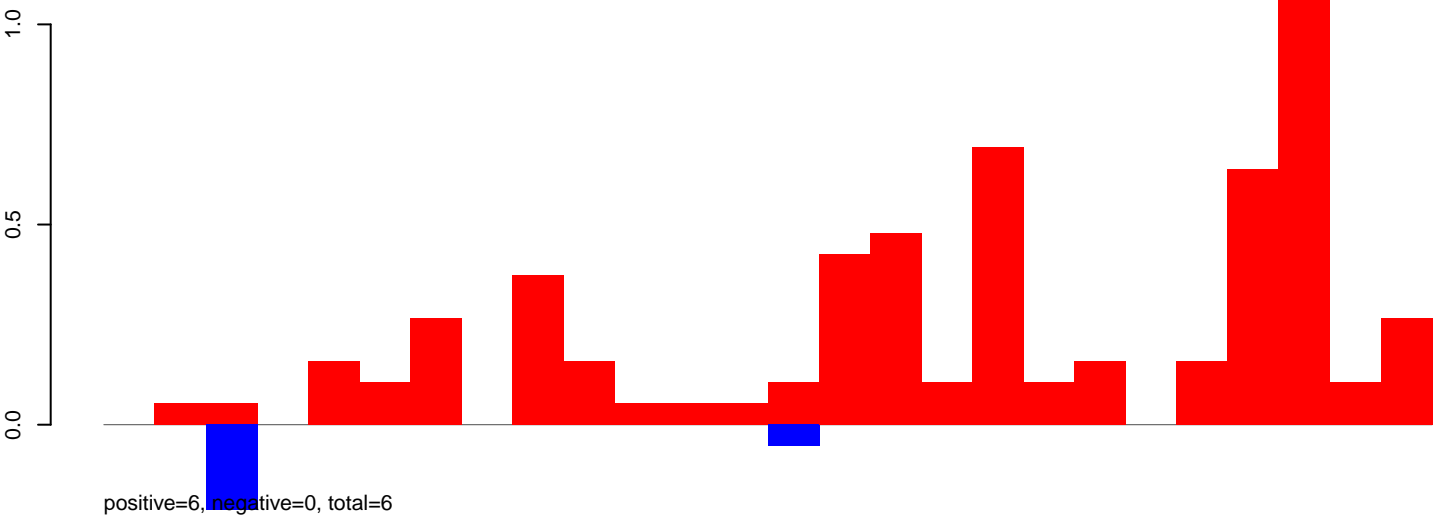
AeAlbo_C636_cells_rep_3.24_35.rep



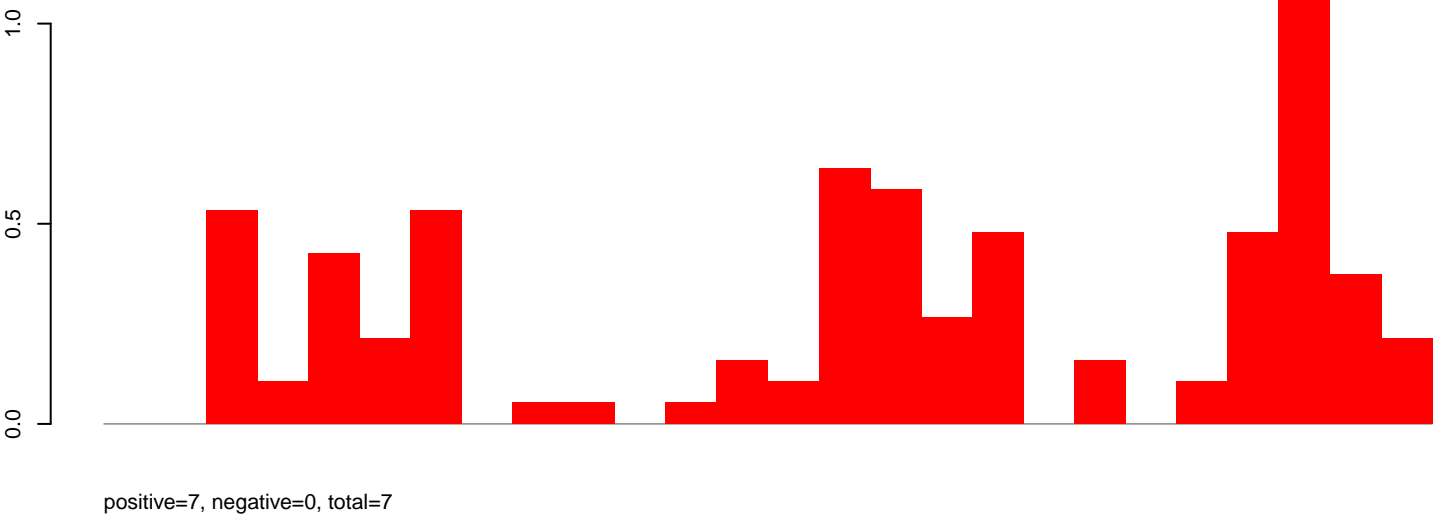
AeAlbo_C636_cells_rep_3.rep



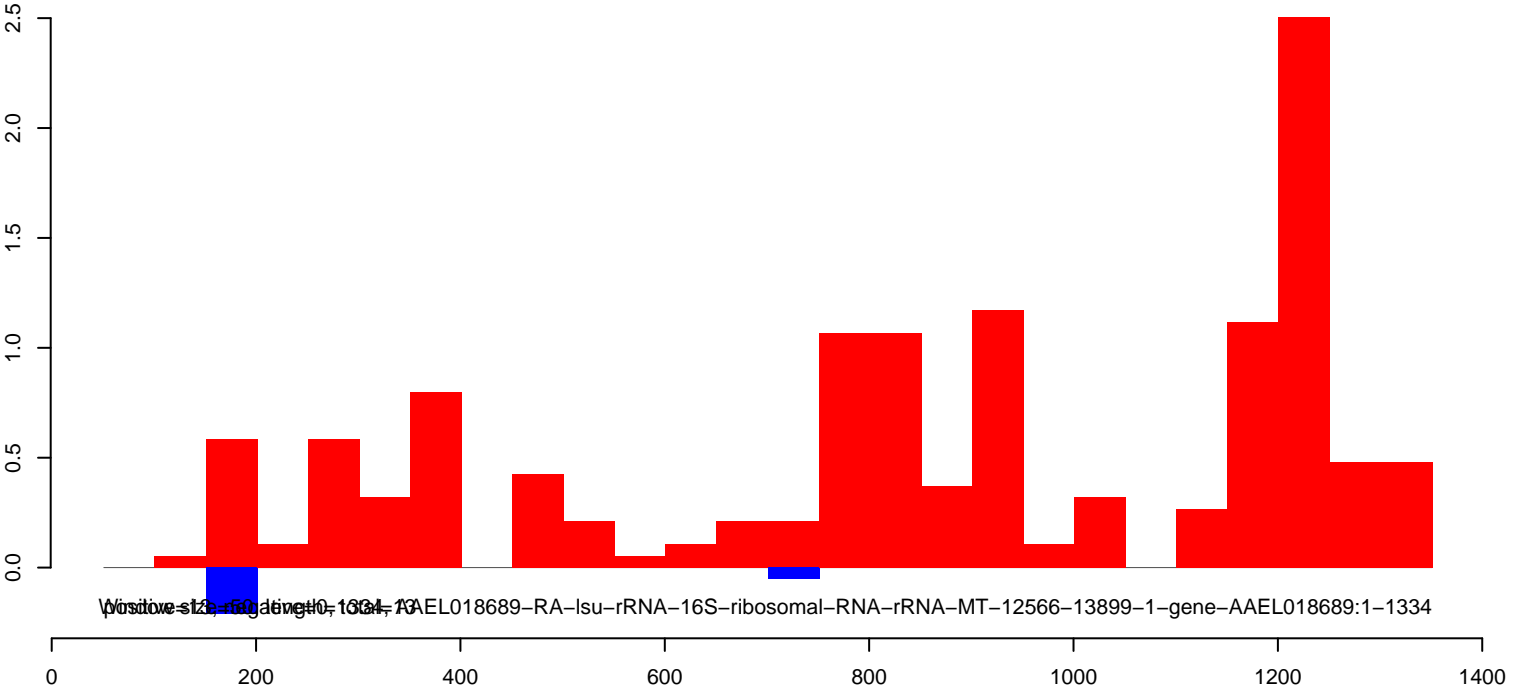
AeAlbo_C636_cells_rep_3.18_23.rep



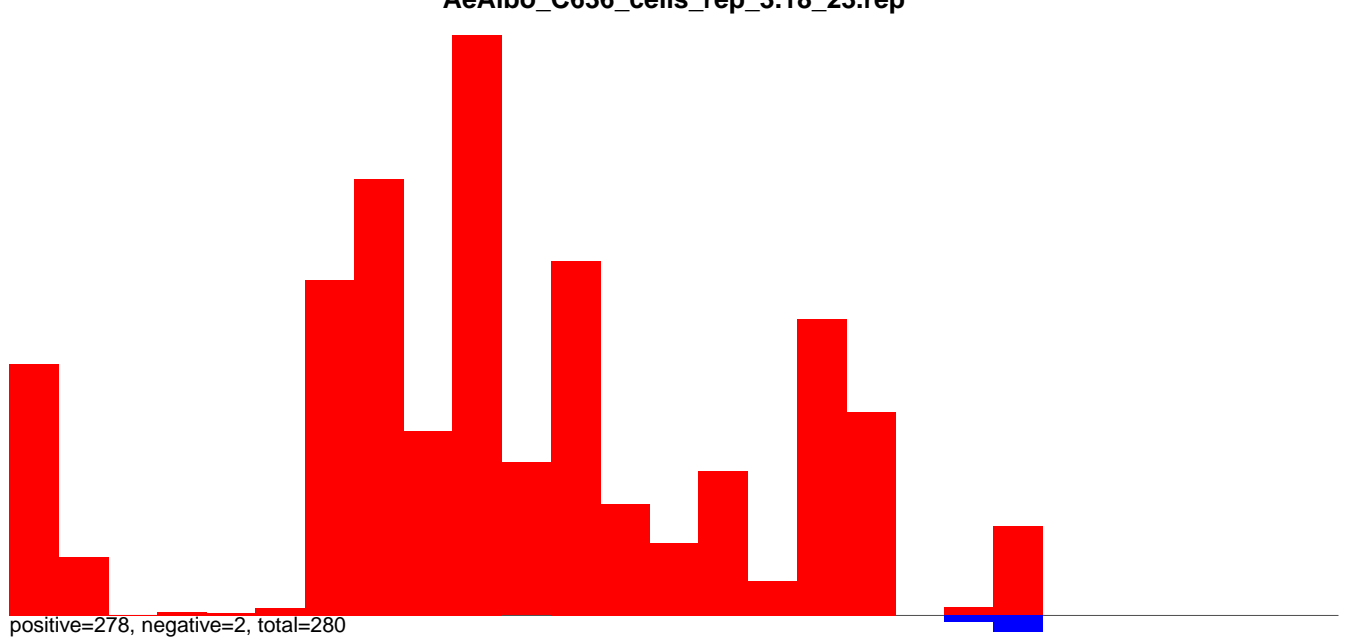
AeAlbo_C636_cells_rep_3.24_35.rep



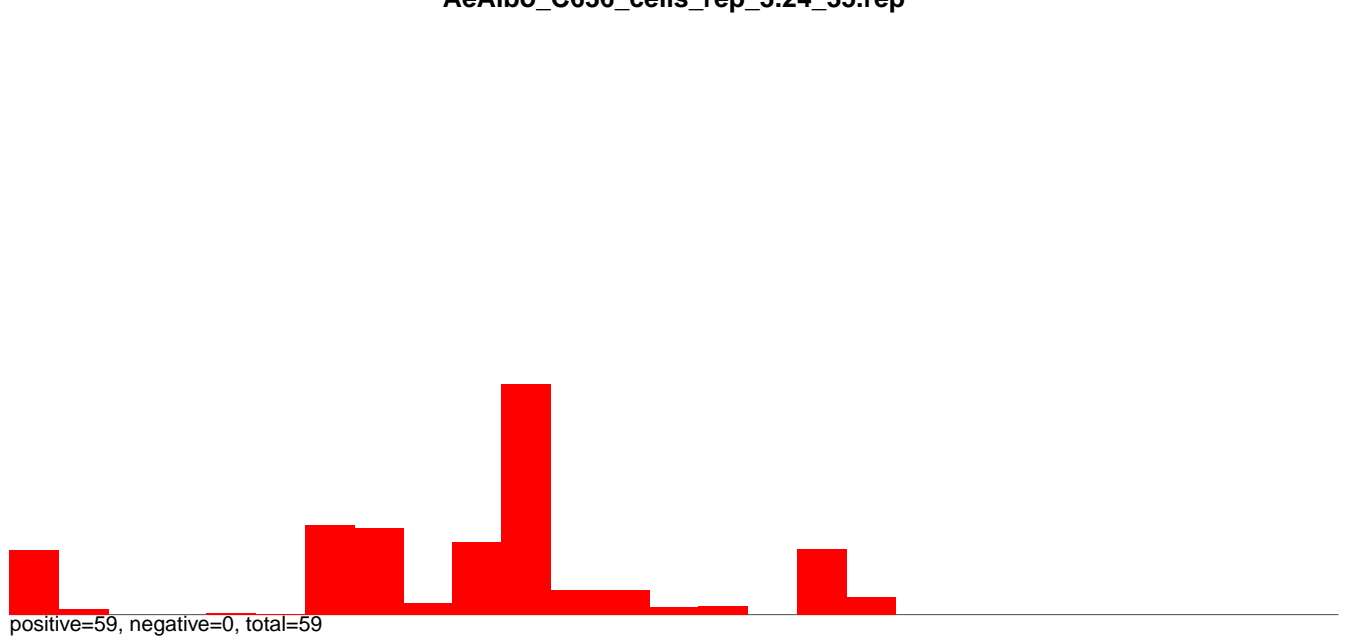
AeAlbo_C636_cells_rep_3.rep



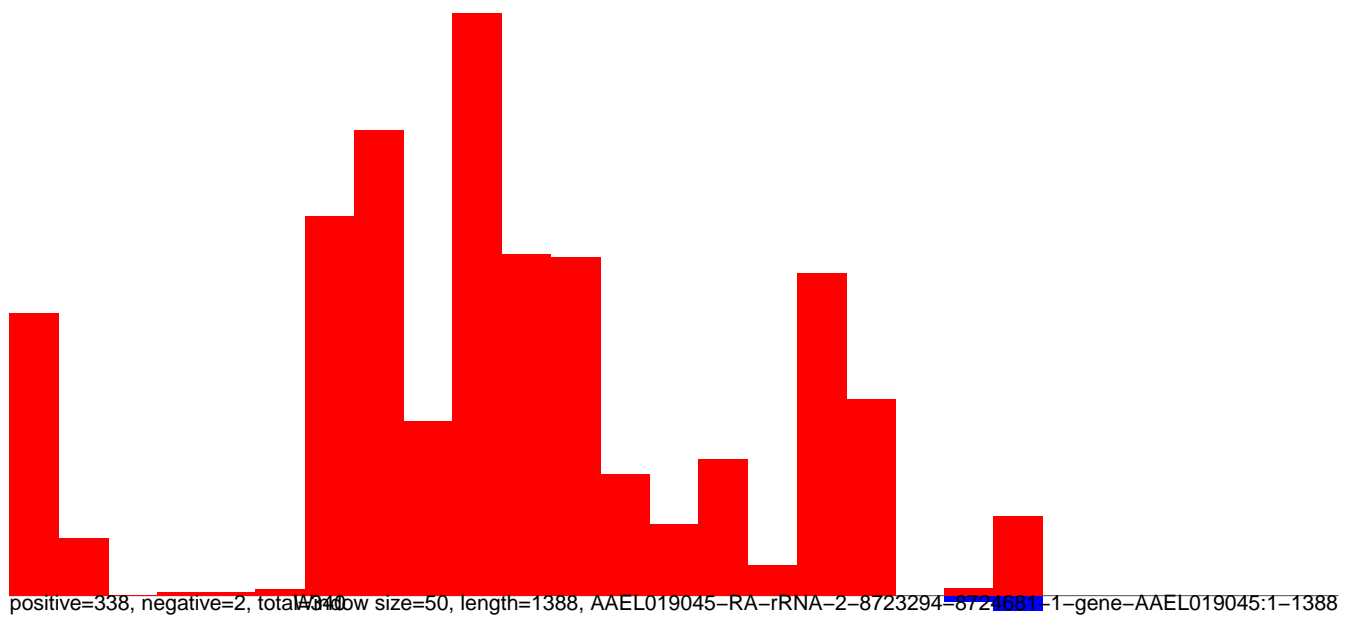
AeAlbo_C636_cells_rep_3.18_23.rep



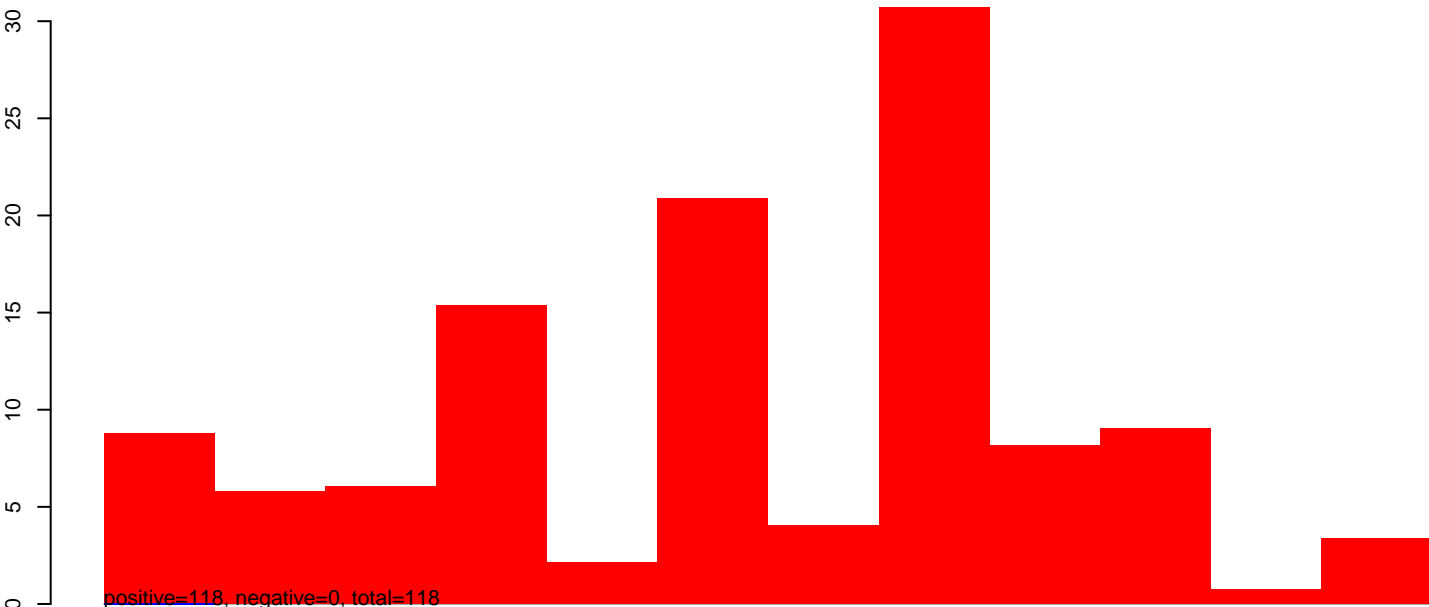
AeAlbo_C636_cells_rep_3.24_35.rep



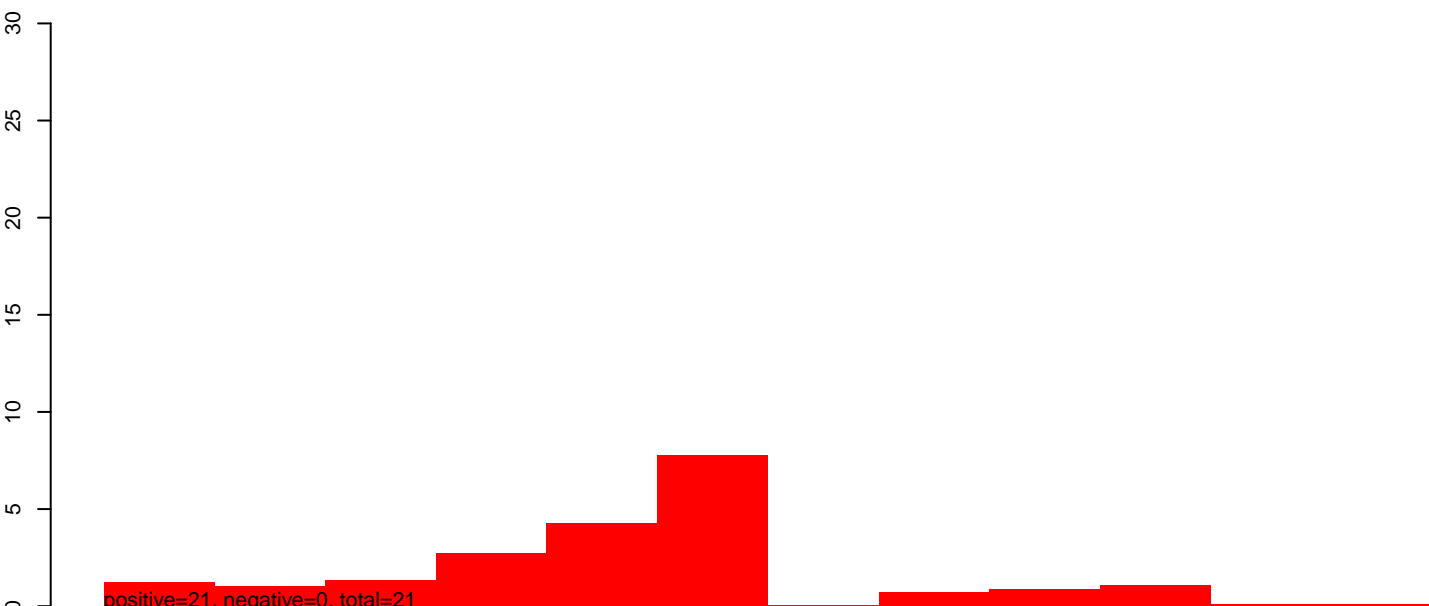
AeAlbo_C636_cells_rep_3.rep



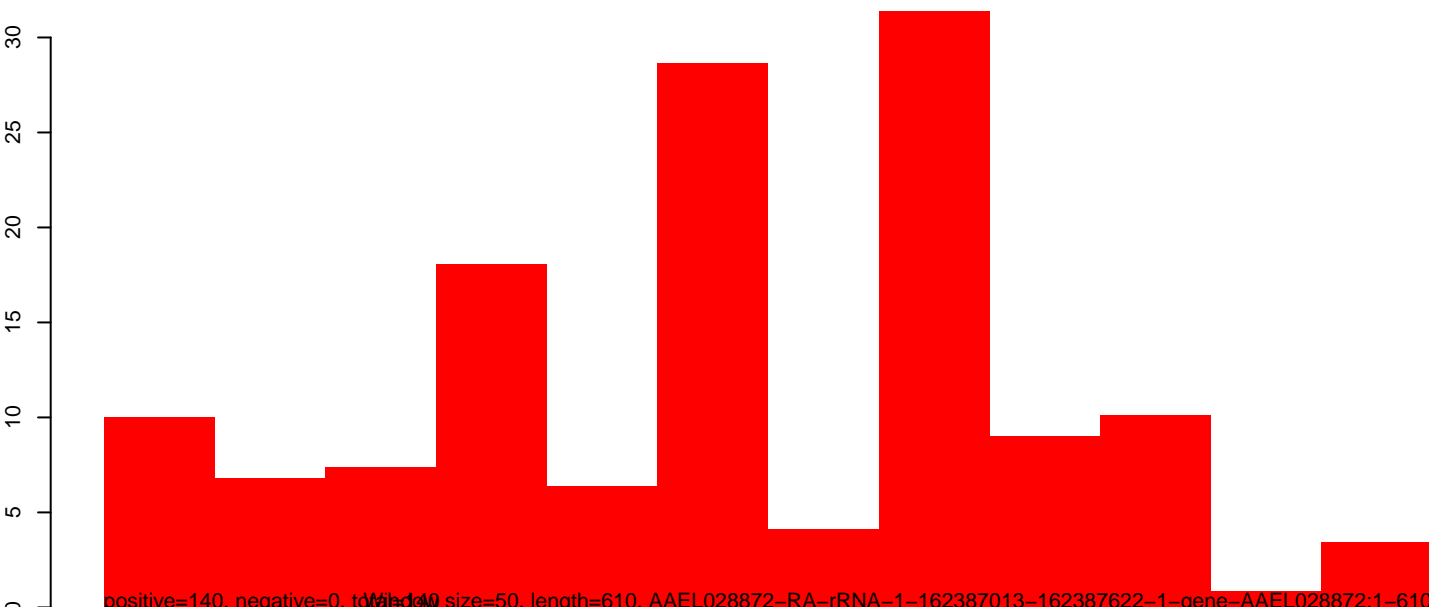
AeAlbo_C636_cells_rep_3.18_23.rep



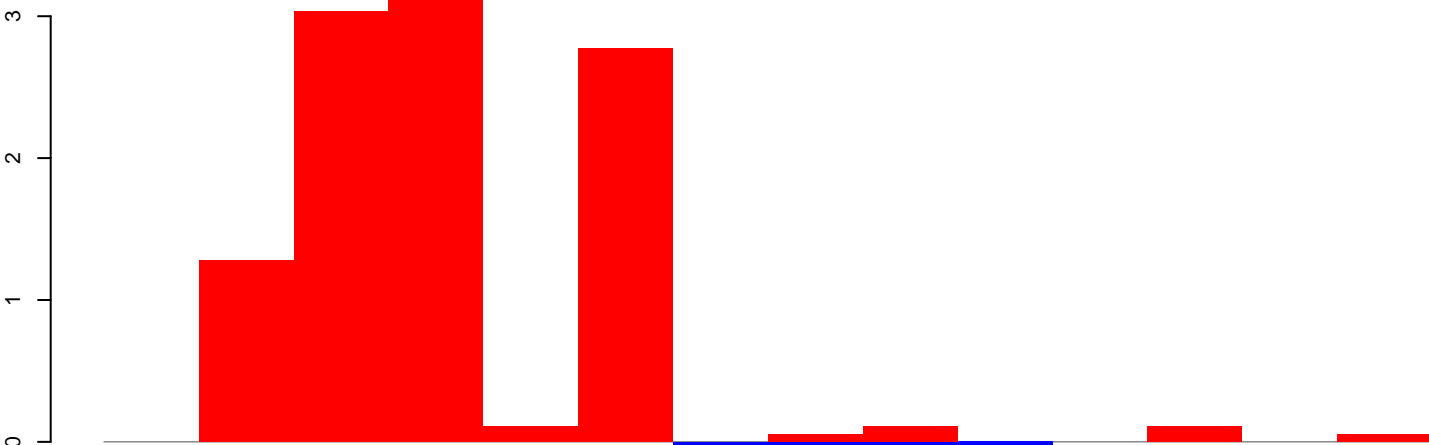
AeAlbo_C636_cells_rep_3.24_35.rep



AeAlbo_C636_cells_rep_3.rep

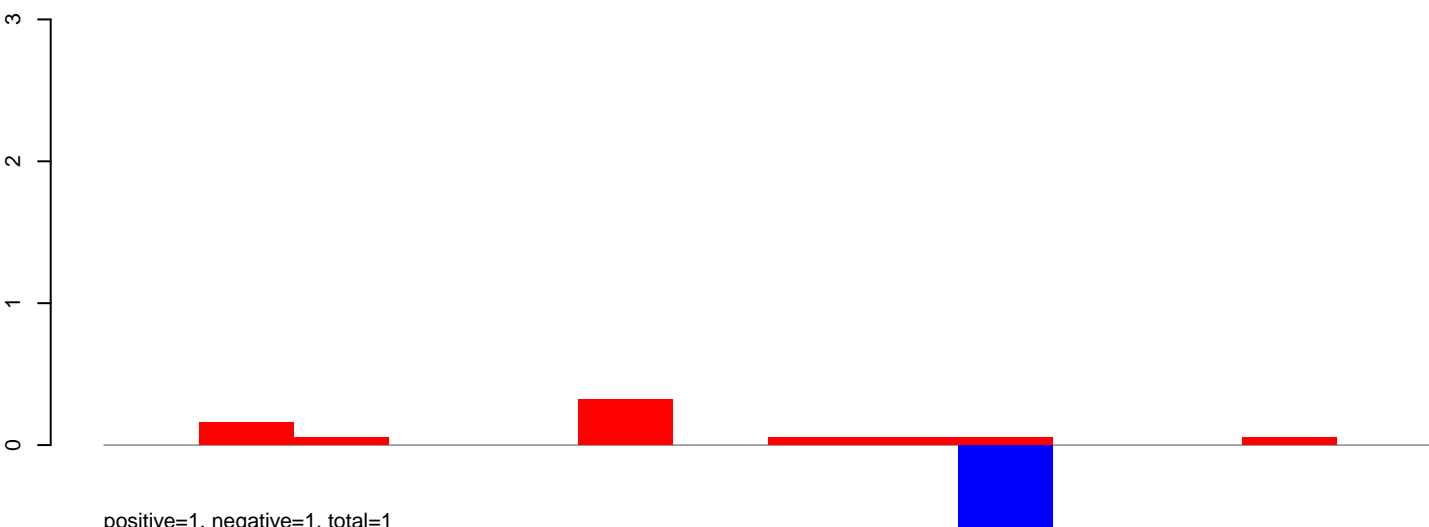


AeAlbo_C636_cells_rep_3.18_23.rep



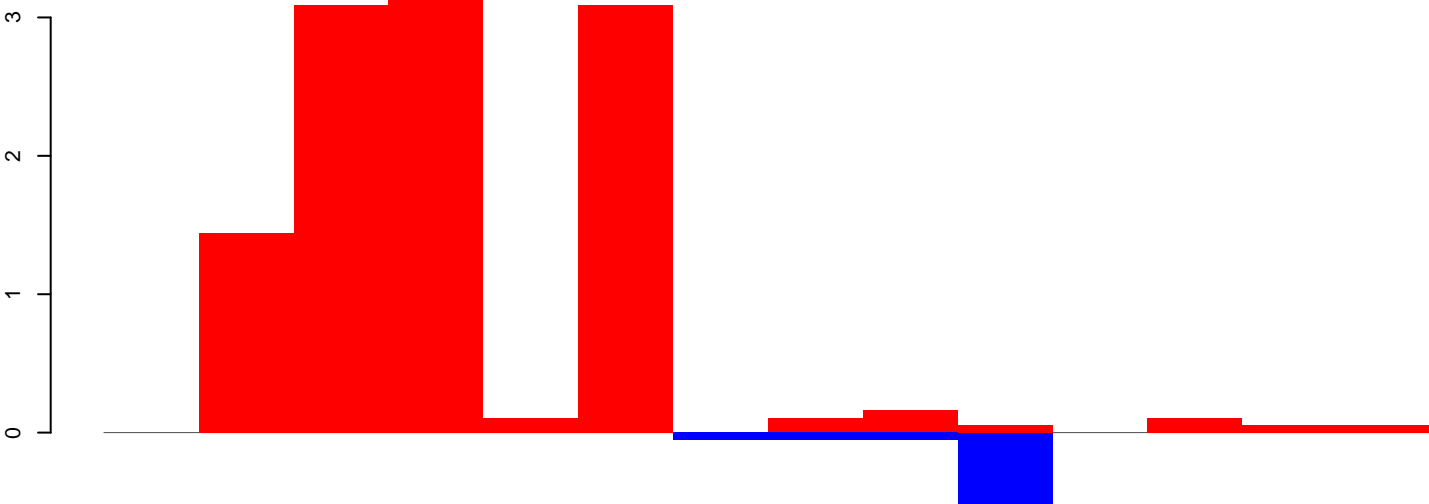
positive=11, negative=0, total=11

AeAlbo_C636_cells_rep_3.24_35.rep



positive=1, negative=1, total=1

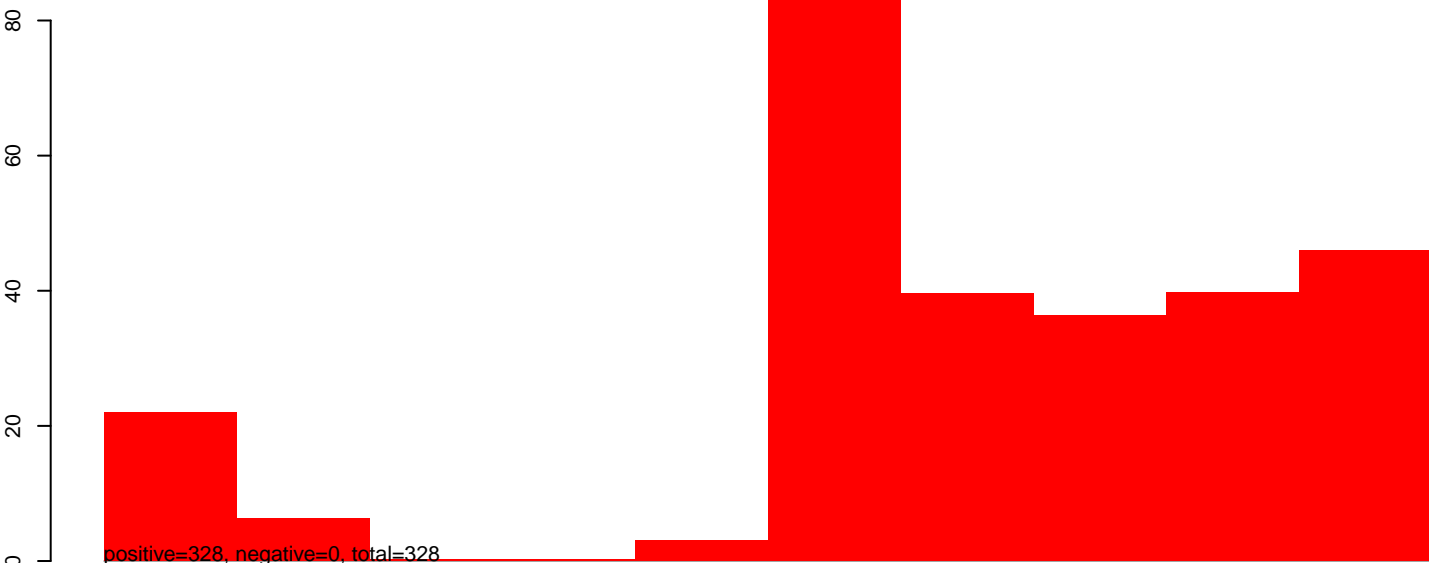
AeAlbo_C636_cells_rep_3.rep



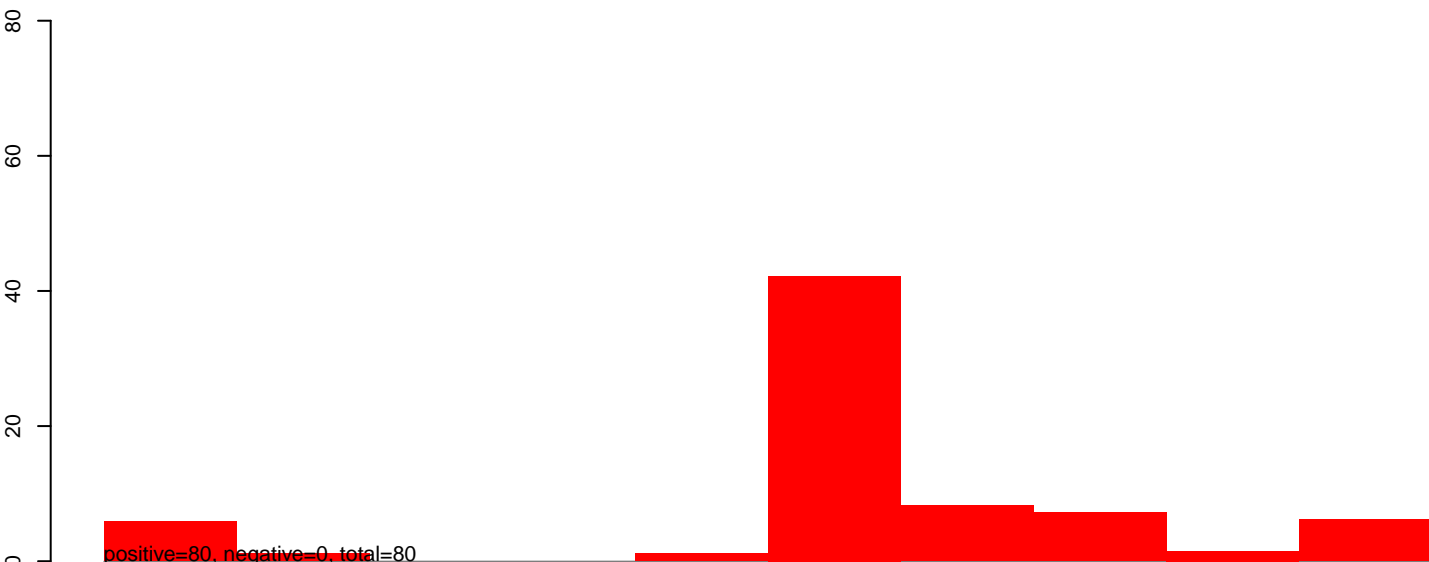
positive=12, negative=1, total=13

Window size=50, length=711, AAEL028669-RA-rRNA-1-291632013-291632723-1-gene-AAEL028669:1-711

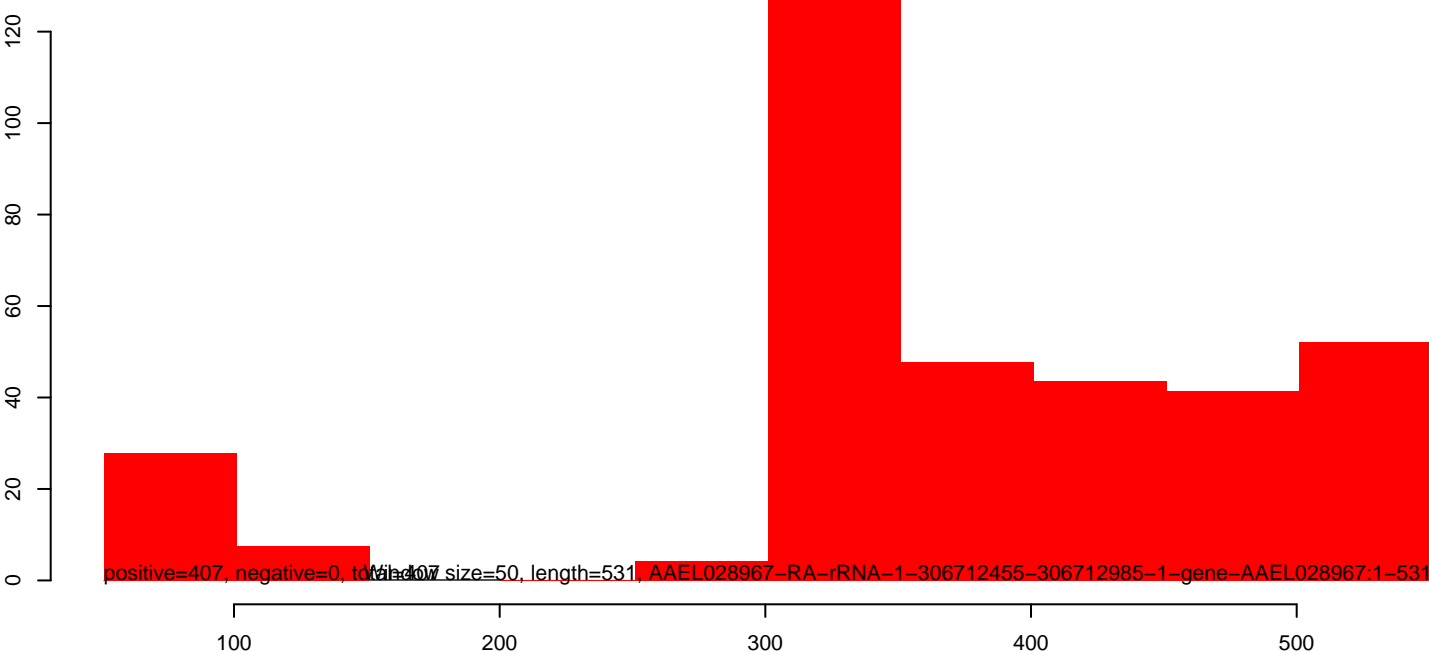
AeAlbo_C636_cells_rep_3.18_23.rep



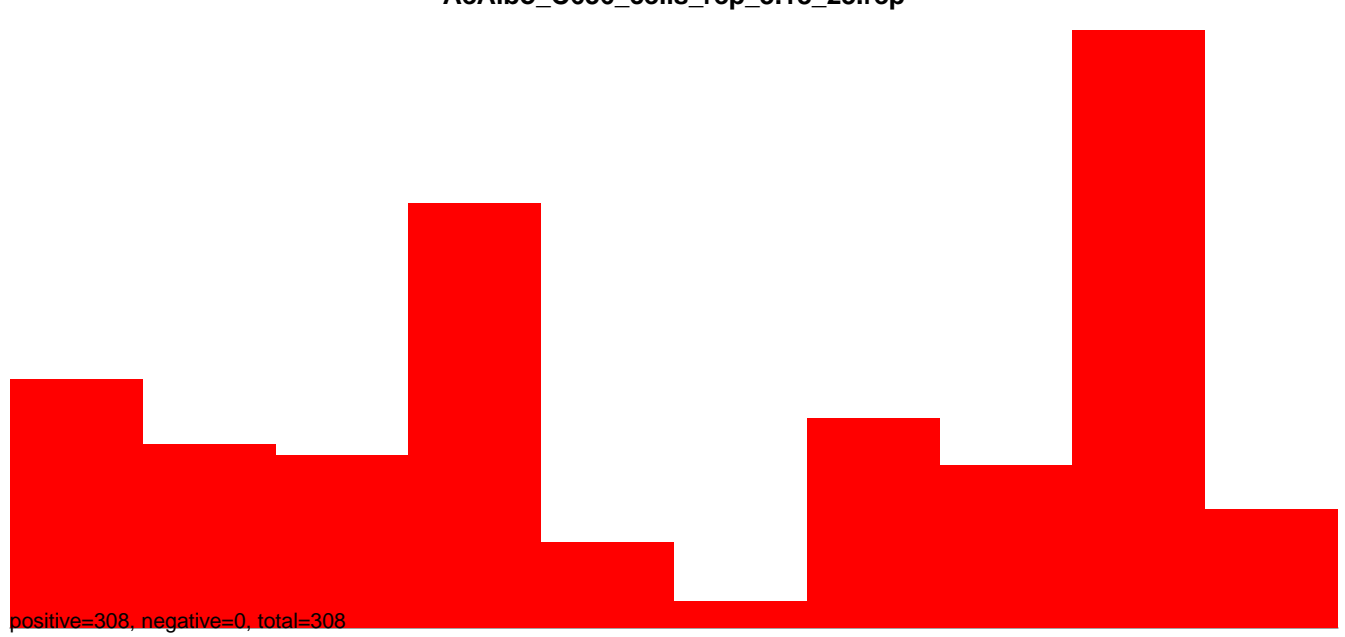
AeAlbo_C636_cells_rep_3.24_35.rep



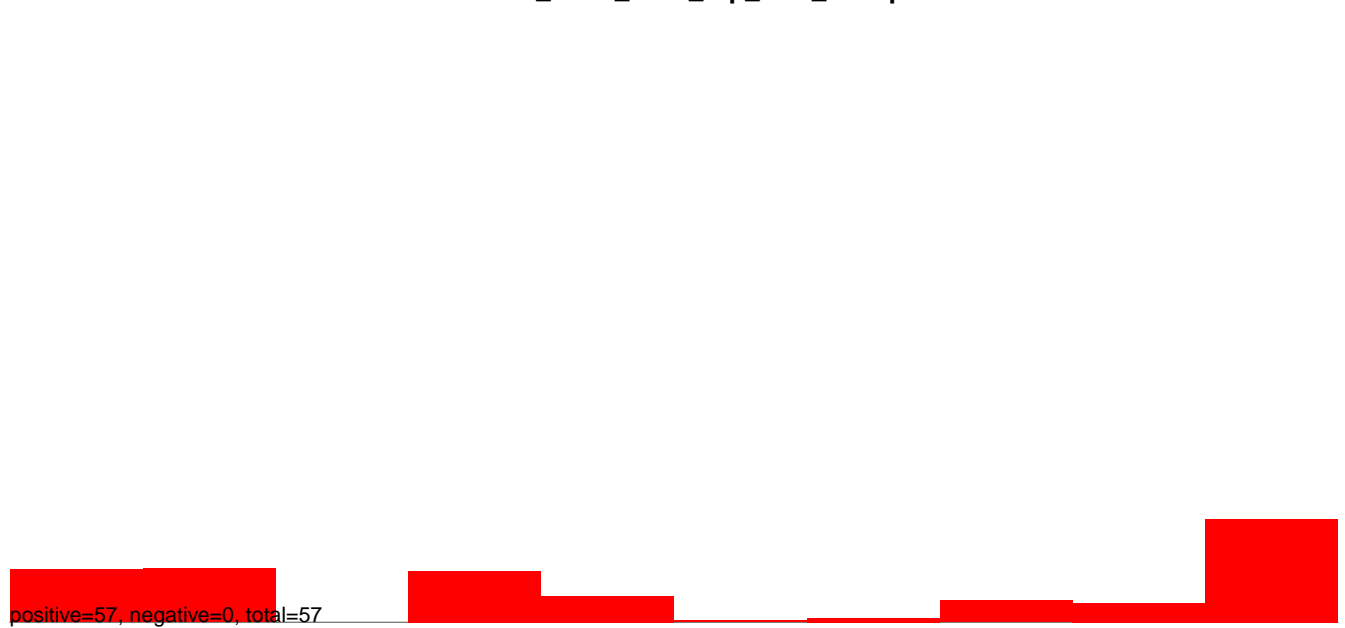
AeAlbo_C636_cells_rep_3.rep



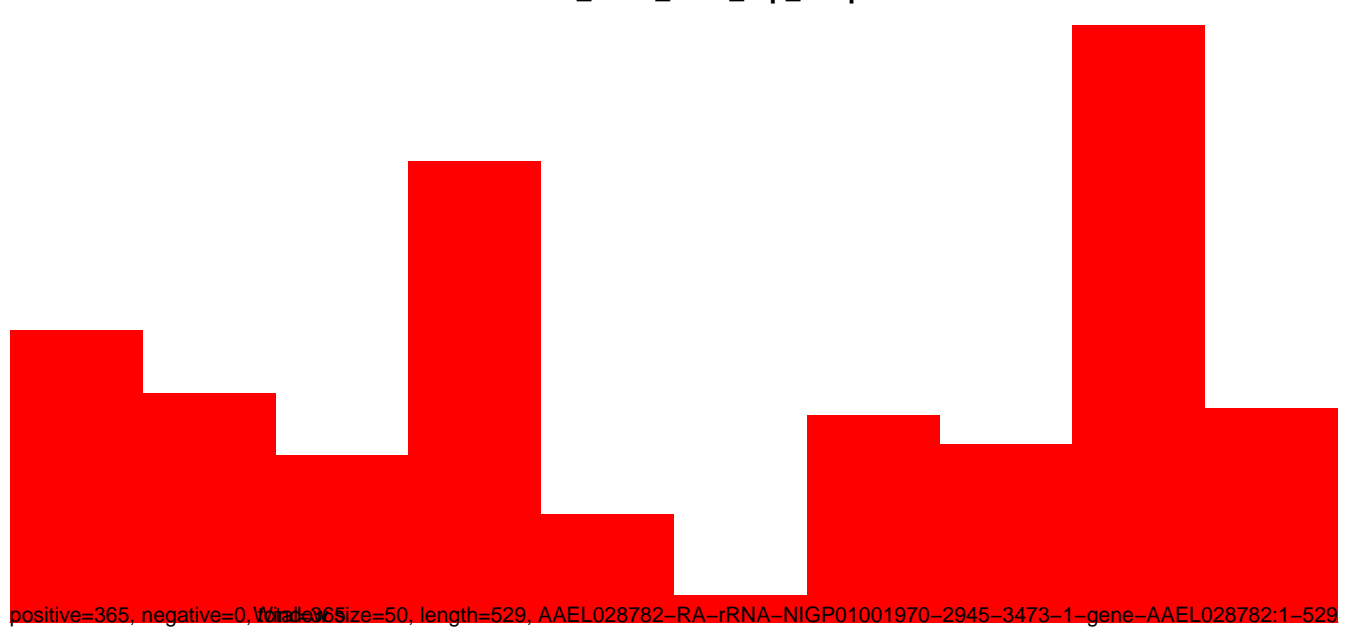
AeAlbo_C636_cells_rep_3.18_23.rep



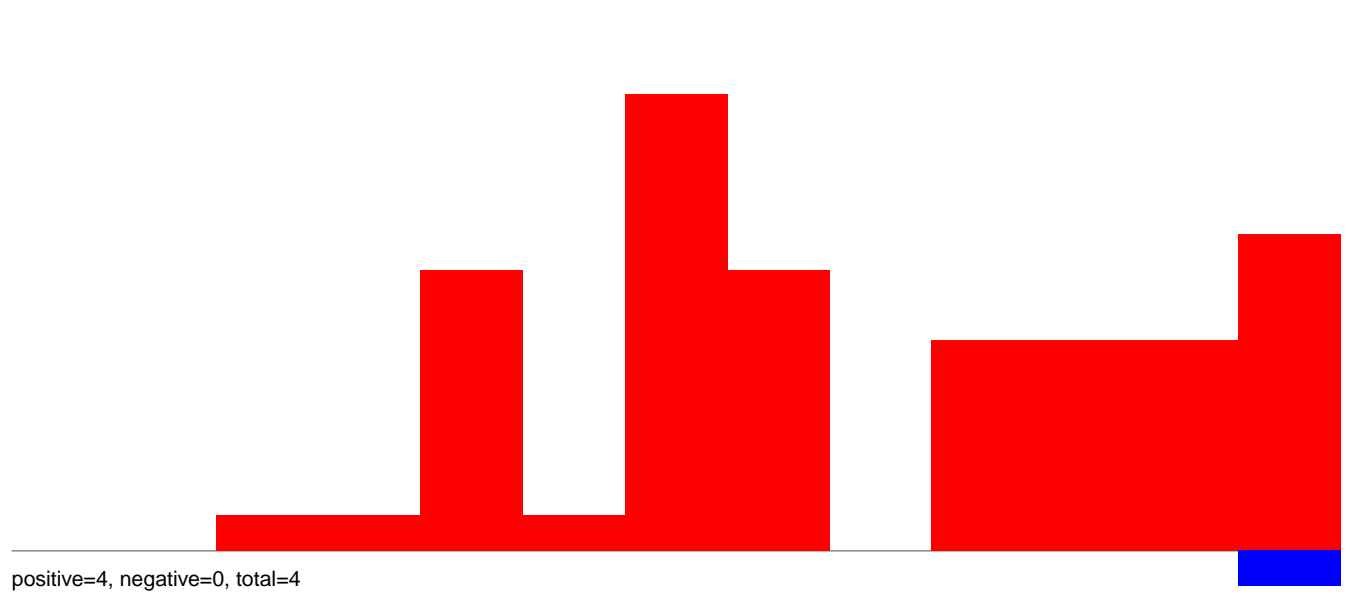
AeAlbo_C636_cells_rep_3.24_35.rep



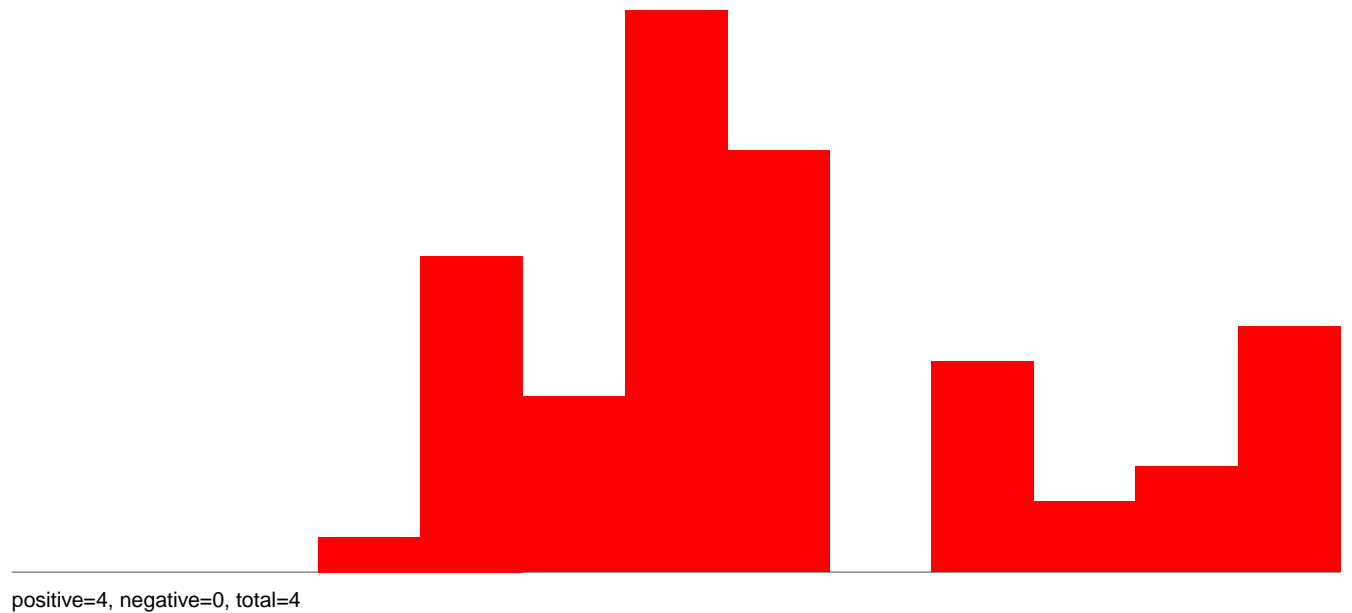
AeAlbo_C636_cells_rep_3.rep



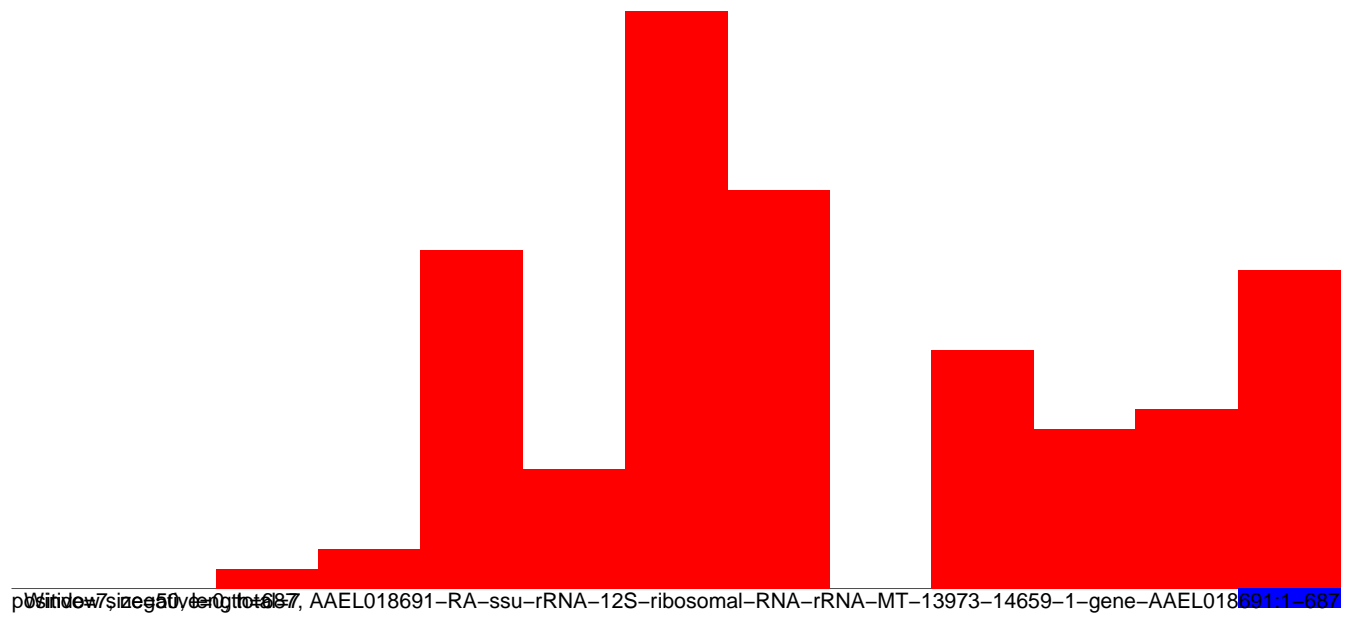
AeAlbo_C636_cells_rep_3.18_23.rep



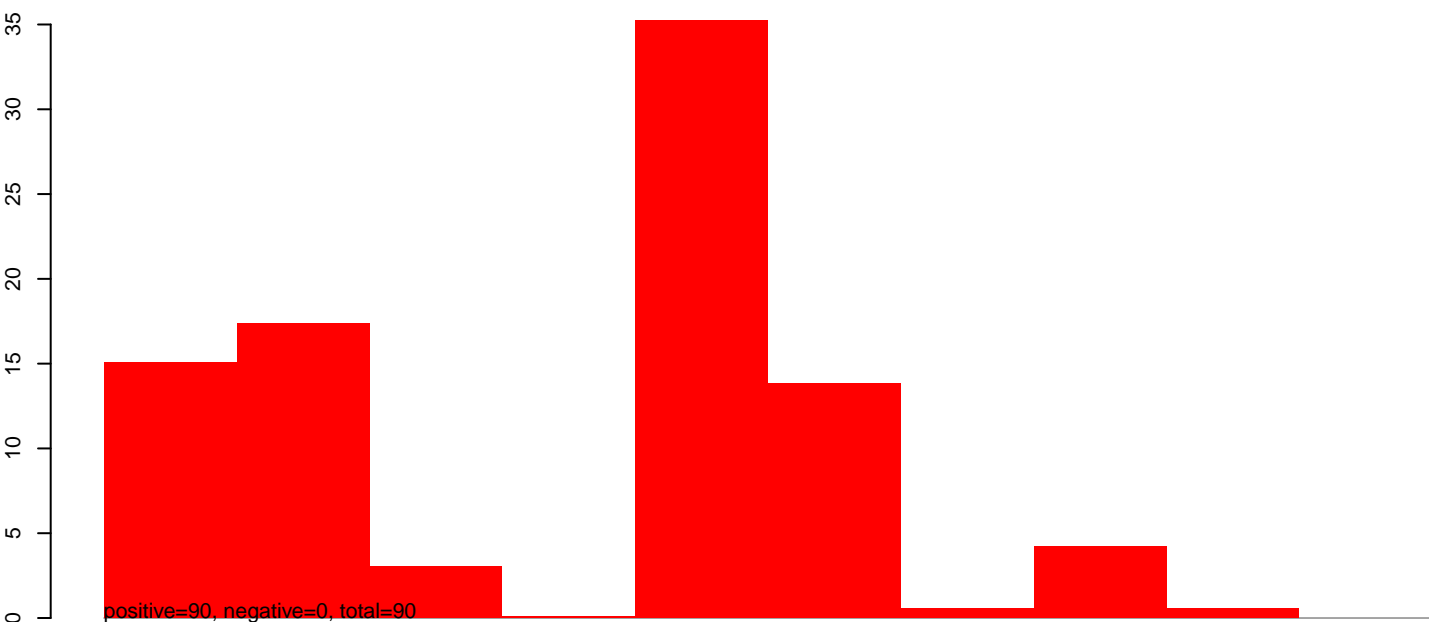
AeAlbo_C636_cells_rep_3.24_35.rep



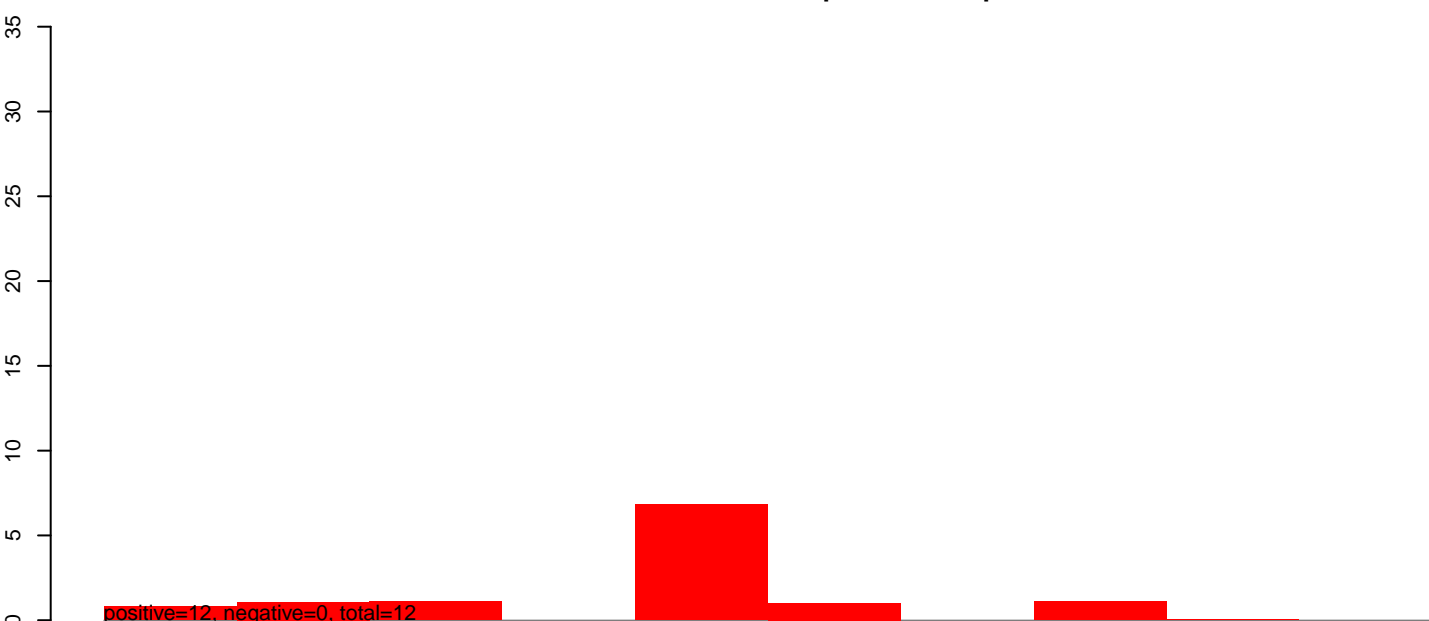
AeAlbo_C636_cells_rep_3.rep



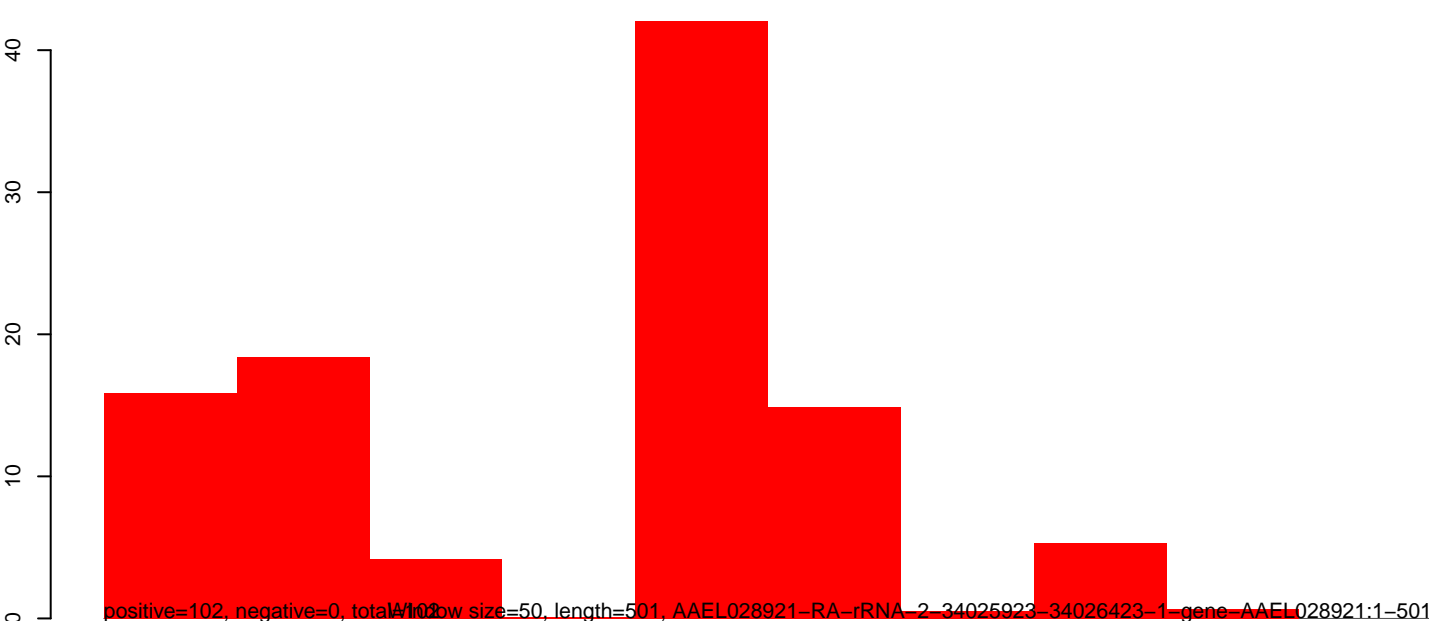
AeAlbo_C636_cells_rep_3.18_23.rep



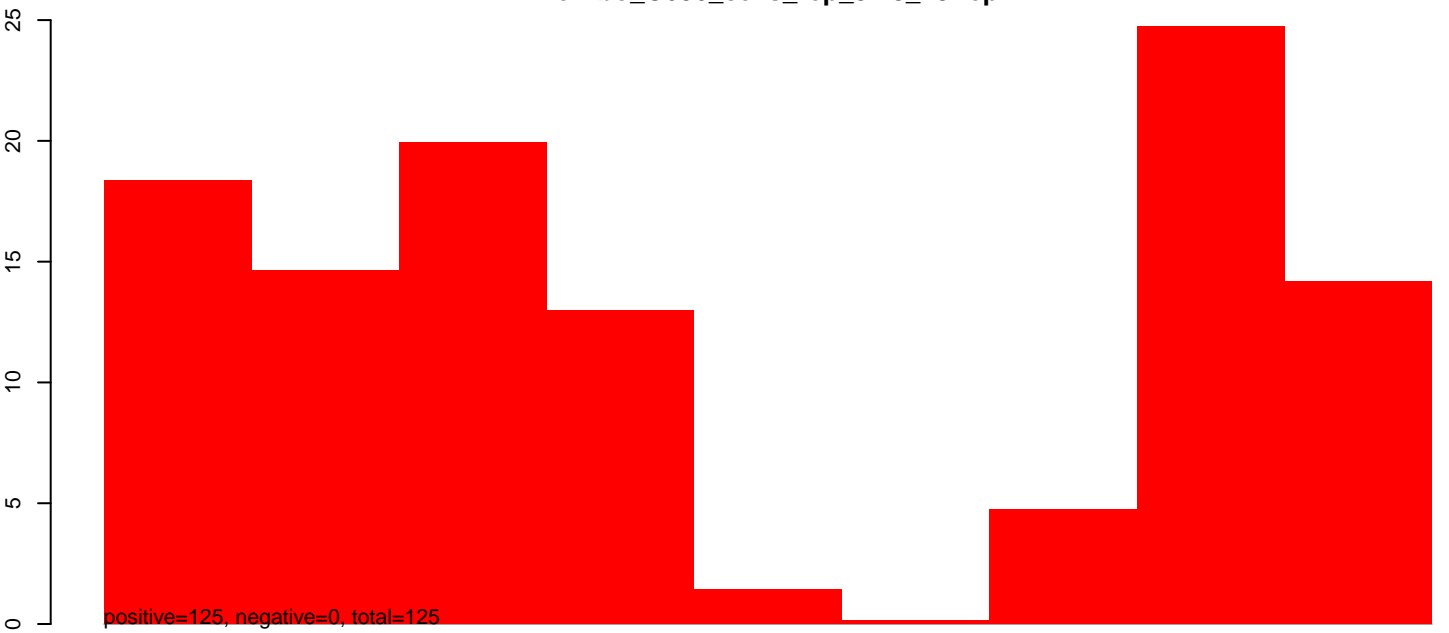
AeAlbo_C636_cells_rep_3.24_35.rep



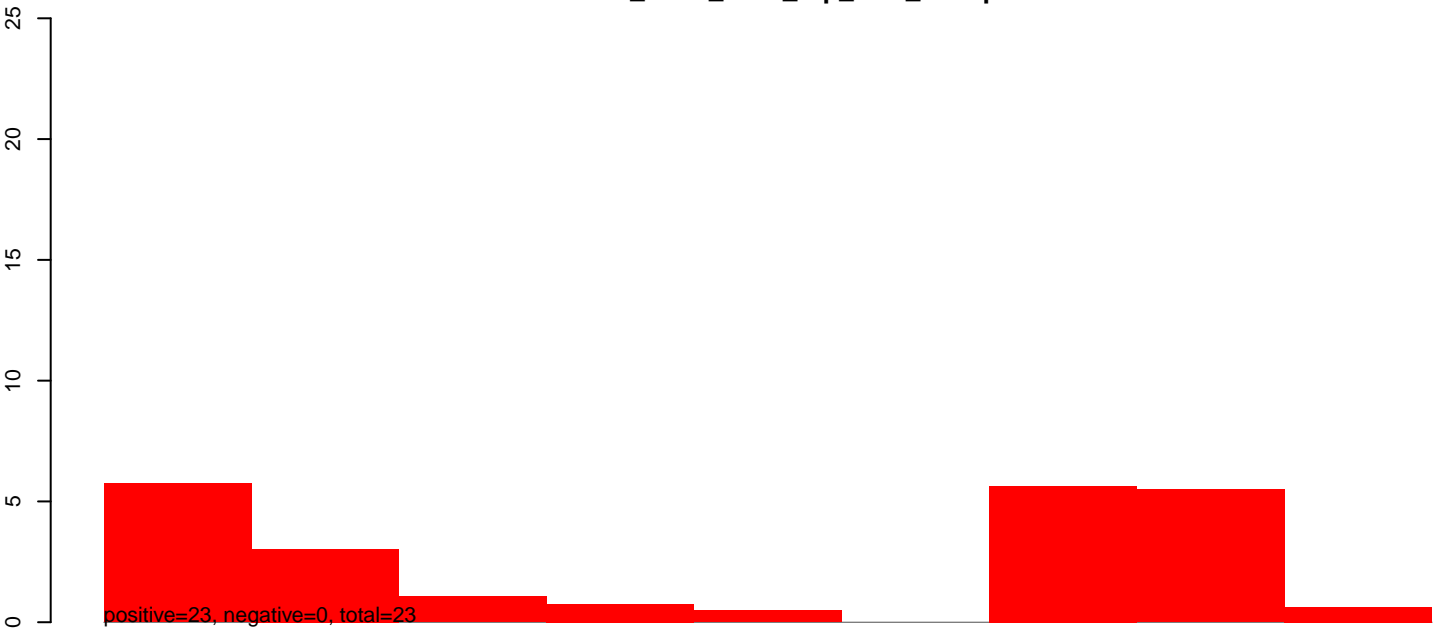
AeAlbo_C636_cells_rep_3.rep



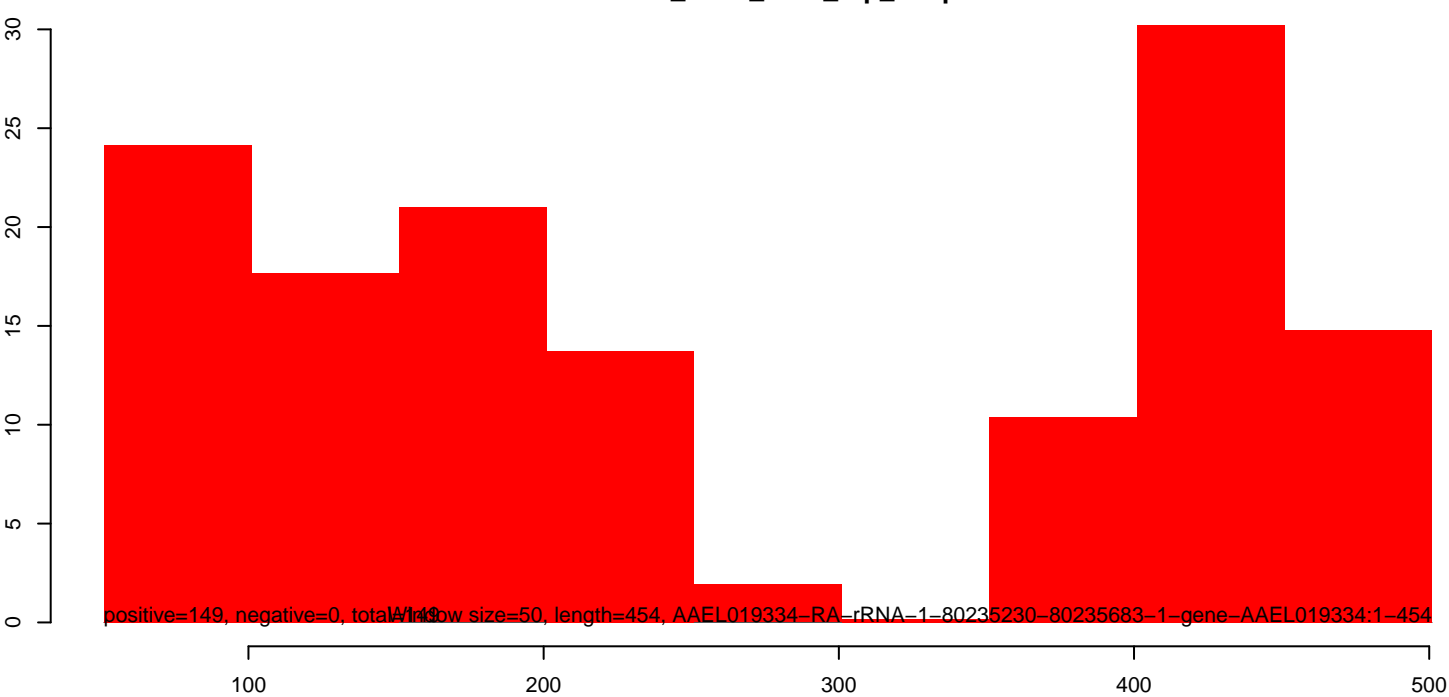
AeAlbo_C636_cells_rep_3.18_23.rep



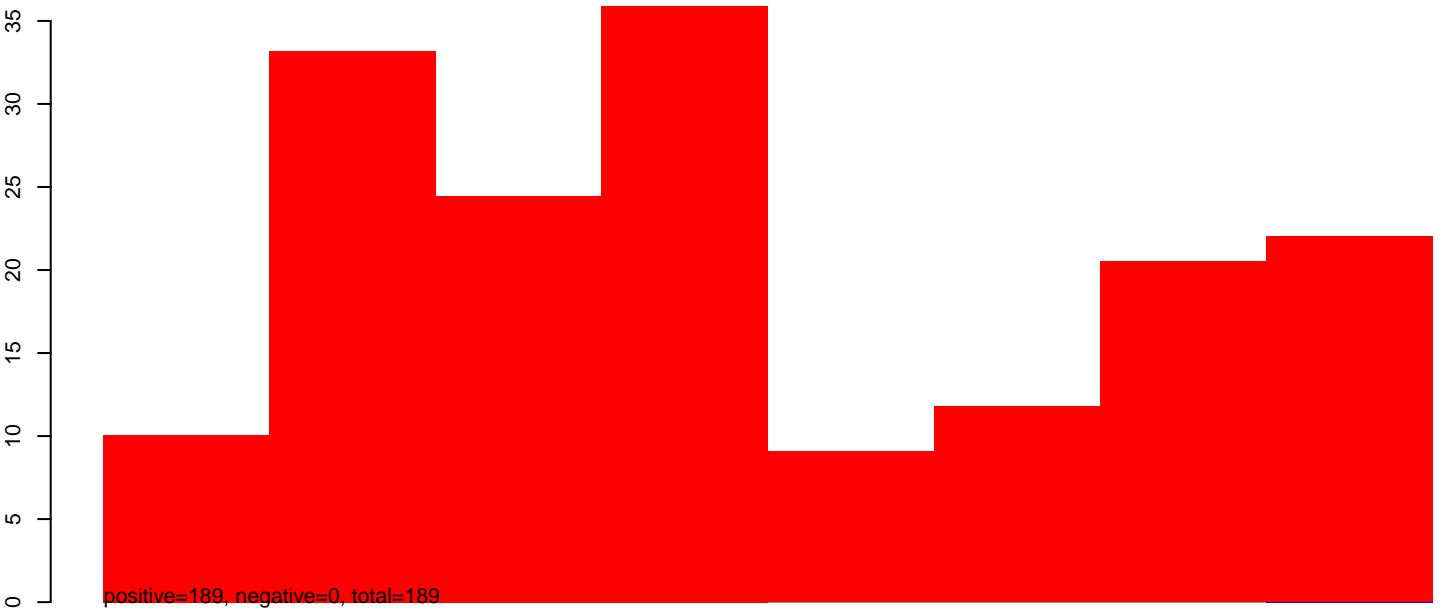
AeAlbo_C636_cells_rep_3.24_35.rep



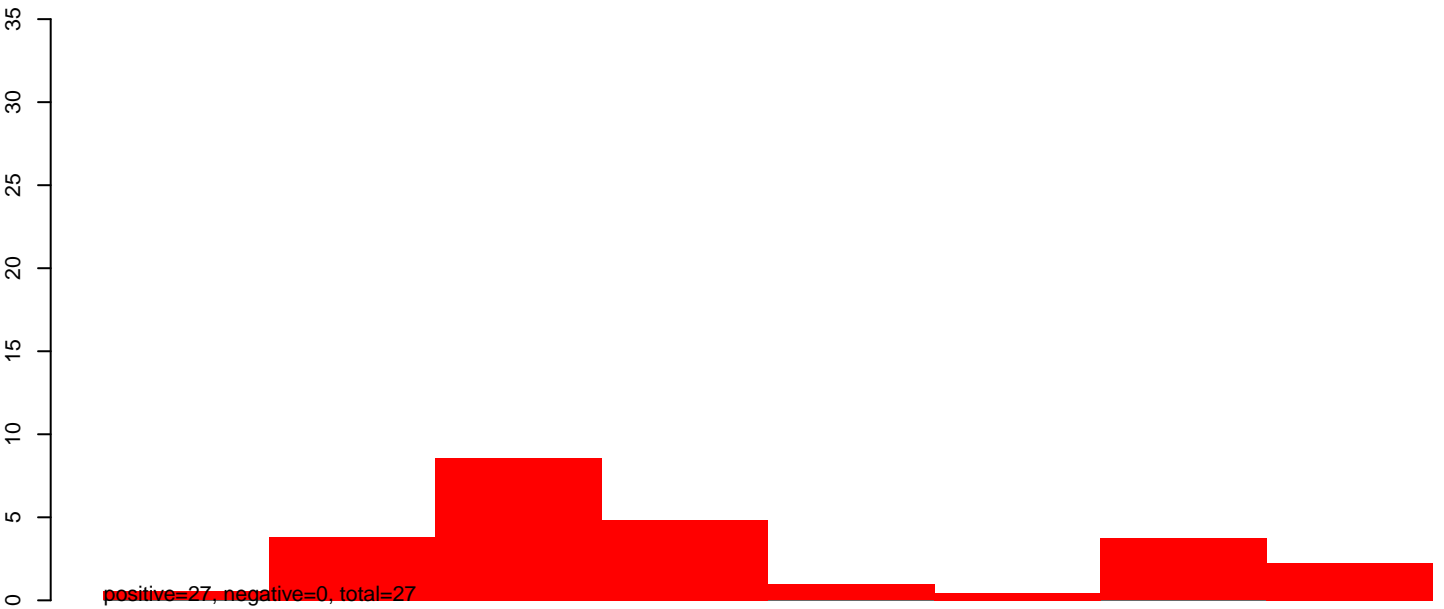
AeAlbo_C636_cells_rep_3.rep



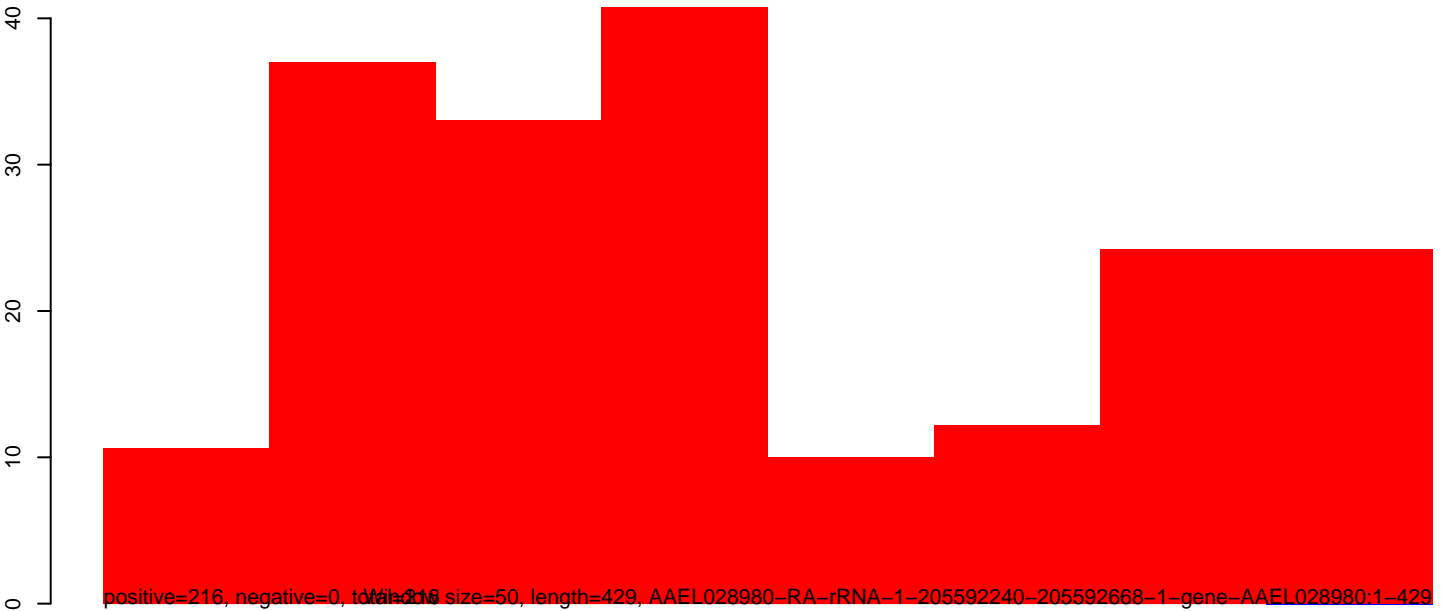
AeAlbo_C636_cells_rep_3.18_23.rep



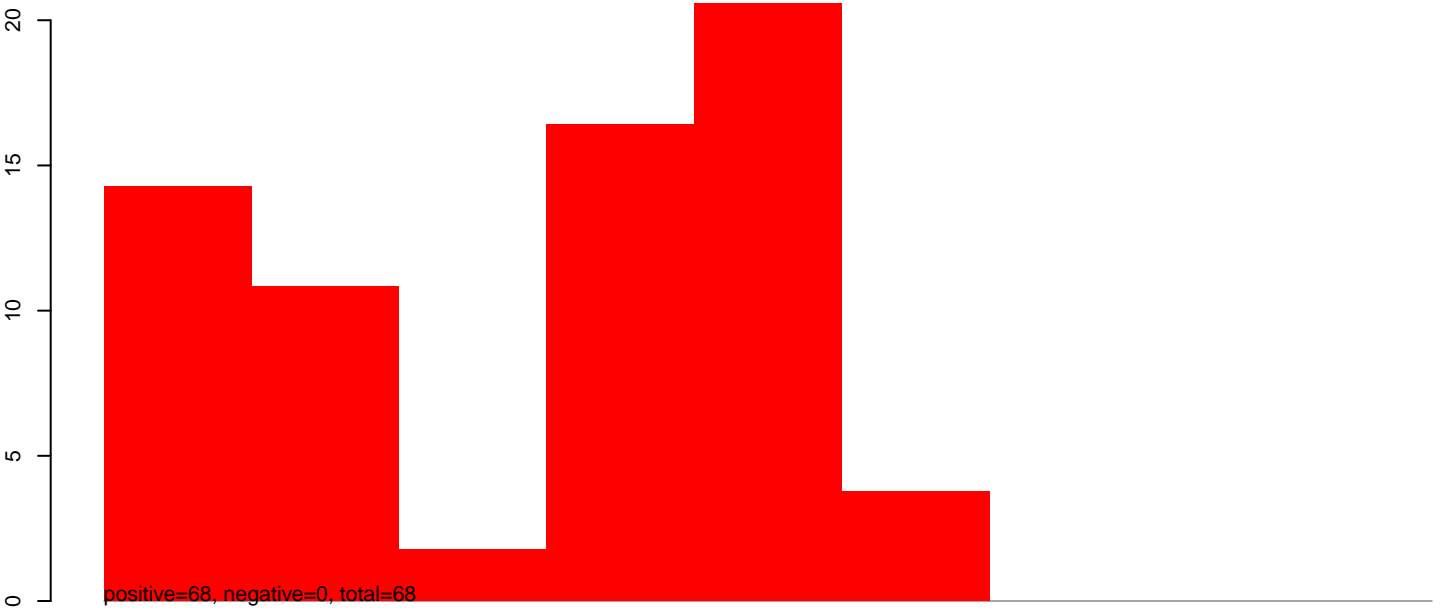
AeAlbo_C636_cells_rep_3.24_35.rep



AeAlbo_C636_cells_rep_3.rep



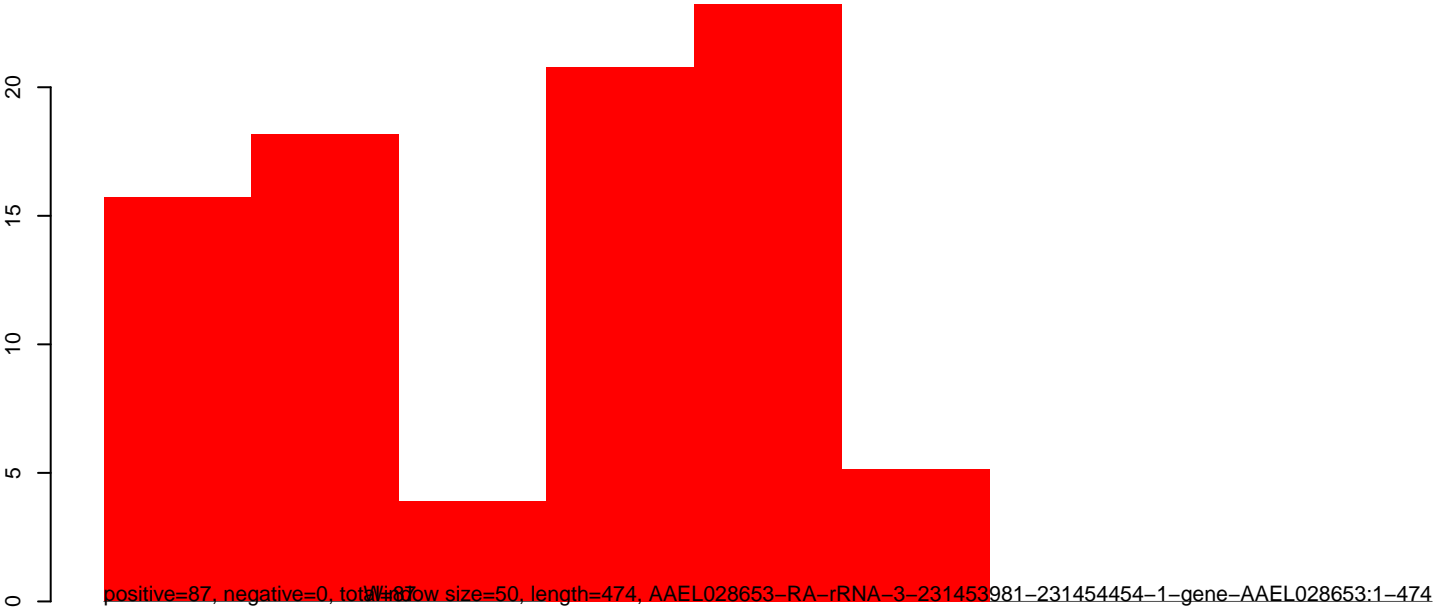
AeAlbo_C636_cells_rep_3.18_23.rep



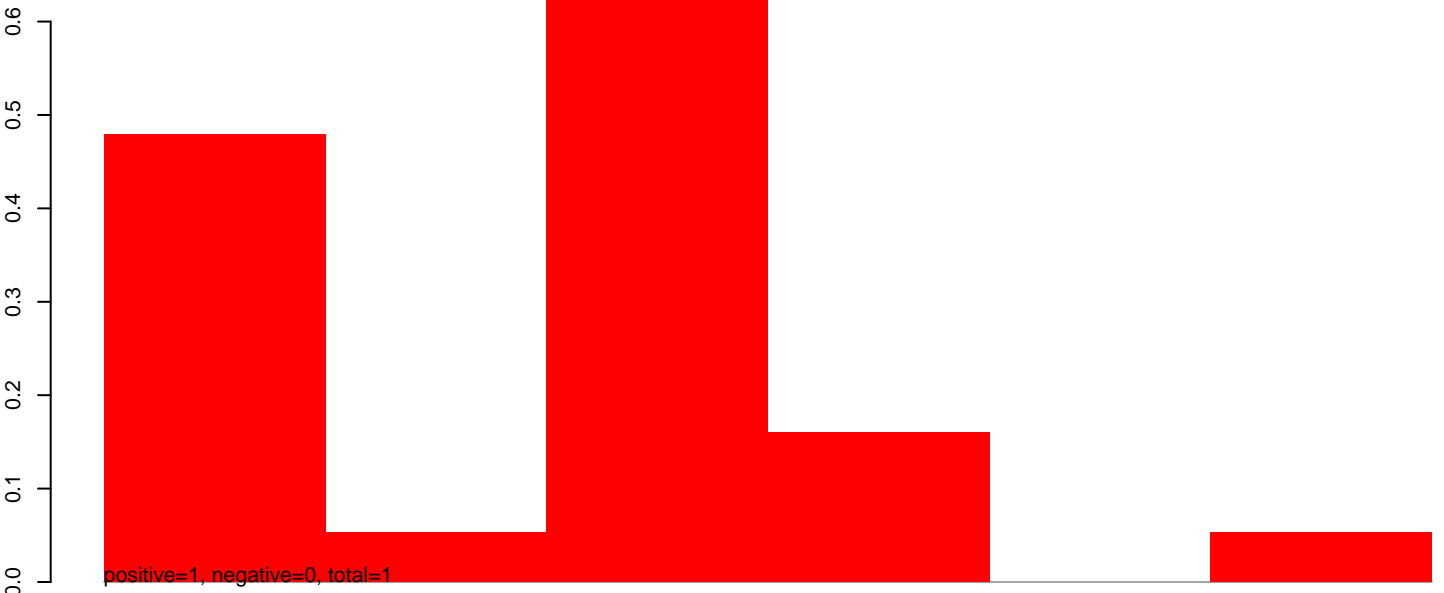
AeAlbo_C636_cells_rep_3.24_35.rep



AeAlbo_C636_cells_rep_3.rep



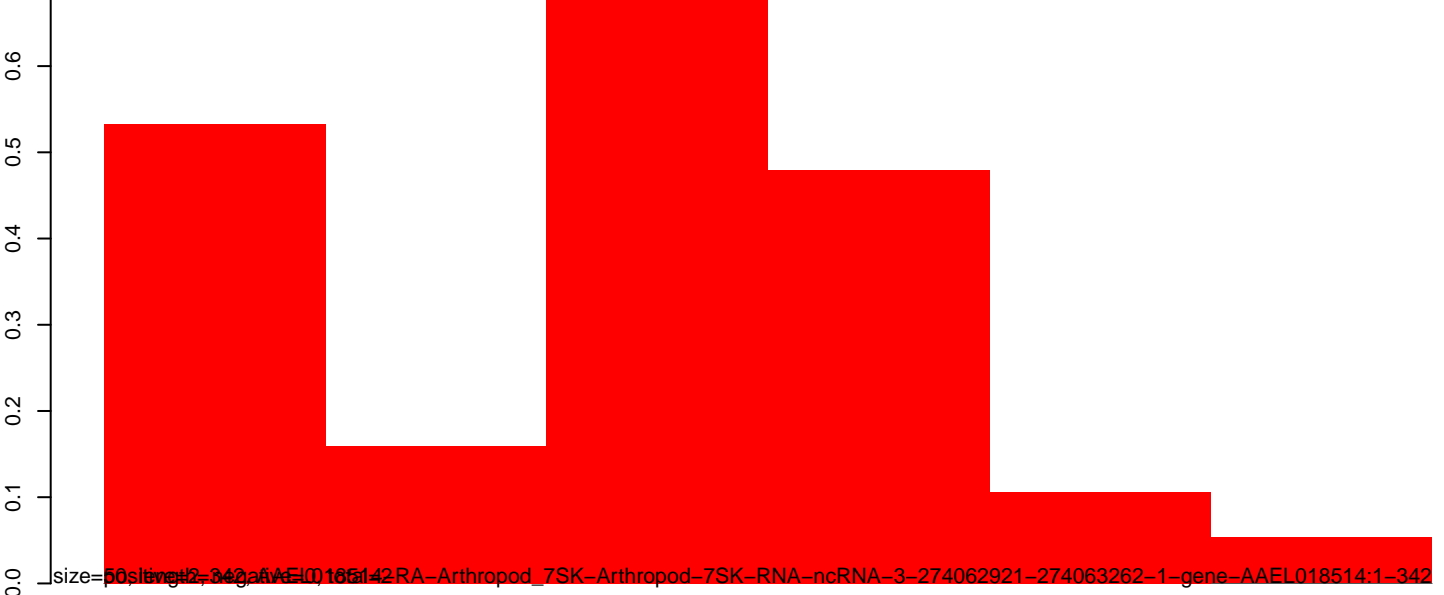
AeAlbo_C636_cells_rep_3.18_23.rep



AeAlbo_C636_cells_rep_3.24_35.rep



AeAlbo_C636_cells_rep_3.rep



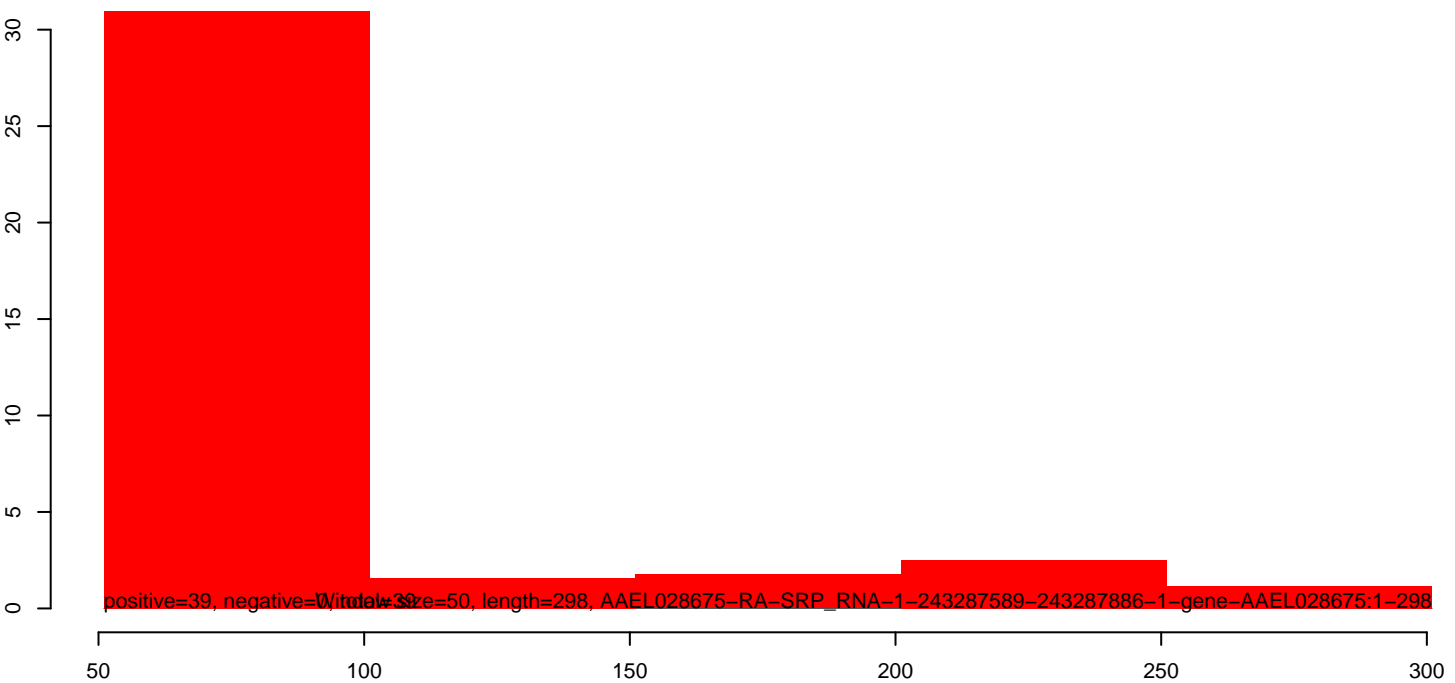
AeAlbo_C636_cells_rep_3.18_23.rep



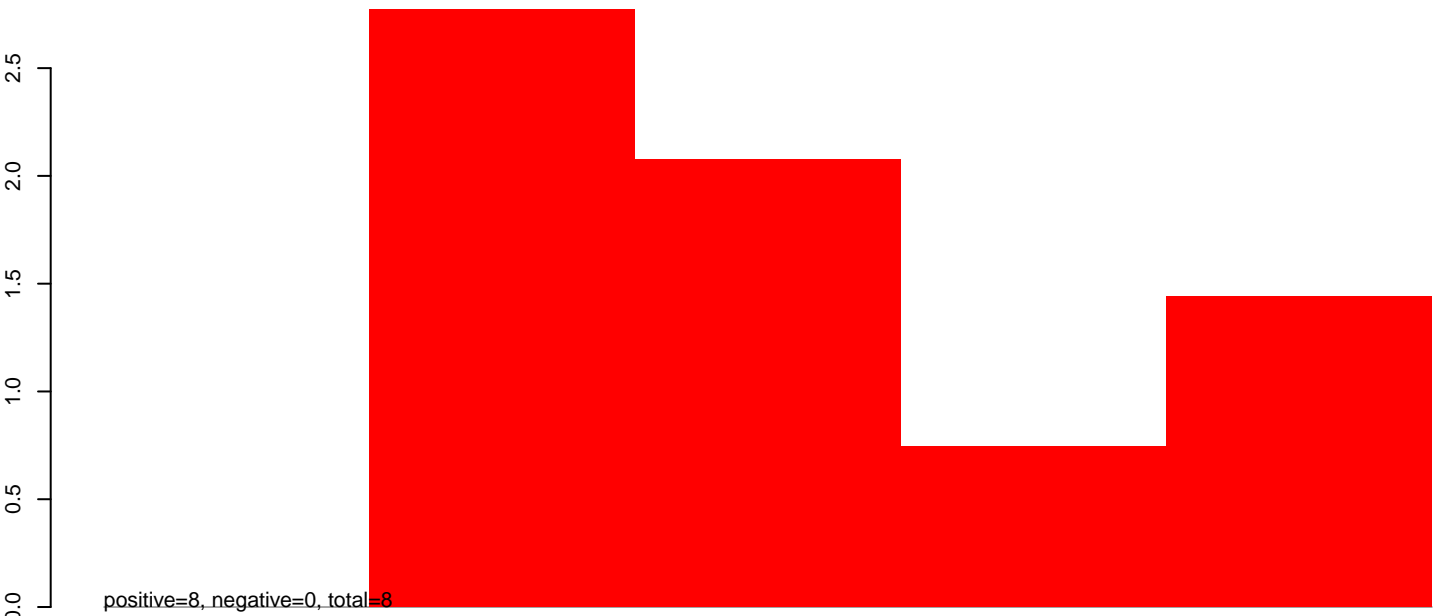
AeAlbo_C636_cells_rep_3.24_35.rep



AeAlbo_C636_cells_rep_3.rep



AeAlbo_C636_cells_rep_3.18_23.rep



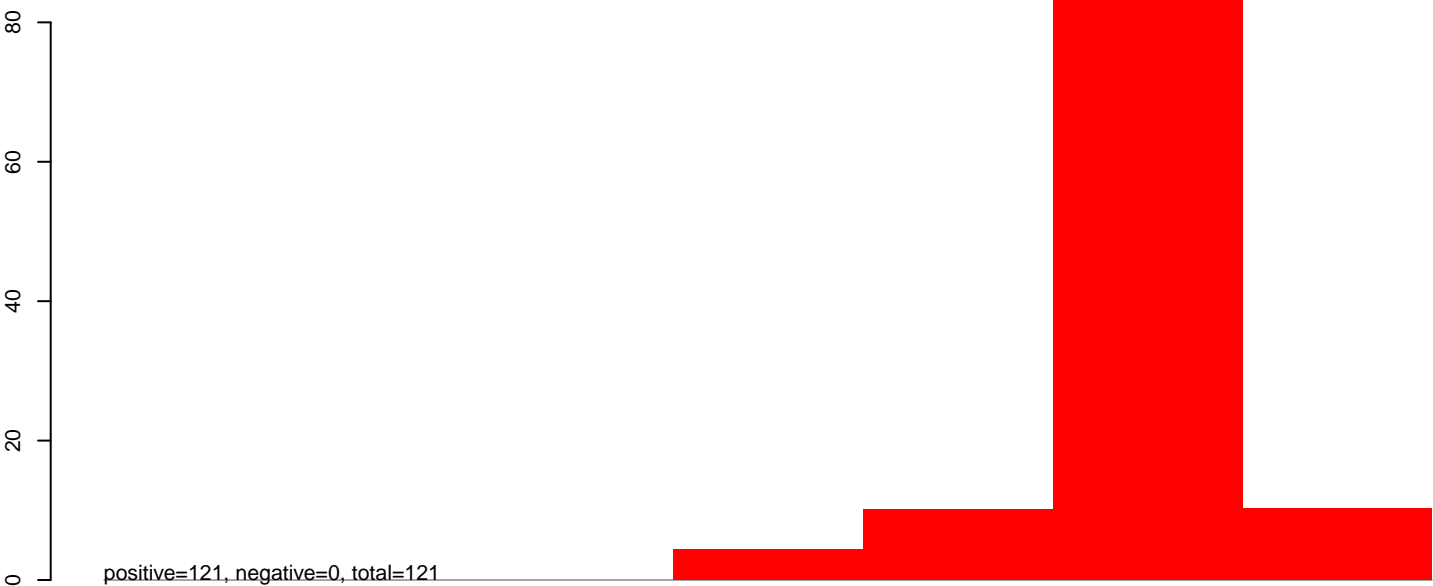
AeAlbo_C636_cells_rep_3.24_35.rep



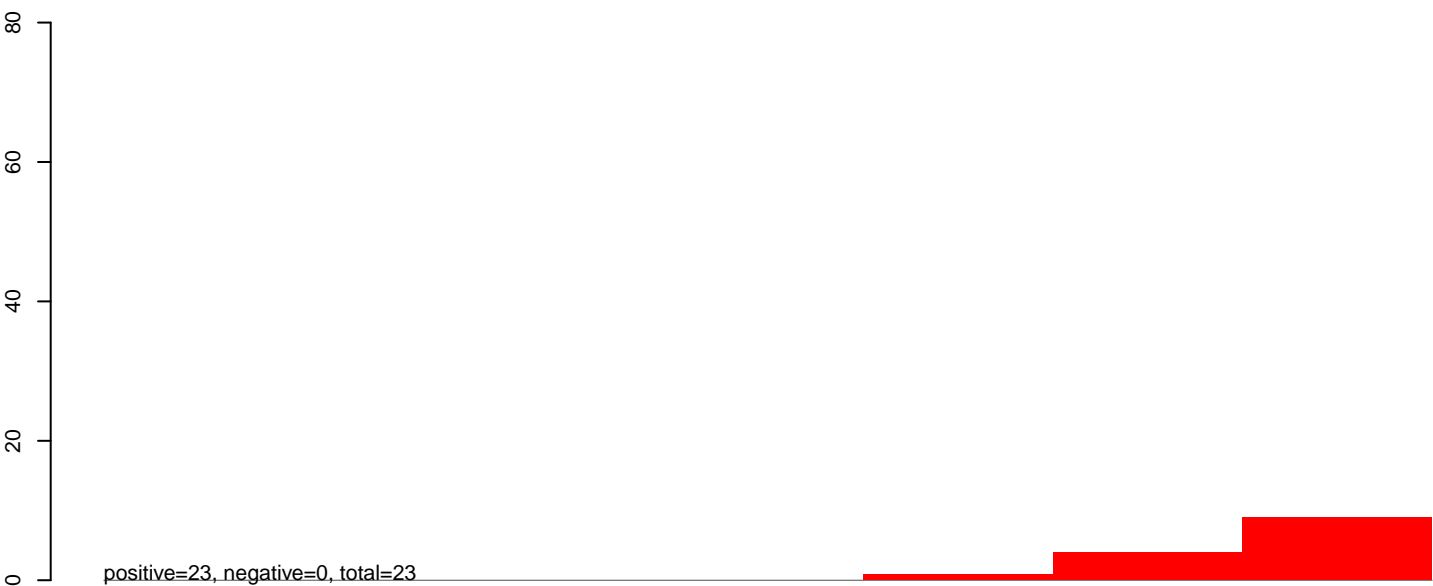
AeAlbo_C636_cells_rep_3.rep



AeAlbo_C636_cells_rep_3.18_23.rep



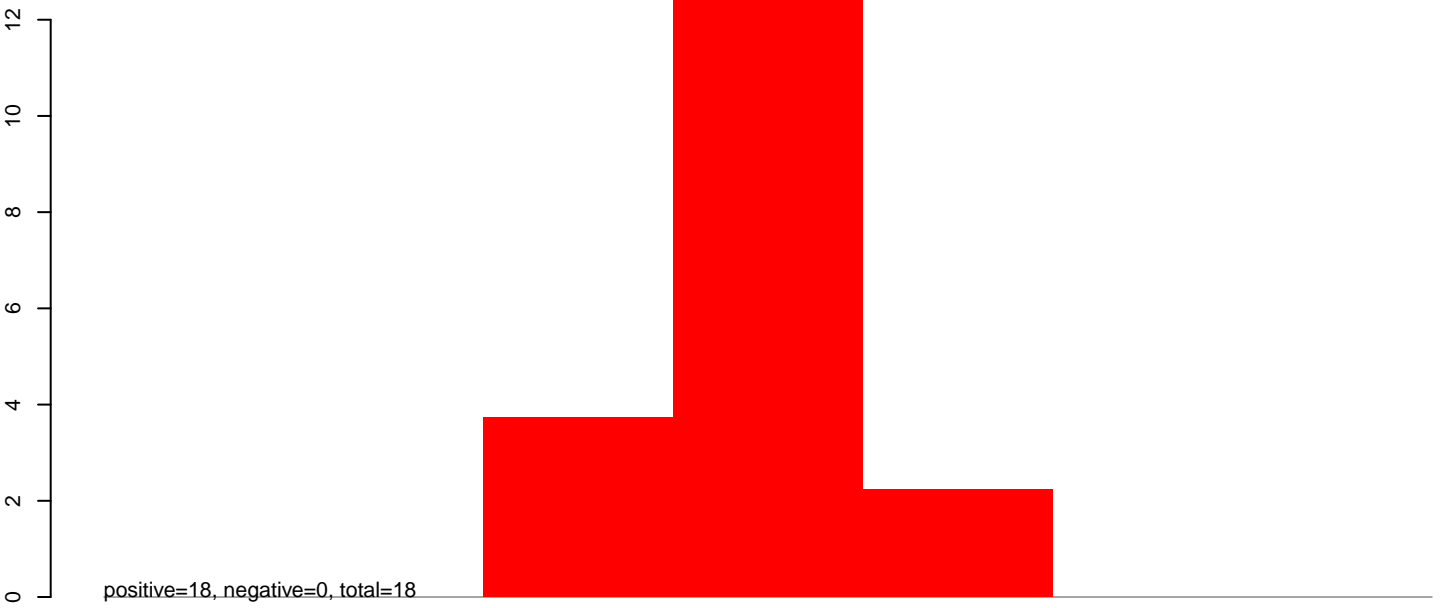
AeAlbo_C636_cells_rep_3.24_35.rep



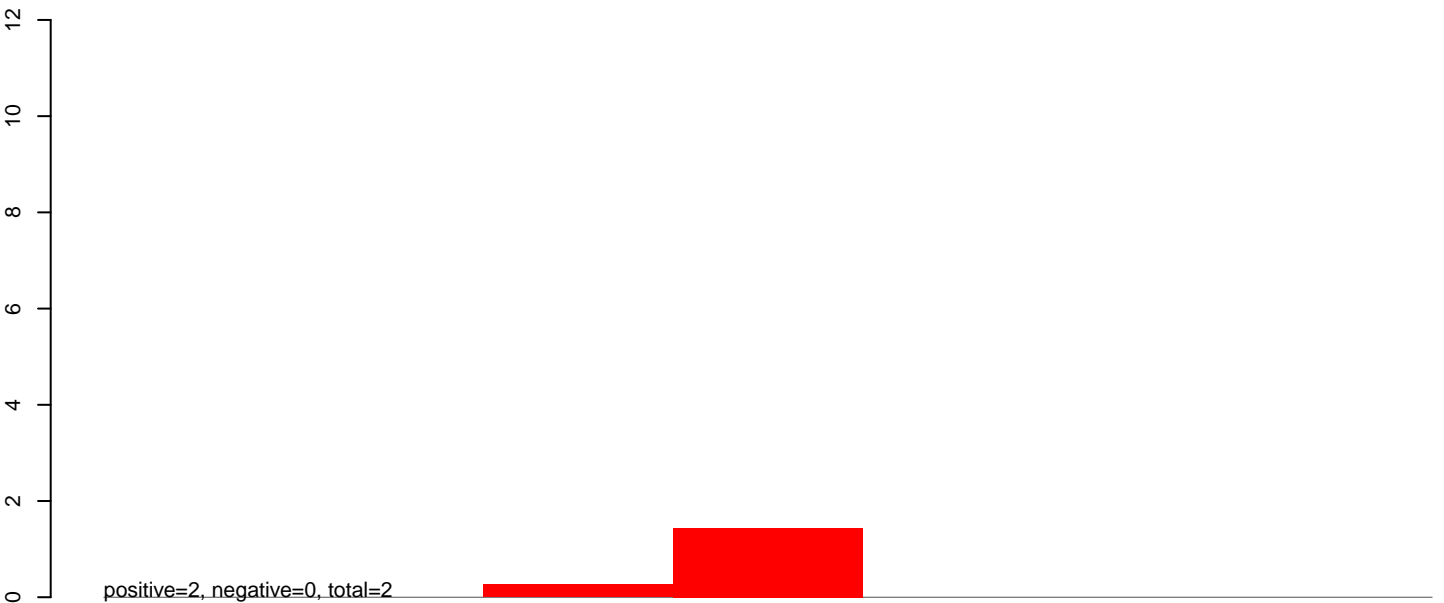
AeAlbo_C636_cells_rep_3.rep



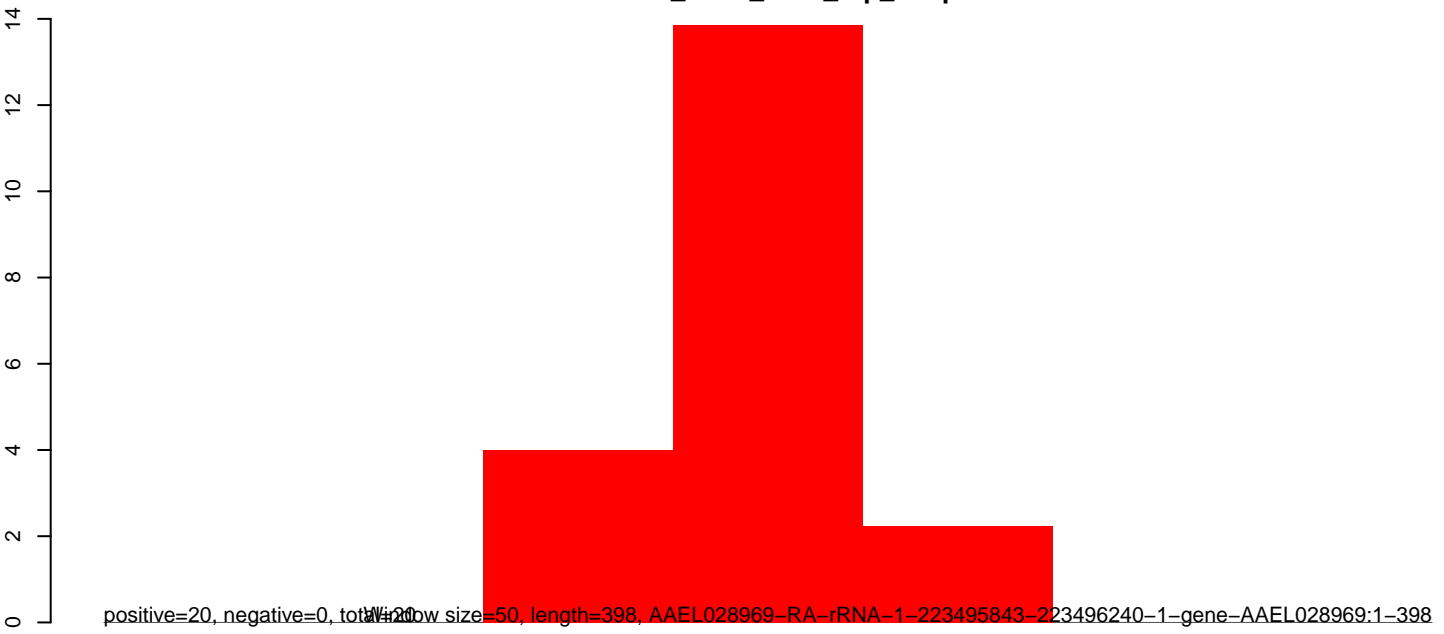
AeAlbo_C636_cells_rep_3.18_23.rep



AeAlbo_C636_cells_rep_3.24_35.rep

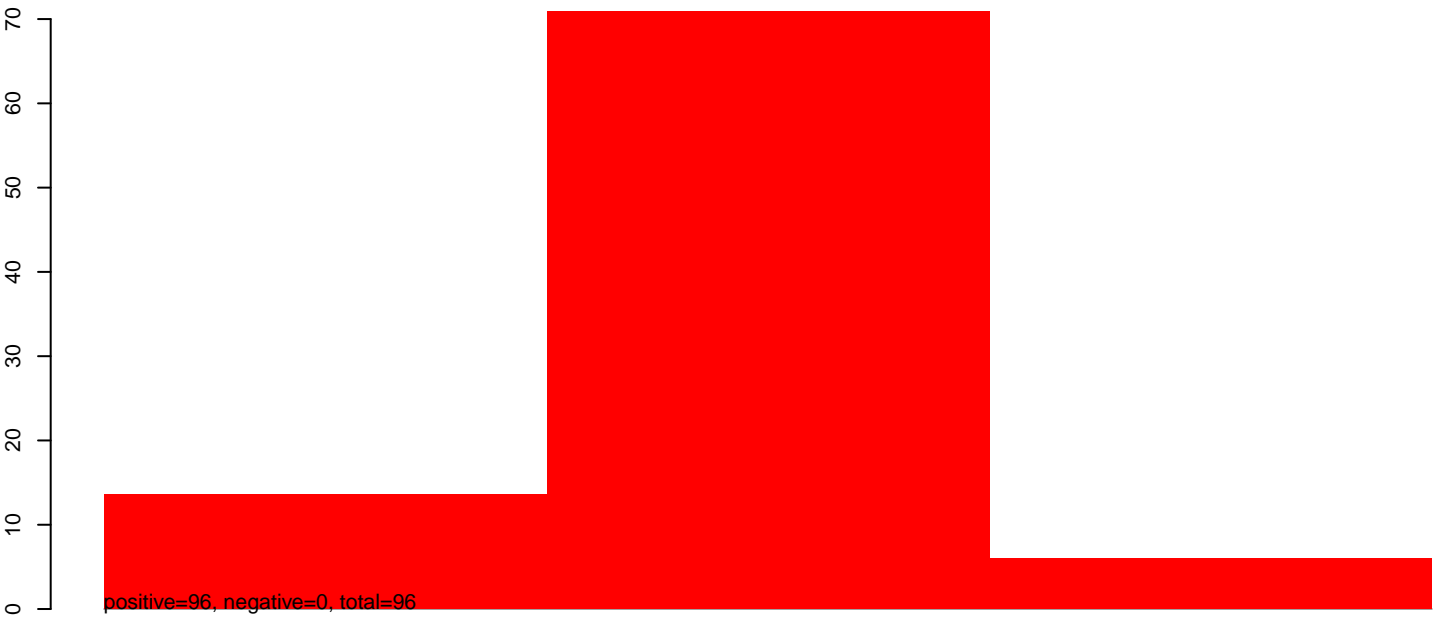


AeAlbo_C636_cells_rep_3.rep



50 100 150 200 250 300 350 400

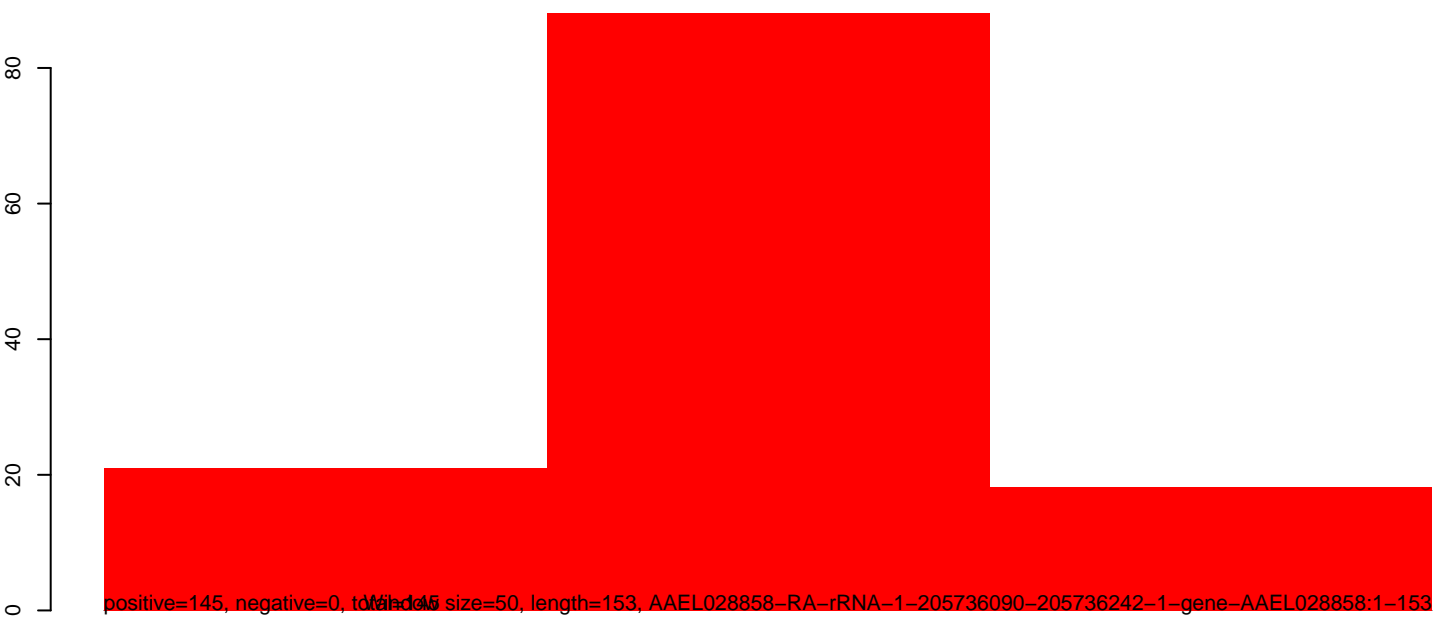
AeAlbo_C636_cells_rep_3.18_23.rep



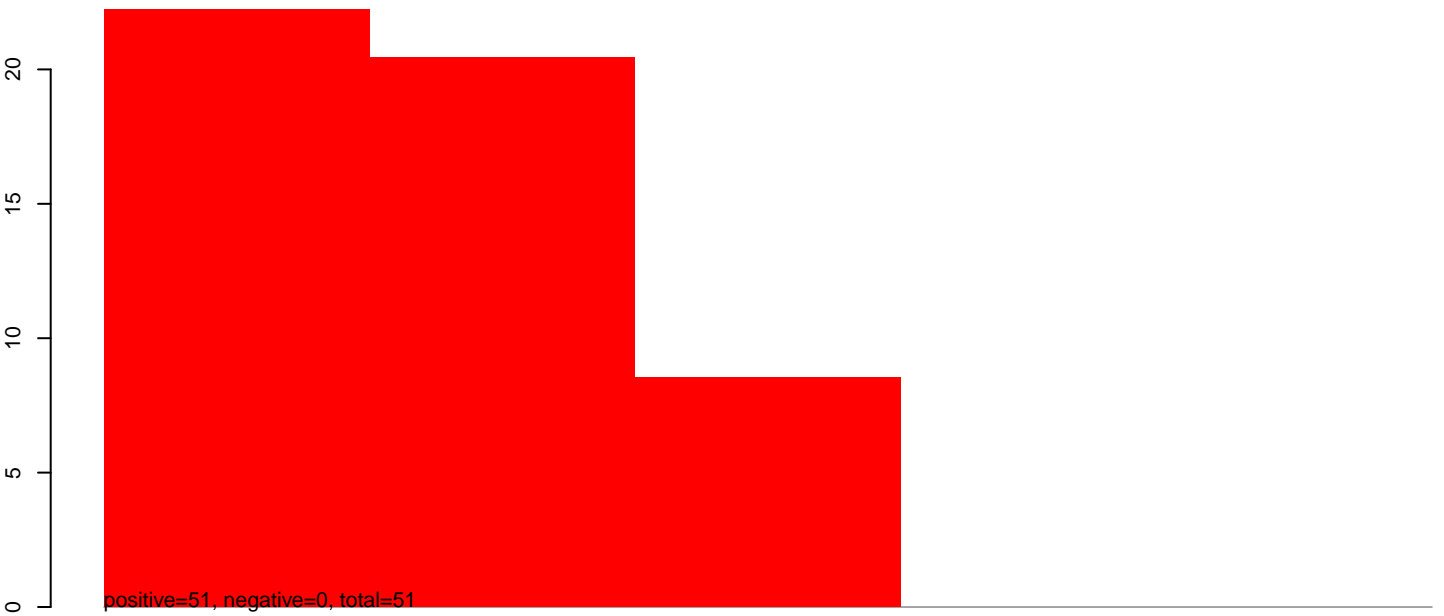
AeAlbo_C636_cells_rep_3.24_35.rep



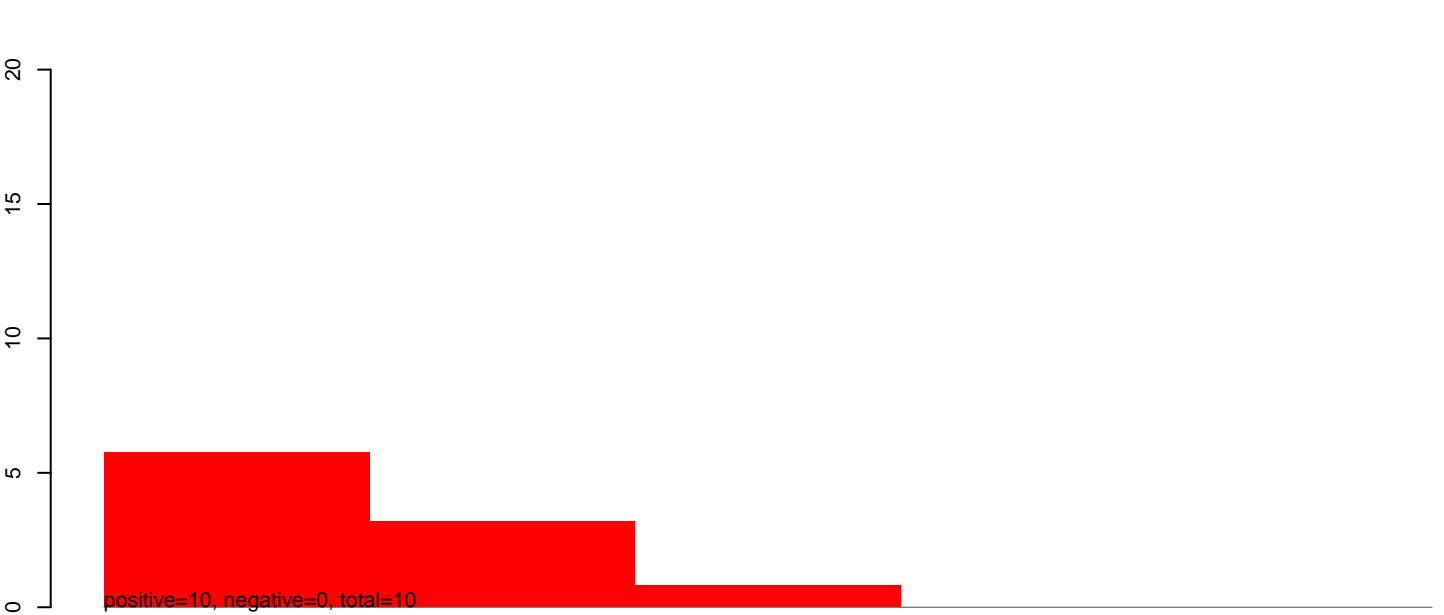
AeAlbo_C636_cells_rep_3.rep



AeAlbo_C636_cells_rep_3.18_23.rep



AeAlbo_C636_cells_rep_3.24_35.rep



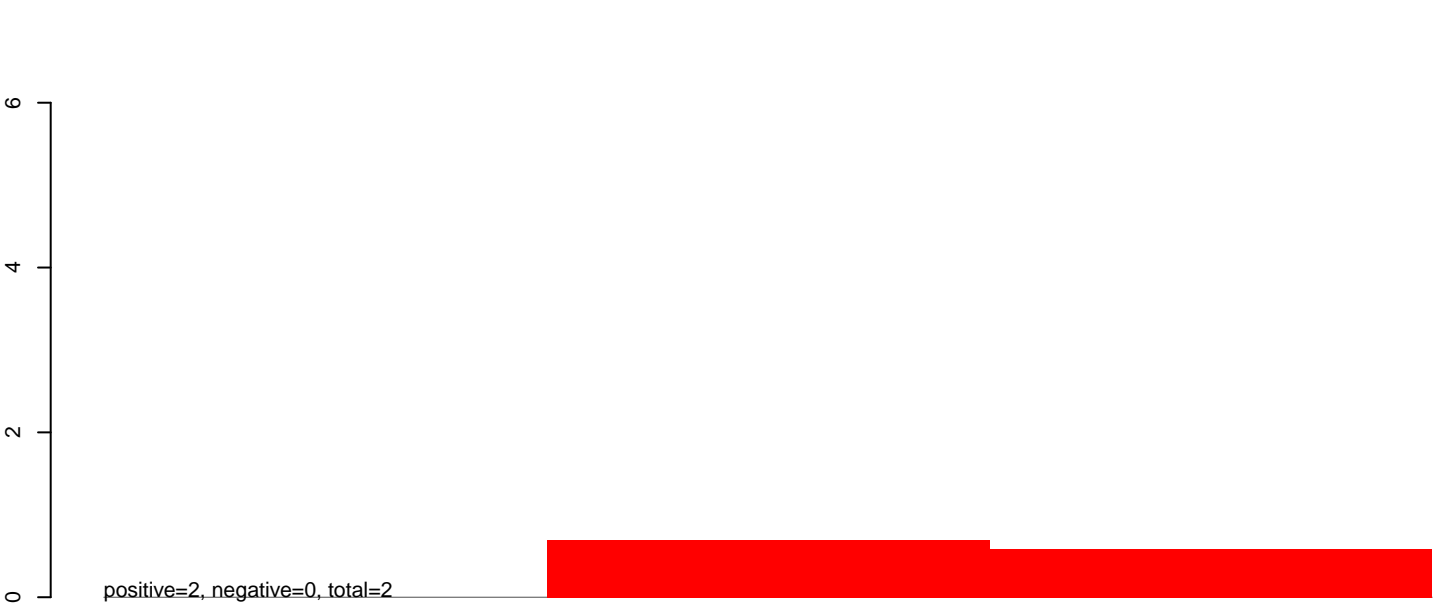
AeAlbo_C636_cells_rep_3.rep



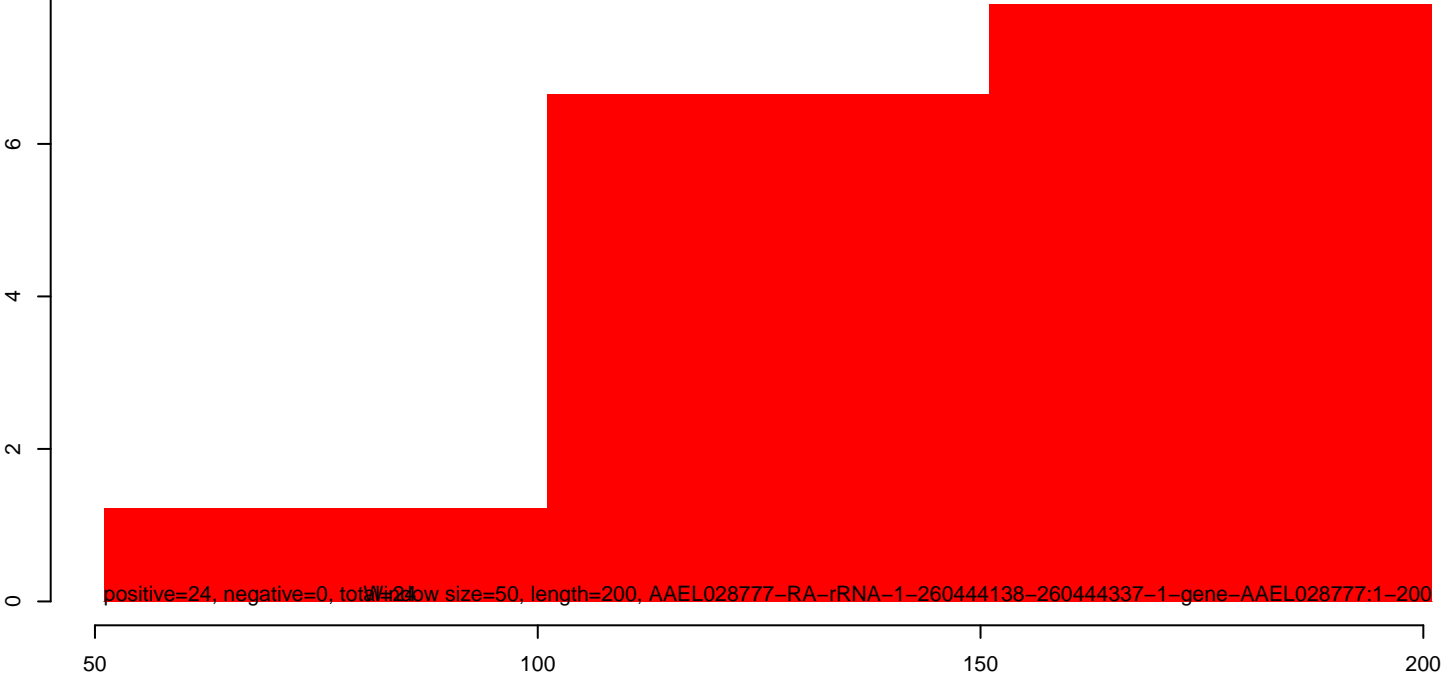
AeAlbo_C636_cells_rep_3.18_23.rep



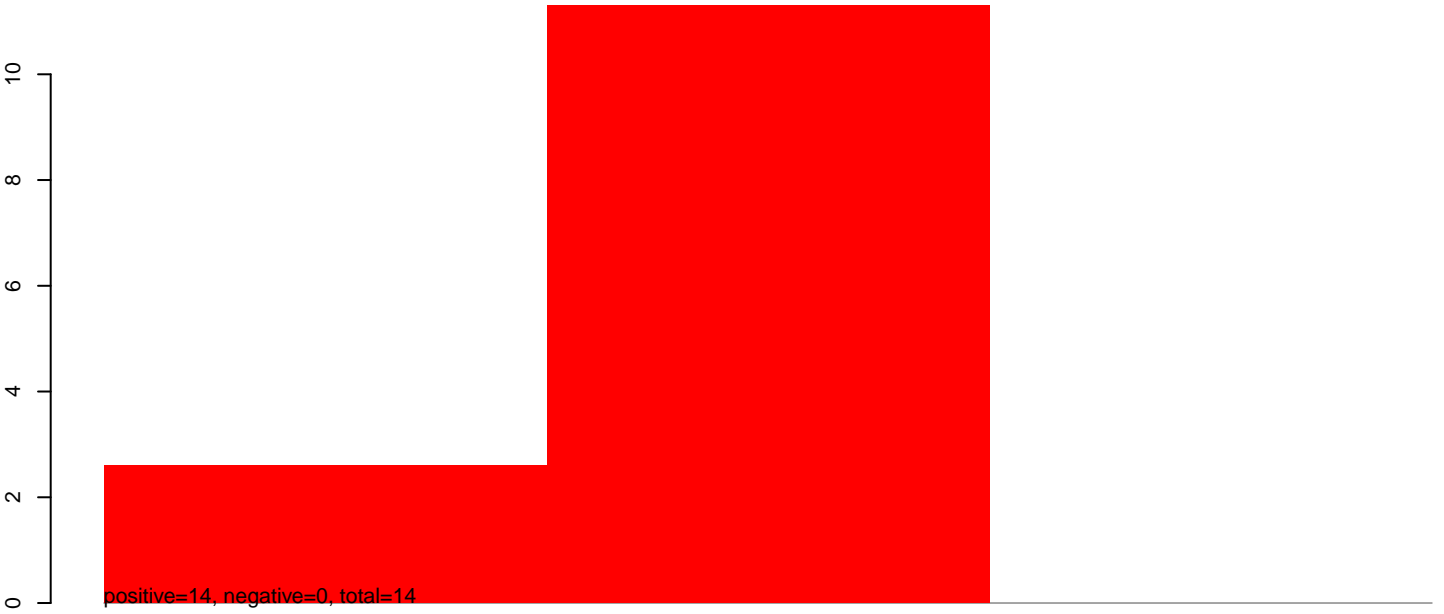
AeAlbo_C636_cells_rep_3.24_35.rep



AeAlbo_C636_cells_rep_3.rep



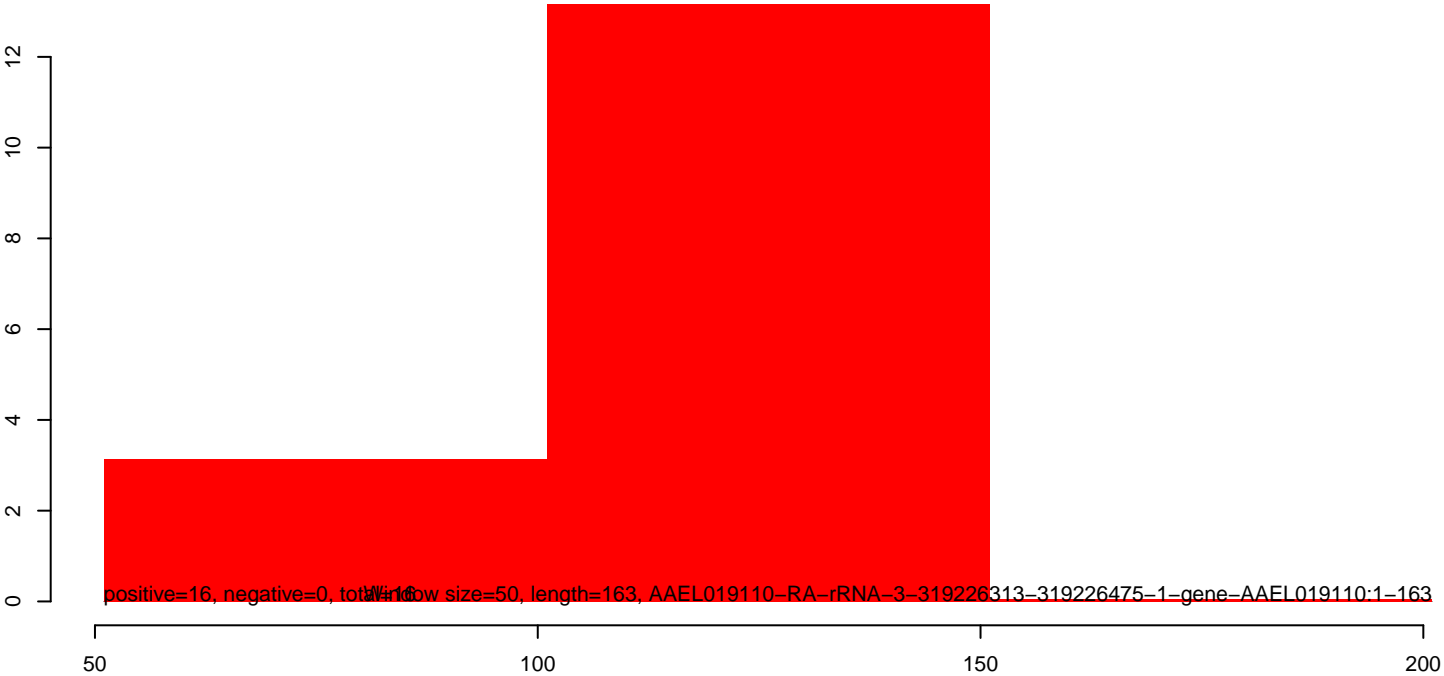
AeAlbo_C636_cells_rep_3.18_23.rep



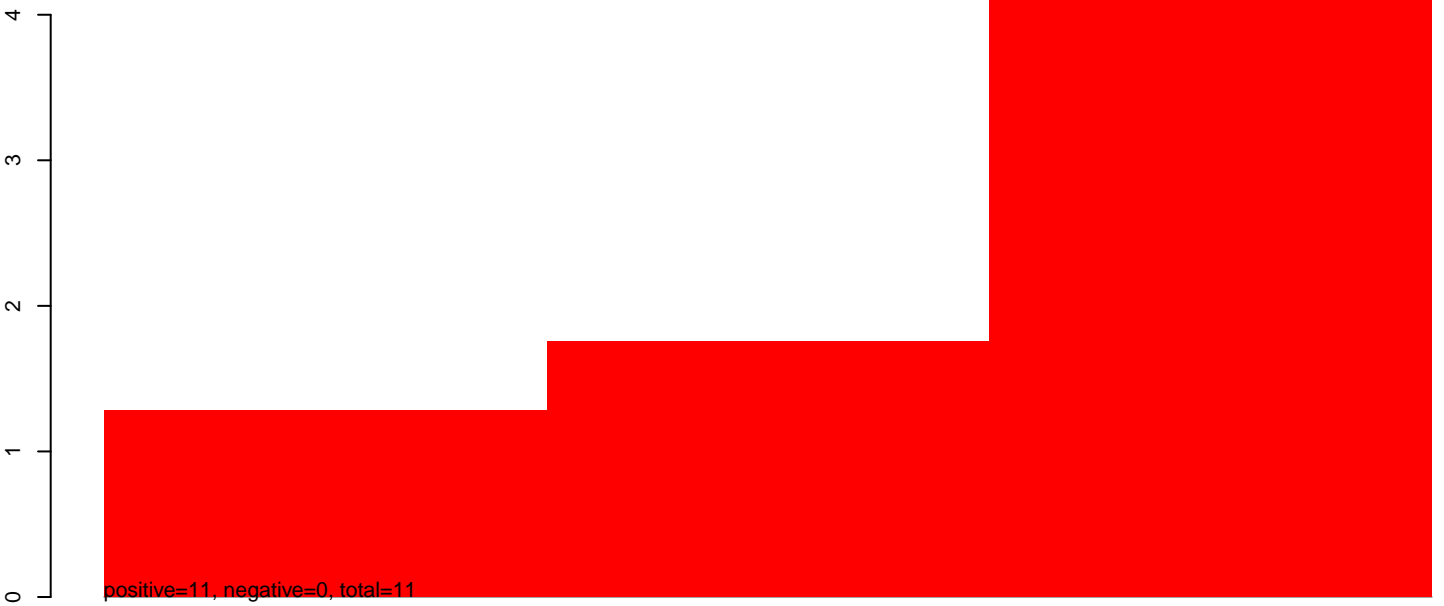
AeAlbo_C636_cells_rep_3.24_35.rep



AeAlbo_C636_cells_rep_3.rep



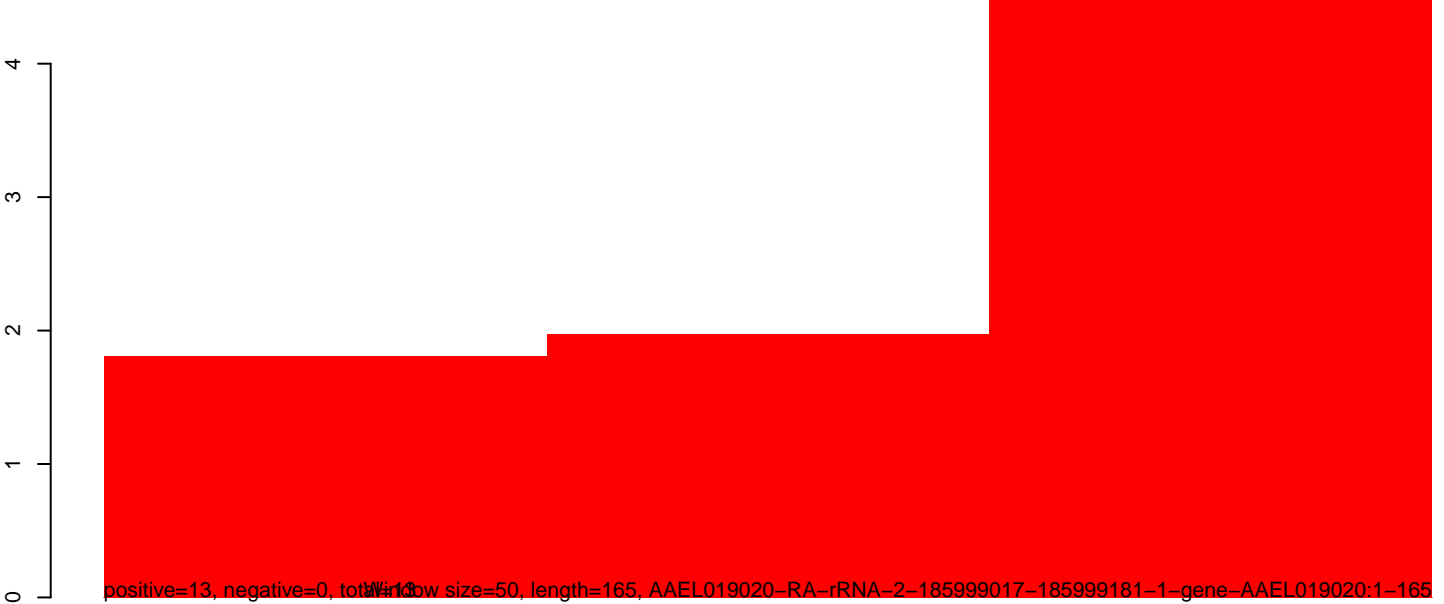
AeAlbo_C636_cells_rep_3.18_23.rep



AeAlbo_C636_cells_rep_3.24_35.rep



AeAlbo_C636_cells_rep_3.rep

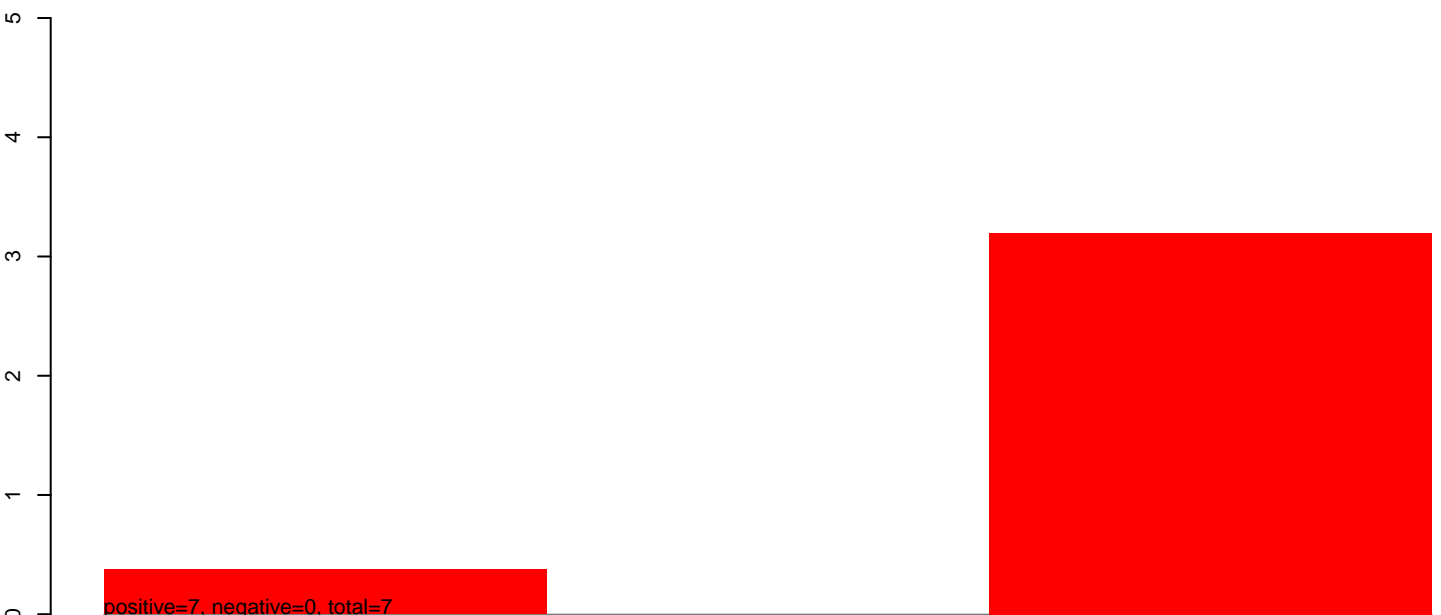


50 100 150 200

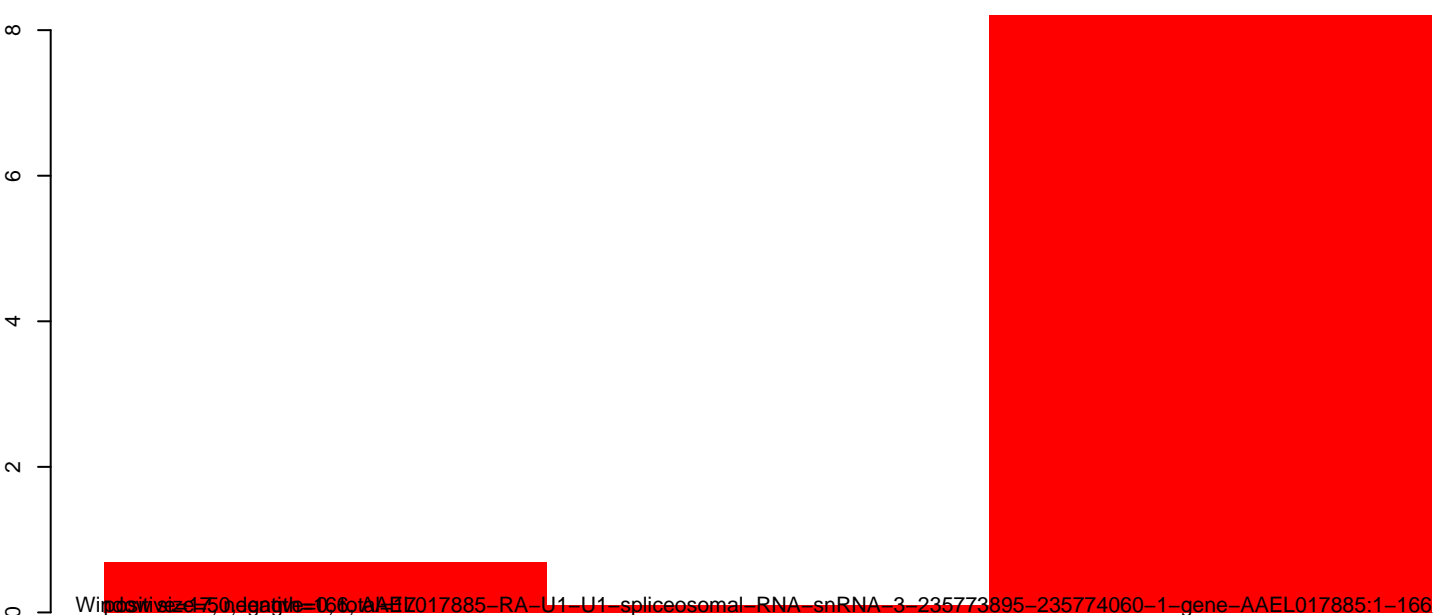
AeAlbo_C636_cells_rep_3.18_23.rep



AeAlbo_C636_cells_rep_3.24_35.rep



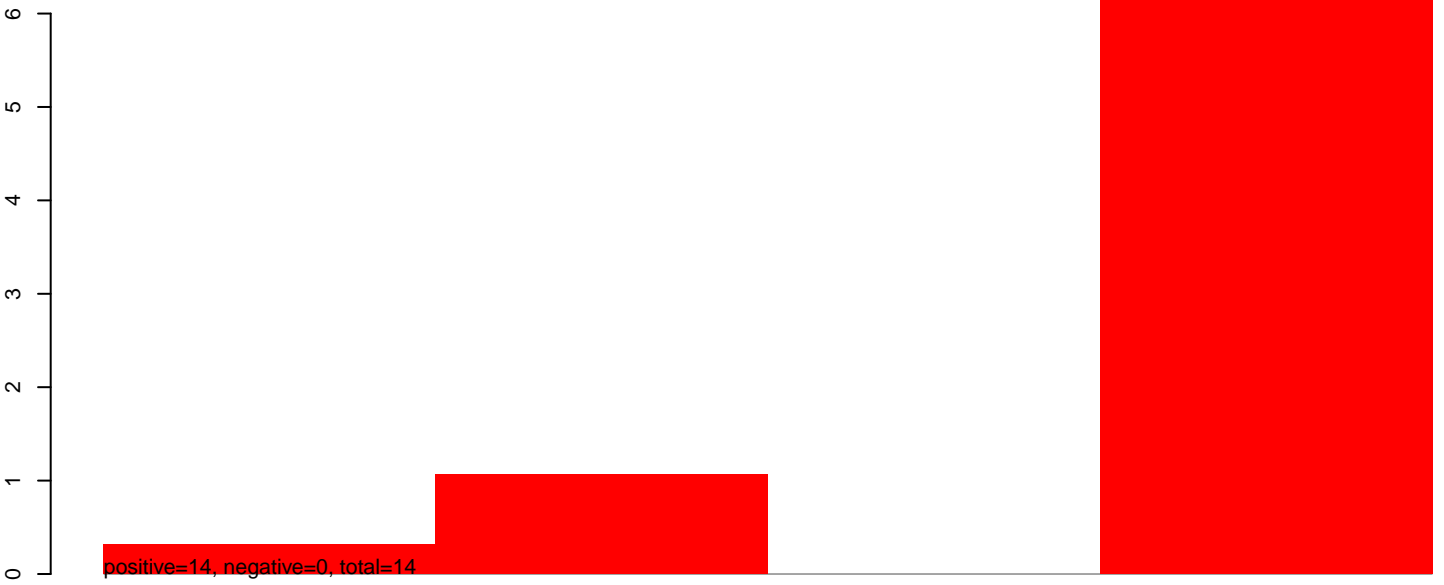
AeAlbo_C636_cells_rep_3.rep



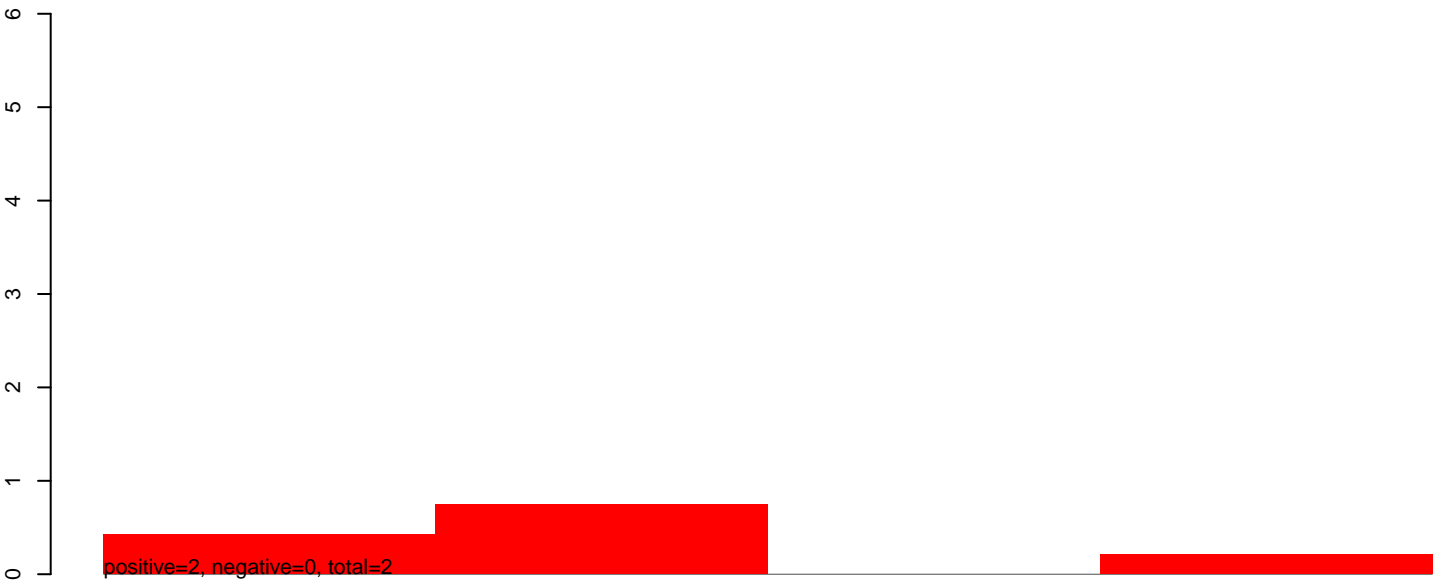
Windowsized=50, dngtitle=060, AAEL017885-RA-U1-U1-spliceosomal-RNA-snRNA-3-235773895-235774060-1-gene-AAEL017885:1-166

50 100 150 200

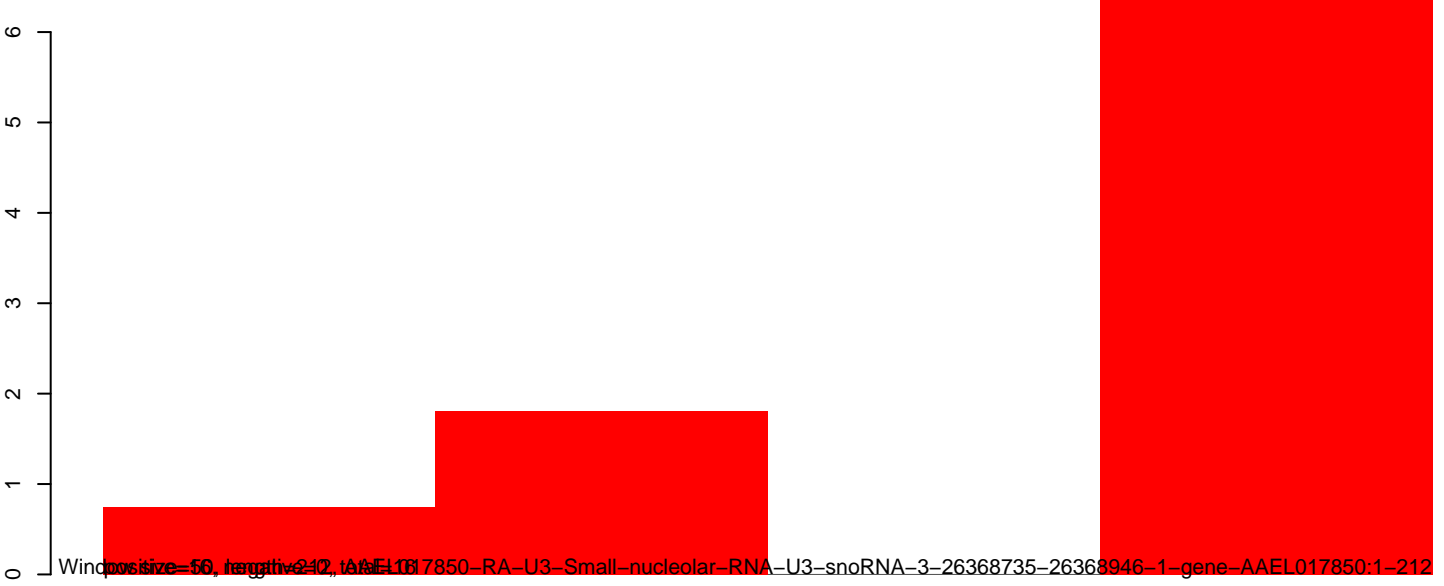
AeAlbo_C636_cells_rep_3.18_23.rep



AeAlbo_C636_cells_rep_3.24_35.rep



AeAlbo_C636_cells_rep_3.rep



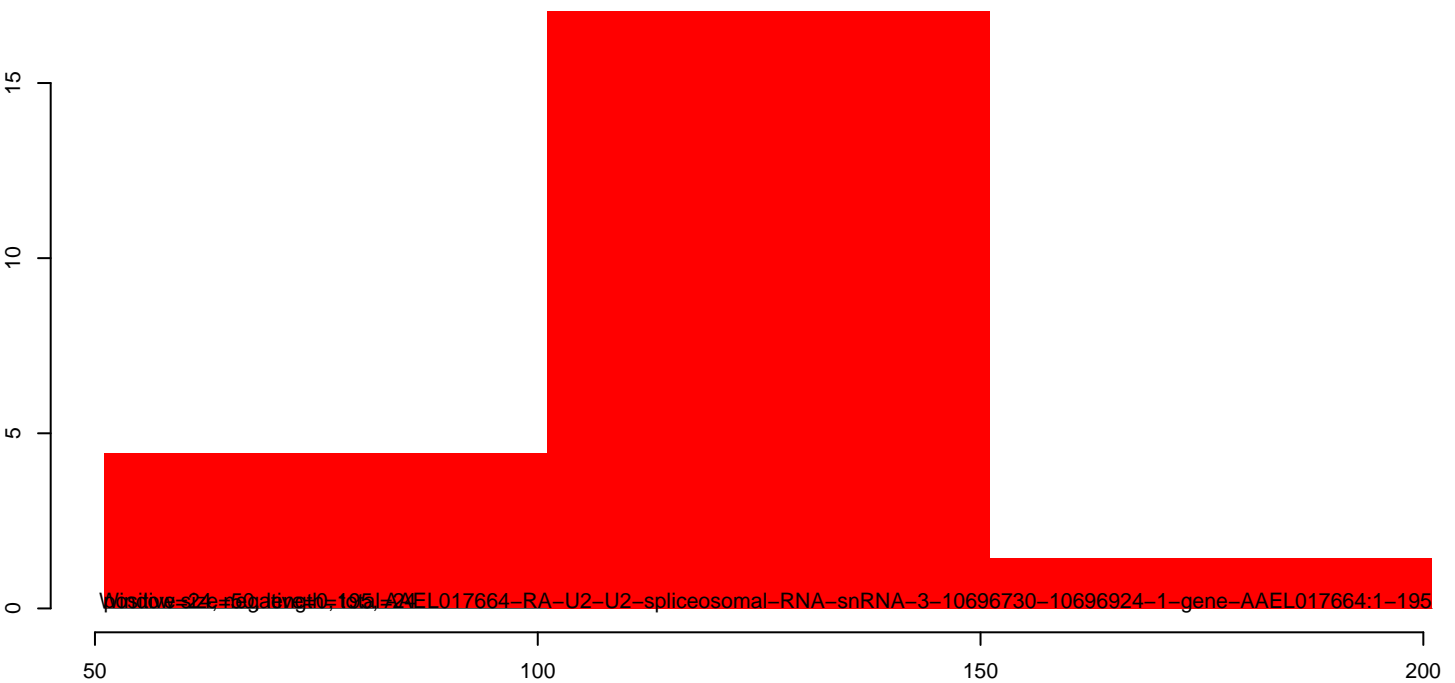
AeAlbo_C636_cells_rep_3.18_23.rep



AeAlbo_C636_cells_rep_3.24_35.rep



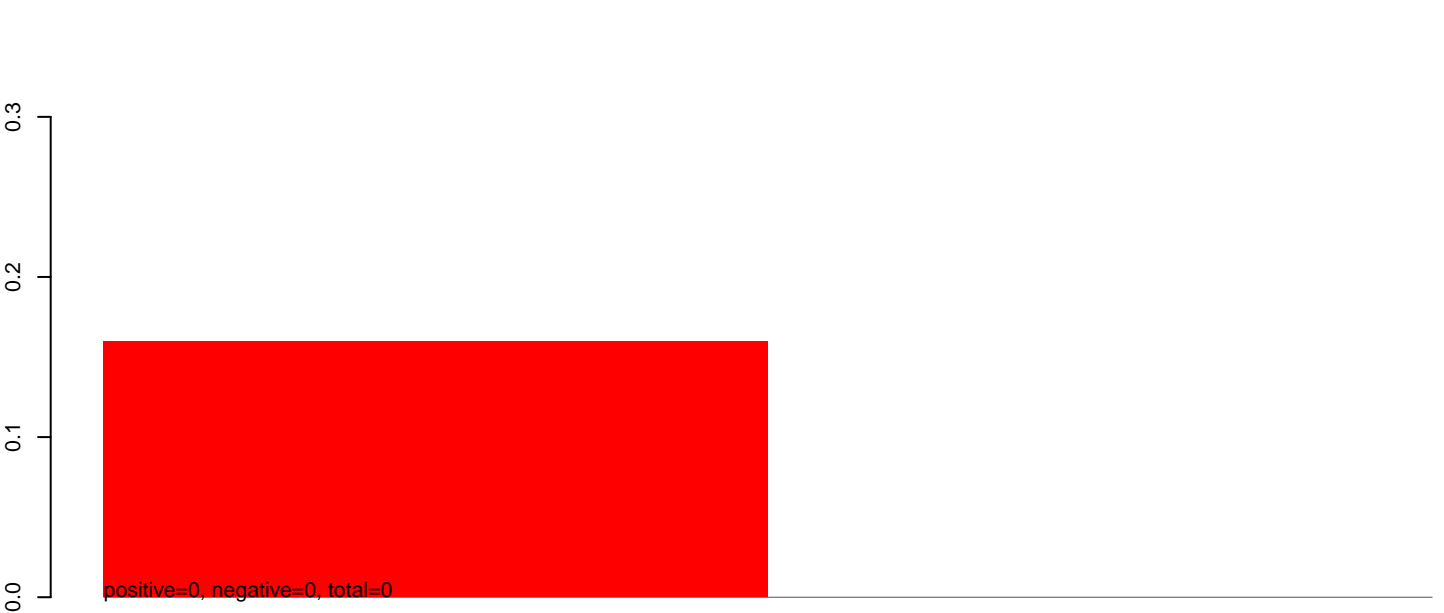
AeAlbo_C636_cells_rep_3.rep



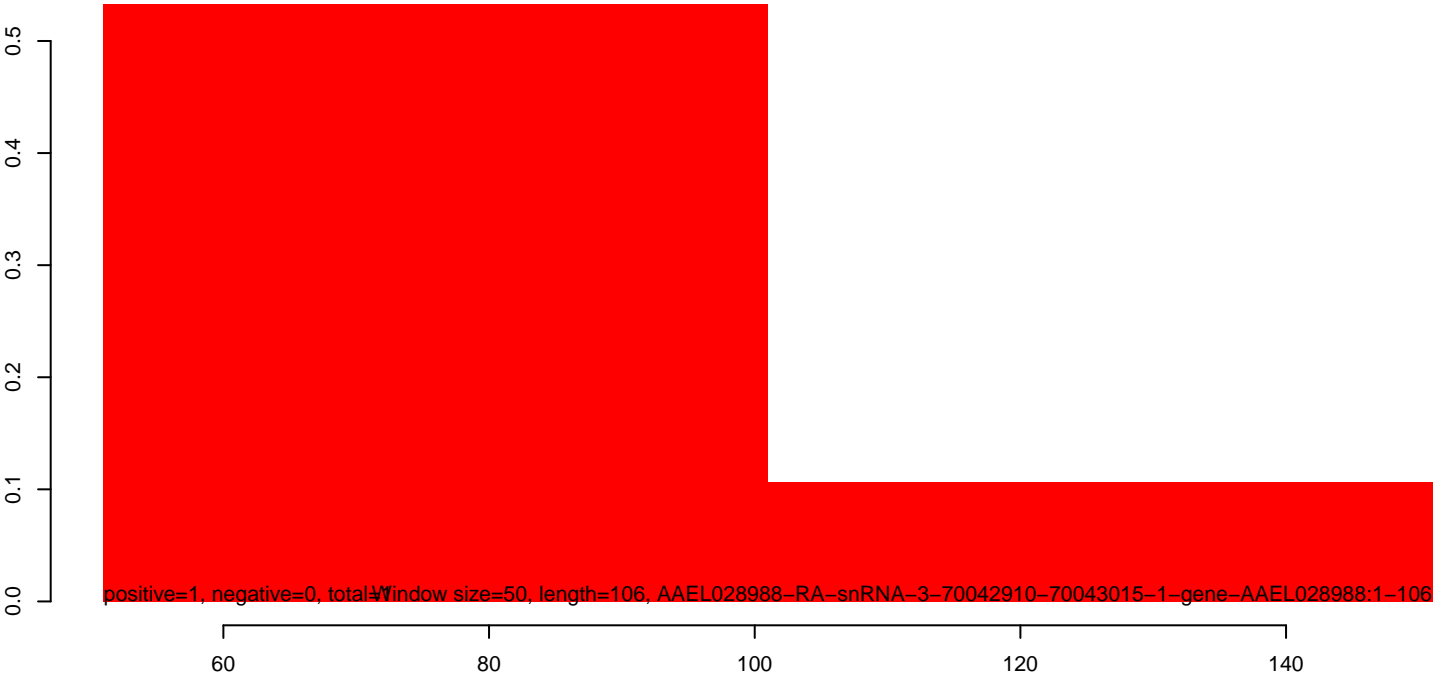
AeAlbo_C636_cells_rep_3.18_23.rep



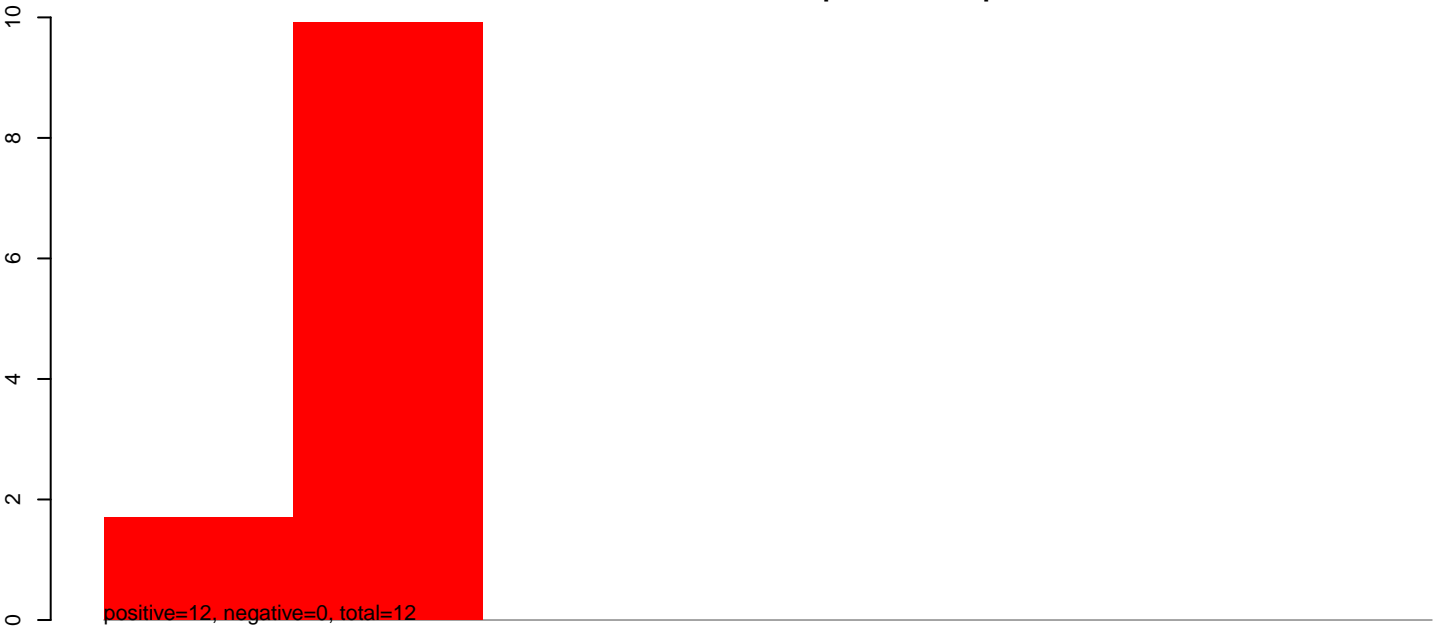
AeAlbo_C636_cells_rep_3.24_35.rep



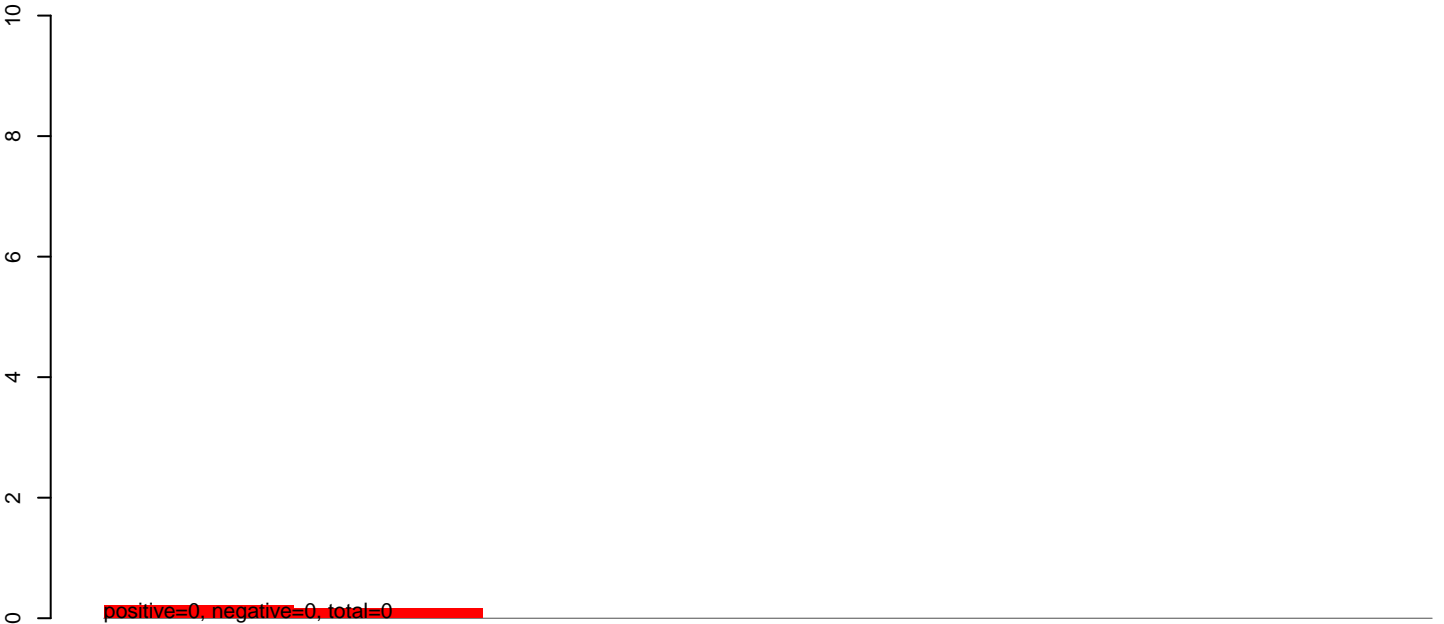
AeAlbo_C636_cells_rep_3.rep



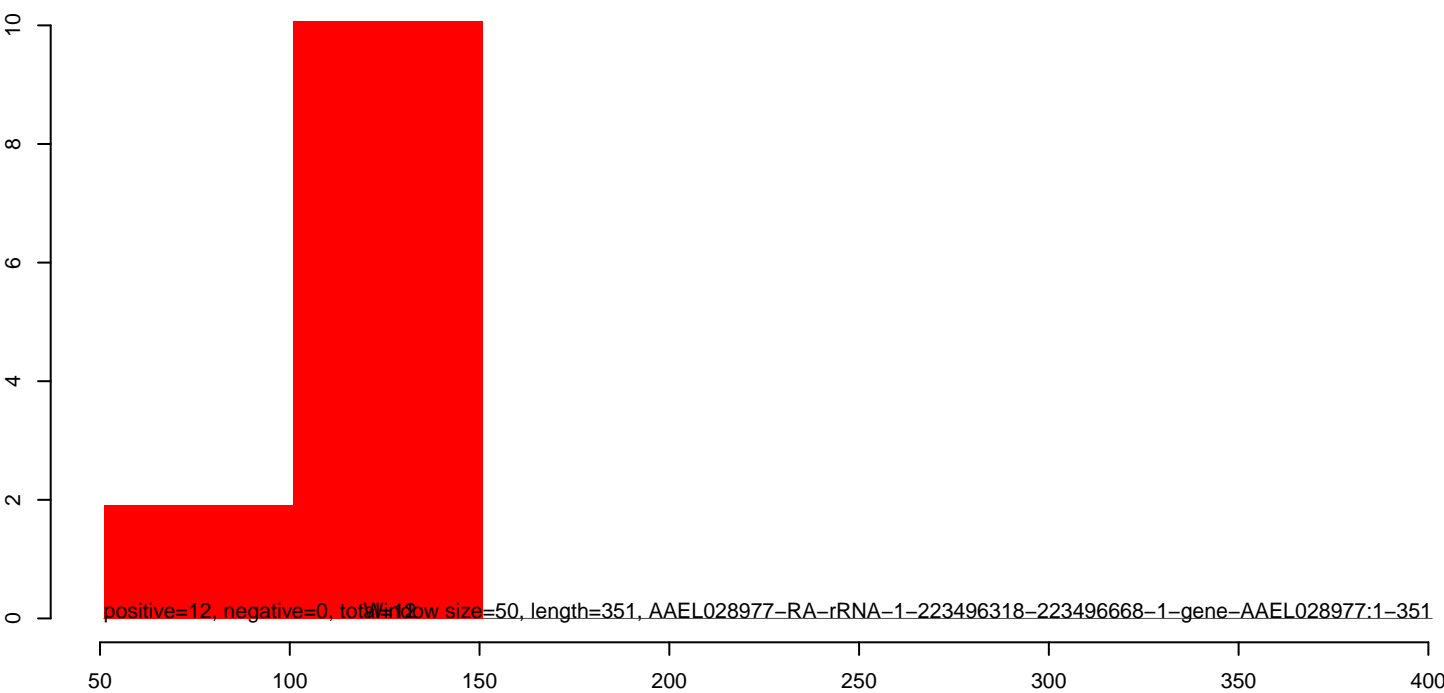
AeAlbo_C636_cells_rep_3.18_23.rep



AeAlbo_C636_cells_rep_3.24_35.rep



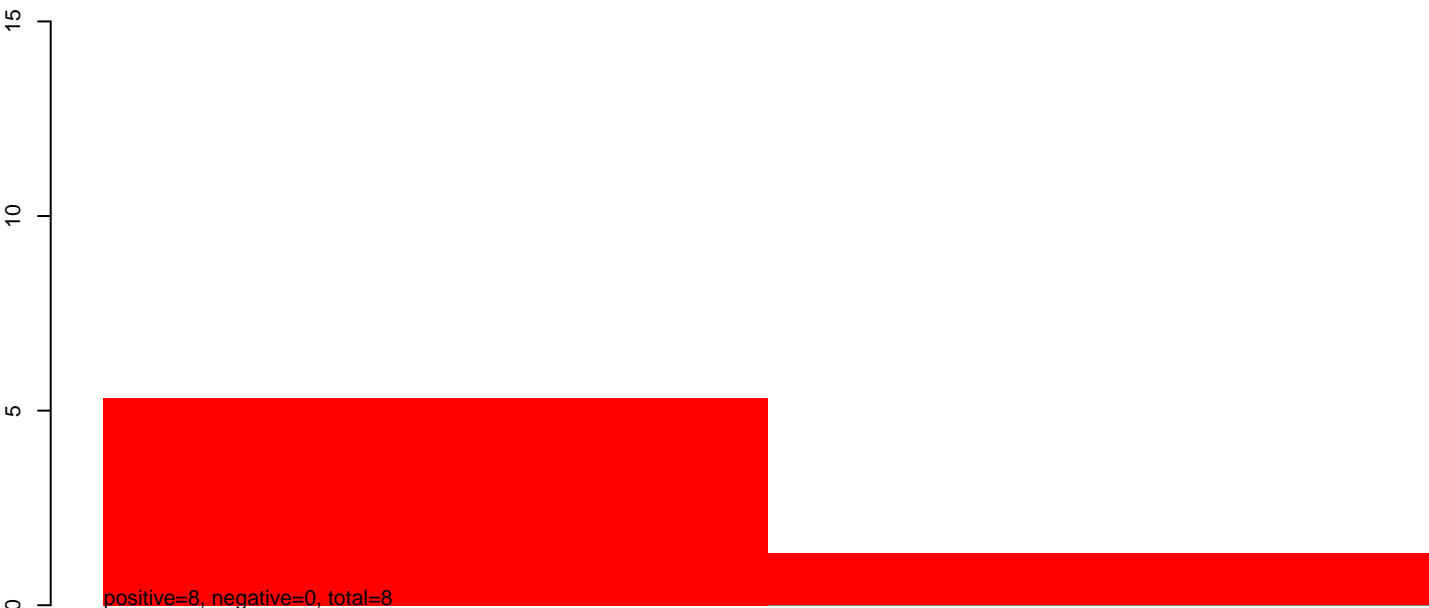
AeAlbo_C636_cells_rep_3.rep



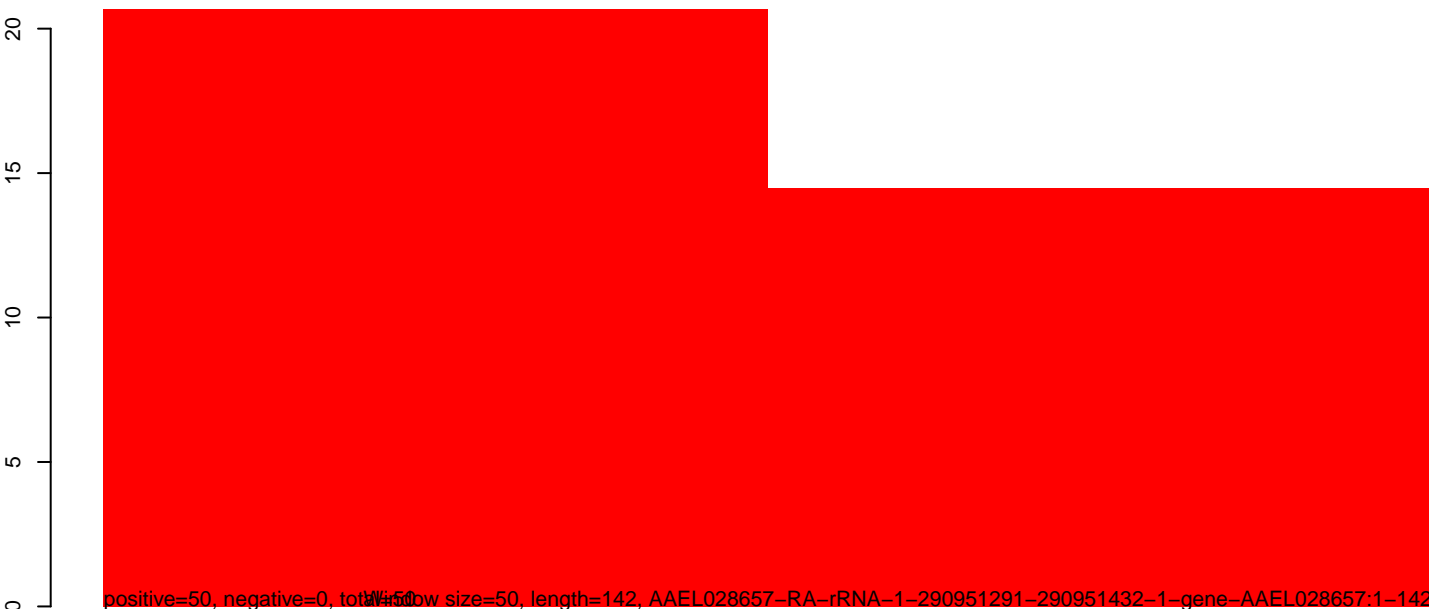
AeAlbo_C636_cells_rep_3.18_23.rep



AeAlbo_C636_cells_rep_3.24_35.rep



AeAlbo_C636_cells_rep_3.rep

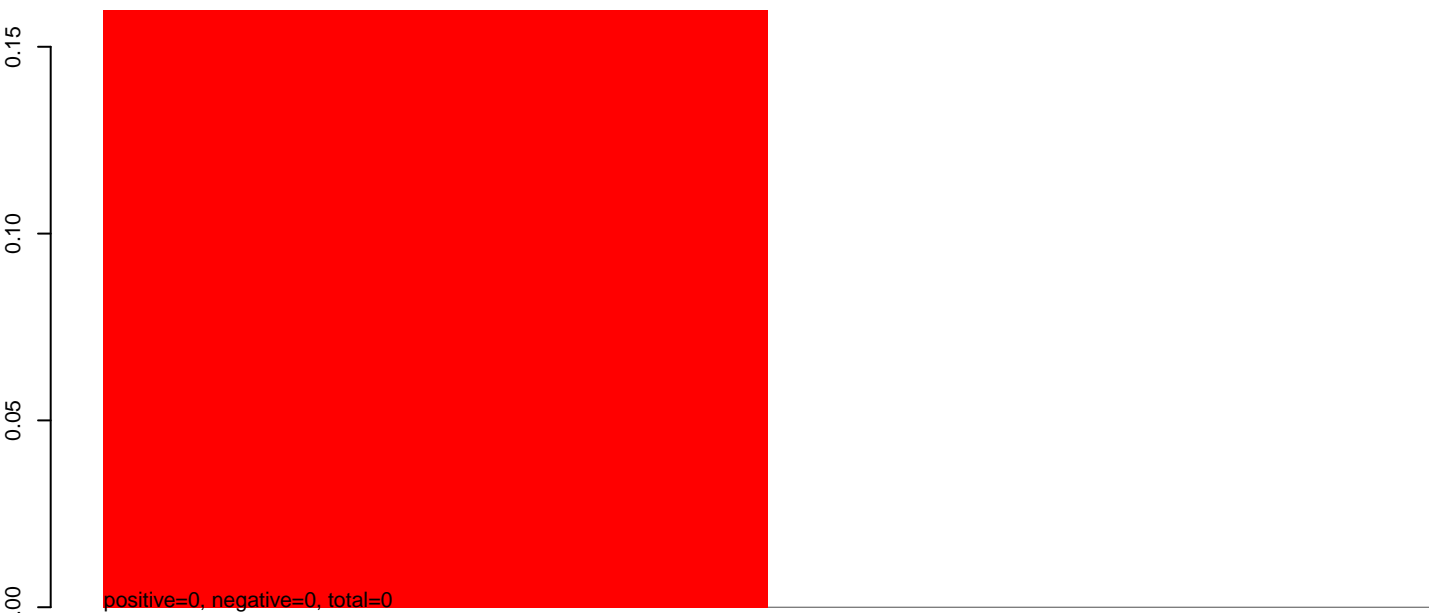


60 80 100 120 140

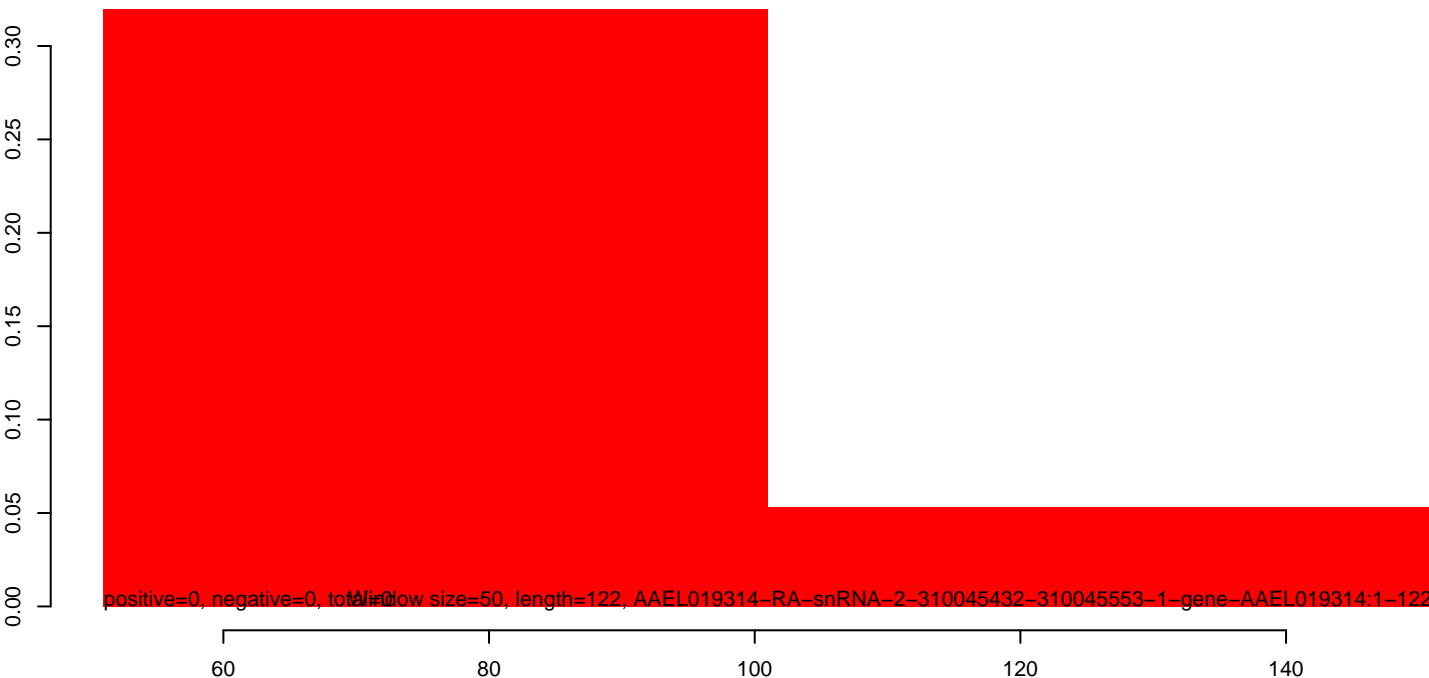
AeAlbo_C636_cells_rep_3.18_23.rep



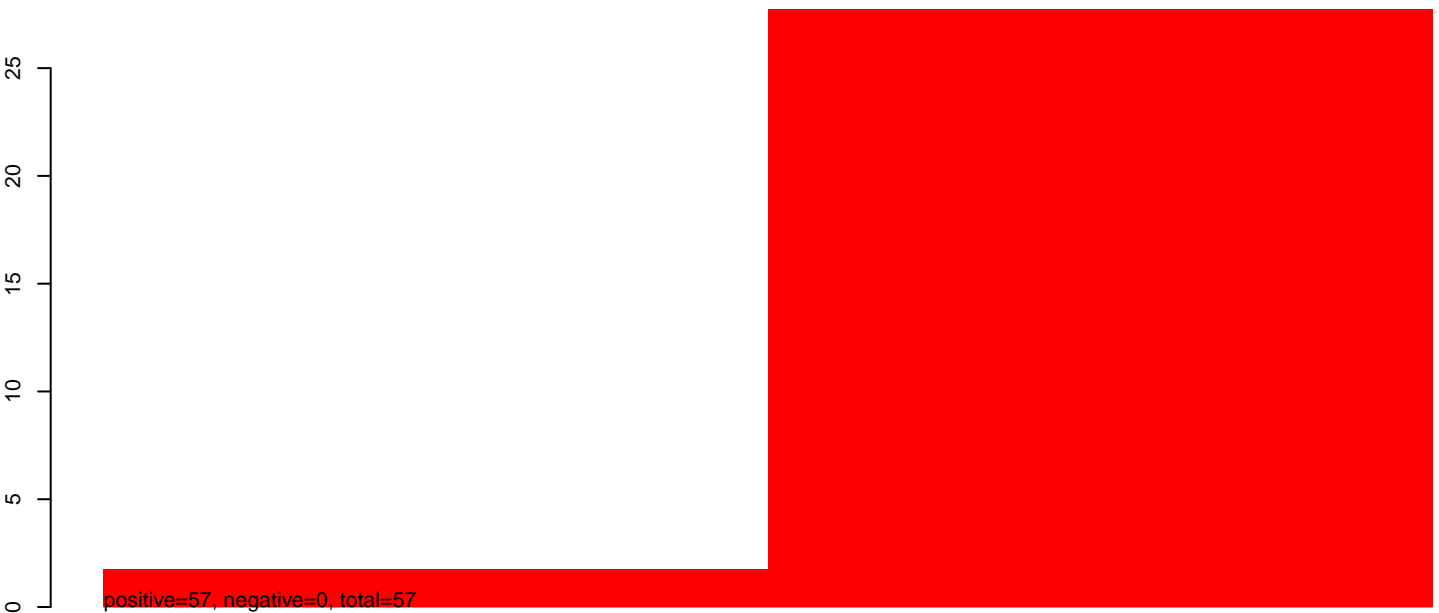
AeAlbo_C636_cells_rep_3.24_35.rep



AeAlbo_C636_cells_rep_3.rep



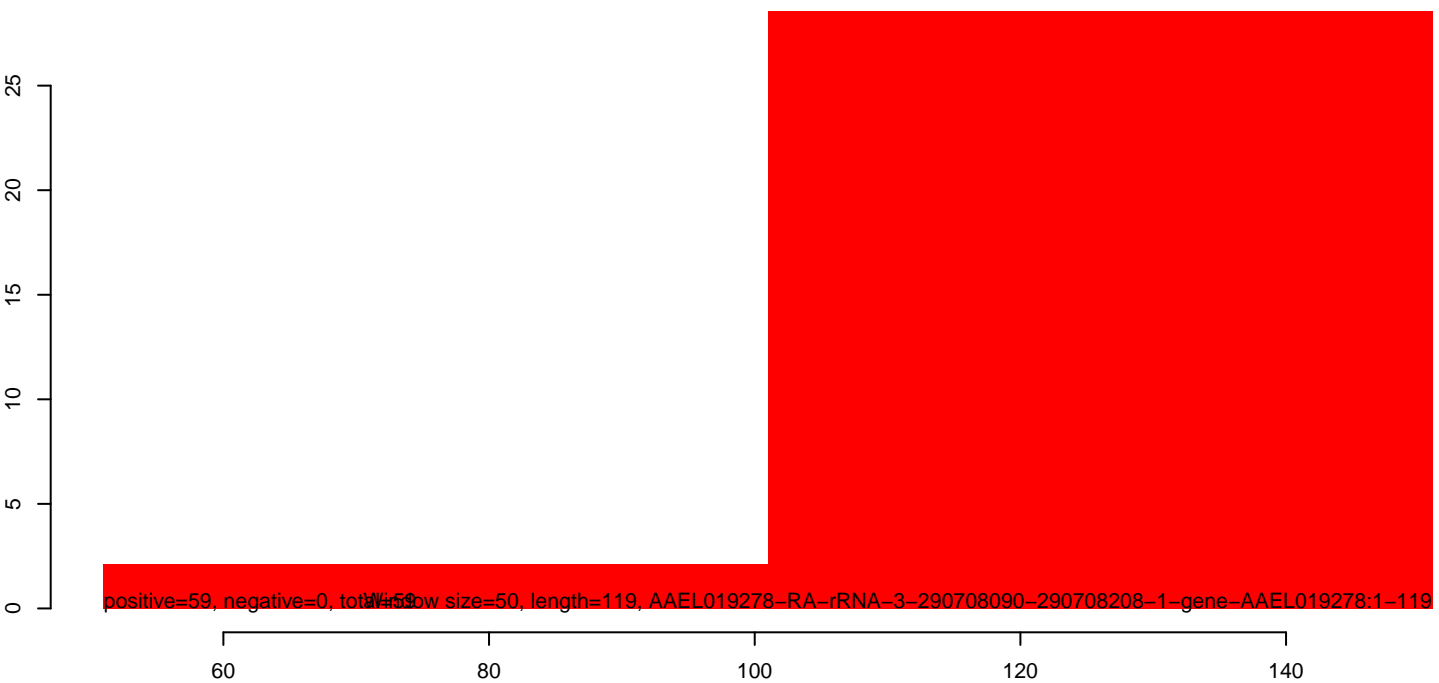
AeAlbo_C636_cells_rep_3.18_23.rep



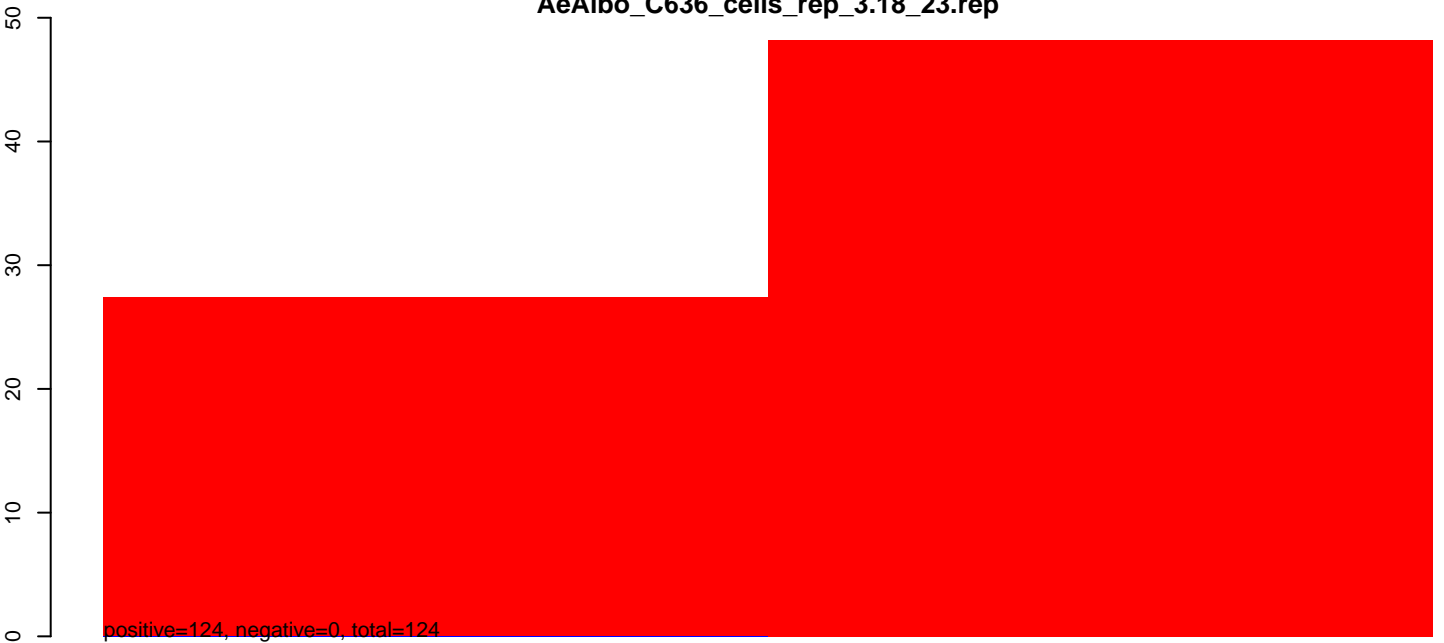
AeAlbo_C636_cells_rep_3.24_35.rep



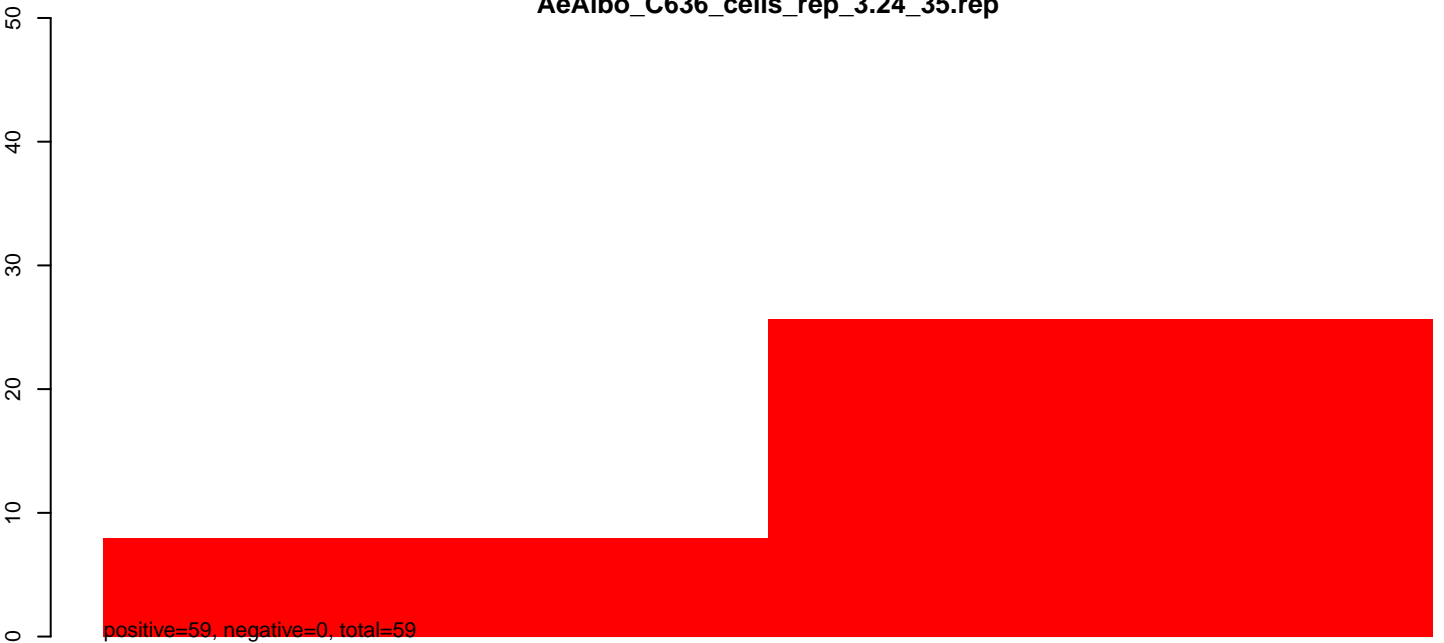
AeAlbo_C636_cells_rep_3.rep



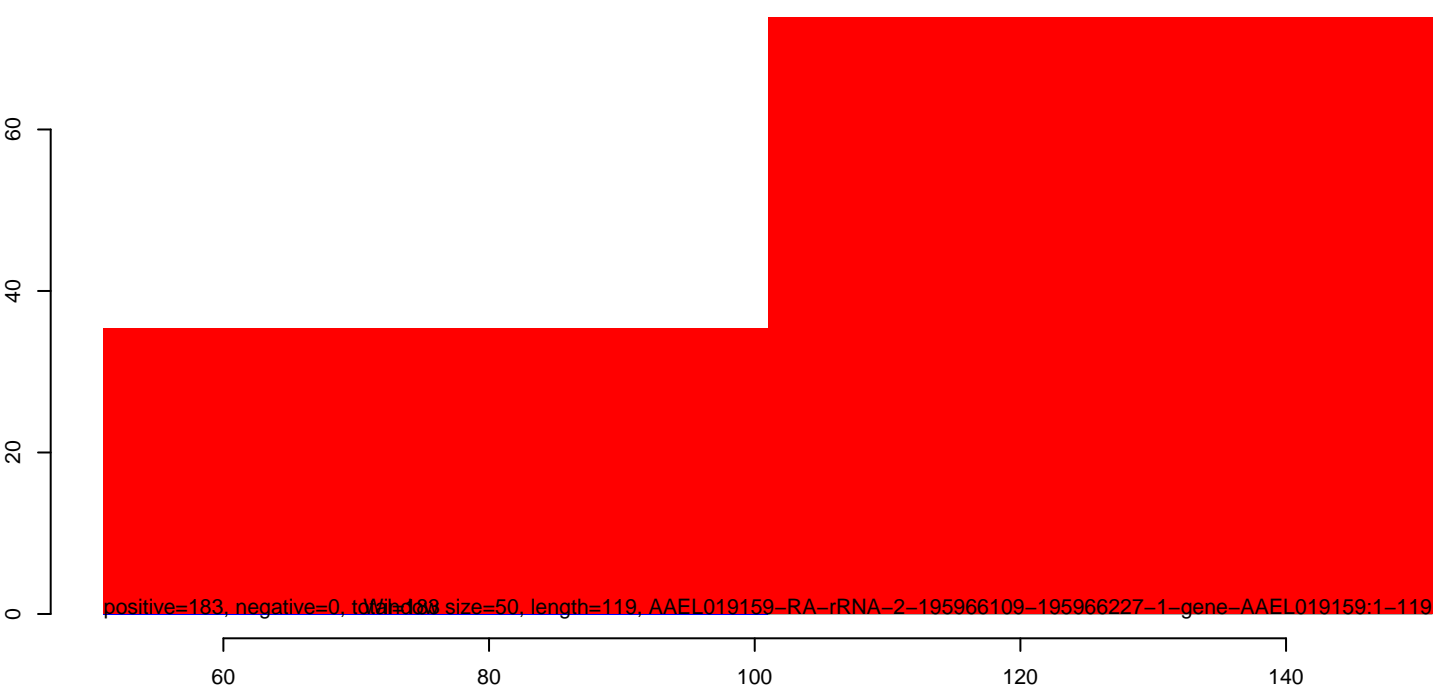
AeAlbo_C636_cells_rep_3.18_23.rep



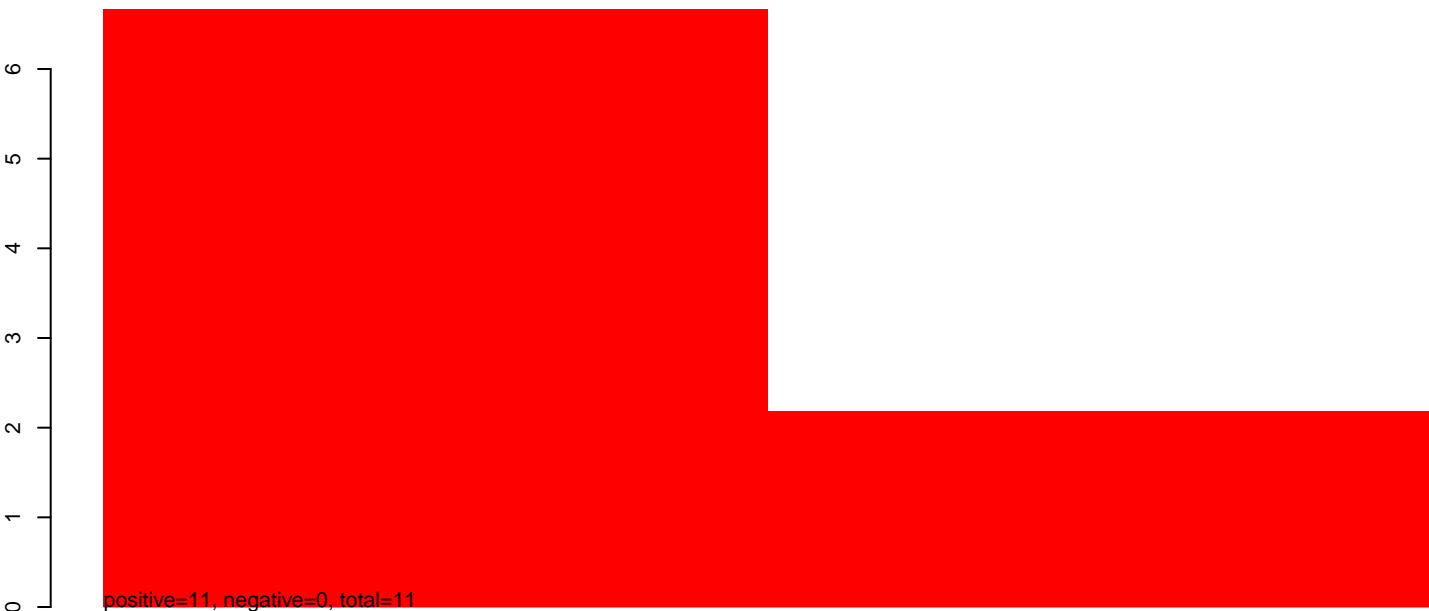
AeAlbo_C636_cells_rep_3.24_35.rep



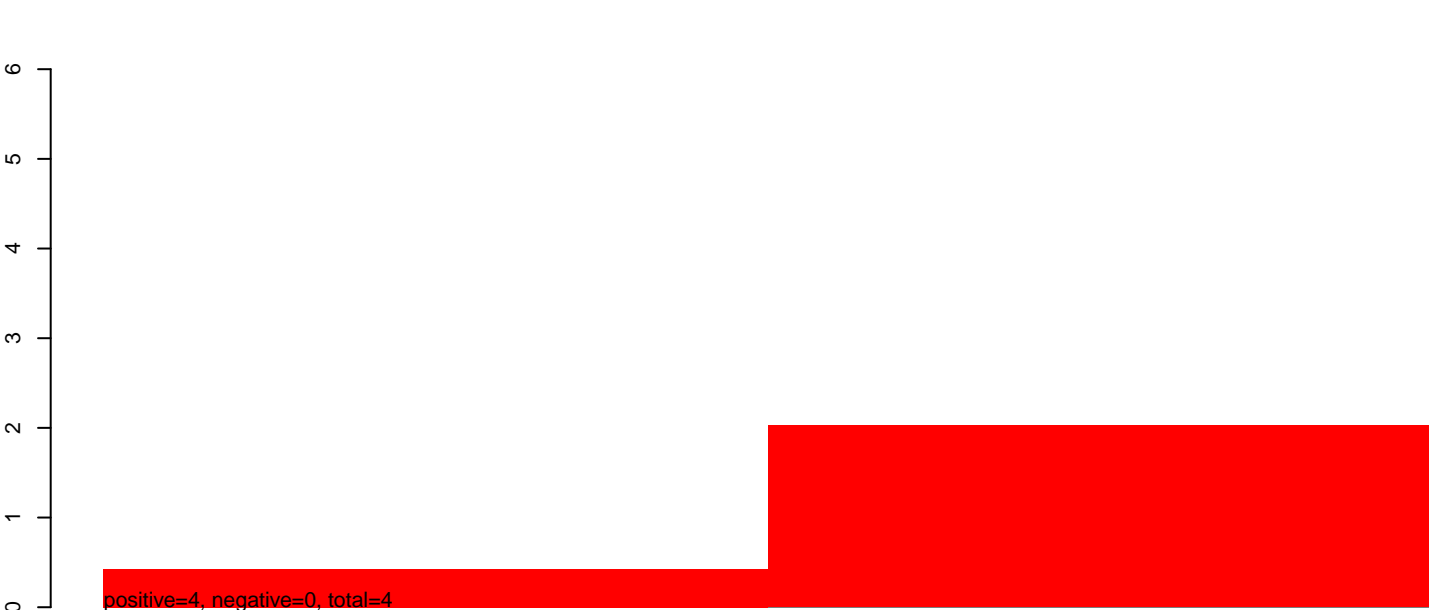
AeAlbo_C636_cells_rep_3.rep



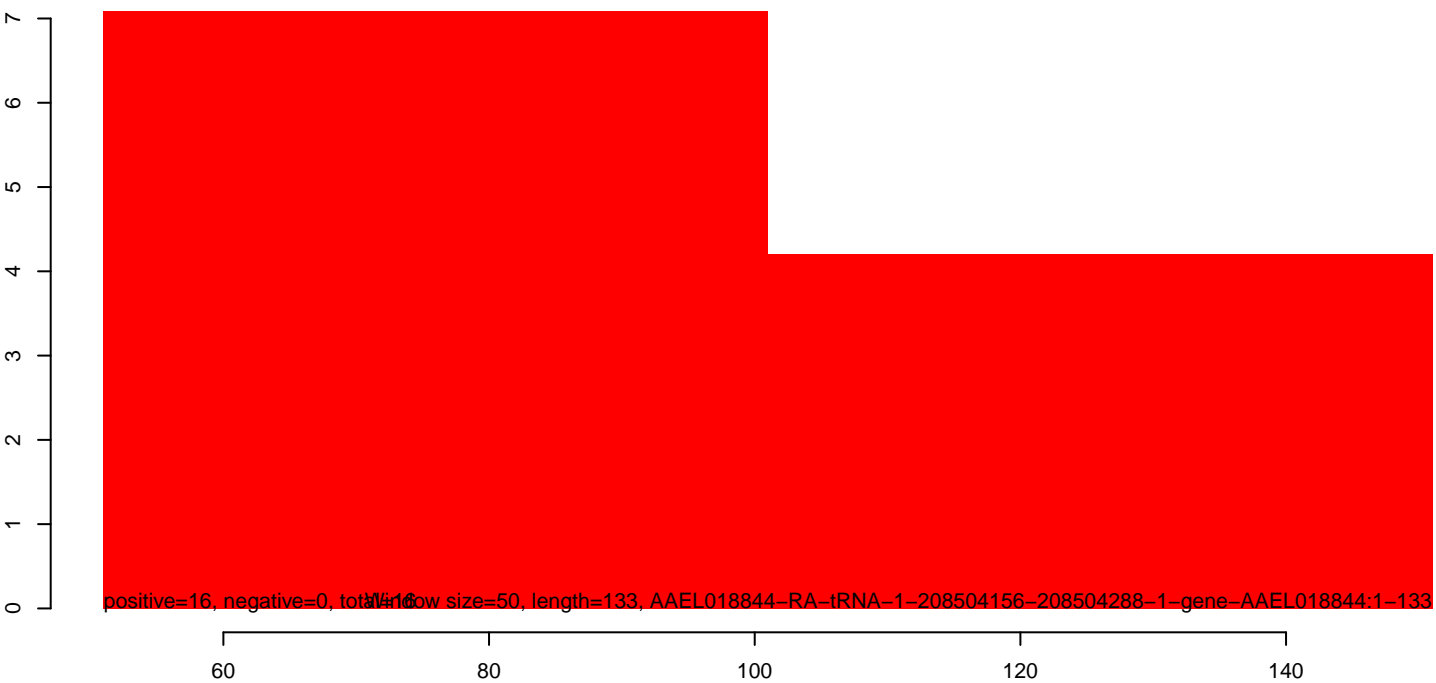
AeAlbo_C636_cells_rep_3.18_23.rep



AeAlbo_C636_cells_rep_3.24_35.rep



AeAlbo_C636_cells_rep_3.rep



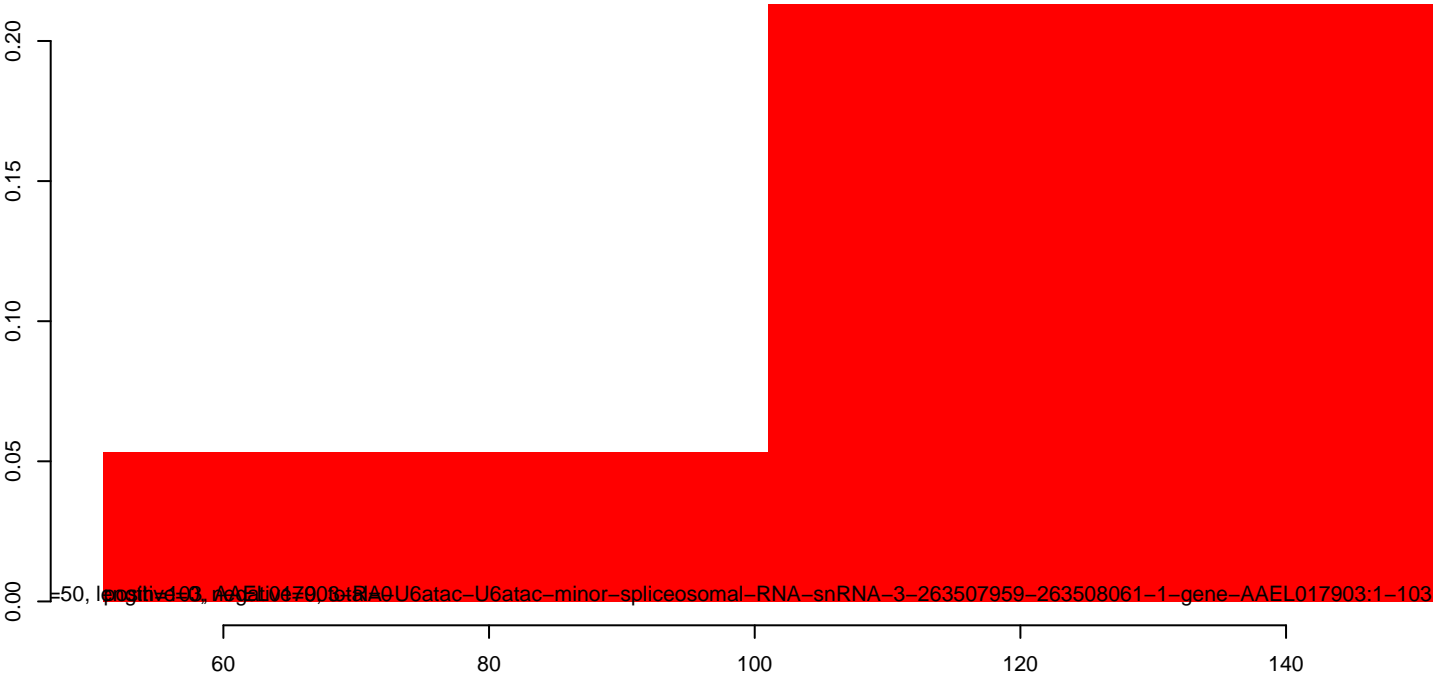
AeAlbo_C636_cells_rep_3.18_23.rep



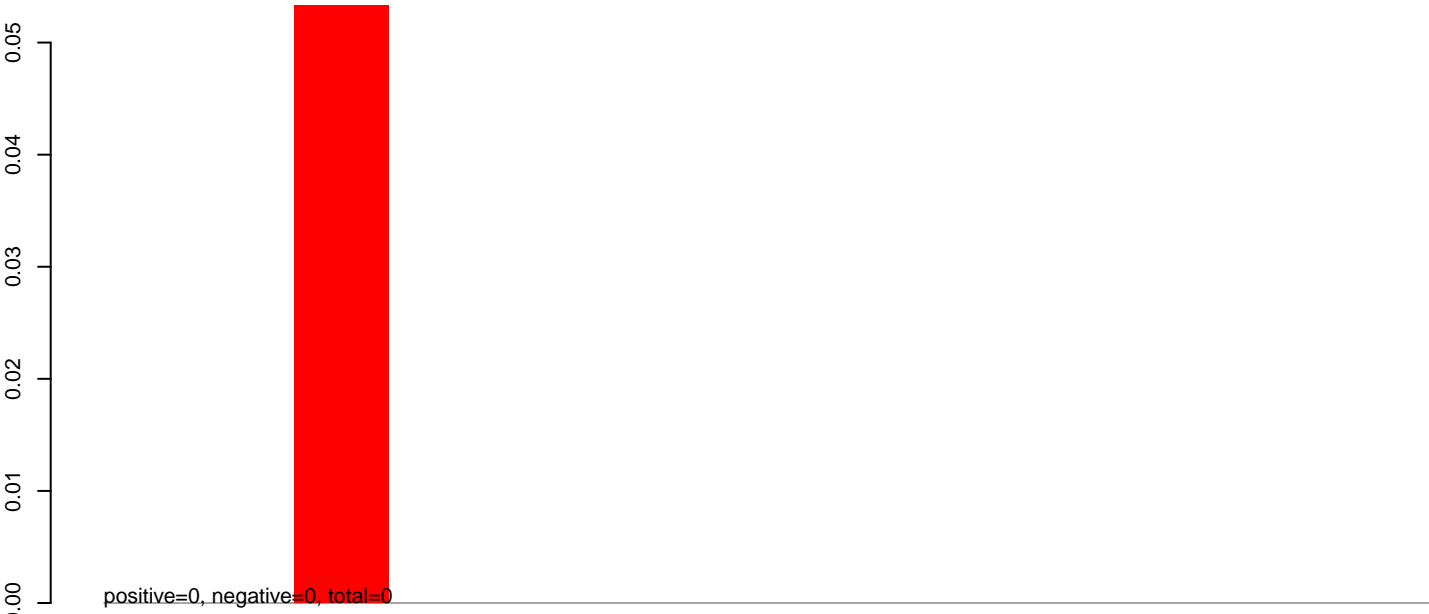
AeAlbo_C636_cells_rep_3.24_35.rep



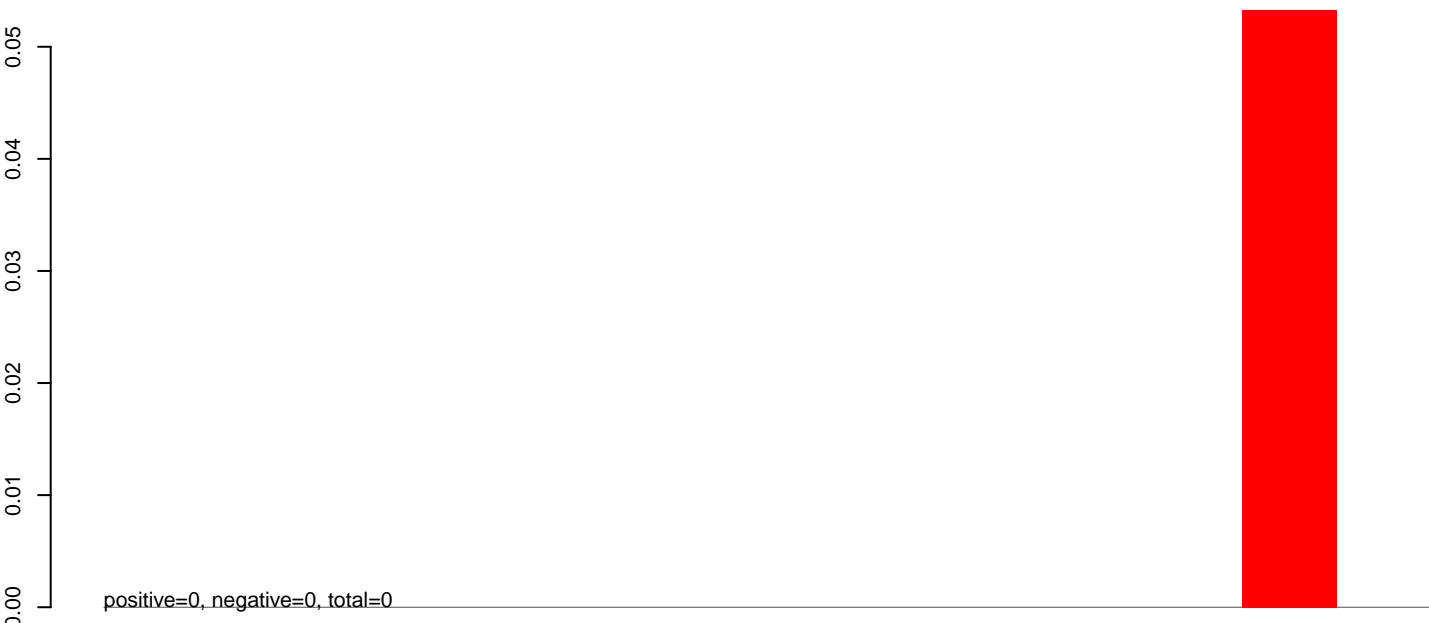
AeAlbo_C636_cells_rep_3.rep



AeAlbo_C636_cells_rep_3.18_23.rep



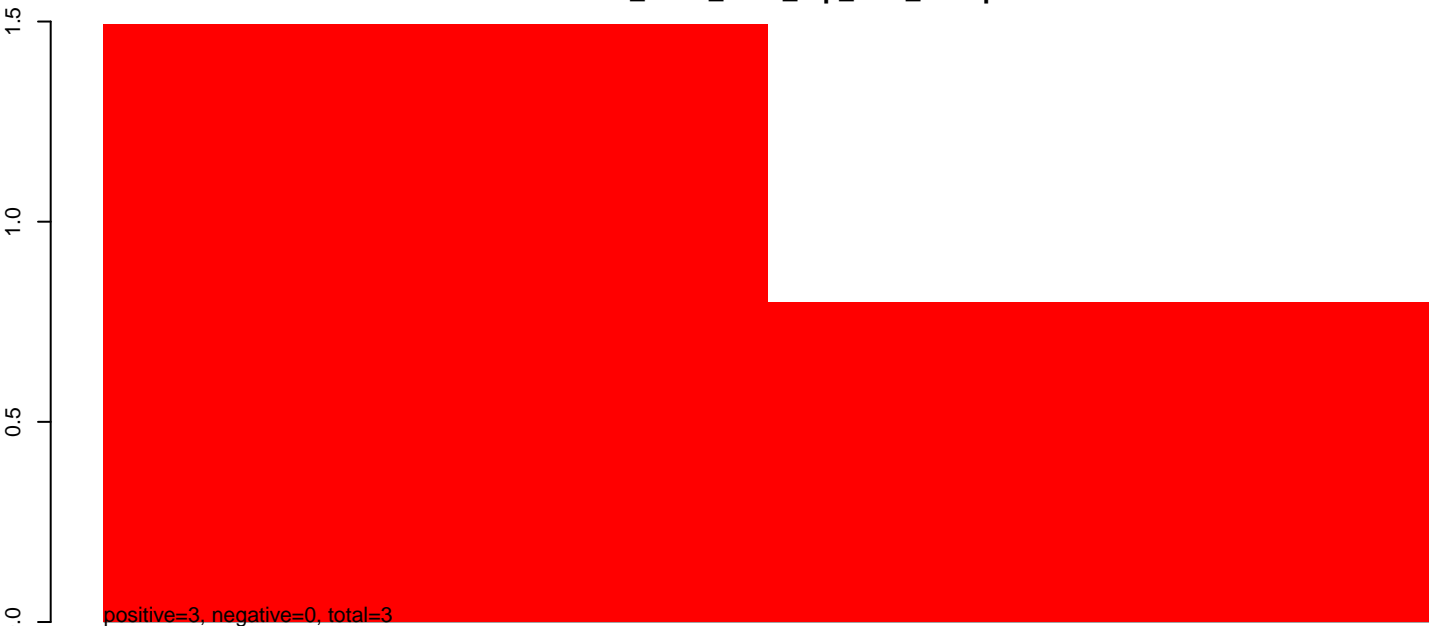
AeAlbo_C636_cells_rep_3.24_35.rep



AeAlbo_C636_cells_rep_3.rep



AeAlbo_C636_cells_rep_3.18_23.rep



AeAlbo_C636_cells_rep_3.24_35.rep



AeAlbo_C636_cells_rep_3.rep



Wingsize=50, gain=0.07, AEI017774-RA-U6-U6-spliceosomal-RNA-snRNA-3-382122648-382122754-1-gene-AAEL017774:1-107

60

80

100

120

140

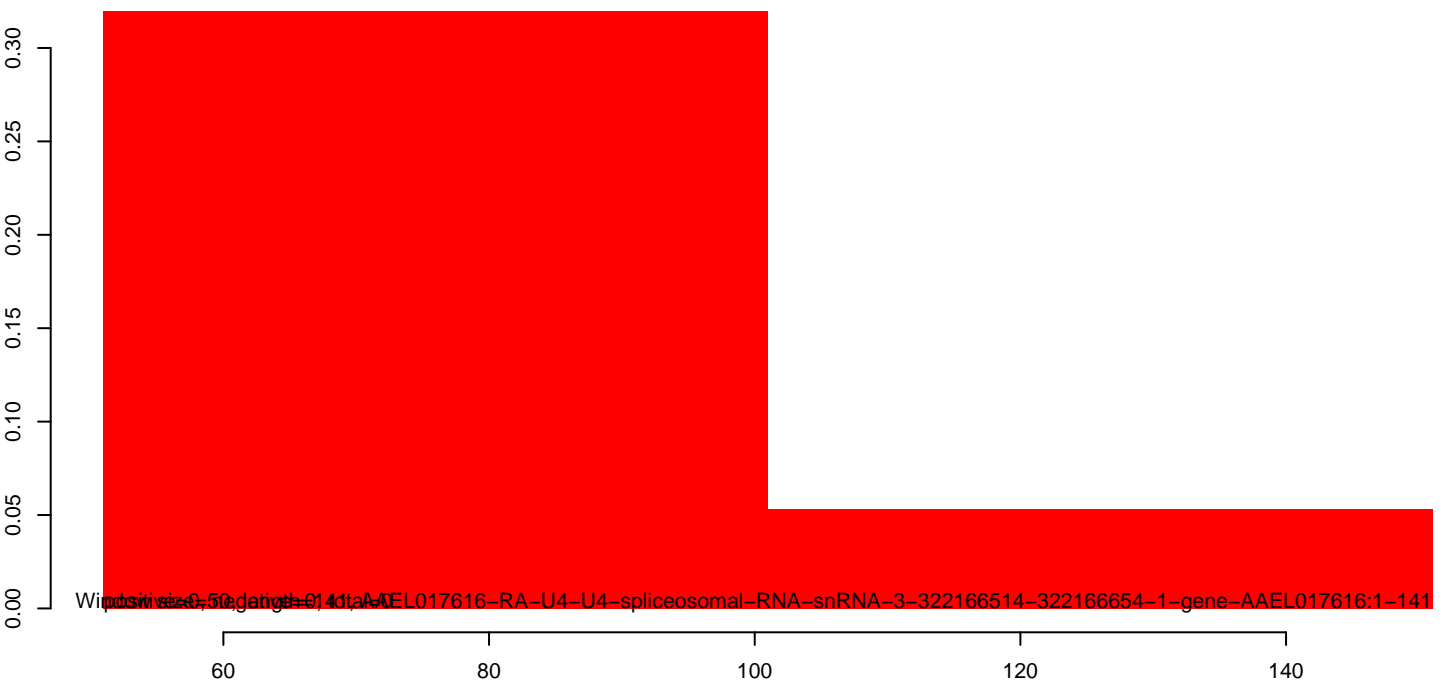
AeAlbo_C636_cells_rep_3.18_23.rep



AeAlbo_C636_cells_rep_3.24_35.rep



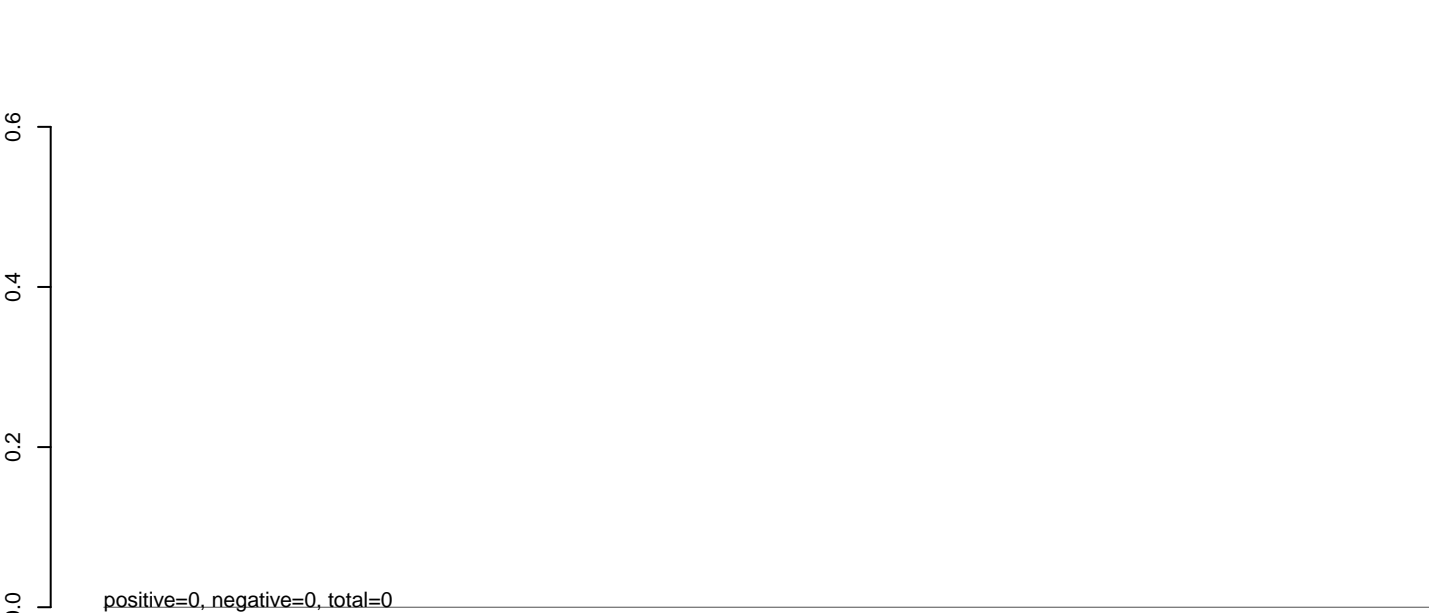
AeAlbo_C636_cells_rep_3.rep



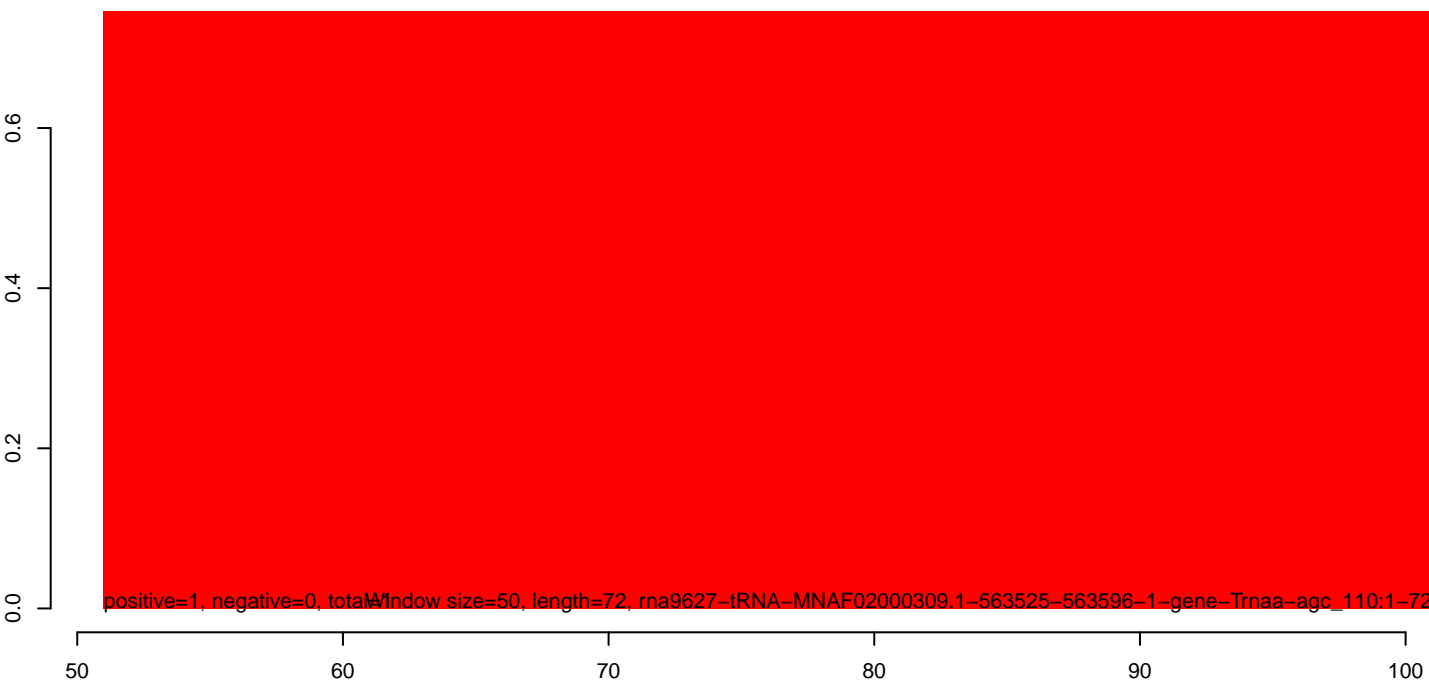
AeAlbo_C636_cells_rep_3.18_23.rep



AeAlbo_C636_cells_rep_3.24_35.rep



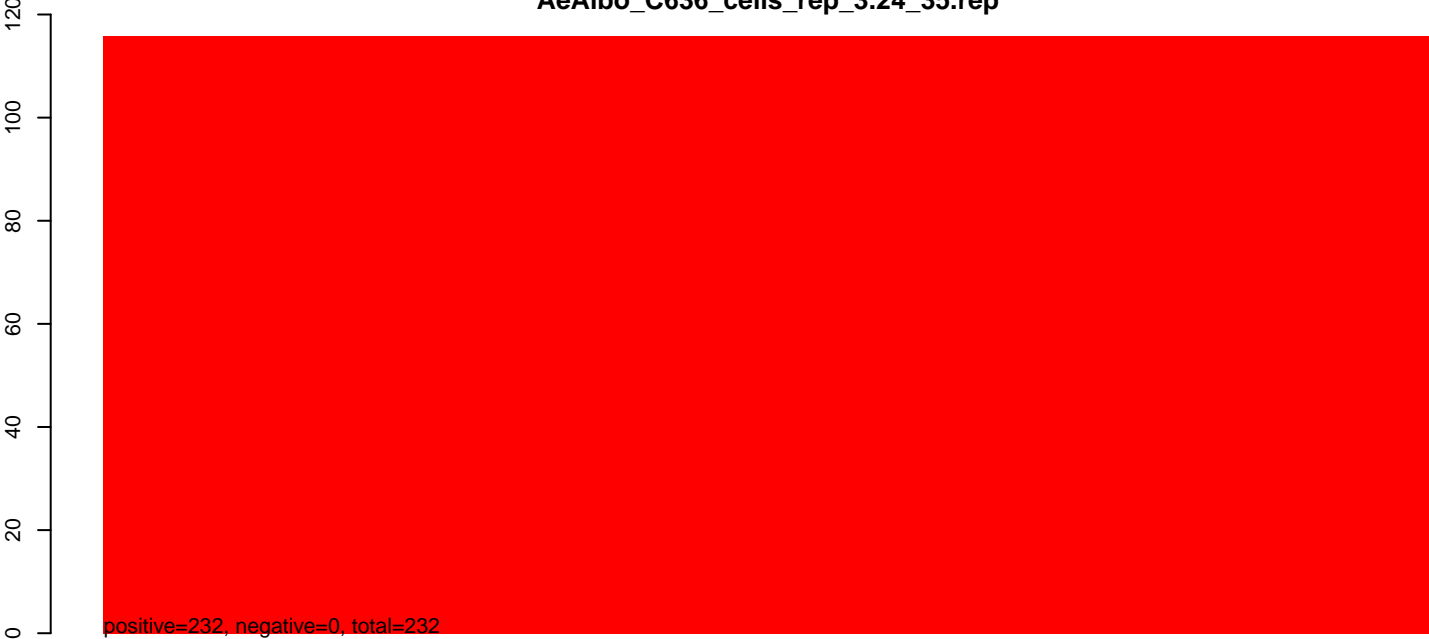
AeAlbo_C636_cells_rep_3.rep



AeAlbo_C636_cells_rep_3.18_23.rep



AeAlbo_C636_cells_rep_3.24_35.rep



AeAlbo_C636_cells_rep_3.rep

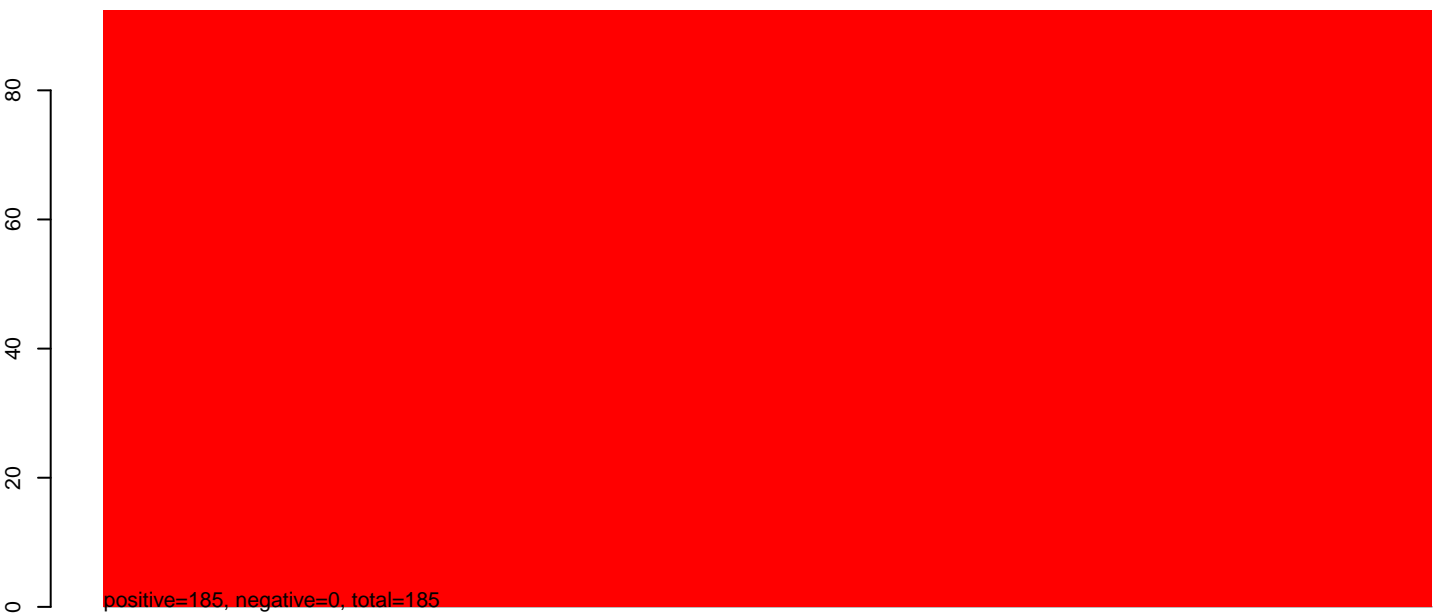


50 60 70 80 90 100
window size=50, length=72, rna9085-tRNA-MNAF02000298.1-765793-765864-1-gene-Trnae-uuc_37:1-72

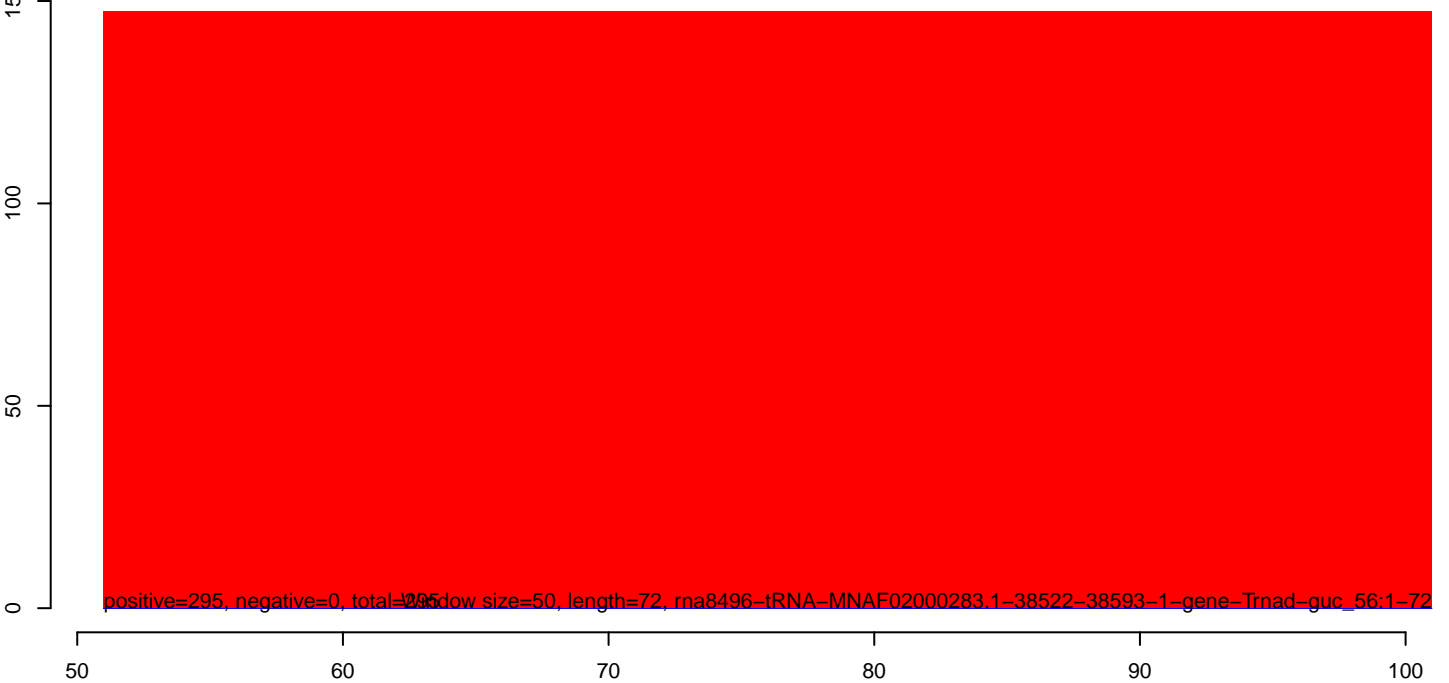
AeAlbo_C636_cells_rep_3.18_23.rep



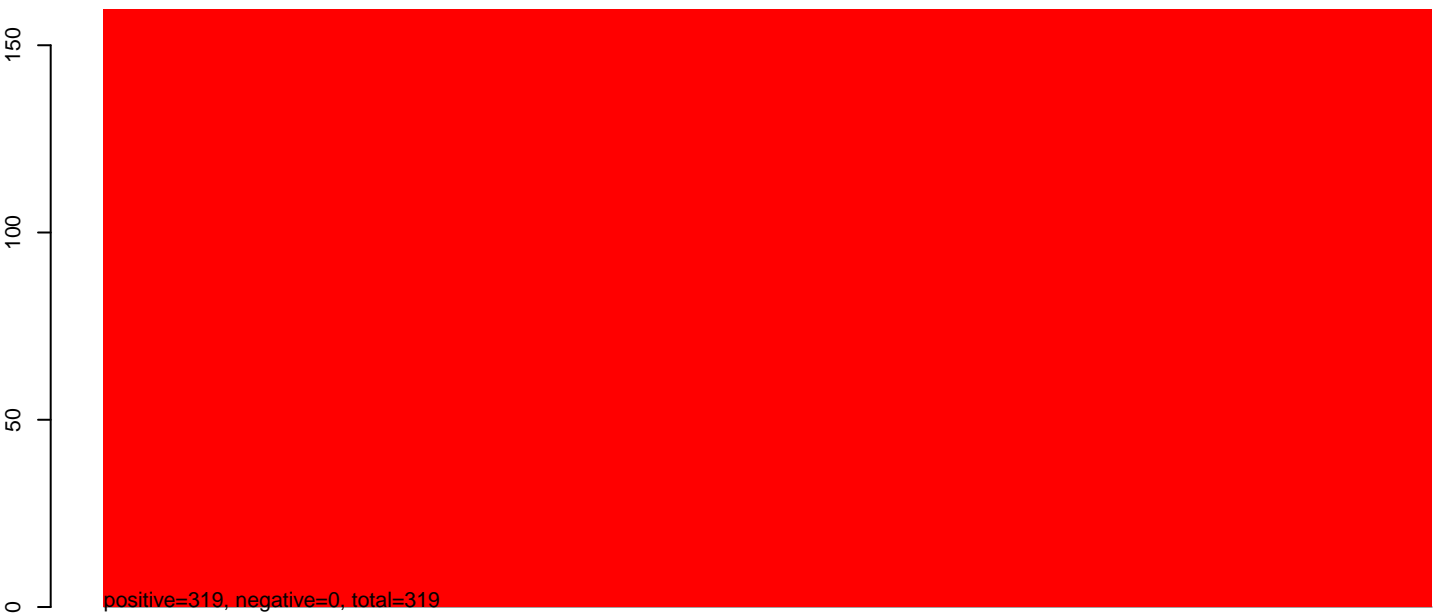
AeAlbo_C636_cells_rep_3.24_35.rep



AeAlbo_C636_cells_rep_3.rep



AeAlbo_C636_cells_rep_3.18_23.rep



AeAlbo_C636_cells_rep_3.24_35.rep



AeAlbo_C636_cells_rep_3.rep



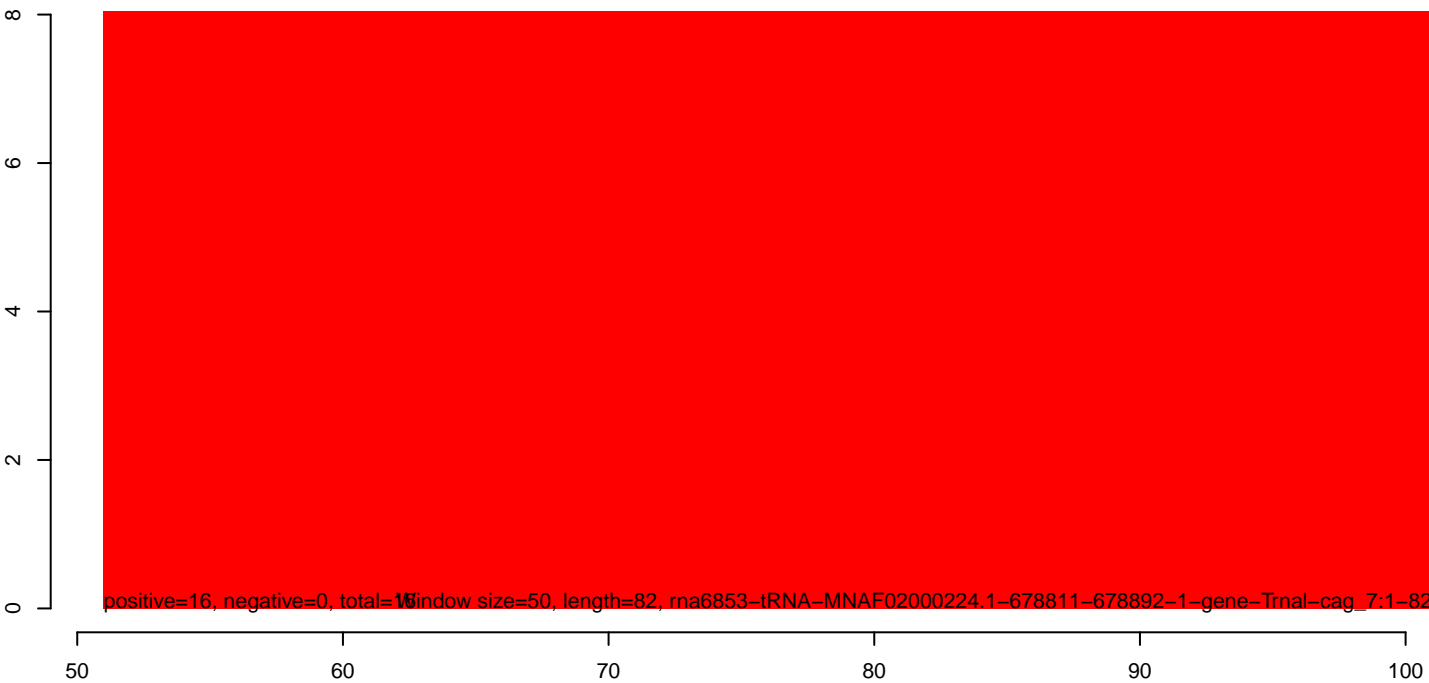
AeAlbo_C636_cells_rep_3.18_23.rep



AeAlbo_C636_cells_rep_3.24_35.rep



AeAlbo_C636_cells_rep_3.rep



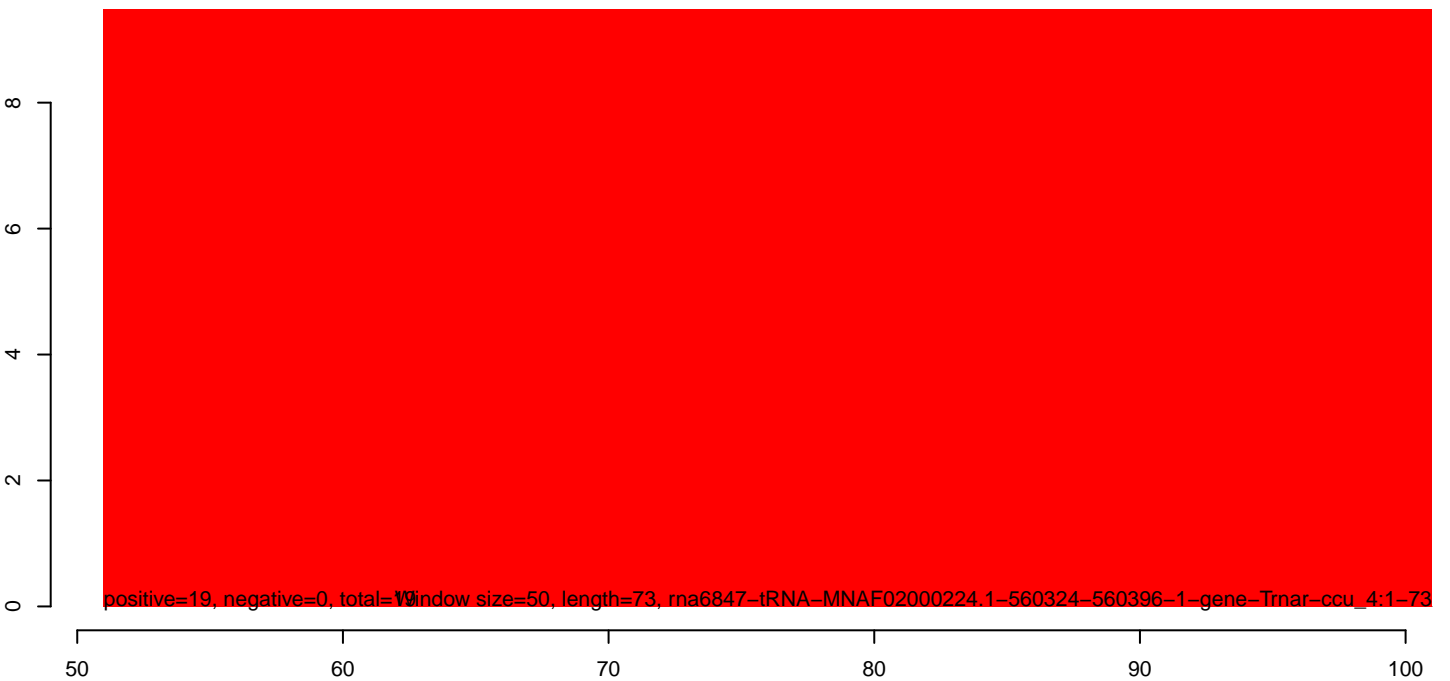
AeAlbo_C636_cells_rep_3.18_23.rep



AeAlbo_C636_cells_rep_3.24_35.rep



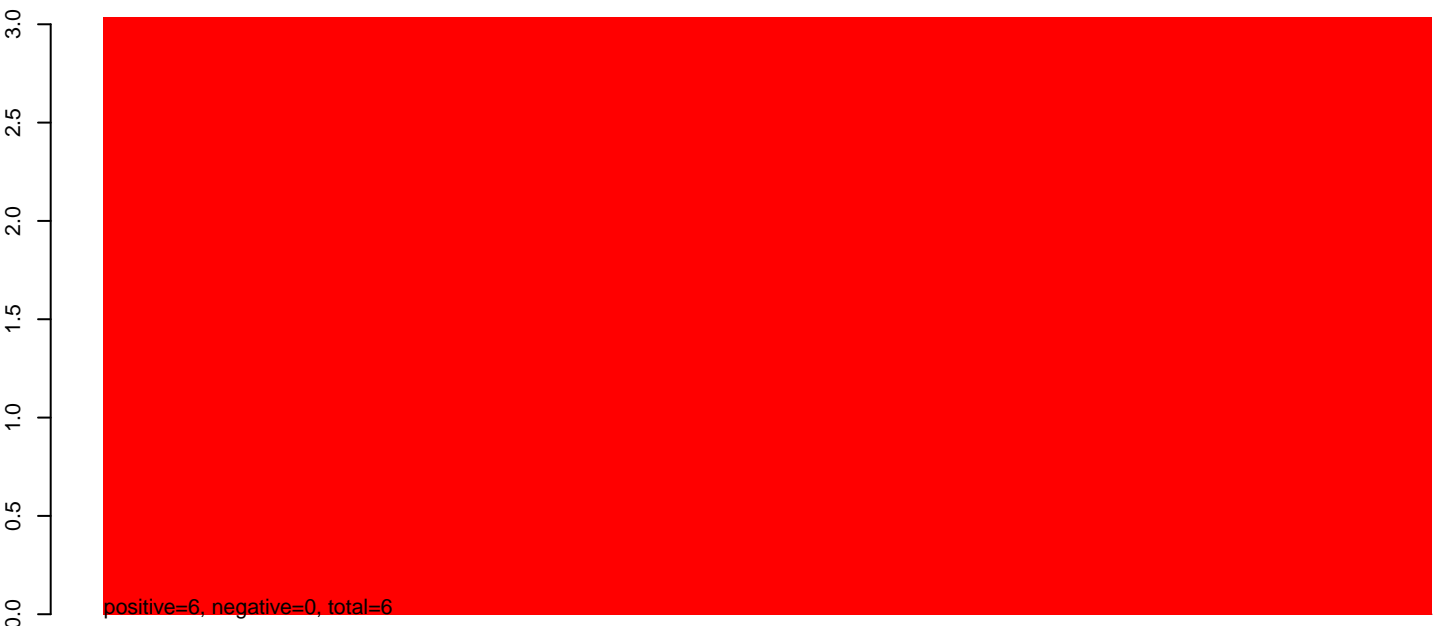
AeAlbo_C636_cells_rep_3.rep



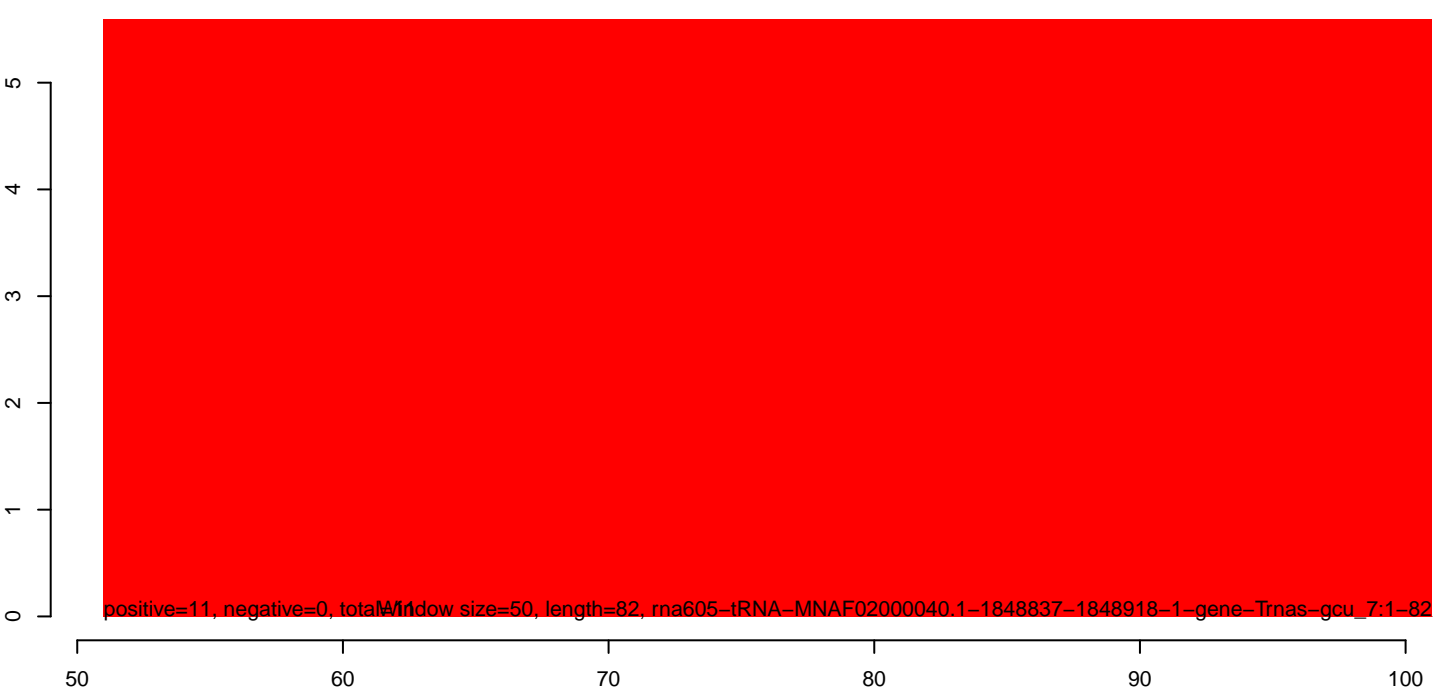
AeAlbo_C636_cells_rep_3.18_23.rep



AeAlbo_C636_cells_rep_3.24_35.rep



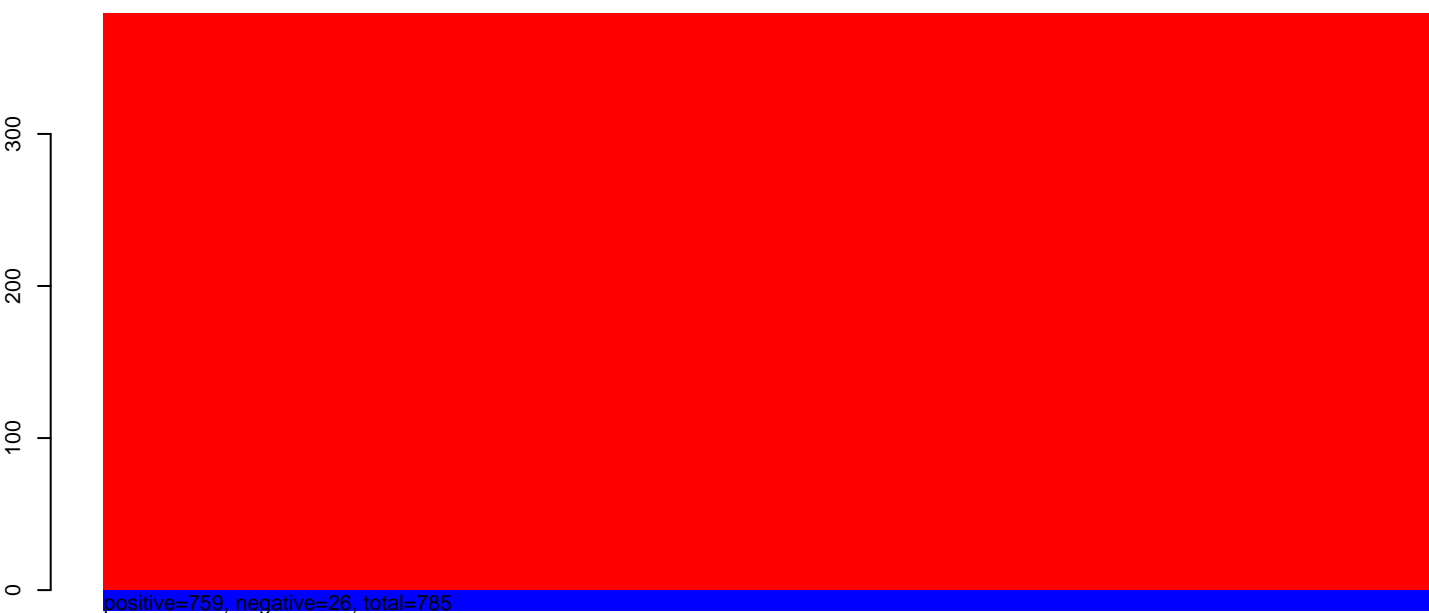
AeAlbo_C636_cells_rep_3.rep



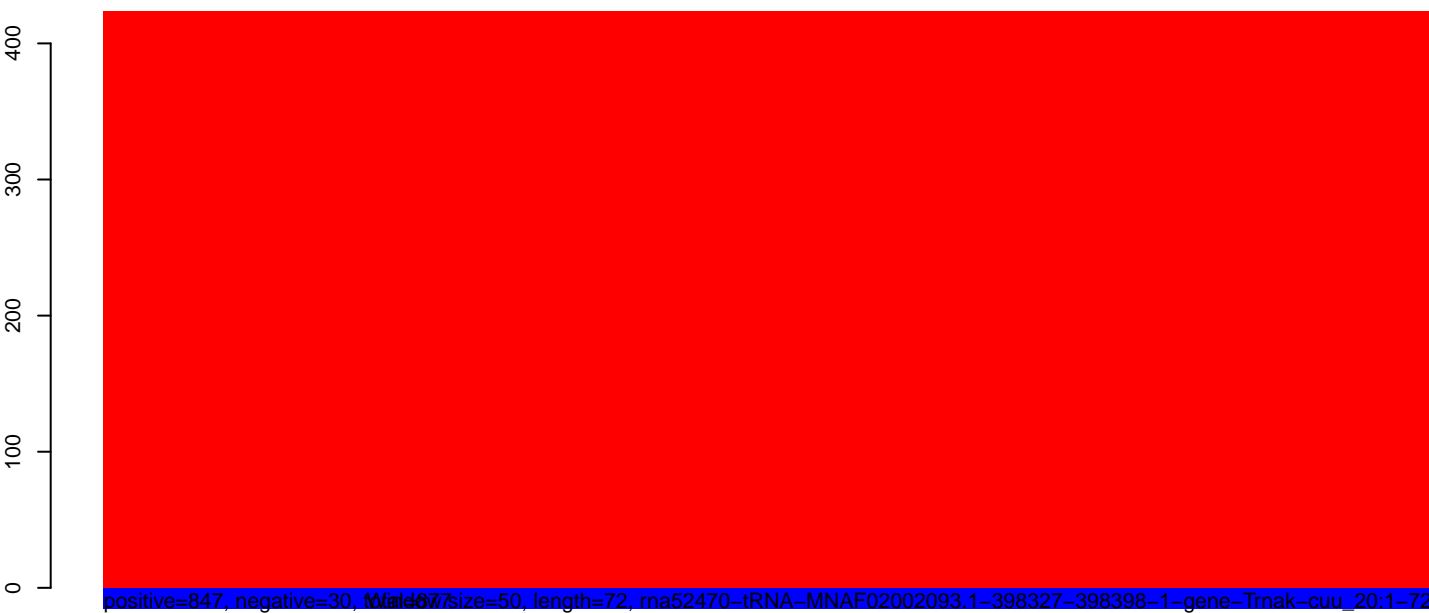
AeAlbo_C636_cells_rep_3.18_23.rep



AeAlbo_C636_cells_rep_3.24_35.rep



AeAlbo_C636_cells_rep_3.rep



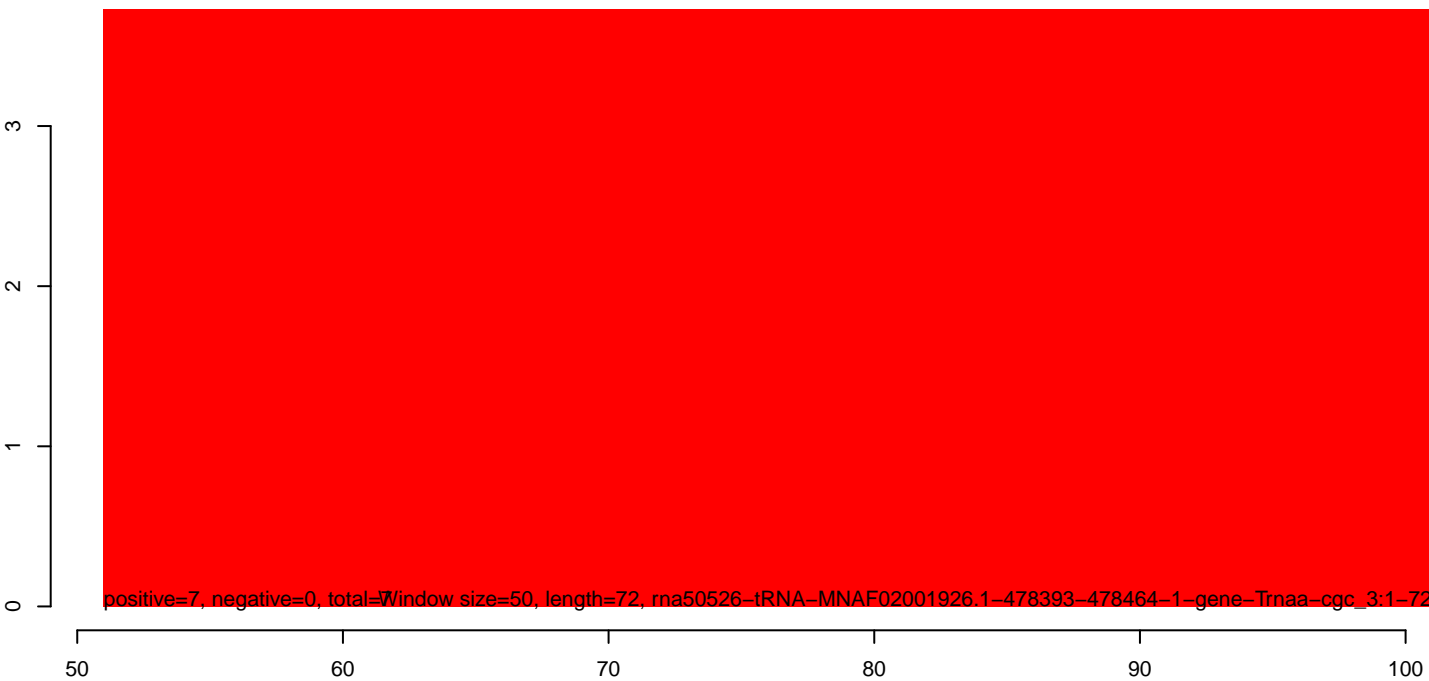
AeAlbo_C636_cells_rep_3.18_23.rep



AeAlbo_C636_cells_rep_3.24_35.rep



AeAlbo_C636_cells_rep_3.rep



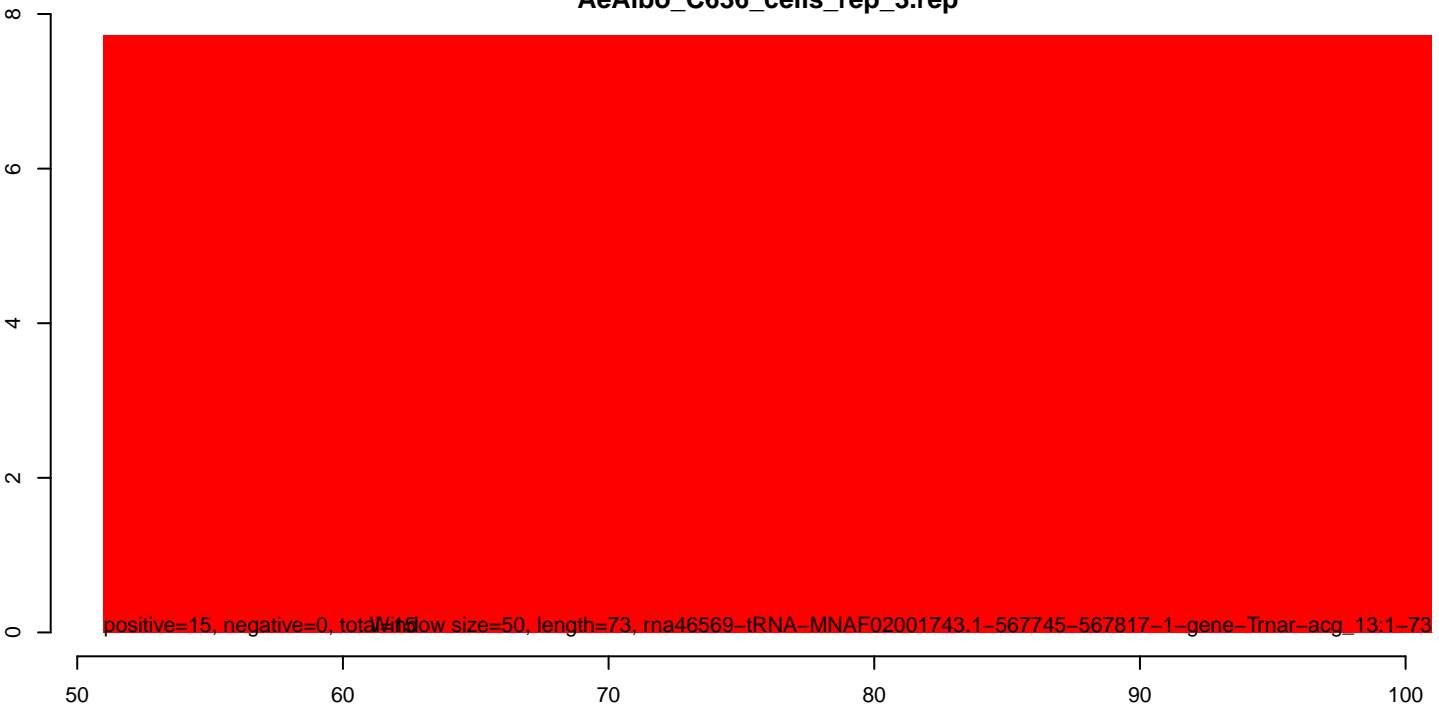
AeAlbo_C636_cells_rep_3.18_23.rep



AeAlbo_C636_cells_rep_3.24_35.rep



AeAlbo_C636_cells_rep_3.rep



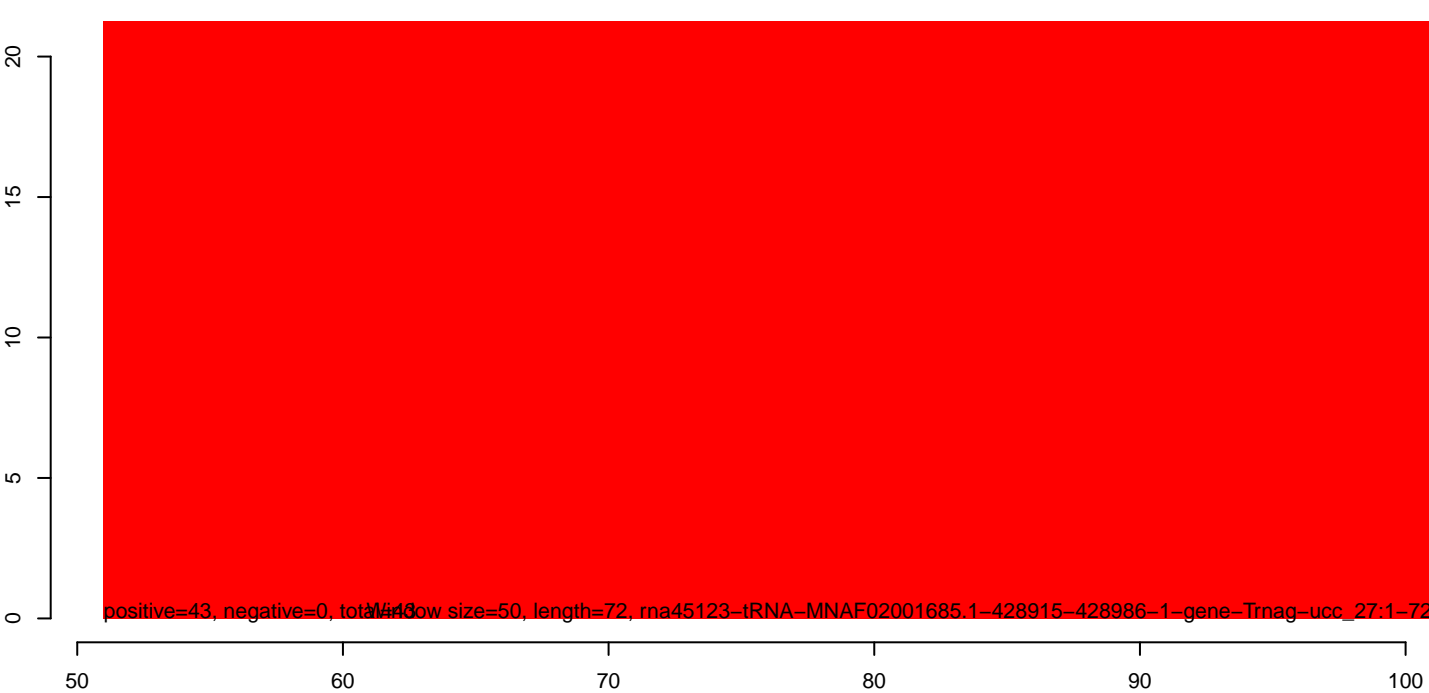
AeAlbo_C636_cells_rep_3.18_23.rep



AeAlbo_C636_cells_rep_3.24_35.rep



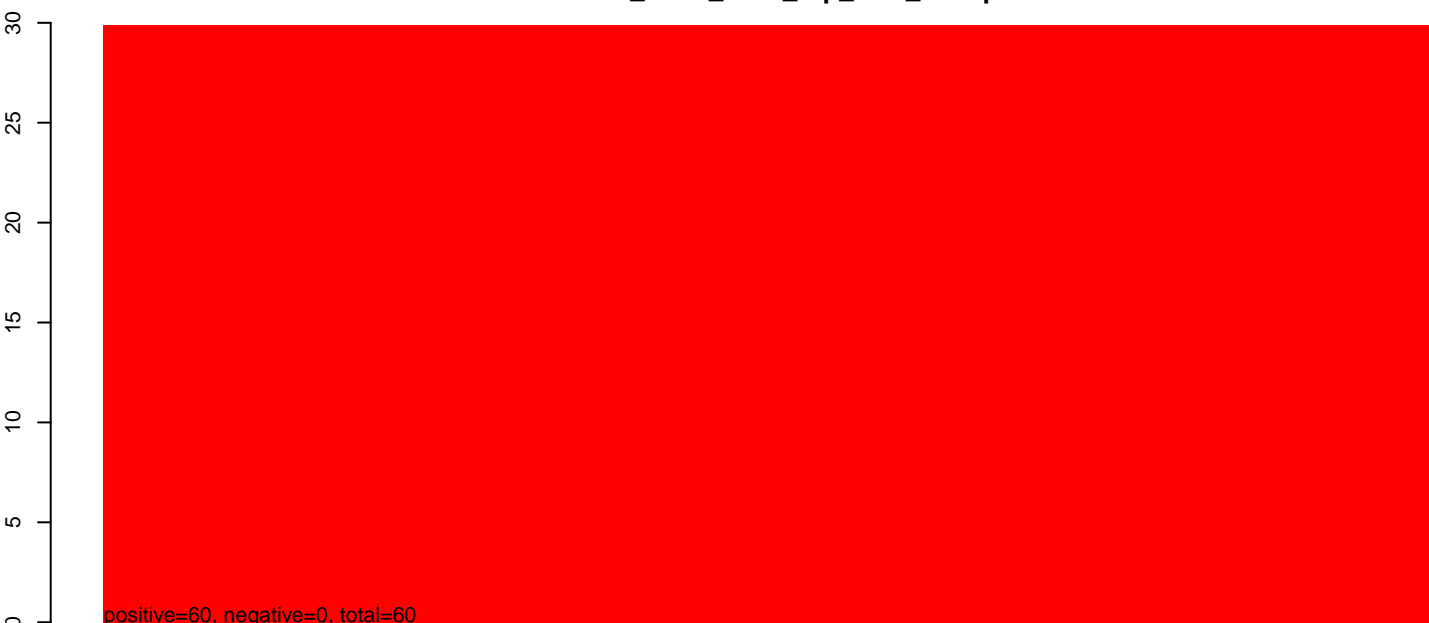
AeAlbo_C636_cells_rep_3.rep



AeAlbo_C636_cells_rep_3.18_23.rep



AeAlbo_C636_cells_rep_3.24_35.rep



AeAlbo_C636_cells_rep_3.rep



50 60 70 80 90 100

AeAlbo_C636_cells_rep_3.18_23.rep



AeAlbo_C636_cells_rep_3.24_35.rep

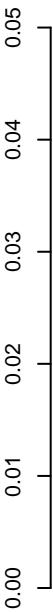


AeAlbo_C636_cells_rep_3.rep



Window size=50, length=72, rna44252-tRNA-MNAF02001668.1-626031-626102-1-gene-Trna-cca_13:1-72

AeAlbo_C636_cells_rep_3.18_23.rep



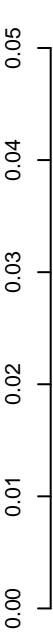
positive=0, negative=0, total=0

AeAlbo_C636_cells_rep_3.24_35.rep



positive=0, negative=0, total=0

AeAlbo_C636_cells_rep_3.rep



positive=0, negative=0, total=0 window size=50, length=71, ma41141-tRNA-MNAF02001503.1-1274217-1274287-1-gene-Trnat-ugu_4:1-71



AeAlbo_C636_cells_rep_3.18_23.rep



AeAlbo_C636_cells_rep_3.24_35.rep



AeAlbo_C636_cells_rep_3.rep



Window size=50, length=73, rna3860-tRNA-MNAF02000146.1-5537361-5537452-1-gene-Trnay_gua_14:1-73

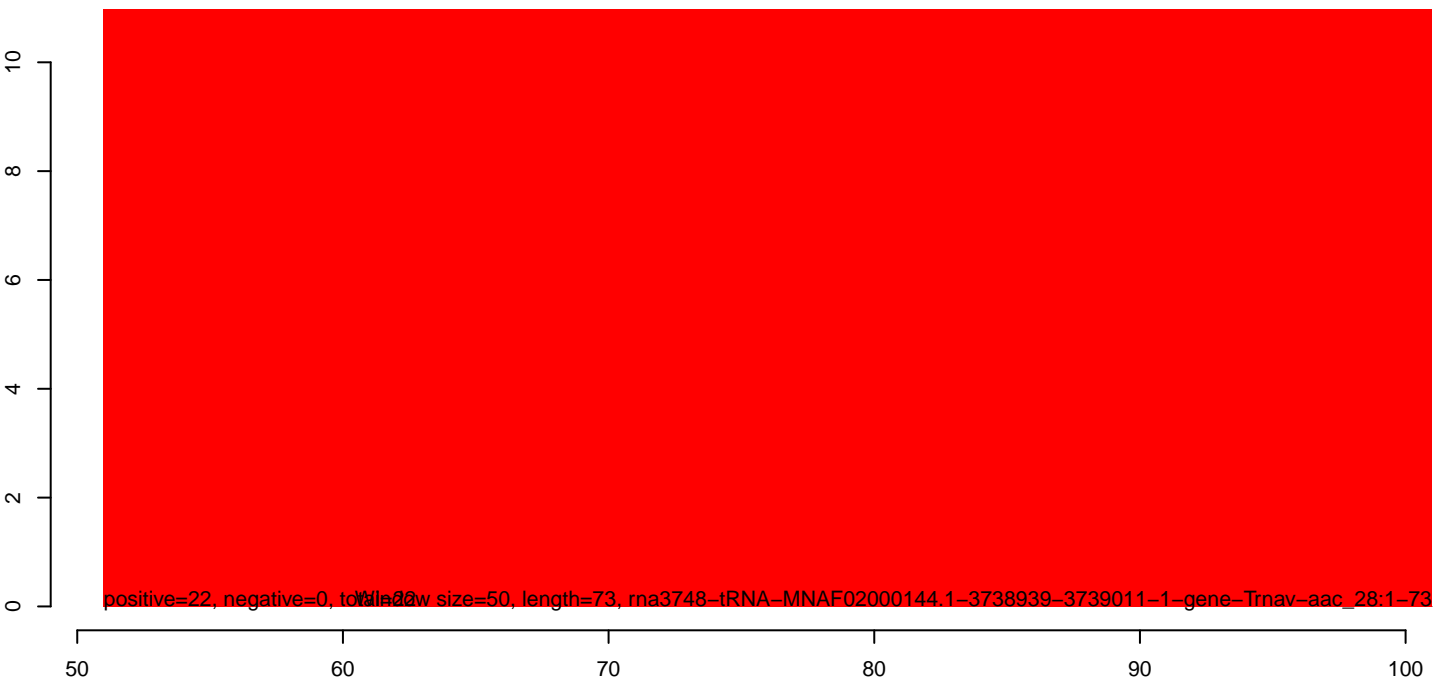
AeAlbo_C636_cells_rep_3.18_23.rep



AeAlbo_C636_cells_rep_3.24_35.rep



AeAlbo_C636_cells_rep_3.rep



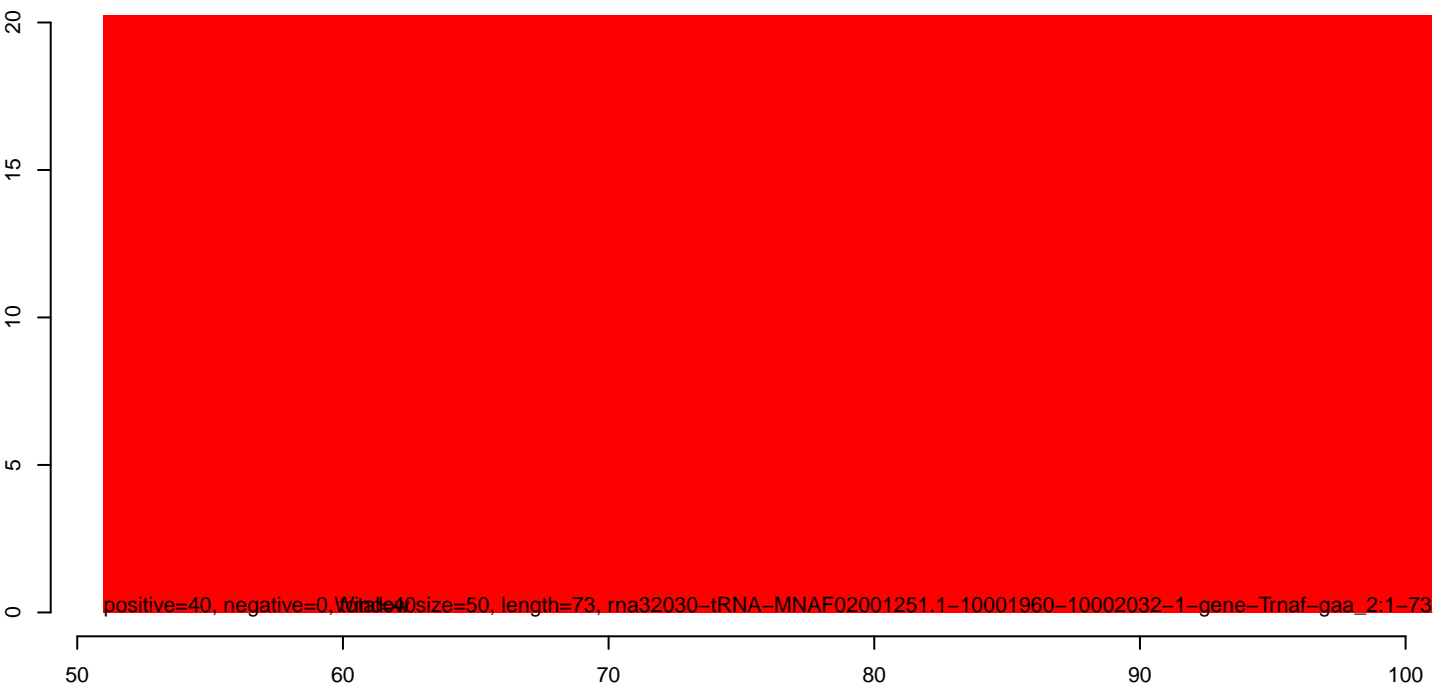
AeAlbo_C636_cells_rep_3.18_23.rep



AeAlbo_C636_cells_rep_3.24_35.rep



AeAlbo_C636_cells_rep_3.rep



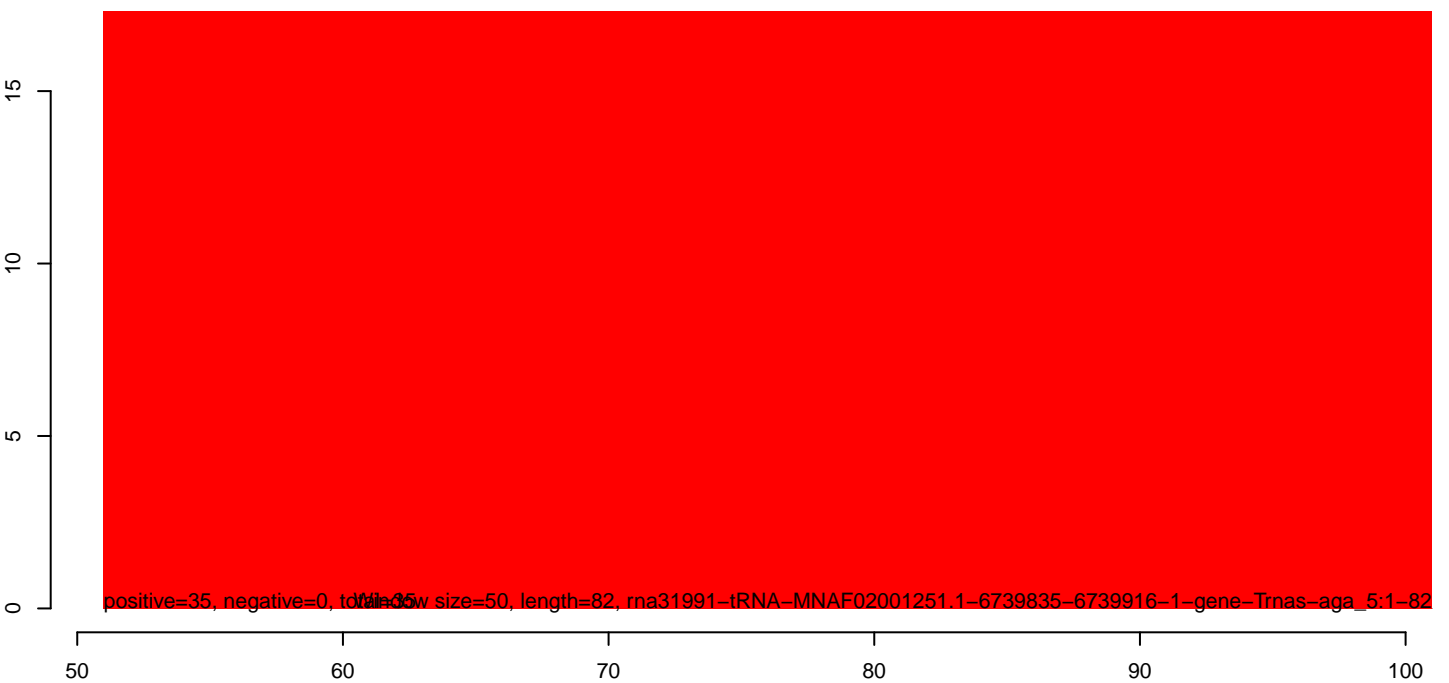
AeAlbo_C636_cells_rep_3.18_23.rep



AeAlbo_C636_cells_rep_3.24_35.rep



AeAlbo_C636_cells_rep_3.rep



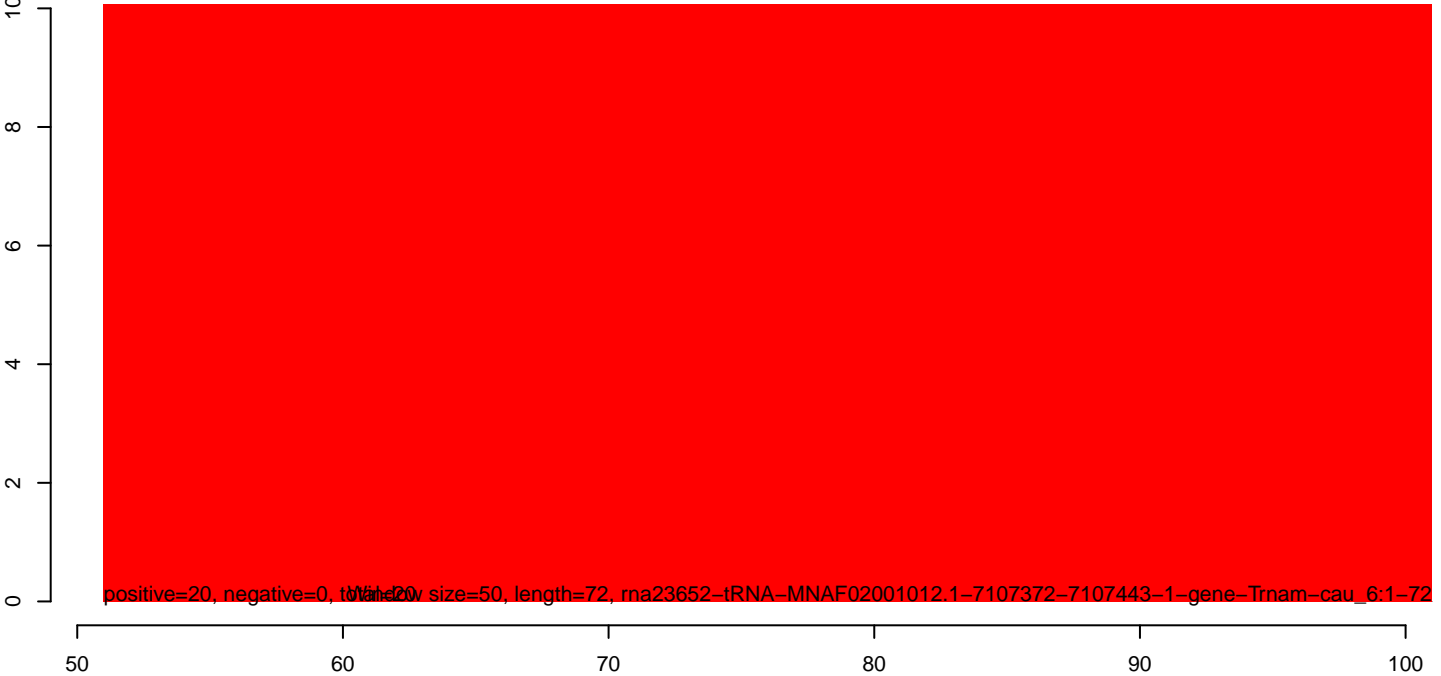
AeAlbo_C636_cells_rep_3.18_23.rep



AeAlbo_C636_cells_rep_3.24_35.rep



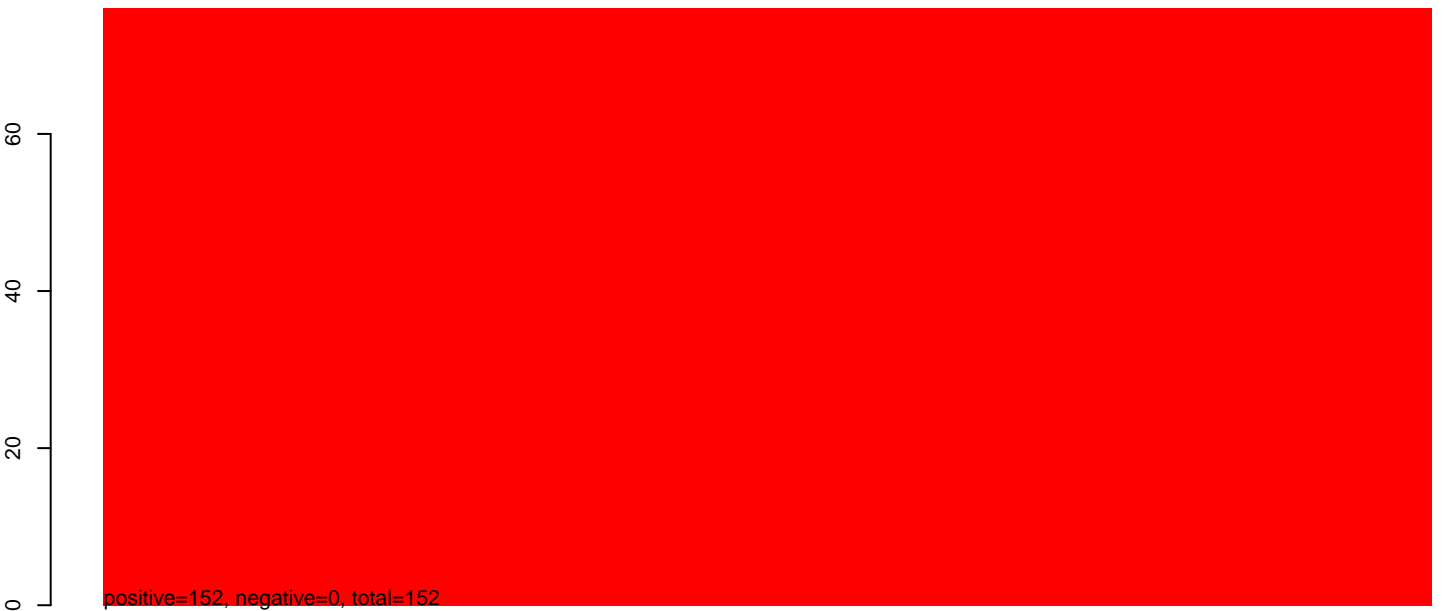
AeAlbo_C636_cells_rep_3.rep



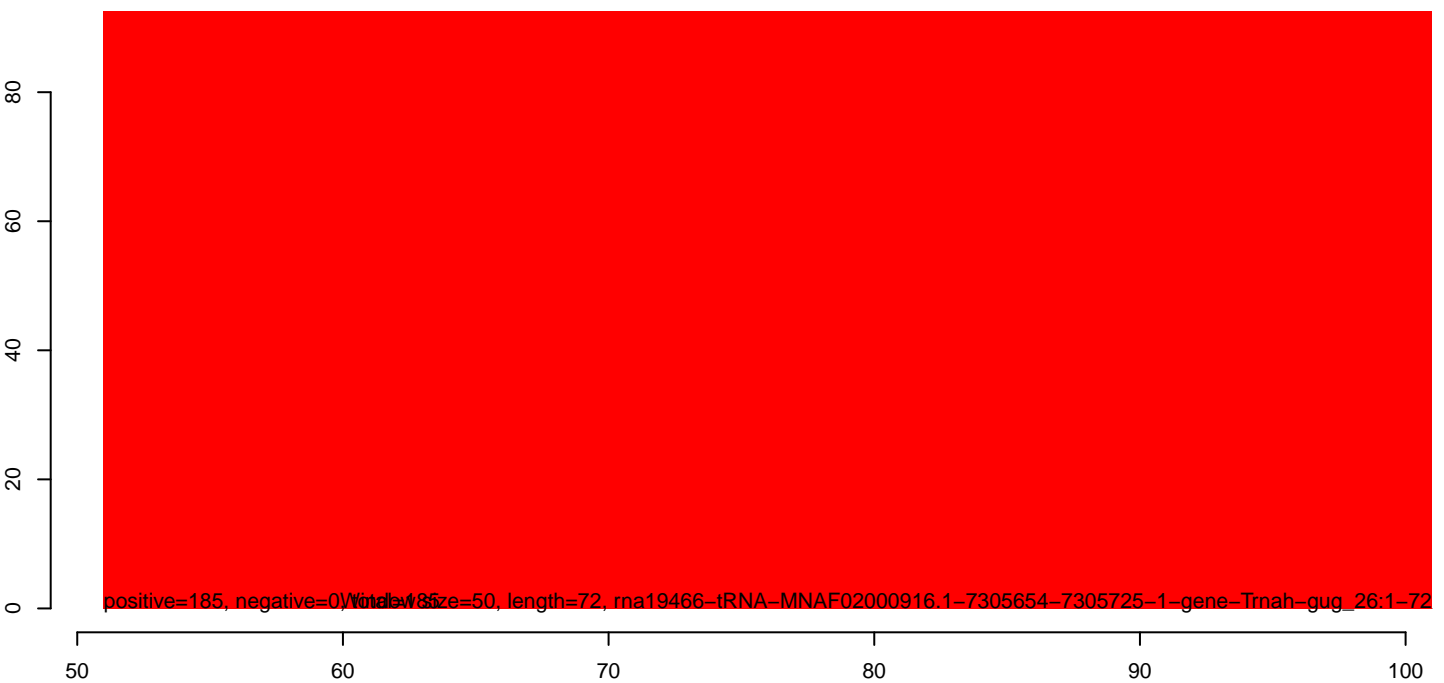
AeAlbo_C636_cells_rep_3.18_23.rep



AeAlbo_C636_cells_rep_3.24_35.rep



AeAlbo_C636_cells_rep_3.rep



AeAlbo_C636_cells_rep_3.18_23.rep



AeAlbo_C636_cells_rep_3.24_35.rep



AeAlbo_C636_cells_rep_3.rep



Window size=50, length=74, rna1618-tRNA-MNAF02000048.1-504066-504139-1-gene-Trnai-aau_27:1-74

AeAlbo_C636_cells_rep_3.18_23.rep



AeAlbo_C636_cells_rep_3.24_35.rep



AeAlbo_C636_cells_rep_3.rep



50 60 70 80 90 100

AeAlbo_C636_cells_rep_3.18_23.rep



AeAlbo_C636_cells_rep_3.24_35.rep



AeAlbo_C636_cells_rep_3.rep

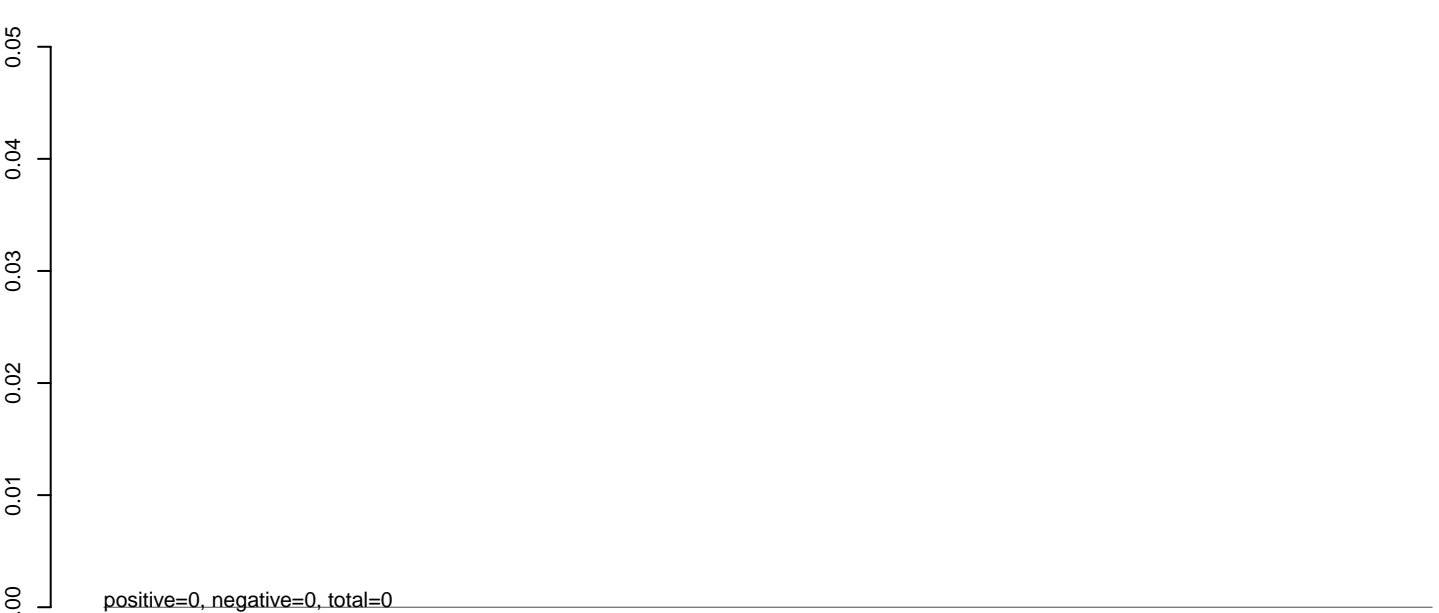


50 60 70 80 90 100

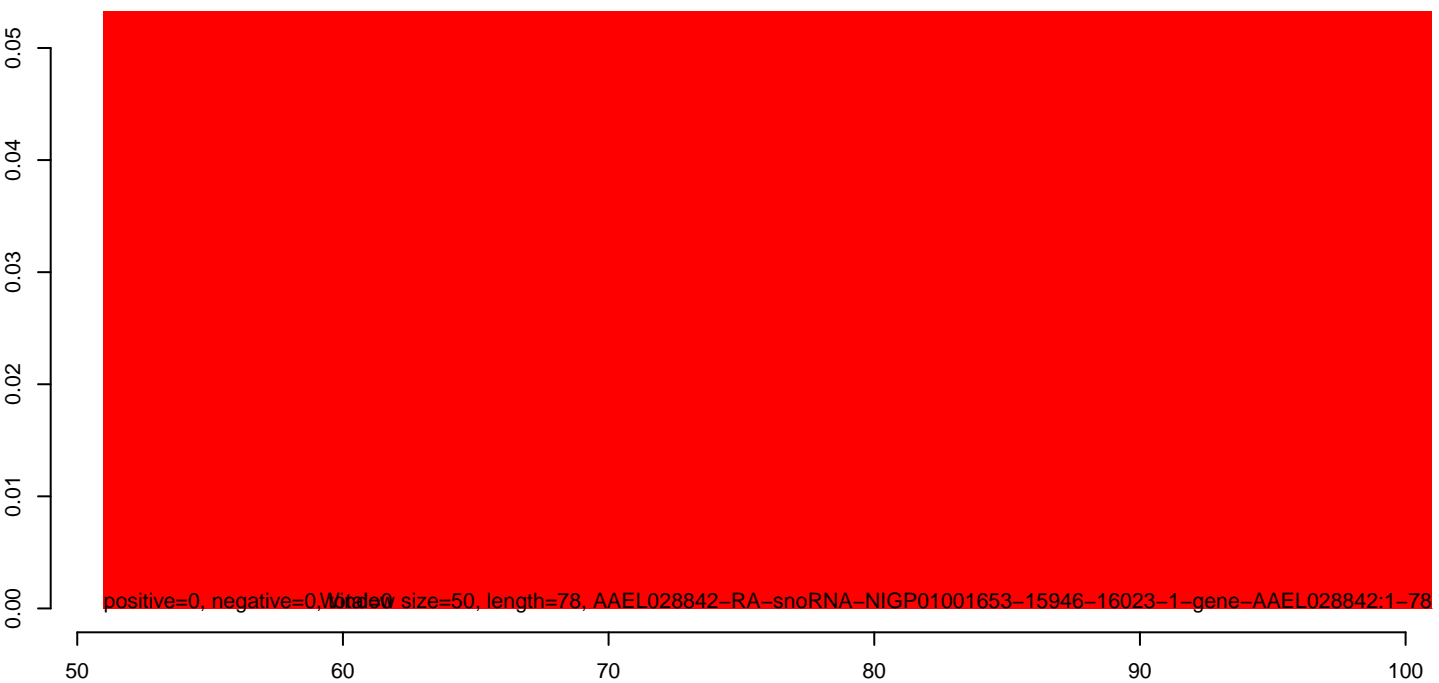
AeAlbo_C636_cells_rep_3.18_23.rep



AeAlbo_C636_cells_rep_3.24_35.rep



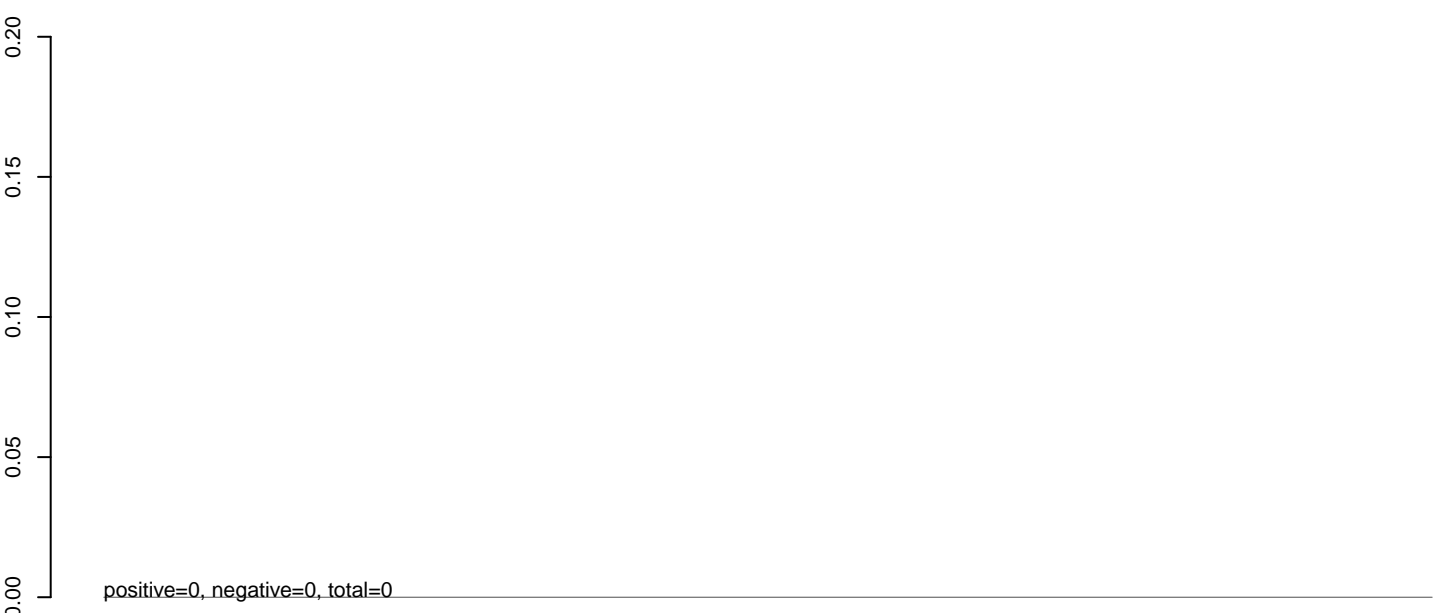
AeAlbo_C636_cells_rep_3.rep



AeAlbo_C636_cells_rep_3.18_23.rep



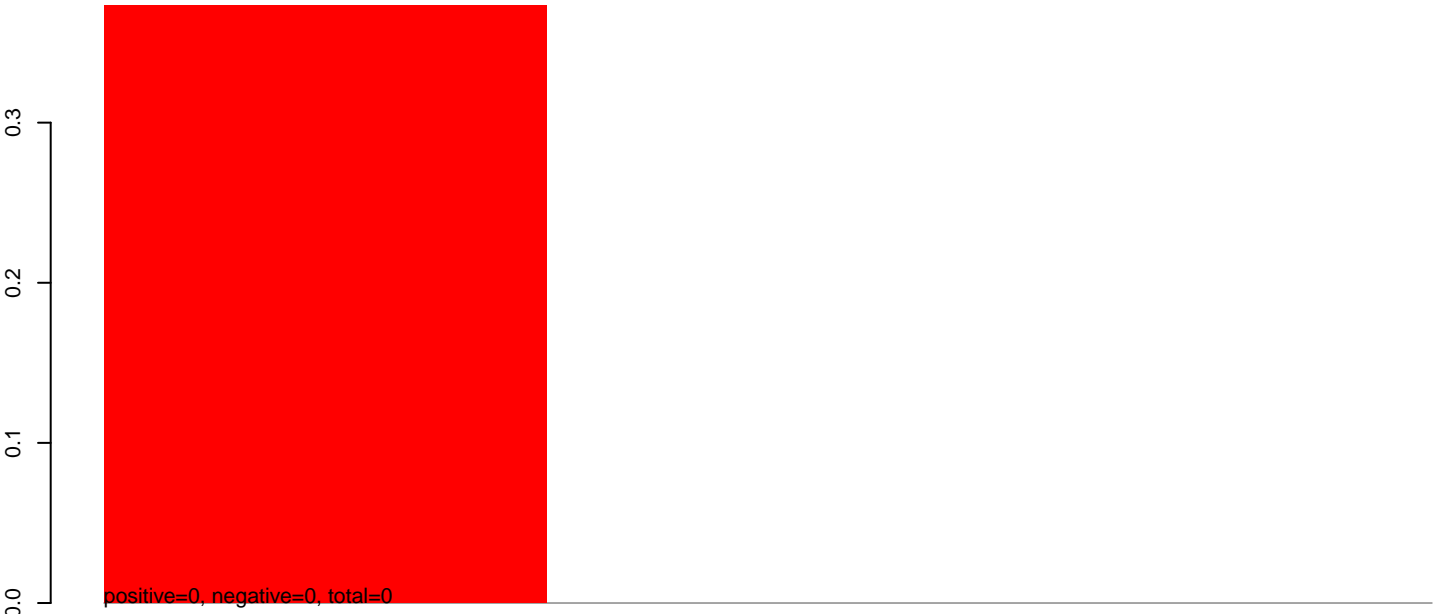
AeAlbo_C636_cells_rep_3.24_35.rep



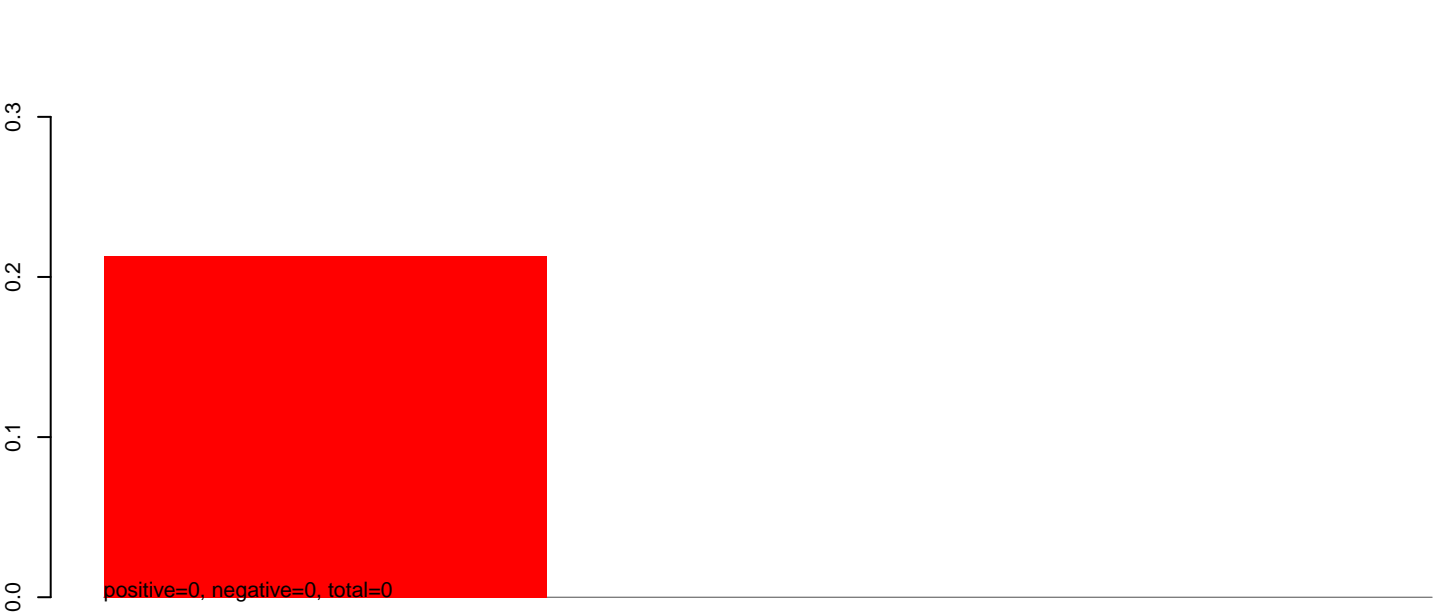
AeAlbo_C636_cells_rep_3.rep



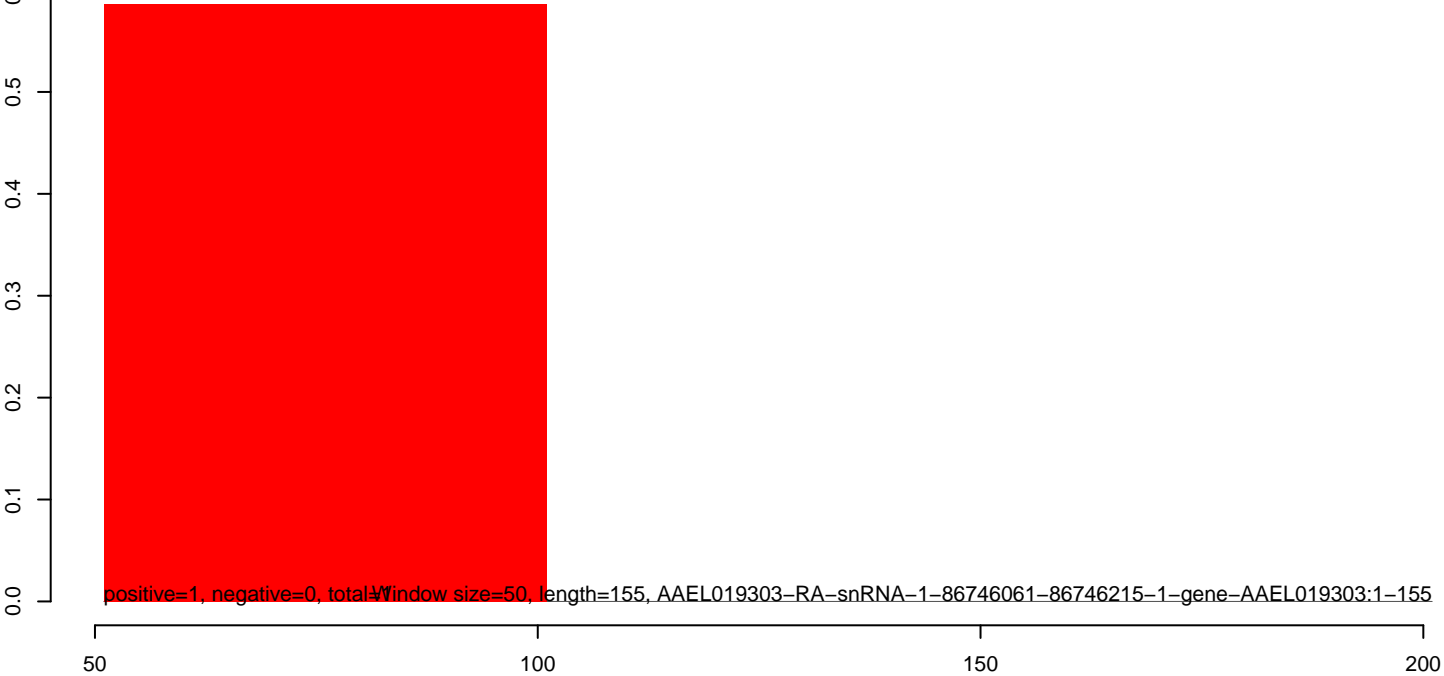
AeAlbo_C636_cells_rep_3.18_23.rep



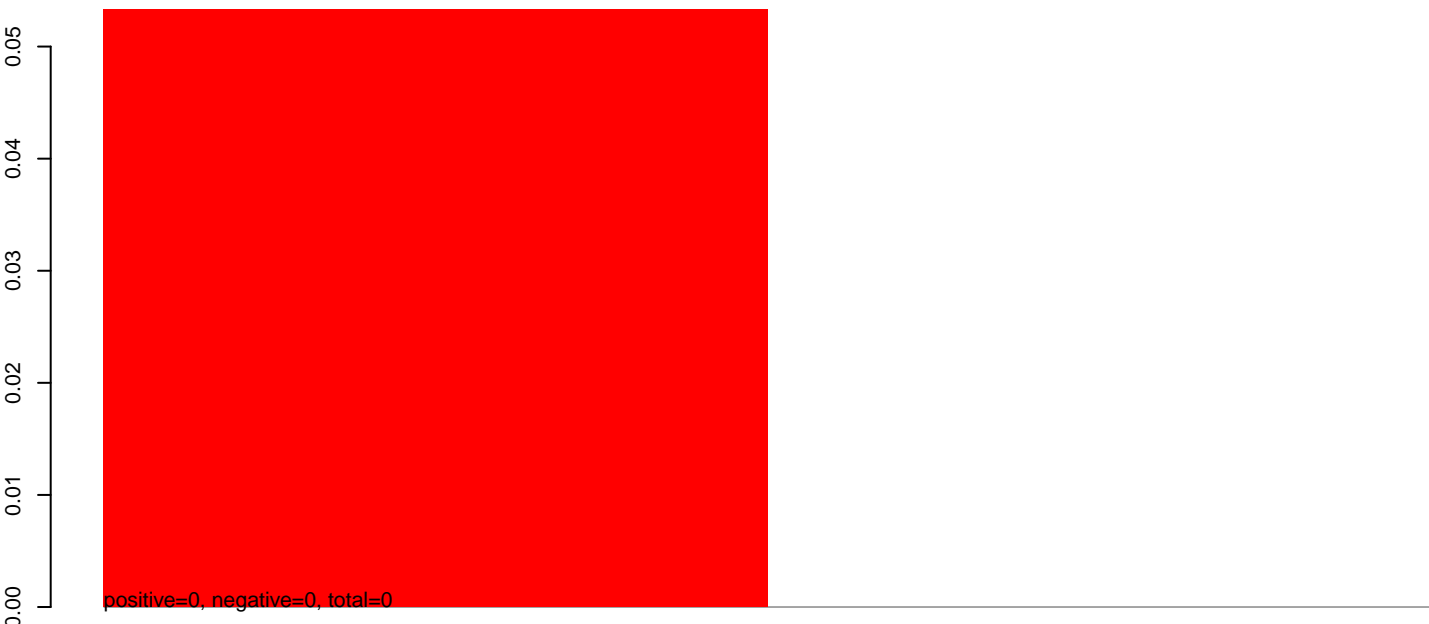
AeAlbo_C636_cells_rep_3.24_35.rep



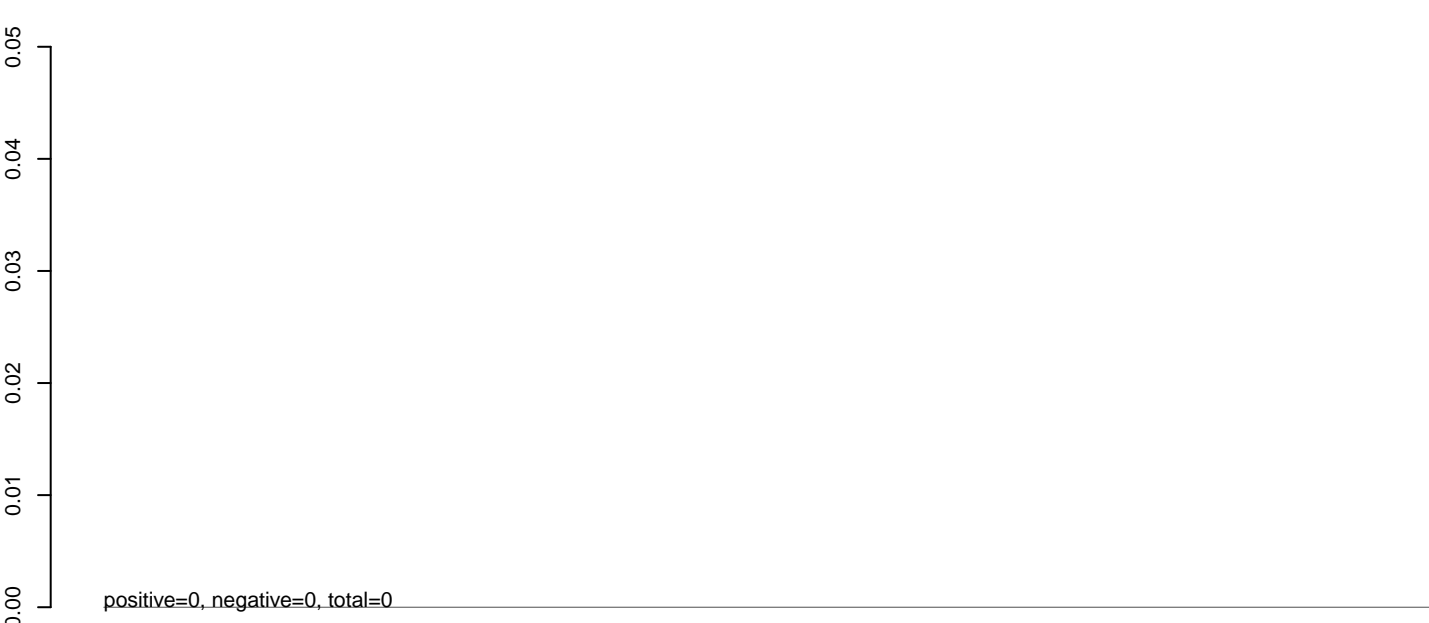
AeAlbo_C636_cells_rep_3.rep



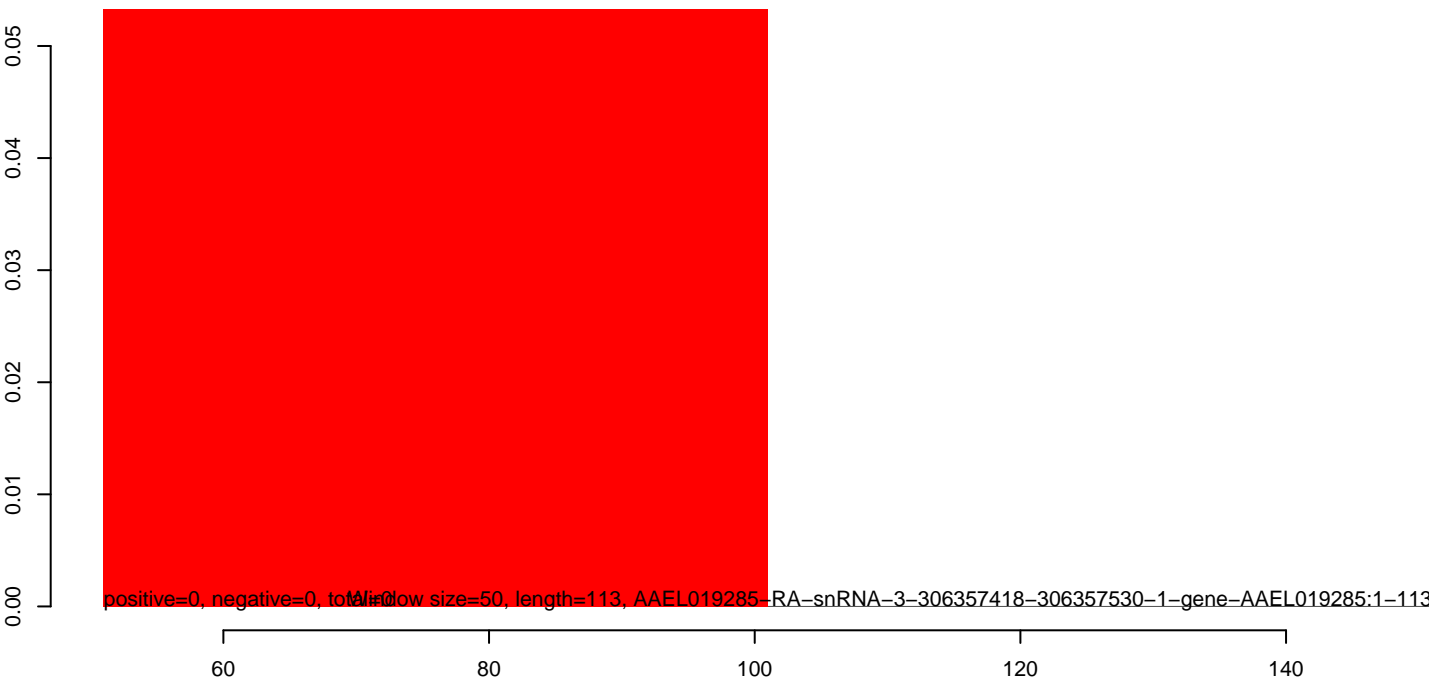
AeAlbo_C636_cells_rep_3.18_23.rep



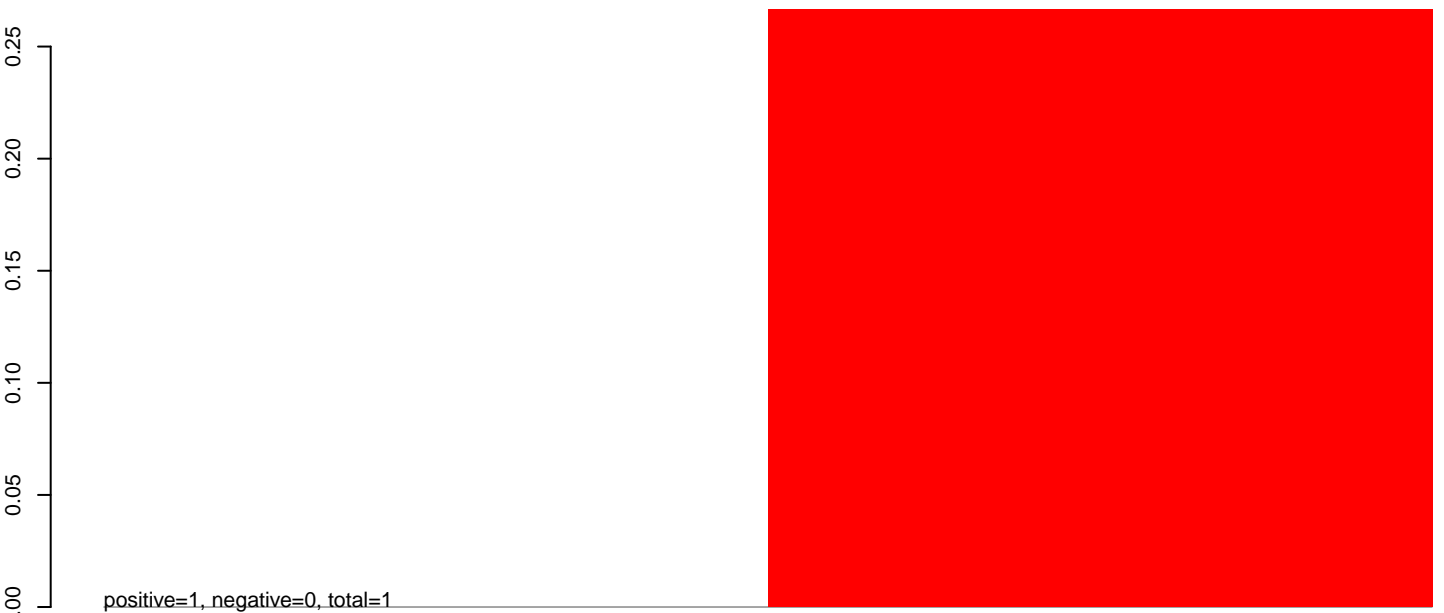
AeAlbo_C636_cells_rep_3.24_35.rep



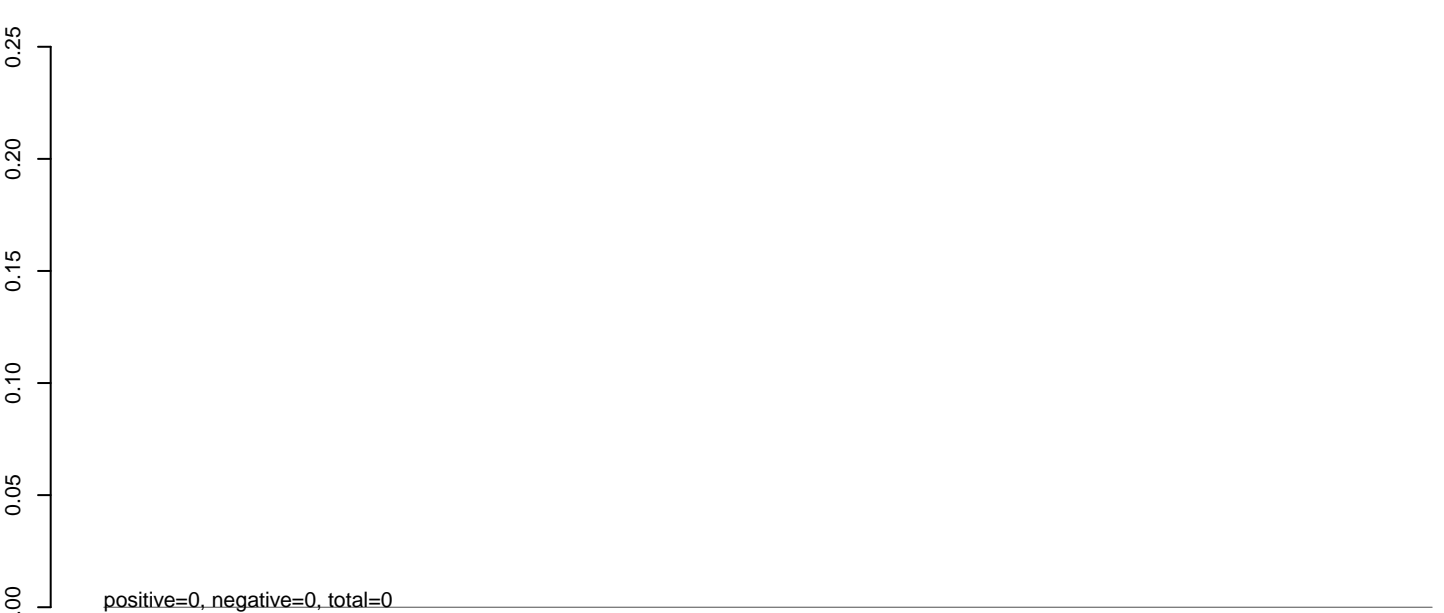
AeAlbo_C636_cells_rep_3.rep



AeAlbo_C636_cells_rep_3.18_23.rep



AeAlbo_C636_cells_rep_3.24_35.rep



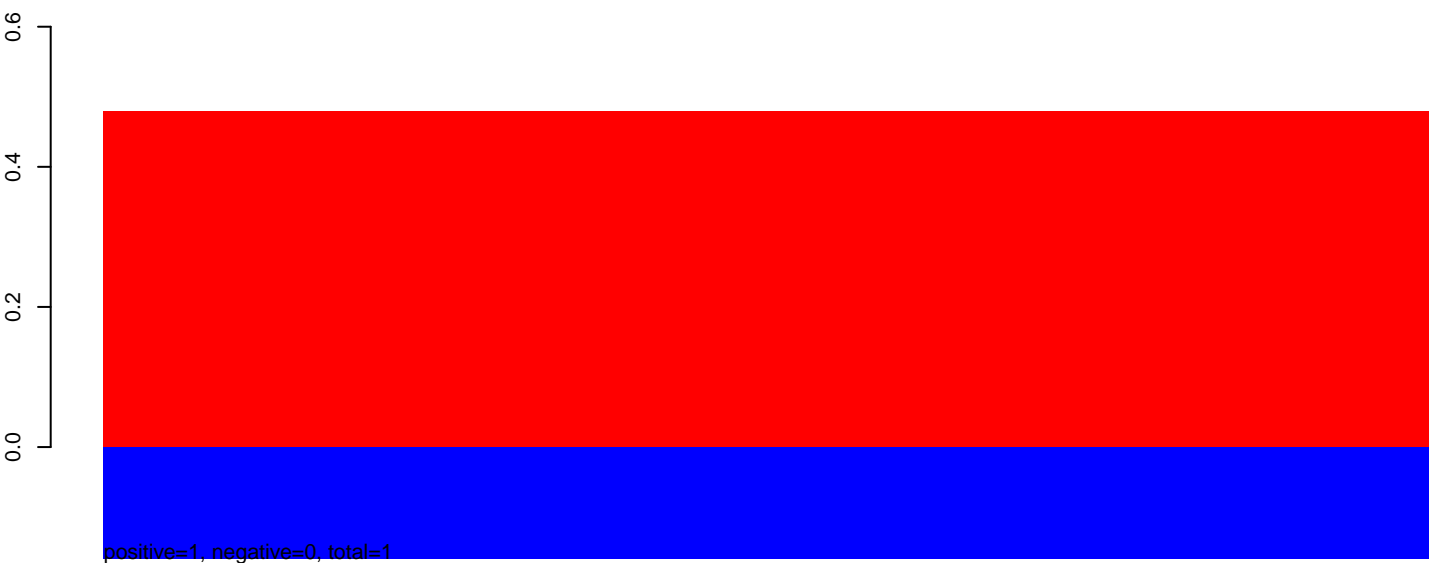
AeAlbo_C636_cells_rep_3.rep



Window size=50, length=142, AAEL019080-RA-snRNA-3-292583187-292583328-1-gene-AAEL019080:1-142

60 80 100 120 140

AeAlbo_C636_cells_rep_3.18_23.rep

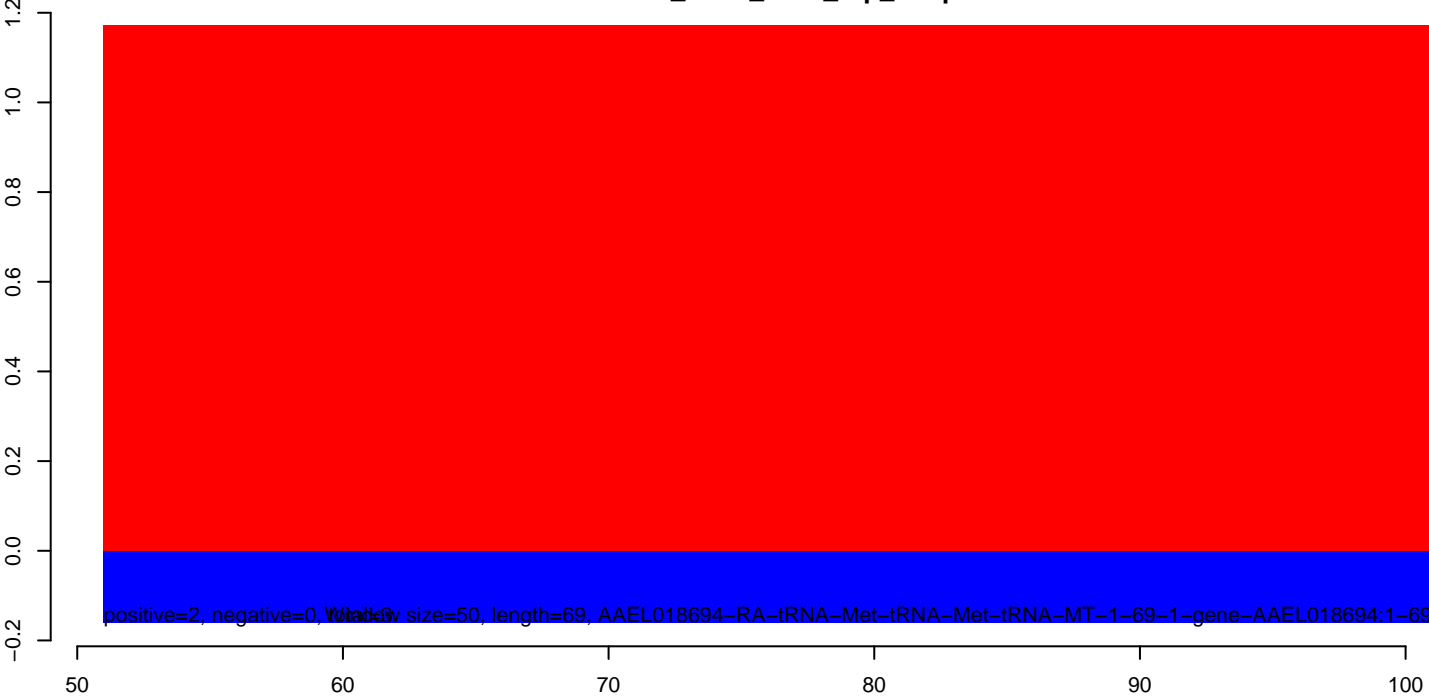


AeAlbo_C636_cells_rep_3.24_35.rep

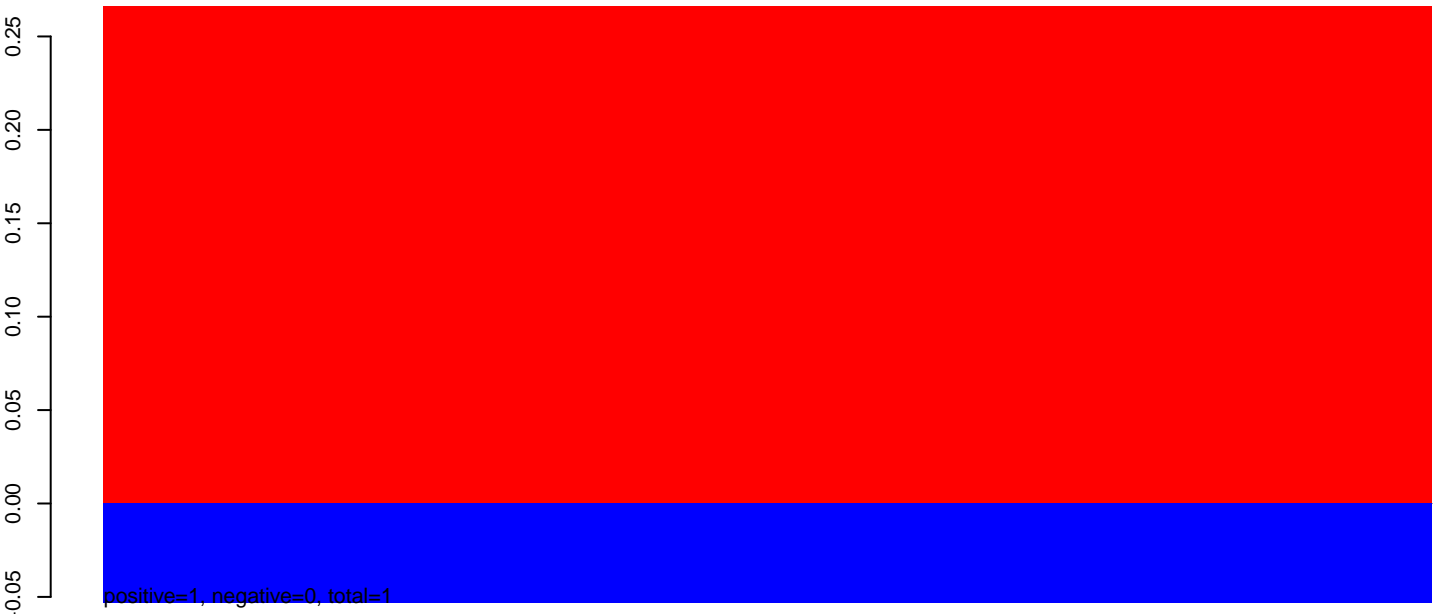


positive=1, negative=0, total=1

AeAlbo_C636_cells_rep_3.rep



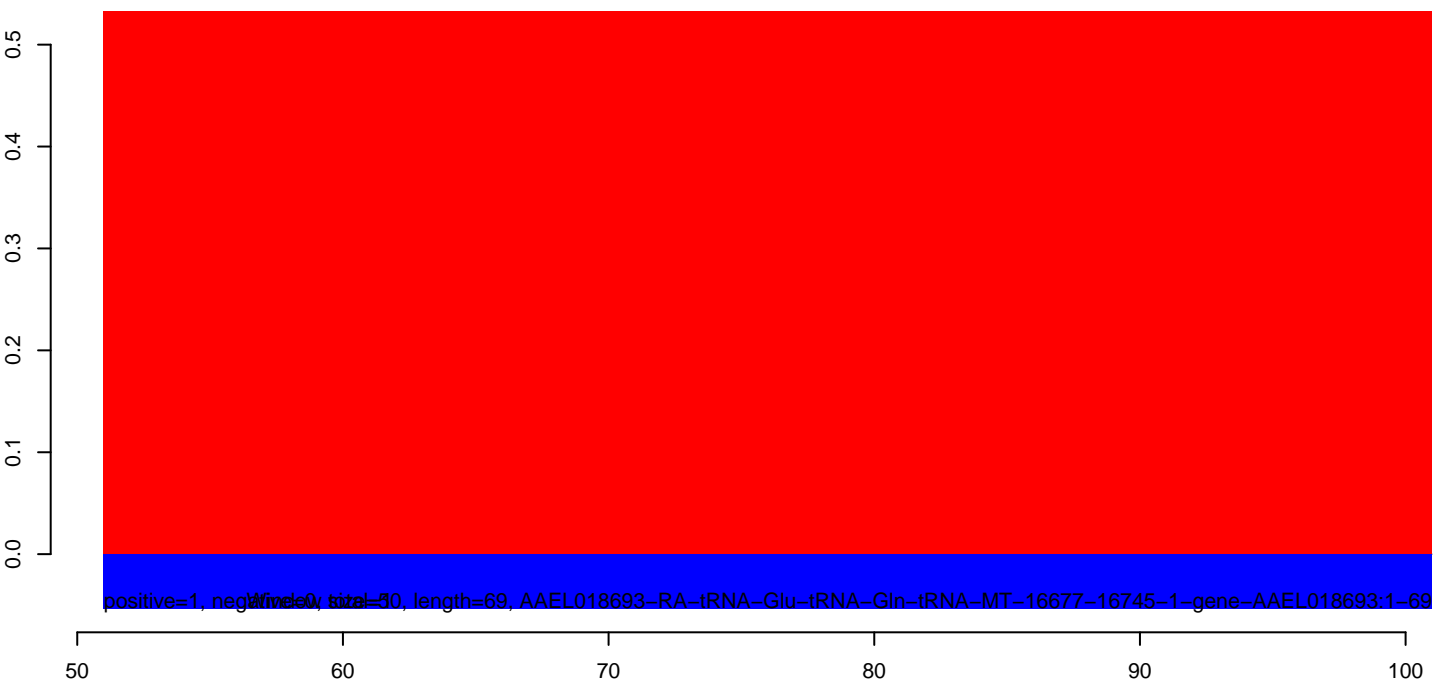
AeAlbo_C636_cells_rep_3.18_23.rep



AeAlbo_C636_cells_rep_3.24_35.rep



AeAlbo_C636_cells_rep_3.rep



AeAlbo_C636_cells_rep_3.18_23.rep



AeAlbo_C636_cells_rep_3.24_35.rep



AeAlbo_C636_cells_rep_3.rep



Window size=50, length=67, AAEL018692-RA-tRNA-Ile-tRNA-Ile-tRNA-MT-16608-16674-1-gene-AAEL018692:1-67

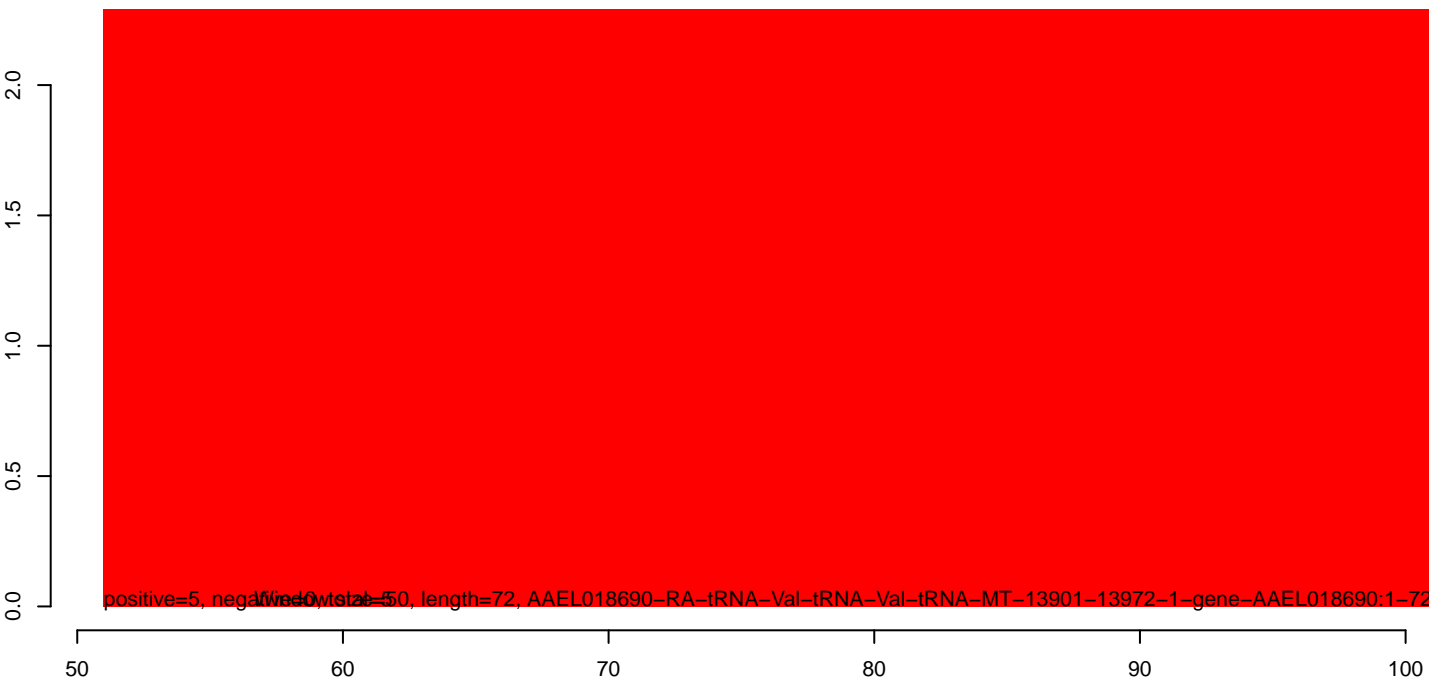
AeAlbo_C636_cells_rep_3.18_23.rep



AeAlbo_C636_cells_rep_3.24_35.rep



AeAlbo_C636_cells_rep_3.rep



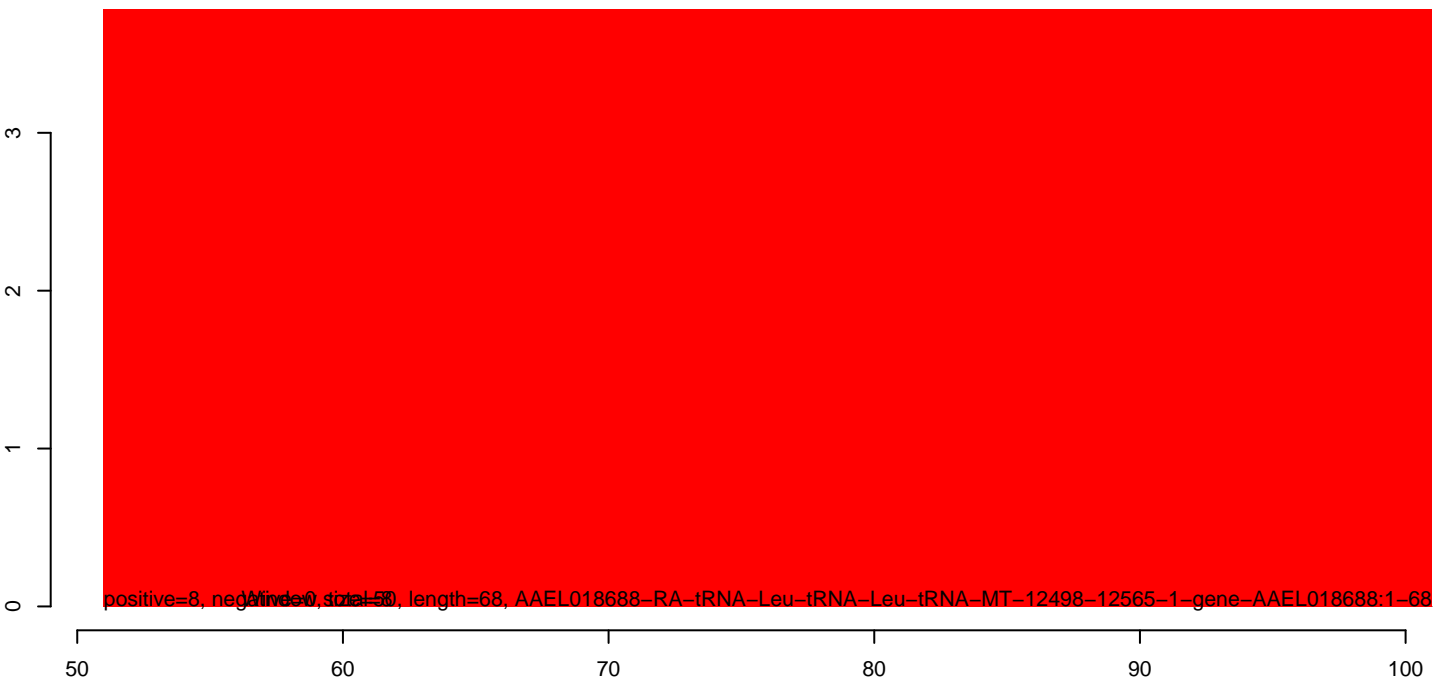
AeAlbo_C636_cells_rep_3.18_23.rep



AeAlbo_C636_cells_rep_3.24_35.rep



AeAlbo_C636_cells_rep_3.rep



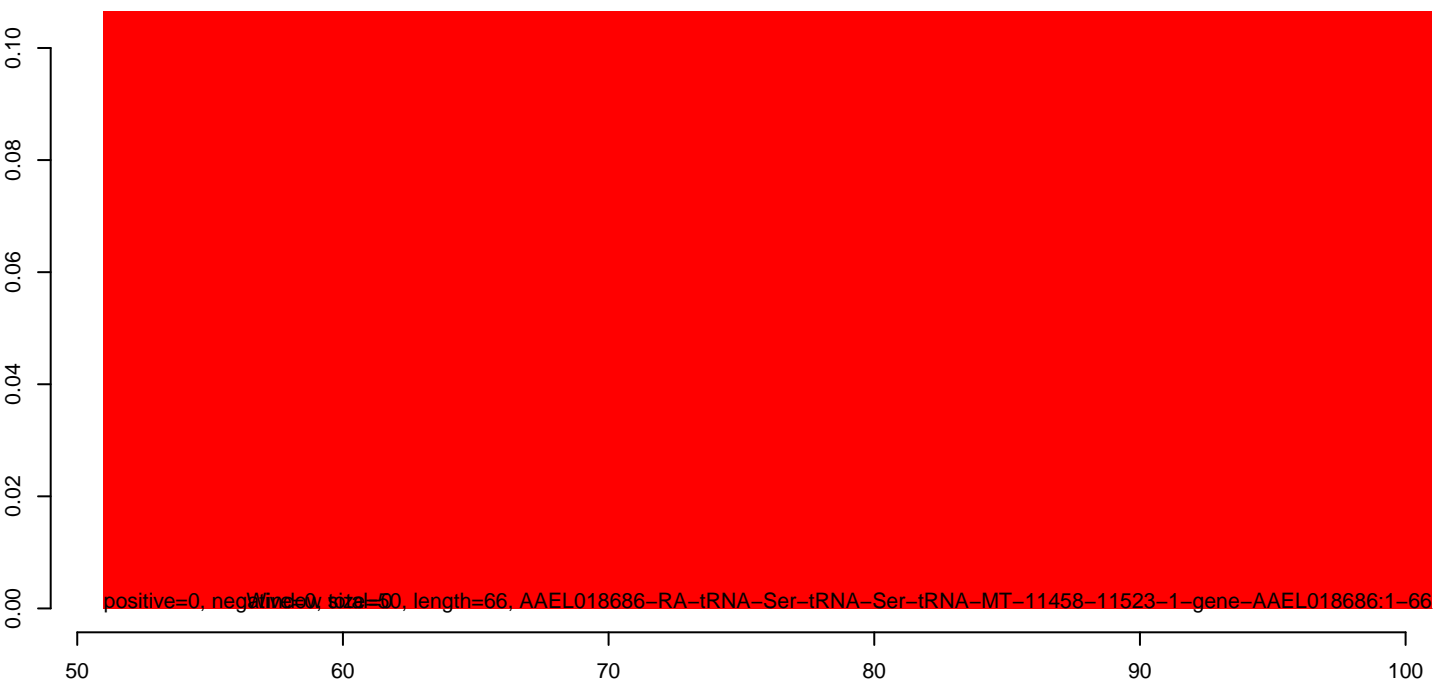
AeAlbo_C636_cells_rep_3.18_23.rep



AeAlbo_C636_cells_rep_3.24_35.rep



AeAlbo_C636_cells_rep_3.rep

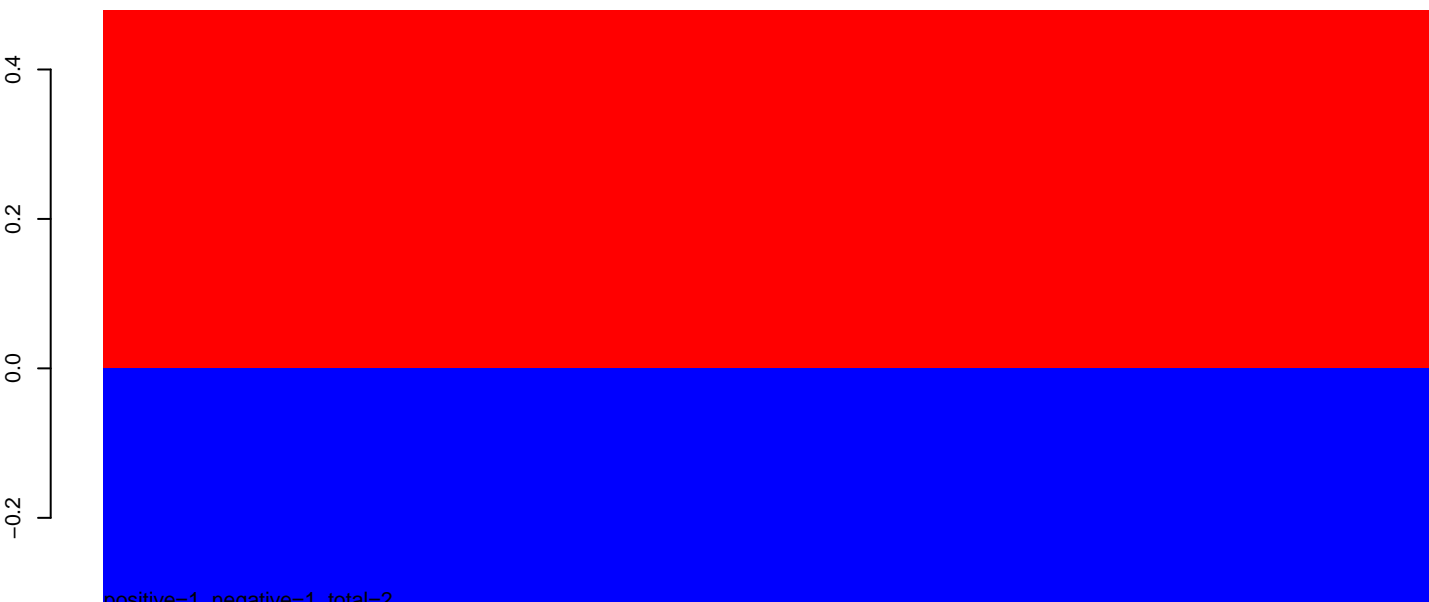


AeAlbo_C636_cells_rep_3.18_23.rep



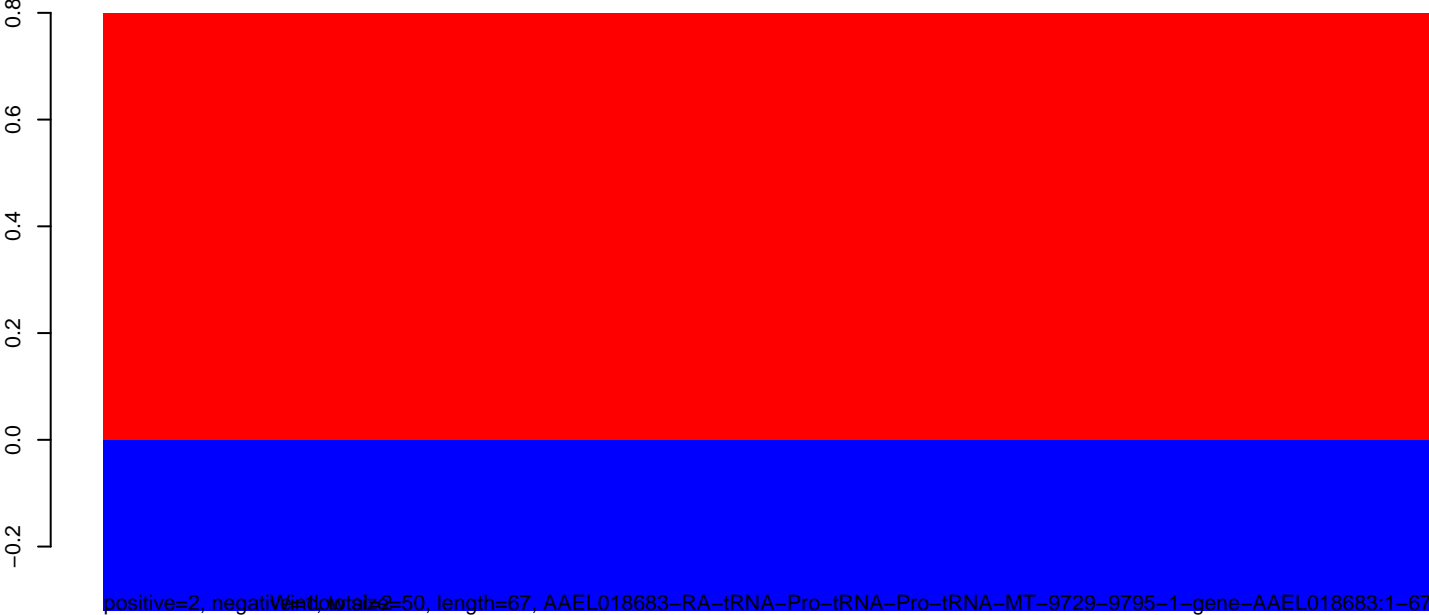
positive=1, negative=0, total=1

AeAlbo_C636_cells_rep_3.24_35.rep



positive=1, negative=1, total=2

AeAlbo_C636_cells_rep_3.rep



positive=2, negative=1, total=3, window size=50, length=67, AAEL018683-RA-tRNA-Pro-tRNA-Pro-tRNA-MT-9729-9795-1-gene-AAEL018683:1-67

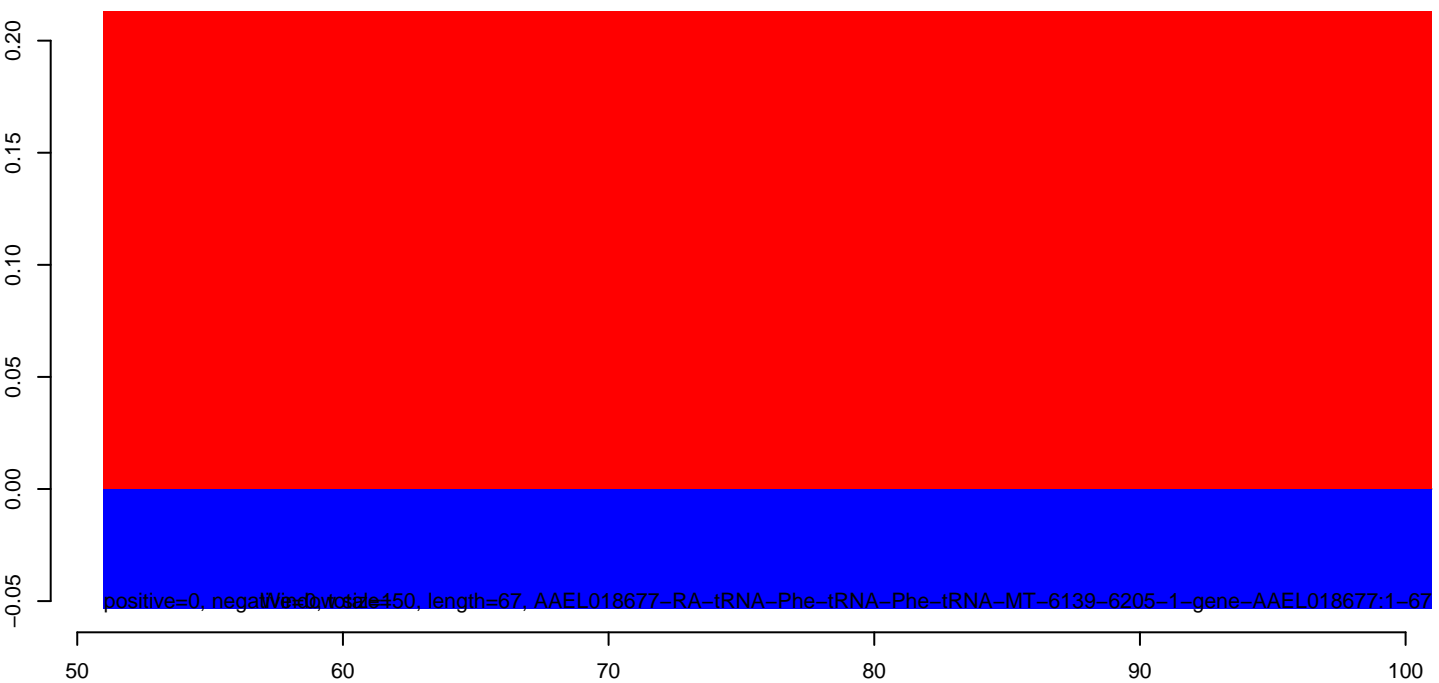
AeAlbo_C636_cells_rep_3.18_23.rep



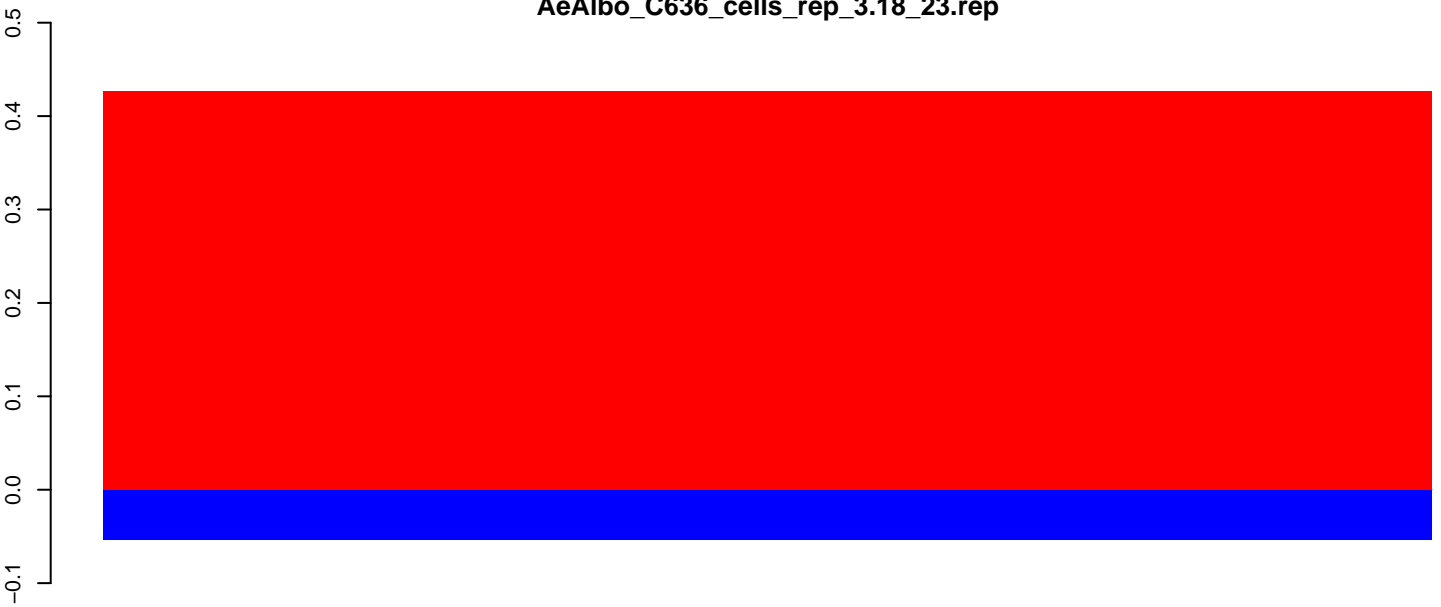
AeAlbo_C636_cells_rep_3.24_35.rep



AeAlbo_C636_cells_rep_3.rep

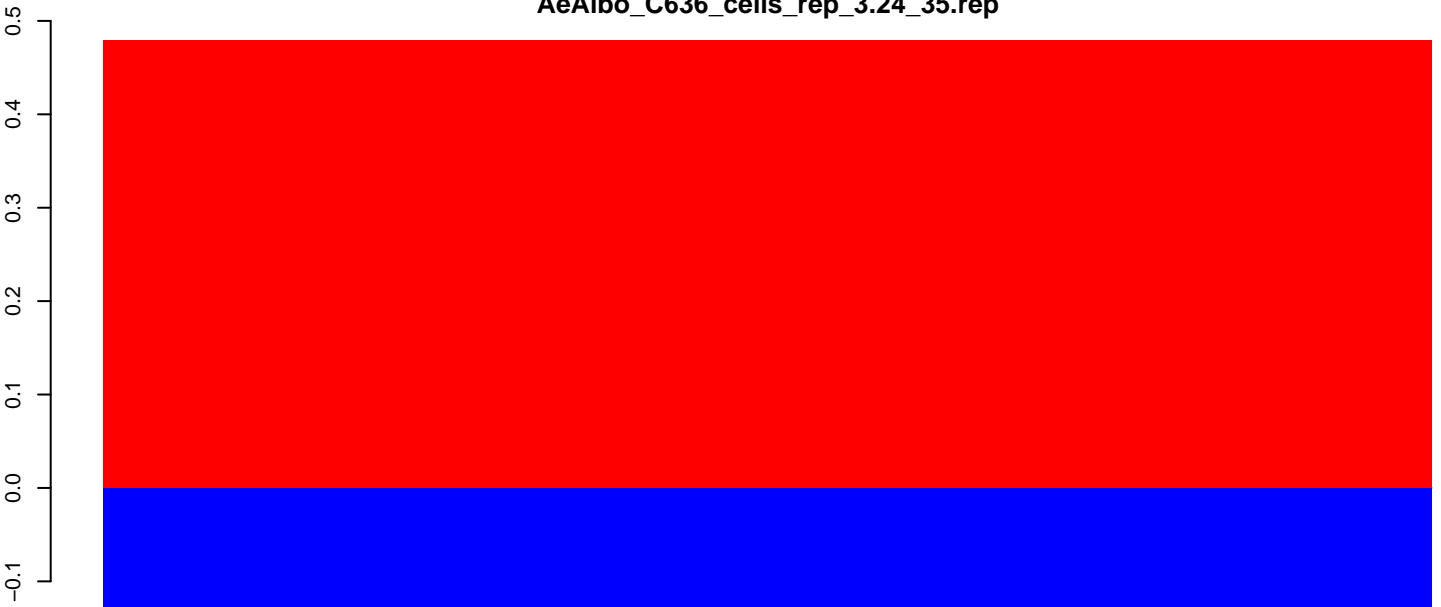


AeAlbo_C636_cells_rep_3.18_23.rep



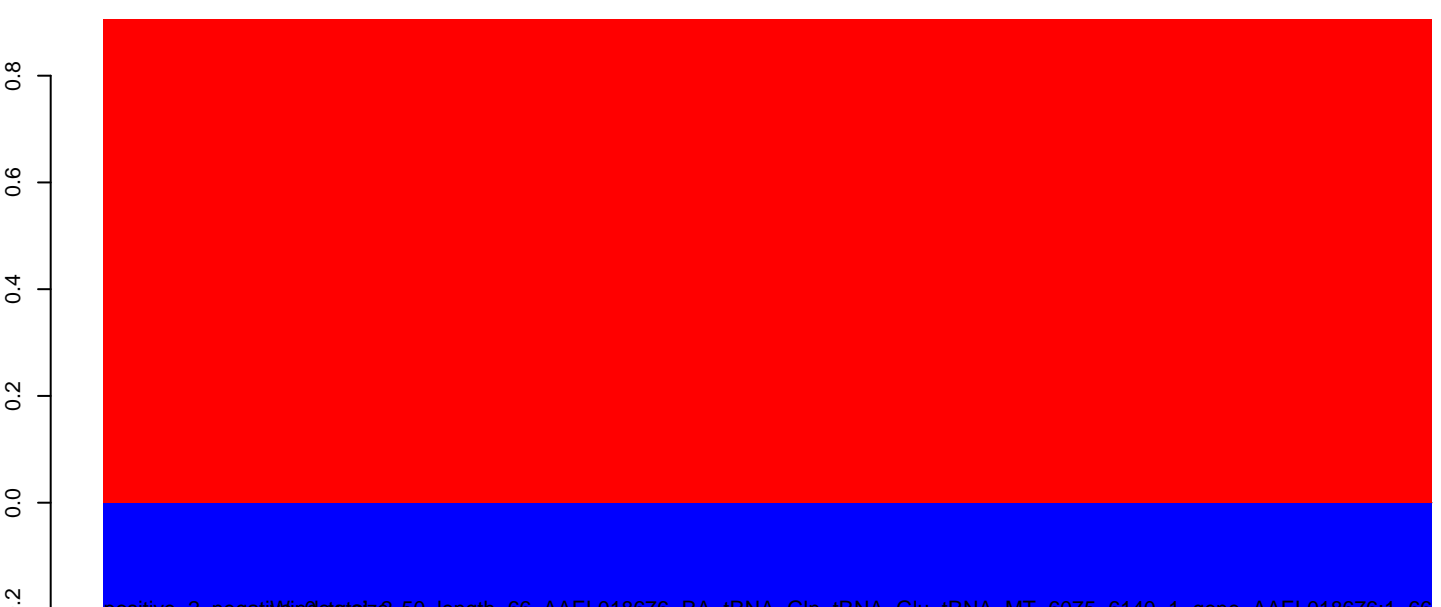
positive=1, negative=0, total=1

AeAlbo_C636_cells_rep_3.24_35.rep



positive=1, negative=0, total=1

AeAlbo_C636_cells_rep_3.rep



positive=2, negative=0, total=2
window size=50, length=66, AAEL018676-RA-tRNA-Gln-tRNA-Glu-tRNA-MT-6075-6140-1-gene-AAEL018676-1-66

50 60 70 80 90 100

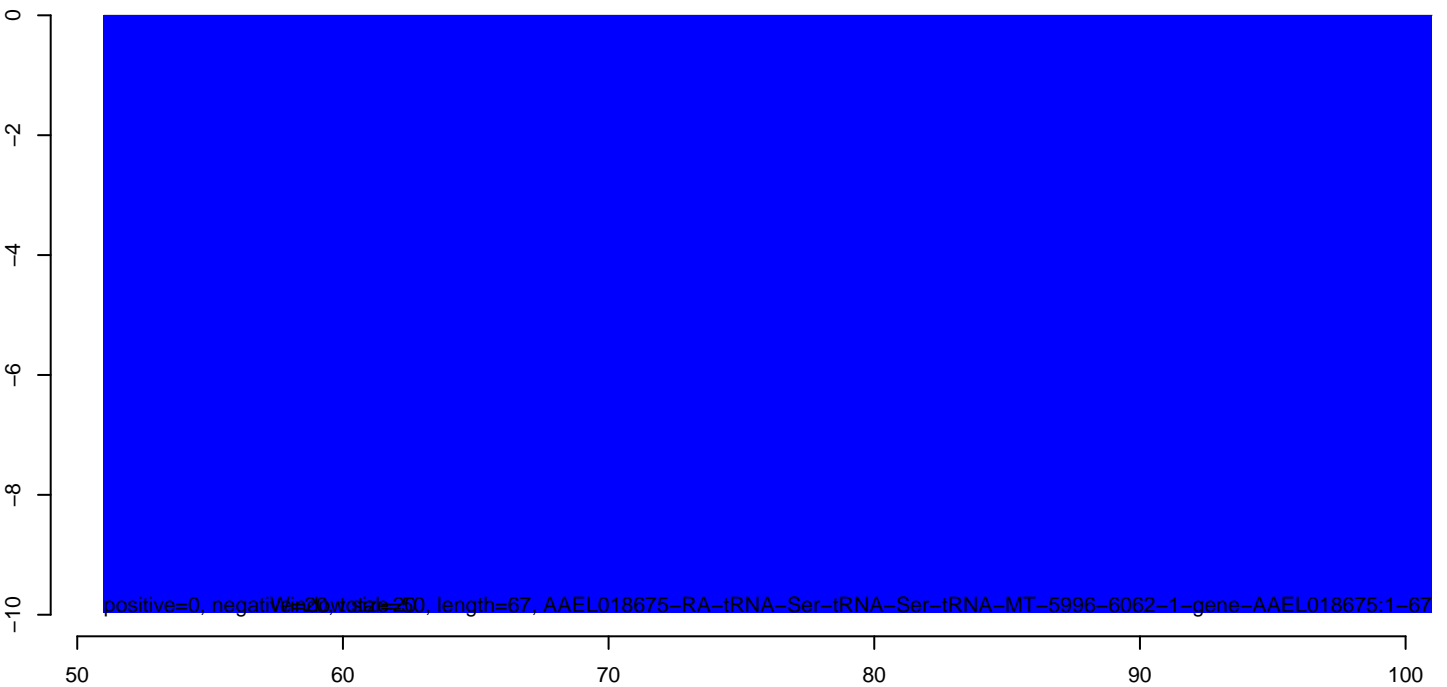
AeAlbo_C636_cells_rep_3.18_23.rep



AeAlbo_C636_cells_rep_3.24_35.rep



AeAlbo_C636_cells_rep_3.rep



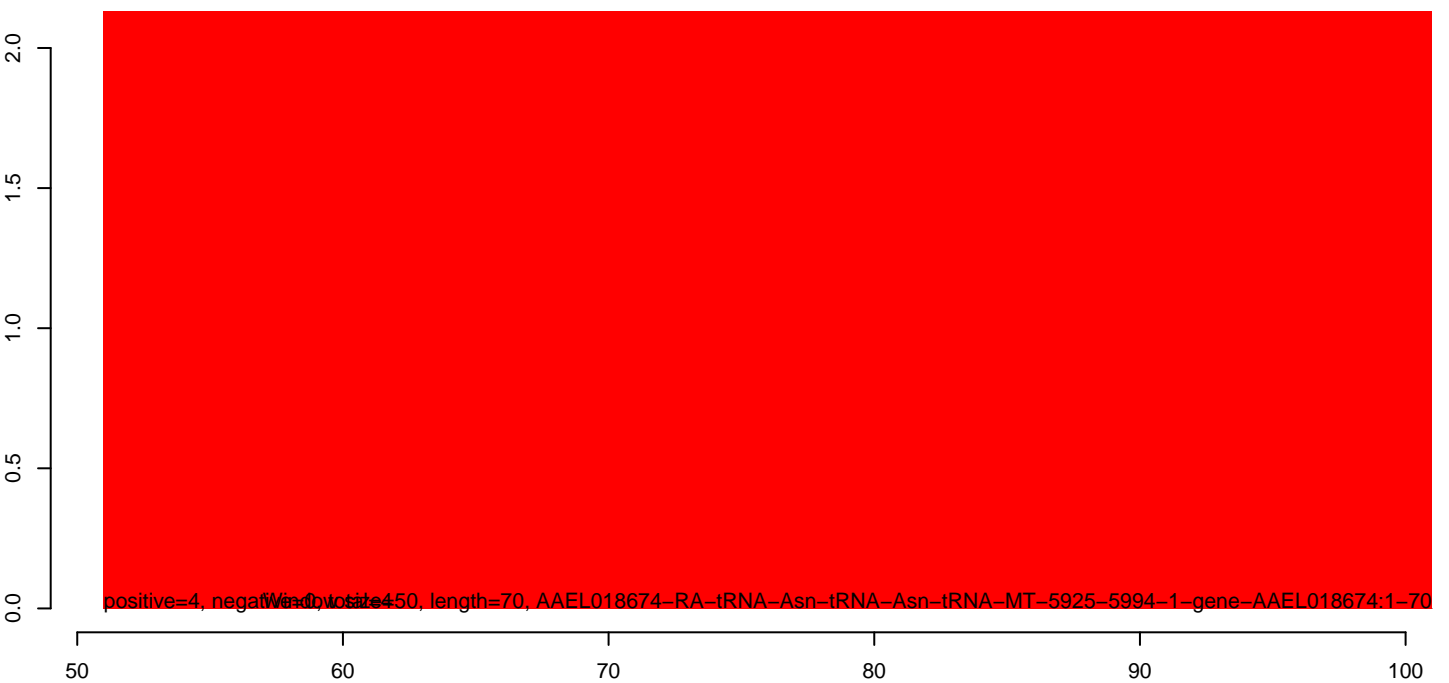
AeAlbo_C636_cells_rep_3.18_23.rep



AeAlbo_C636_cells_rep_3.24_35.rep



AeAlbo_C636_cells_rep_3.rep



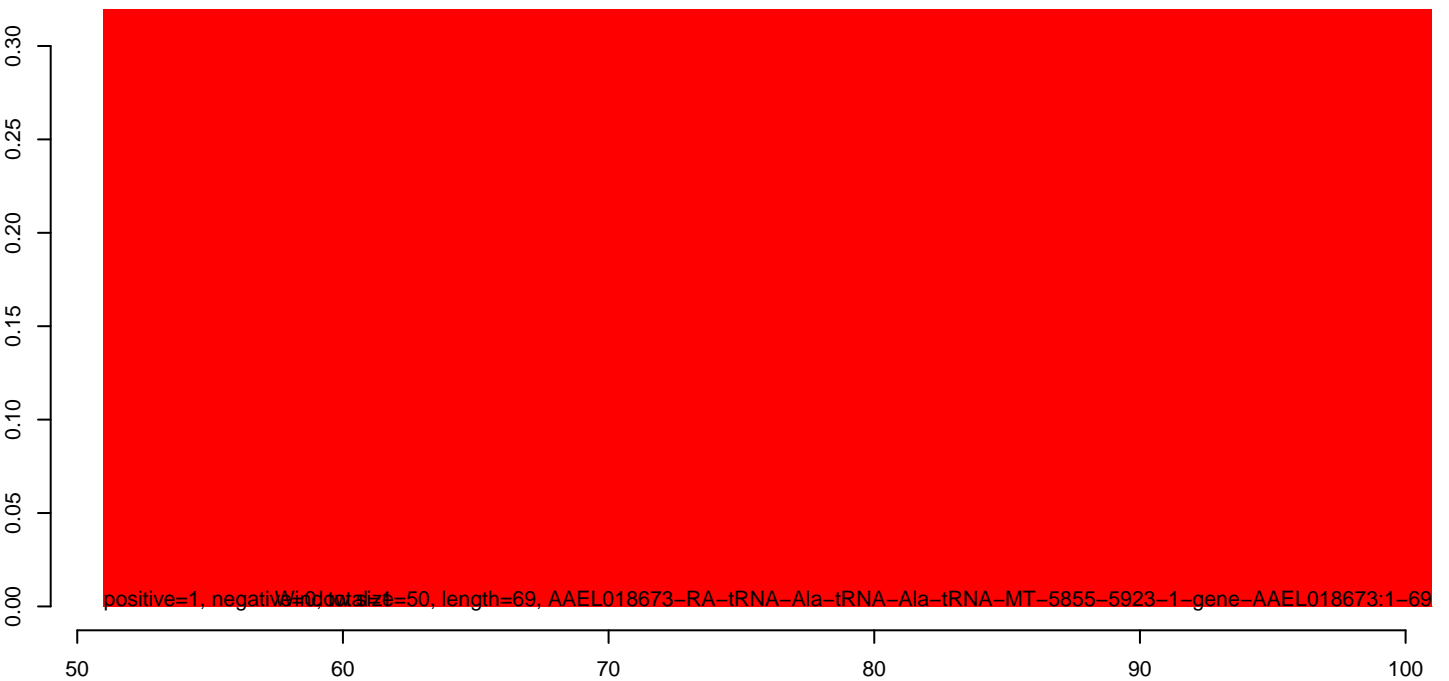
AeAlbo_C636_cells_rep_3.18_23.rep



AeAlbo_C636_cells_rep_3.24_35.rep



AeAlbo_C636_cells_rep_3.rep



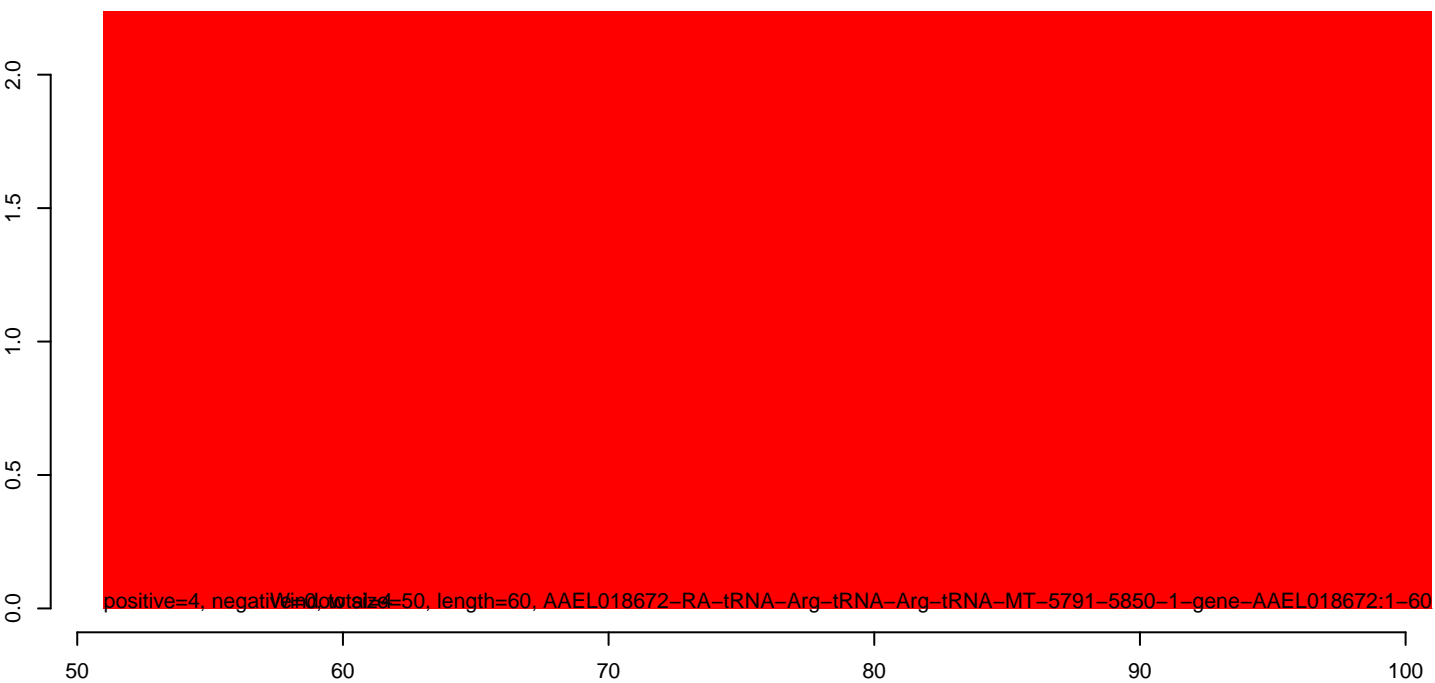
AeAlbo_C636_cells_rep_3.18_23.rep



AeAlbo_C636_cells_rep_3.24_35.rep



AeAlbo_C636_cells_rep_3.rep



AeAlbo_C636_cells_rep_3.18_23.rep



AeAlbo_C636_cells_rep_3.24_35.rep



AeAlbo_C636_cells_rep_3.rep



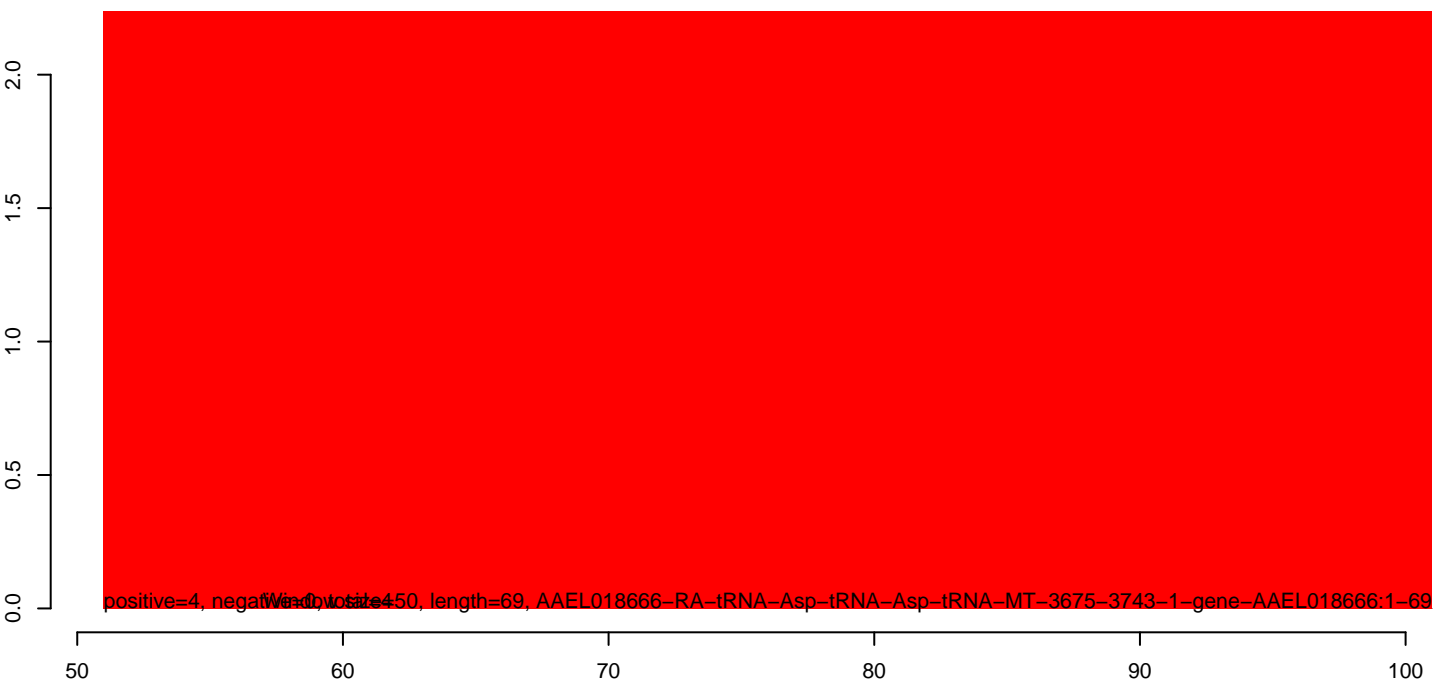
AeAlbo_C636_cells_rep_3.18_23.rep



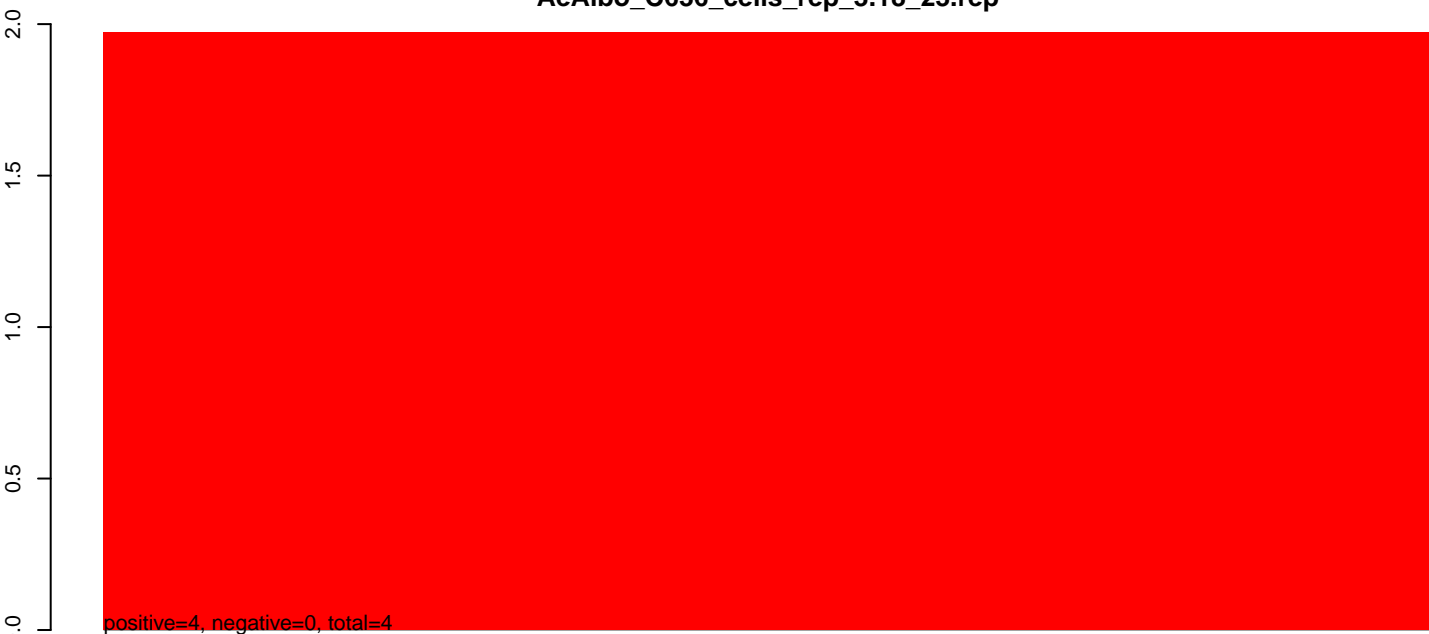
AeAlbo_C636_cells_rep_3.24_35.rep



AeAlbo_C636_cells_rep_3.rep



AeAlbo_C636_cells_rep_3.18_23.rep



AeAlbo_C636_cells_rep_3.24_35.rep



AeAlbo_C636_cells_rep_3.rep



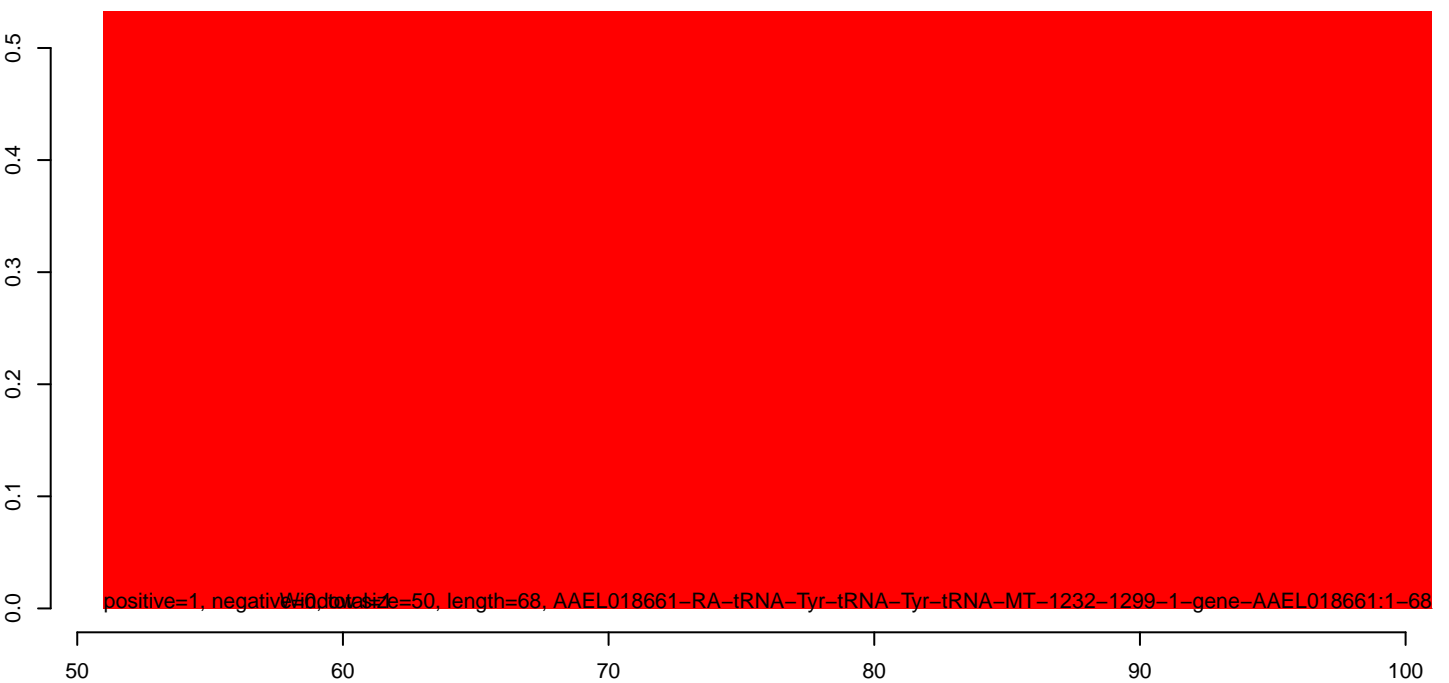
AeAlbo_C636_cells_rep_3.18_23.rep



AeAlbo_C636_cells_rep_3.24_35.rep



AeAlbo_C636_cells_rep_3.rep



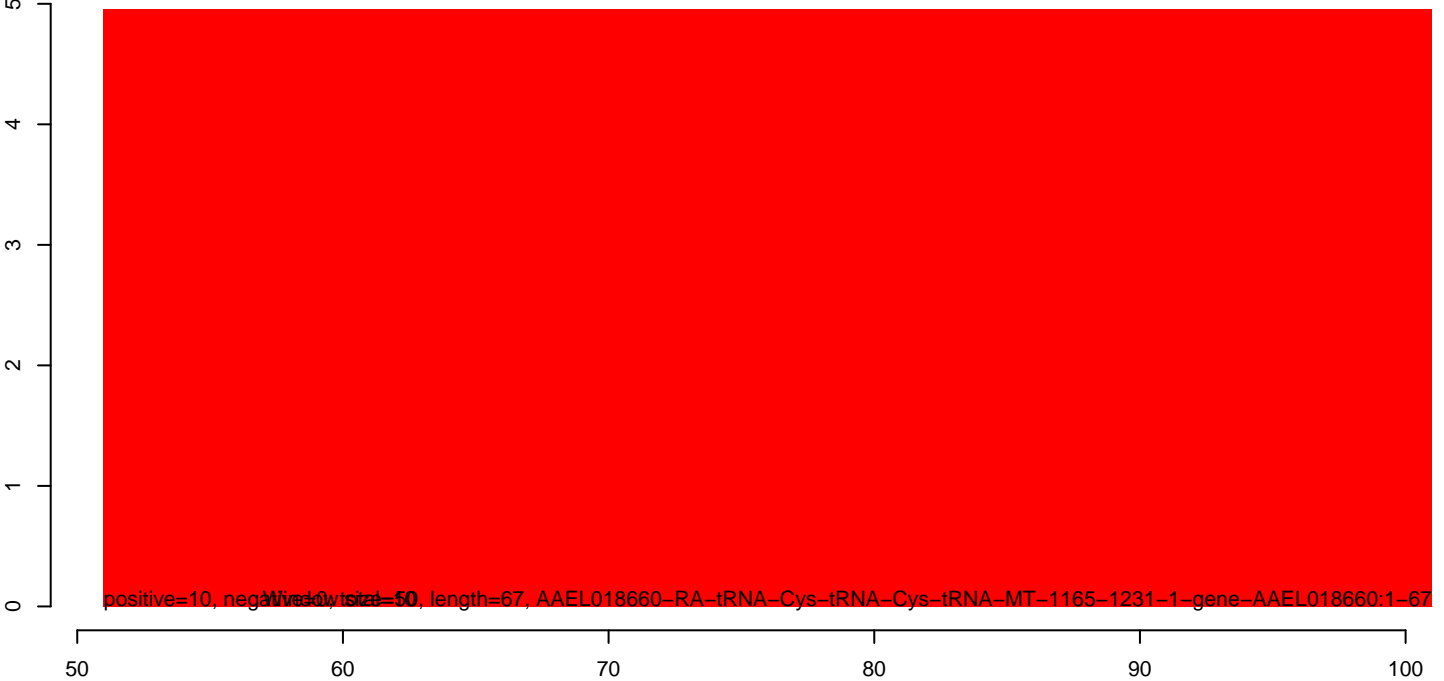
AeAlbo_C636_cells_rep_3.18_23.rep



AeAlbo_C636_cells_rep_3.24_35.rep



AeAlbo_C636_cells_rep_3.rep



AeAlbo_C636_cells_rep_3.18_23.rep



positive=1, negative=0, total=1

AeAlbo_C636_cells_rep_3.24_35.rep



positive=1, negative=0, total=1

AeAlbo_C636_cells_rep_3.rep



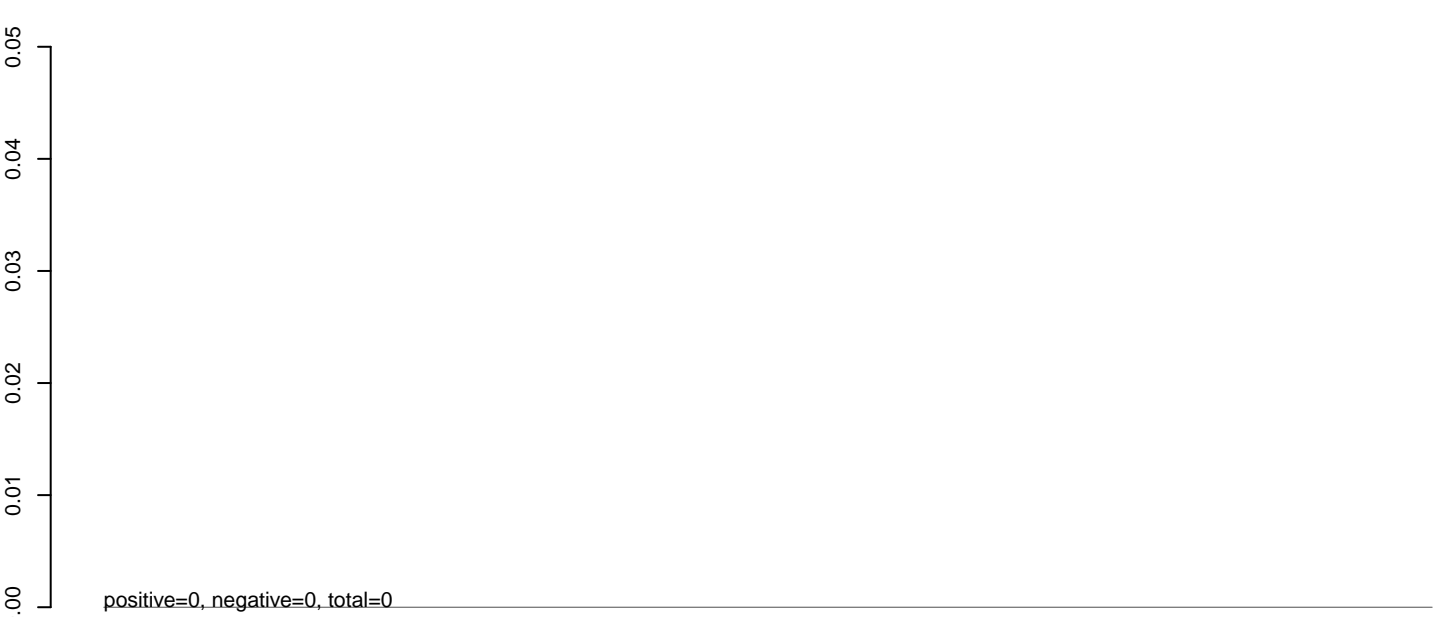
positive=3, negative=0, total=3, length=50, AAEL018659-RA-tRNA-Trp-tRNA-Trp-tRNA-MT-1096-1165-1-gene-AAEL018659-1-70

50 60 70 80 90 100

AeAlbo_C636_cells_rep_3.18_23.rep



AeAlbo_C636_cells_rep_3.24_35.rep



AeAlbo_C636_cells_rep_3.rep



Wingsize=50, range=100, AEI018578-RA-U6-U6-spliceosomal-RNA-snRNA-2-179611404-179611505-1-gene-AAEL018578:1-102

60

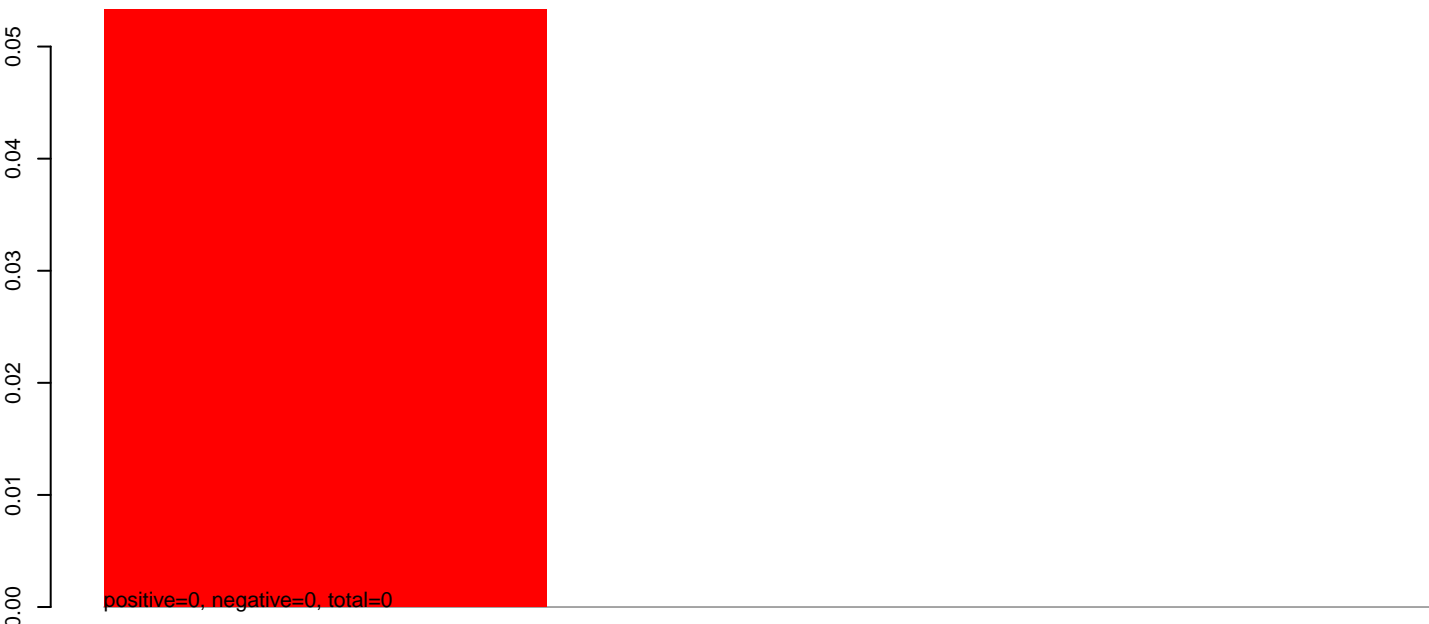
80

100

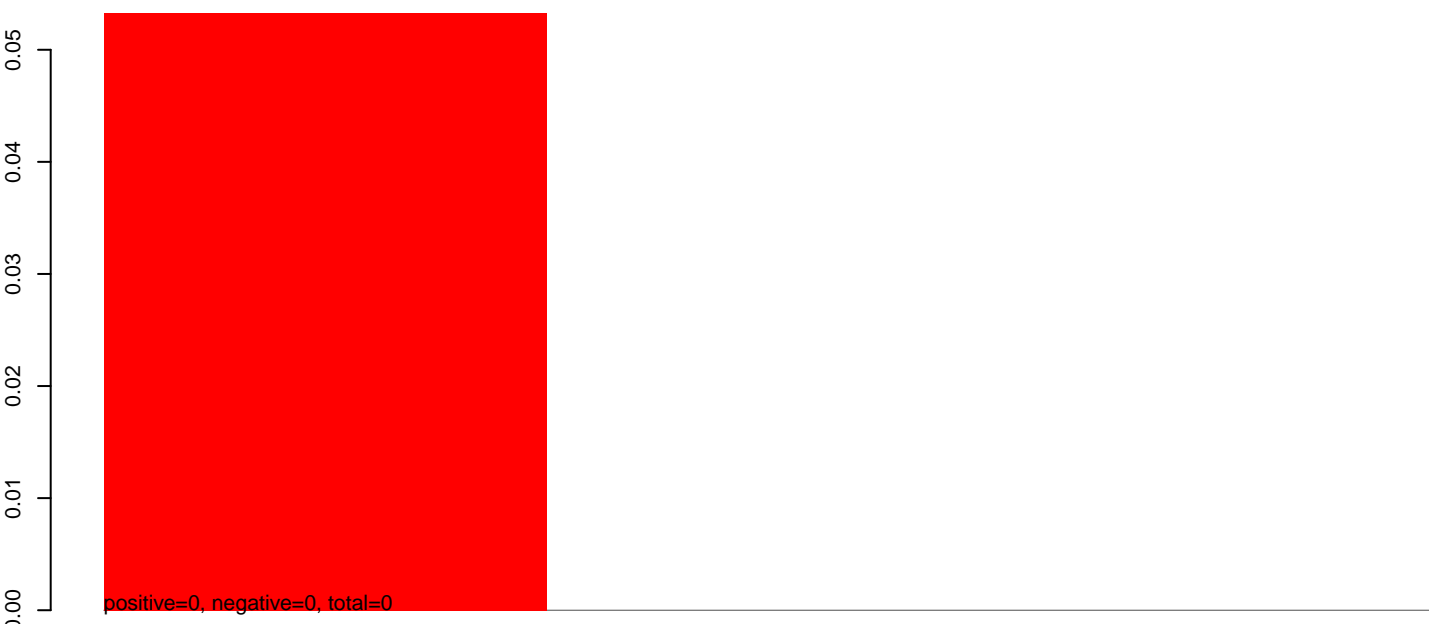
120

140

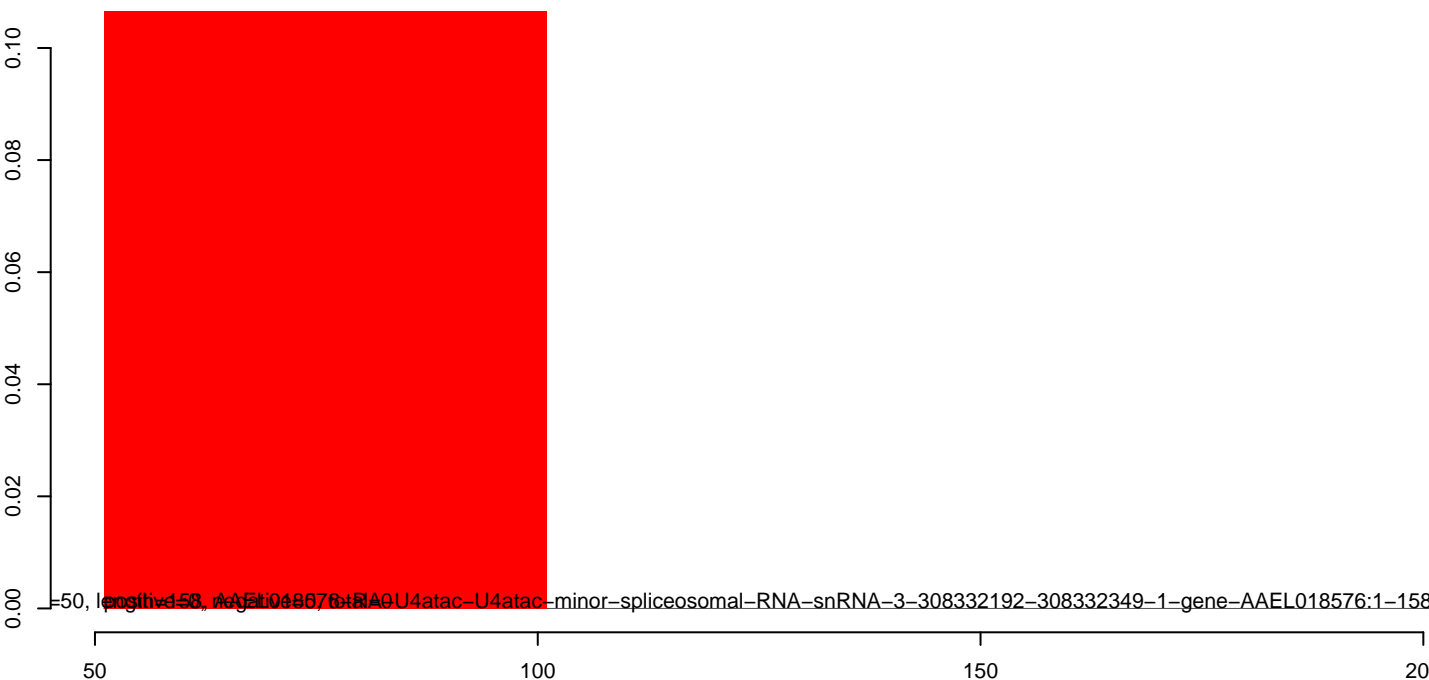
AeAlbo_C636_cells_rep_3.18_23.rep



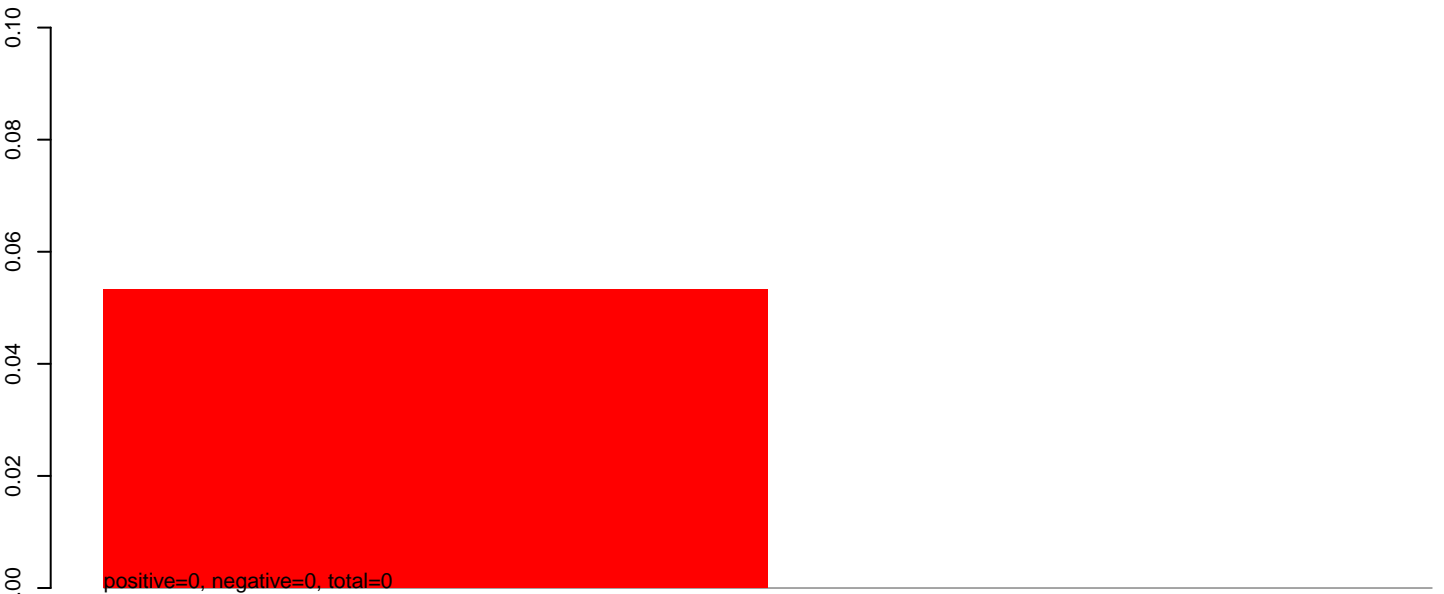
AeAlbo_C636_cells_rep_3.24_35.rep



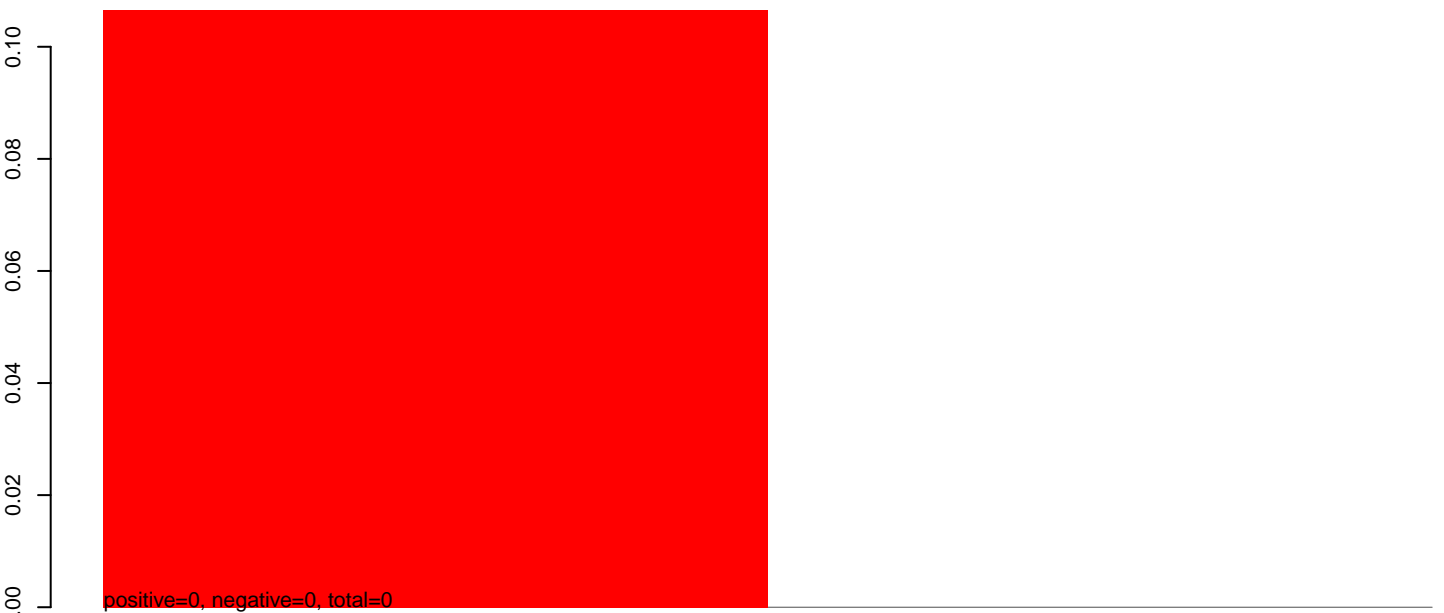
AeAlbo_C636_cells_rep_3.rep



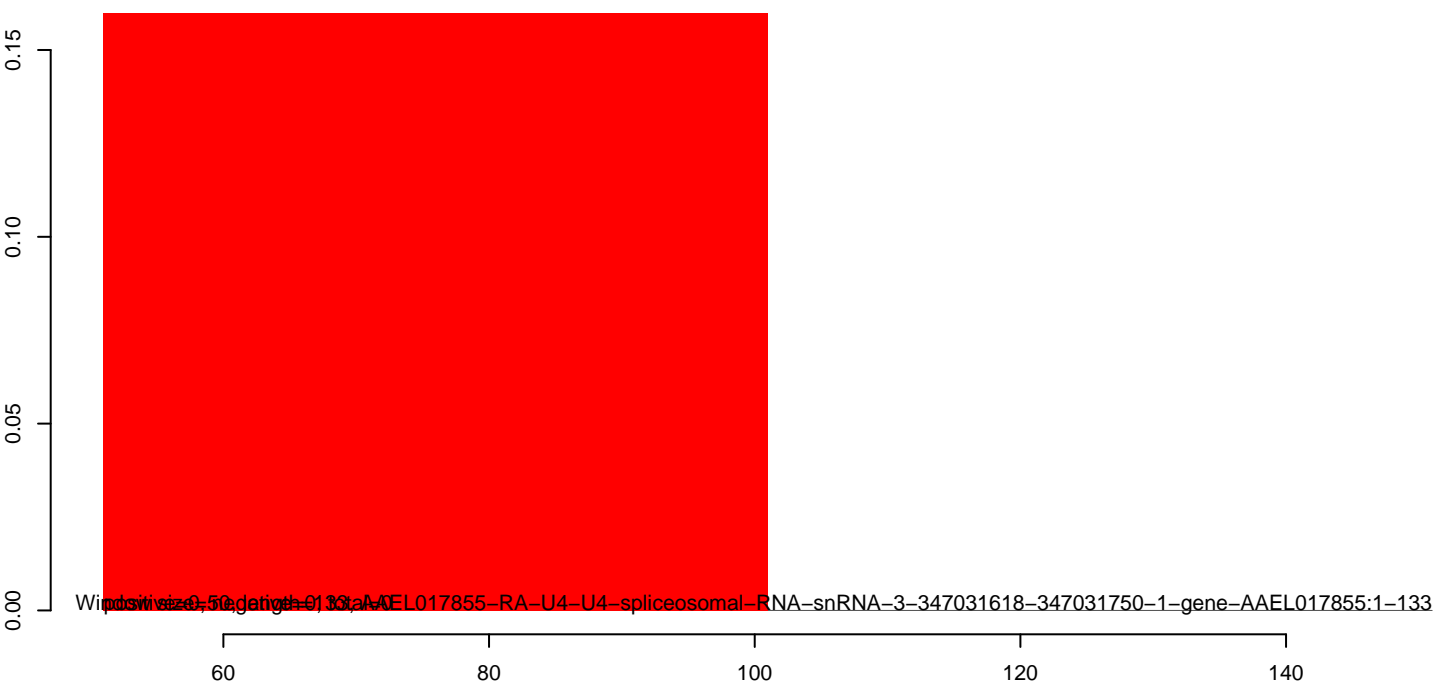
AeAlbo_C636_cells_rep_3.18_23.rep



AeAlbo_C636_cells_rep_3.24_35.rep

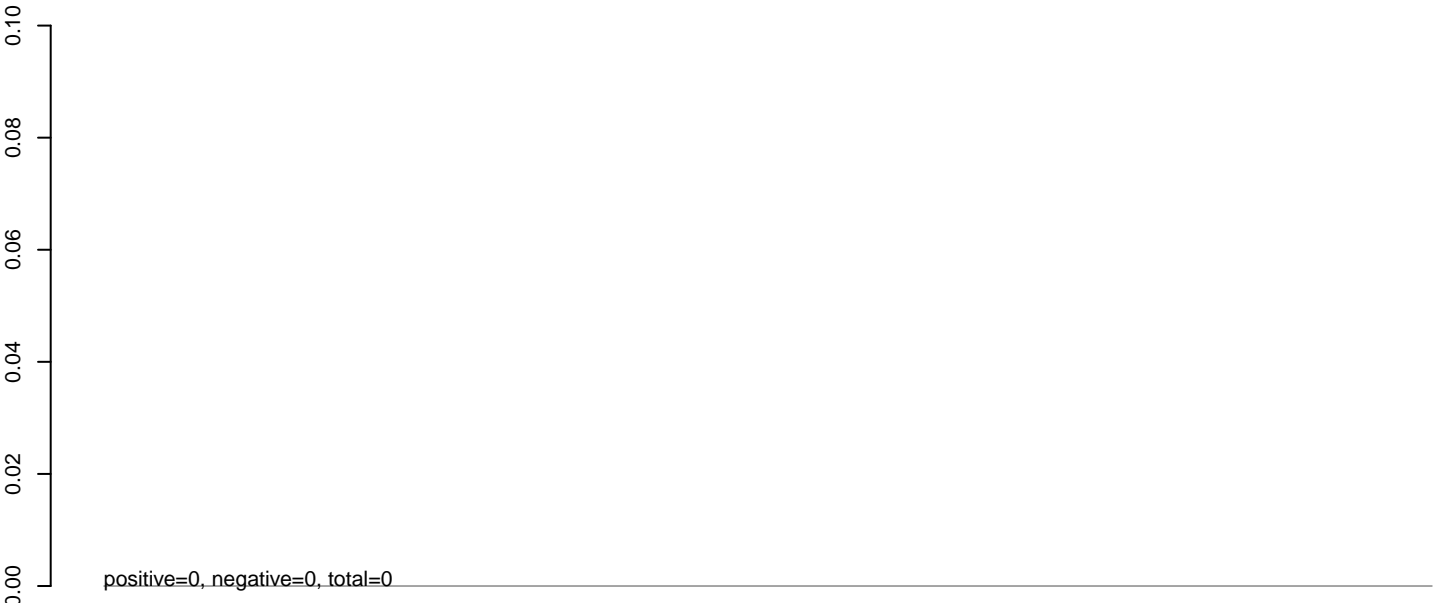


AeAlbo_C636_cells_rep_3.rep

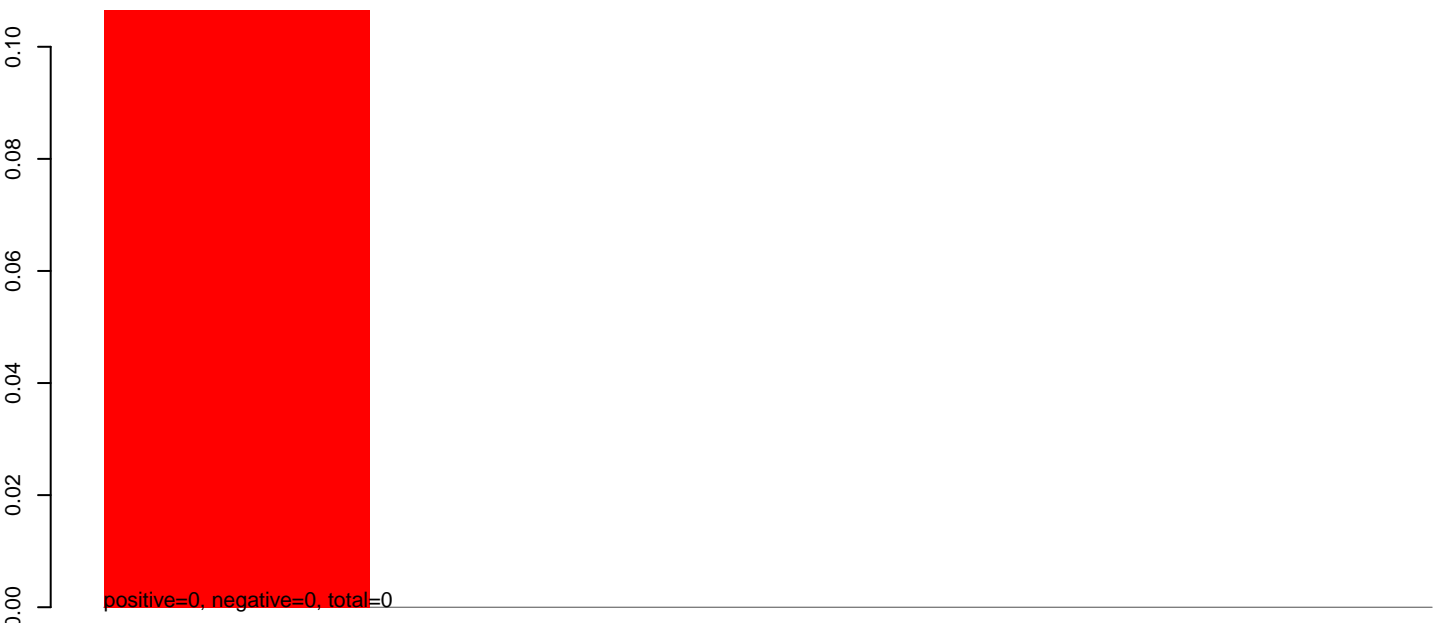


Window size: 50, range: 0-100, AAEL017855-RA-U4-U4-spliceosomal-RNA-snRNA-3-347031618-347031750-1-gene-AAEL017855:1-133

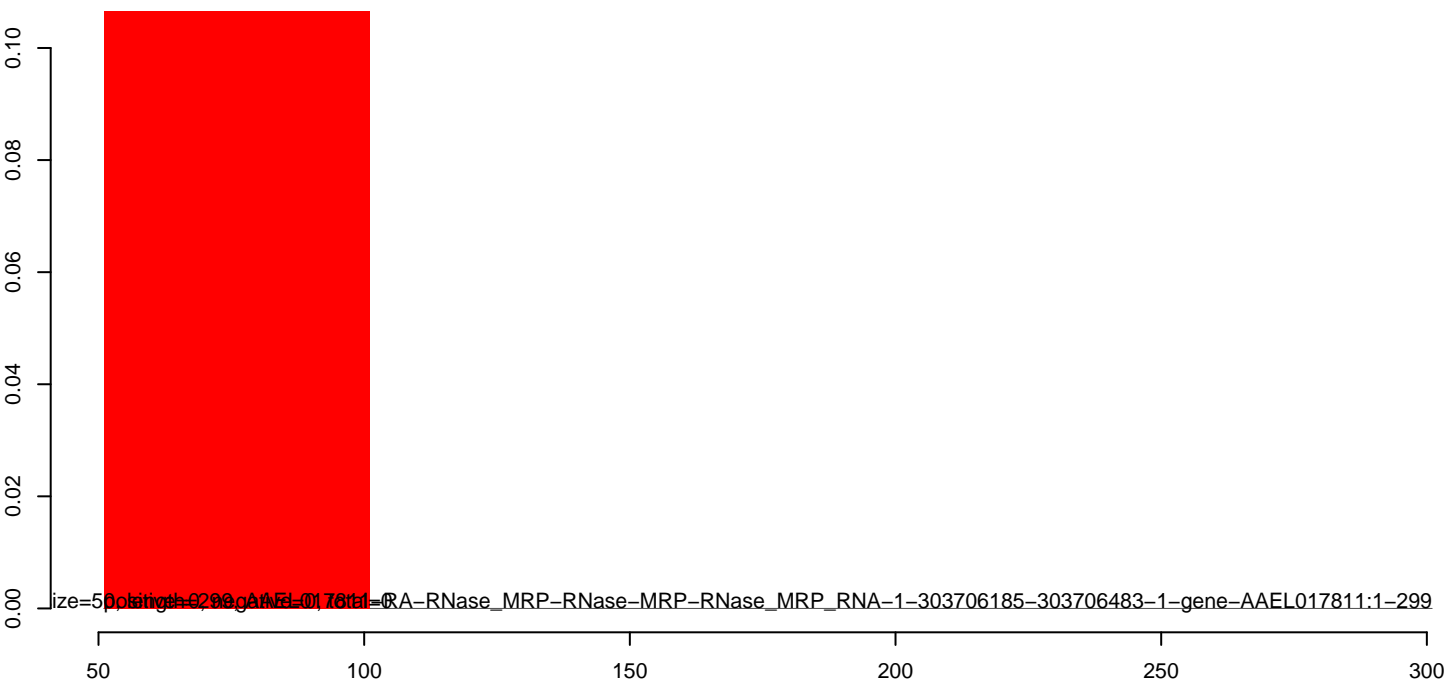
AeAlbo_C636_cells_rep_3.18_23.rep



AeAlbo_C636_cells_rep_3.24_35.rep



AeAlbo_C636_cells_rep_3.rep



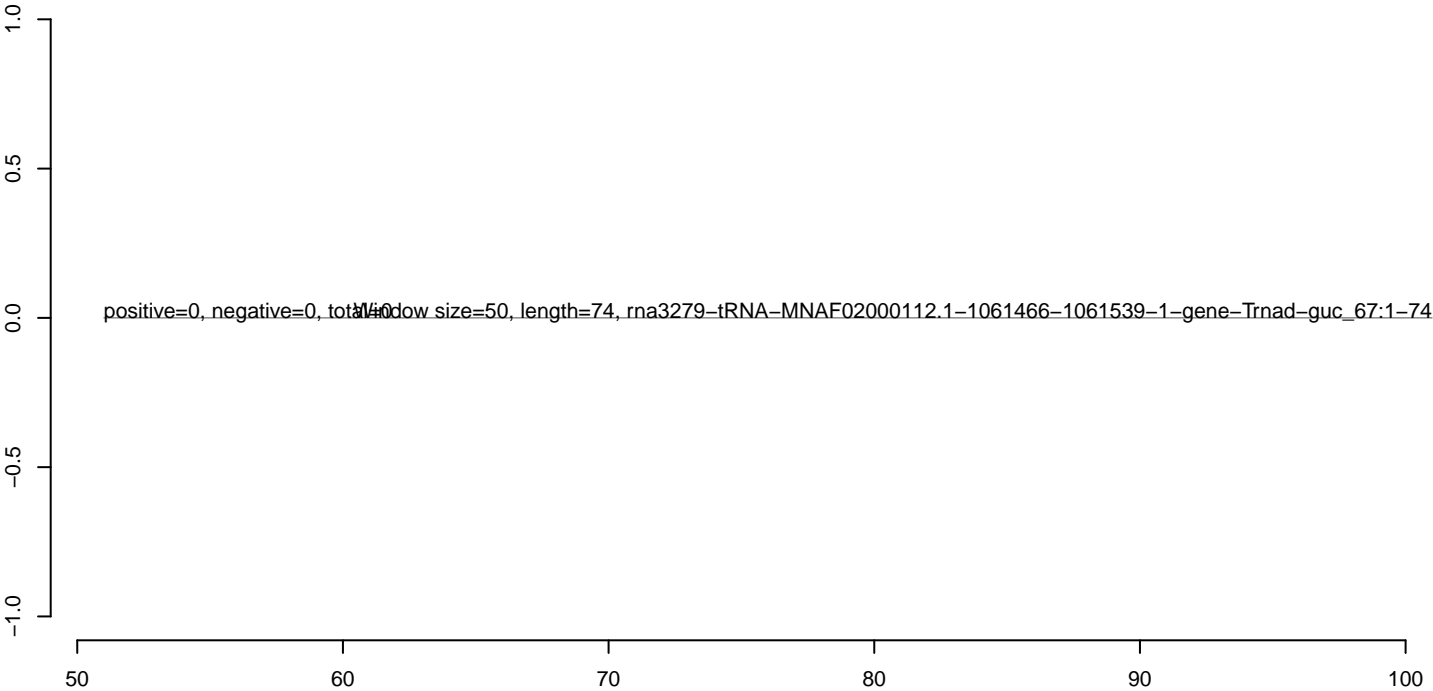
AeAlbo_C636_cells_rep_3.18_23.rep



AeAlbo_C636_cells_rep_3.24_35.rep



AeAlbo_C636_cells_rep_3.rep



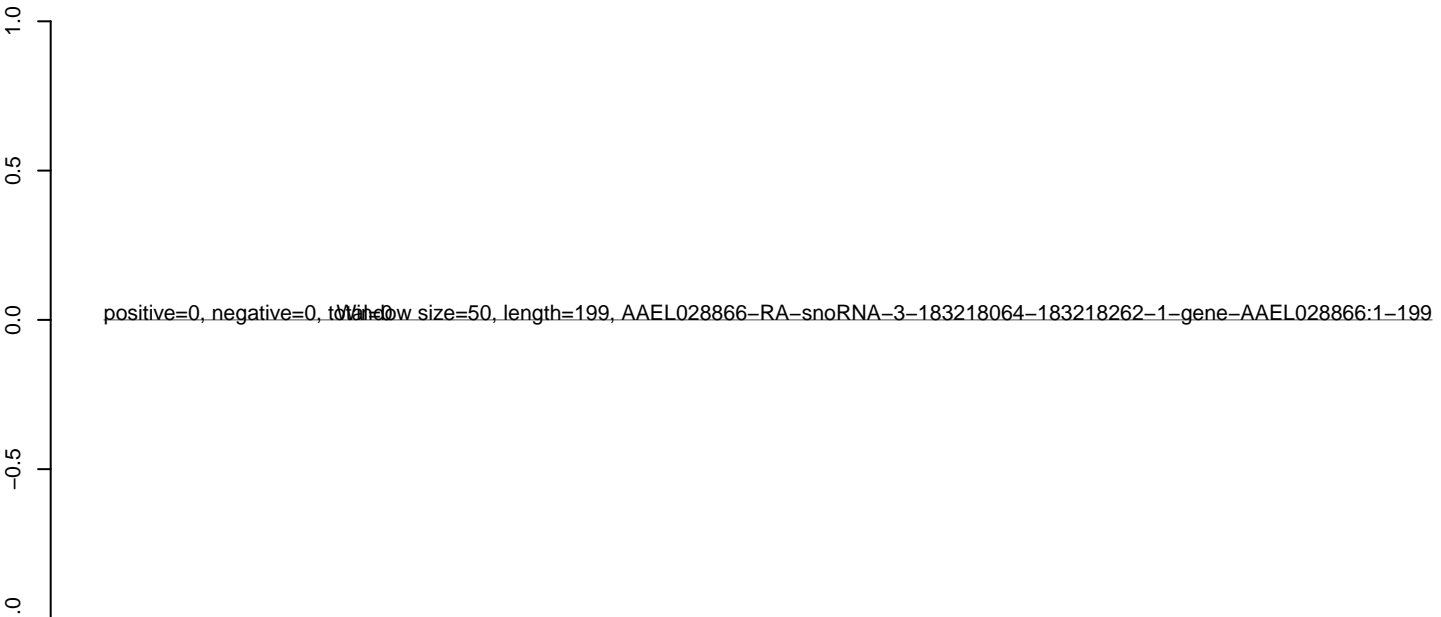
AeAlbo_C636_cells_rep_3.18_23.rep



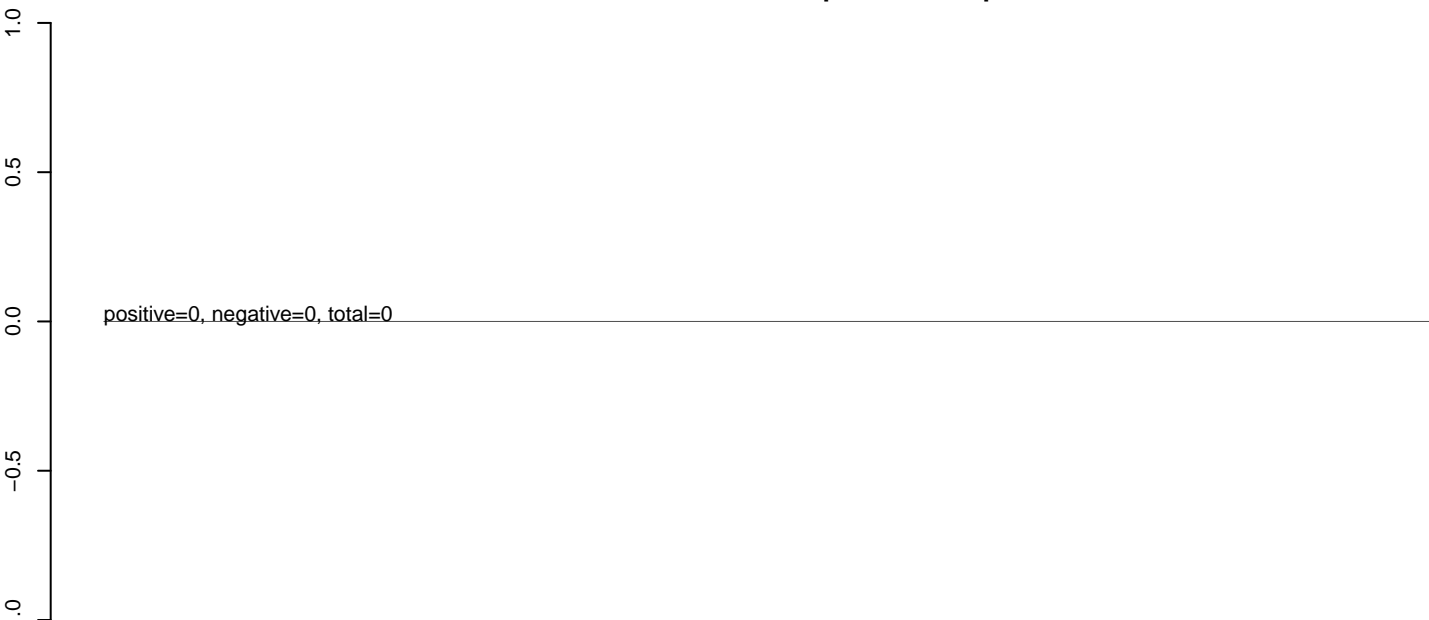
AeAlbo_C636_cells_rep_3.24_35.rep



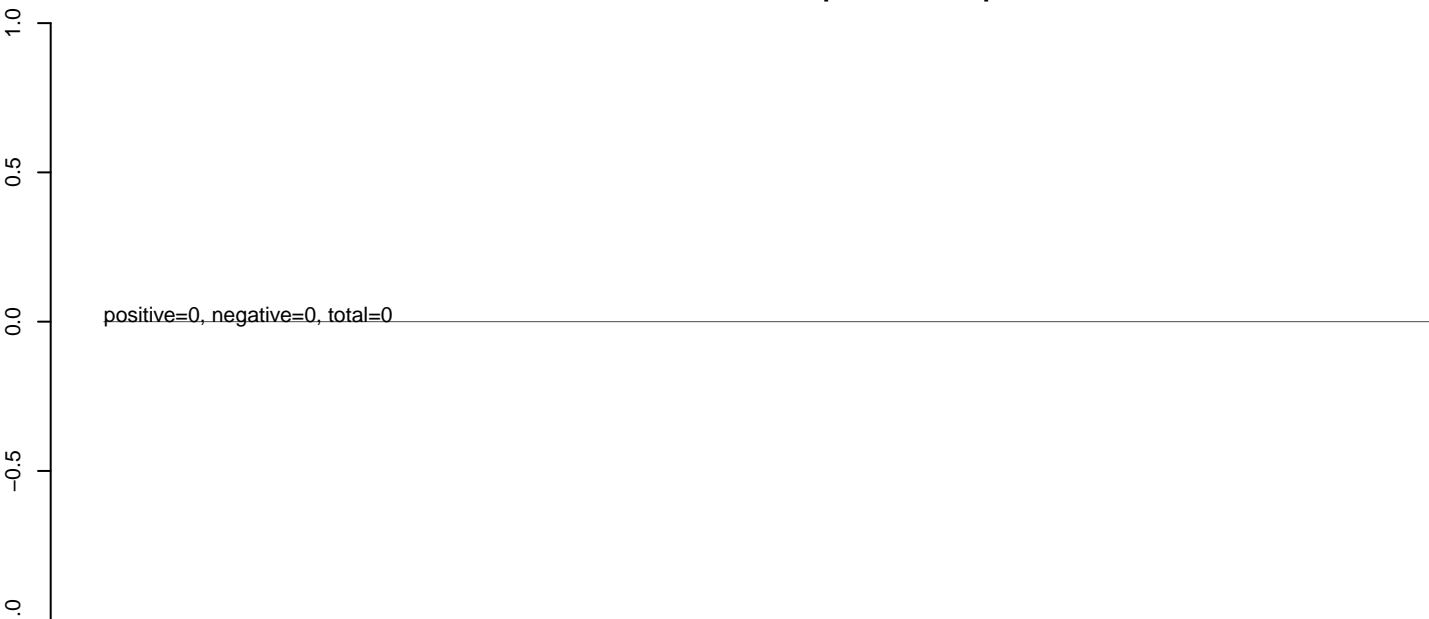
AeAlbo_C636_cells_rep_3.rep



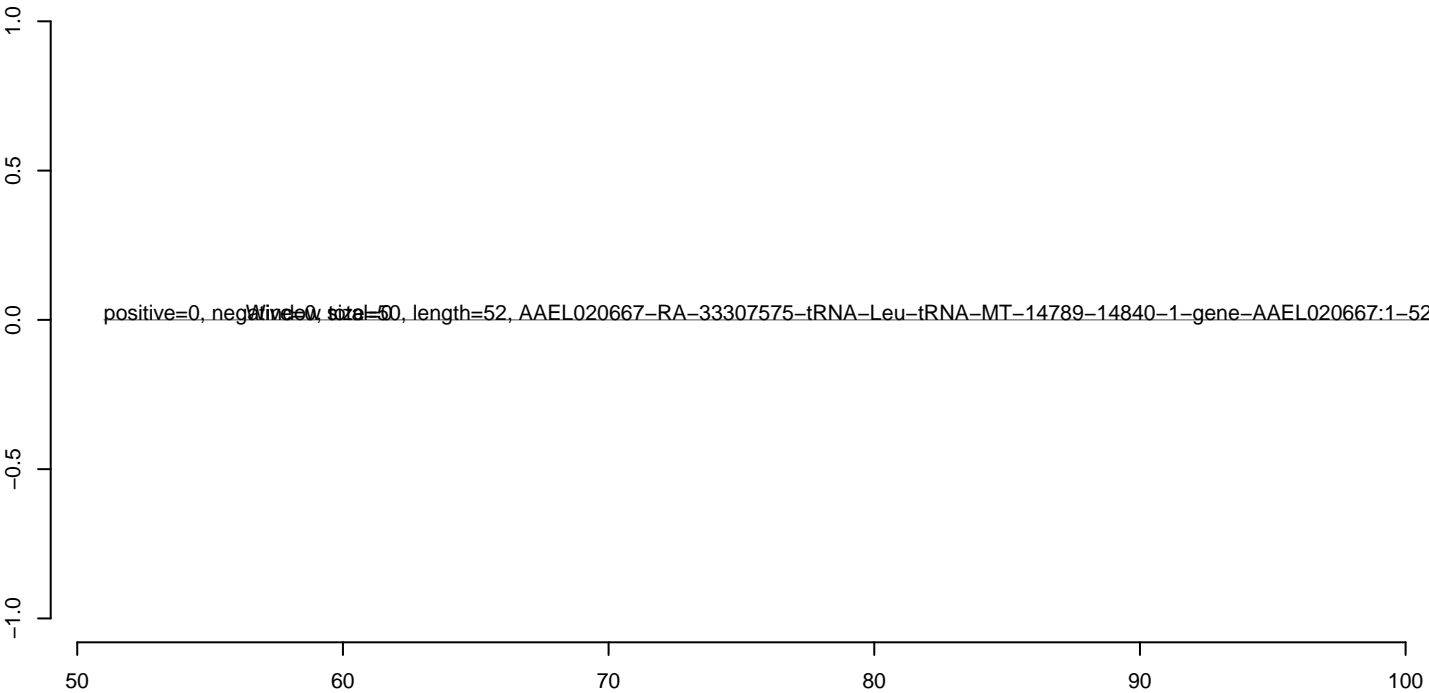
AeAlbo_C636_cells_rep_3.18_23.rep



AeAlbo_C636_cells_rep_3.24_35.rep



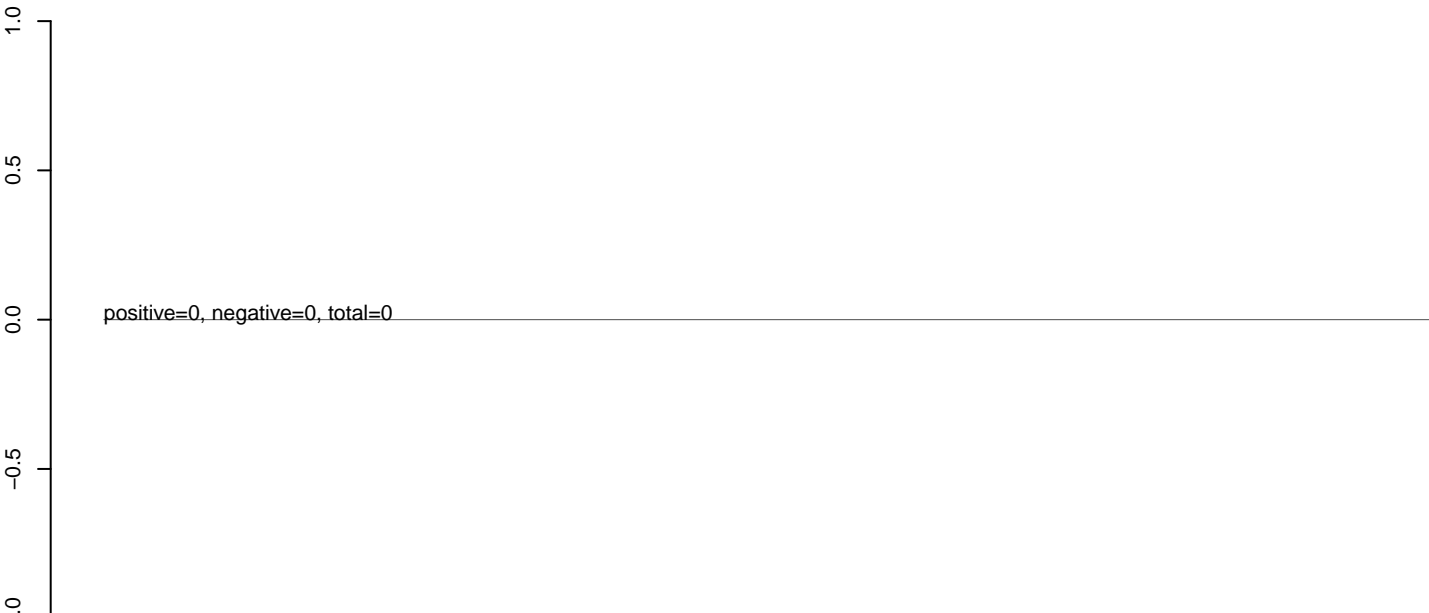
AeAlbo_C636_cells_rep_3.rep



AeAlbo_C636_cells_rep_3.18_23.rep



AeAlbo_C636_cells_rep_3.24_35.rep



AeAlbo_C636_cells_rep_3.rep

